

جمهورية العراق
ديوان الوقف الشيعي



مجلة فصلية محكمة تختص بالعلوم الطبيعية والهندسية

تصدر عن
العتبة العباسية المقدسة
مركز العميد الدولي للبحوث والدراسات

جازة من
وزارة التعليم العالي والبحث العلمي معتمدة لأغراض الترقية العلمية

السنة الثانية، المجلد الثالث، العددان الخامس والسادس
رمضان ١٤٣٧ هـ، حزيران ٢٠١٦ م



مركز العميد الدولي
للبحوث والدراسات



الترقيم الدولي

ردمد: ٢٣١٢ - ٥٧٢١

ردمد الالكتروني: ٢٣١٣ - ٠٠٨٣

رقم الاداع في دار الكتب والوثائق العراقية ١٩٩٦ لسنة ٢٠١٤

كربغة المقدسة - جمهورية العراق

Tel: +964 032310059

Mobile: +9647602355555

http://albahir.alkafeel.net

Email: albahir@alkafeel.net

المشرف العام

السيد أحمد الصافي

رئيس التحرير

السيد ليث الموسوي

رئيس قسم الشؤون الفكرية والثقافية

الميادين

أ.د. رياض طارق العميدى - جامعة بابل - كلية التربية

أ. د. كريمة مجید زیدان - جامعة البصرة - كلية العلوم

أ.د. أحمد حمود عبد اللطيف - جامعة كربلاء - كلية العلوم

أ. د. سرحان حفات سلمان - جامعة القadesia - كلية التربية

أ.د. إيمان سمير عبد على بيهية - جامعة بابل كلية التربية للعلوم الصرفة

أ. د. فاضل اسماعيل شراد الطائي - جامعة كربلاء - كلية العلوم

أ. د. شامل هادي - جامعة أوكلاند - الولايات المتحدة الأمريكية

مديري التحرير

أ.م.د. نورس محمد شهيد الدهان-جامعة كربلاء-كلية العلوم

سكرتير التحرير التنفيذي

م.م. حيدر حسين الاعرجي

سكرتير التحرير

رضوان عبد الهادي السلامي

هيئة التحرير

أ.د. افتخار مضر طالب الشرع-جامعة بابل-كلية التربية للعلوم الصرفة

أ.د. وسام سمير عبد علي بيهية-جامعة بابل-كلية تكنولوجيا المعلومات

أ.د. شوقي مصطفى علي الموسوي-جامعة بابل-كلية الفنون الجميلة

أ.م. حيدر غازى الموسوى-جامعة بابل-كلية التربية

أ.م.د. حيدر حميد محسن الحميداوي-جامعة كربلاء-كلية العلوم

Prof. Dr. Zhenmin Chen

Department of Mathematics and Statistics, Florida International University, Miami, USA.

Prof. Dr. Adrian Nicolae BRANGA

Department of Mathematics and Informatics, Lucian Blaga University of Sibiu, Romania.

Prof. Dr. Akbar Nikkhah

Department of Animal Sciences, University of Zanjan, Zanjan 313-45195Iran, Iran.

Prof. Dr. Khalil EL-HAMI

Material Sciences towards nanotechnology University of Hassan 1st, Faculty of Khouribga, Morocco, Morocco.

Prof. Dr. Wen-Xiu Ma

Department of Mathematics at University of South Florida, USA.

Prof. Dr. Mohammad Reza Allazadeh

Department of Design, Manufacture and Engineering Management, Advanced Forming Research Centre,
University of Strathclyde, UK.

Prof. Dr. Norsuzailina Mohamed Sutan

Department of Civil Engineering, Faculty of Engineering, University Malaysia Sarawak, Malaysia.

Prof. Ravindra Pogaku

Chemical and Bioprocess Engineering, Technical Director of Oil and Gas Engineering, Head of Energy Research Unit, Faculty of Engineering, University Malaysia Sabah (UMS), Malaysia.

Prof. Dr. Luc Avérous

BioTeam/ECPM-ICPEES, UMR CNRS 7515, Université de Strasbourg, 25 rue Becquerel, 67087, Strasbourg Cedex 2, France, France.

Dr. Ibtisam Abbas Nasir Al-Ali

College of Science, University of Kerbala, Iraq.

Prof. Dr. Hongqing Hu

Huazhong Agricultural University, China.

Prof. Dr. Stefano Bonacci

University of Siena, Department of Environmental Sciences, Italy.

Prof. Dr. Pierre Basmaji

Scientific Director of Innovatecs, and Institute of Science and technology, Director-Brazil, Brazil.

Asst. Prof. Dr. Basil Abeid Mahdi Abid Al-Sada

College of Engineering, University of Babylon, Iraq.

Prof. Dr. Michael Koutsilieris

Experimental Physiology Laboratory, Medical School, National & Kapodistrian University of Athens. Greece.

Prof. Dr. Gopal Shankar Singh

Institute of Environment & Sustainable Development, Banaras Hindu University, Dist-Varanasi-221 005, UP, India, India.

Prof. Dr. MUTLU ÖZCAN

Dental Materials Unit (University of Zurich, Dental School, Zurich, Switzerland), Switzerland.

Prof. Dr. Devdutt Chaturvedi

Department of Applied Chemistry, Amity School of Applied Sciences, Amity University Uttar Pradesh, India.

Prof. Dr. Rafat A. Siddiqui

Food and Nutrition Science Laboratory, Agriculture Research Station, Virginia State University, USA.

Prof. Dr. Carlotta Granchi

Department of Pharmacy, Via Bonanno 33, 56126 Pisa, Italy.

Prof. Dr. Piotr Kulczycki

Technical Sciences; Polish Academy of Sciences, Systems Research Institute, Poland.

Prof. Dr. Jan Awrejcewicz

The Lodz University of Technology, Department of Automation, Biomechanics and Mechatronics, Poland, Poland.

Prof. Dr. Fu-Kwun Wang

Department of Industrial Management, National Taiwan University of Science and Technology , Taiwan.

Prof. Min-Shiang Hwang

Department of Computer Science and Information Engineering, Asia University, Taiwan, Taiwan.

Prof. Dr. Ling Bing Kong

School of Materials Science and Engineering, Nanyang Technological University Singapore Singapore.

Prof. Dr. Qualid Hamdaoui

Department of Process Engineering, Faculty of Engineering, Badji Mokhtar-Annaba University, P.O. Box 12, 23000 Annaba, Algeria, Algeria.

Prof. Dr. Abdelkader azarrouk

Mohammed First University, Faculty of Sciences, Department of Chemistry, Morocco.

Prof. Dr. Khalil El-Hami

Laboratory of Nano-sciences and Modeling, University of Hassan 1st, Morocco, Morocco.

Assist. Prof. Dr. Abdurahim Abduraxmonovich Okhunov

Department of Science in Engineering, Faculty of in Engineering, International Islamic University of Malaysia, Uzbekistan.

Dr. Selvakumar Manickam

National Advanced IPv6 Centre, University Sains Malaysia, Malaysia.

Dr. M.V. Reddy

1Department of Materials Science & Engineering, 02 Department of Physics, National University of Singapore, Singapore.

التدقيق اللغوي

أ.م.د . أمين عبيد الدليمي -جامعة بابل - كلية التربية - مقوم اللغة العربية

الادارة المالية

الادارة الالكترونية

سامر فلاح الصافي

عقيل عبد الحسين الياسري

التصميم والإخراج الفني

حسين علي شمران

الادارة التنفيذية

محمد جاسم شعلان

حسين صباح العكيلي

قواعد النشر في المجلة

مثلكما يرحب العميد ابو الفضل (عليه السلام) بزائريه من أطياف الإنسانية، ترحب مجلة الباهر بنشر البحوث العلمية على وفق الشروط الآتية:

1. ان يكون البحث في مجالات العلوم المتنوعة التي تلتزم بمنهجية البحث العلمي وخطواته المتعارف عليها عالمياً ومكتوبة بإحدى اللغتين العربية أو الانكليزية.
 2. أن لا يكون البحث قد نشر سابقاً وليس مقدماً إلى أية وسيلة نشر أخرى، وعلى الباحث تقديم تعهد مستقل بذلك.
 3. أن تحتوي الصفحة الأولى من البحث على عنوان البحث، واسم الباحث او الباحثين، وجهة العمل، ورقم الهاتف باللغتين العربية والانكليزية والبريد الالكتروني مع مراعاة عدم ذكر اسم الباحث أو الباحثين في متن البحث أو أية اشارة إلى ذلك.
 4. ترسل البحوث إلى المجلة الكترونياً على الموقع الالكتروني للمجلة albahir@alameedcenter.iq او albahir.alkafeel.net عبرَ ملء إستمارة إرسال البحث بنسختين الأولى كاملة والثانية مذوف منها الاسم والعنوان للباحث (الباحثين) بصيغة مستند Word .
 5. اعداد الصفحة (2 سم للجهات الأربع للصفحة).
 6. يكون نوع الخط Time new roman للغة الانكليزية و Simplified Arabic للغة العربية، وحجم الخط لعنوان البحث الرئيس (16 غامق) اما العناوين الثانوية (14 غامق) ومادة البحث (14).
 7. نوع الفقرة single مسافة بادئة خاص (بلا) قبل النص: (0) بعد النص (0) تباعد الاسطر (مفرد) قبل النص (0) بعد النص (0).
 8. عدم استعمال الاطارات والزخارف وتكون جميع الارقام باللغة الانكليزية حتى في البحوث المكتوبة باللغة العربية .
 9. عند كتابة رقم في متن البحث يكون الرقم بين قوسين، وبعده وحدة القياس بدون اقواس مثلاً cm (10) أو (10) سم.
 10. تذكر المصادر في البحث باتباع اسلوب الترقيم بحسب اسلوب اسقية ذكر المصدر وتذكر المصادر في نهاية البحث، حسب التسلسل واعتماد طريقة كتابة البحوث حسب الطريقة (MLA) كما في المثال التالي:-

اسم المؤلف / المؤلفون، اسم المجلة رقم المجلد، الصفحات من - إلى، (السنة). وللغة الانكليزية تكون نفس الصيغة اعلاه بمجرد البدأ من اليسار. اما في متن البحث فلا يكتب رقم المصدر بصيغة ال Superscript وانما يكتب بنفس نمط الكتابة بالشكل [رقم المصدر] وفي حالة كتابة اكثراً من رقم بحث في نهاية الفقرة الواحدة تكتب جميعها داخل القوس مع وضع فوارز بينها [رقم المصدر ، رقم المصدر].
 11. اسم الشكل يكتب تجتہ مت مرکزاً بحجم خط (12 غامق) ويكون للغتين الانكليزية والعربية كما يلي:-

اسمه أو توضيح محتواه: (رقم الشكل). Fig. (رقم الشكل): اسمه أو توضيح محتواه

اسمه أو توضيح محتواه: (رقم الجدول) Table
جدول (رقم الجدول): اسمه أو توضيح محتواه

12. تكون الرسوم والصور والمخططات ملونة واصحة ذات دقة عالية مع مراعاة وضعها في مربع نص ويراعى عدم استعمال scan في الاشكال البيانية.

13. تكتب المواضىء ان وجدت في نهاية البحث قبل المصادر.

14. اينما وردت الكلمة Figure في متن البحث تكتب بالشكل Fig. وبعدها رقم الشكل بين قوسين وتكتب الكلمة table بحرف T كغير اينما وردت ايضاً.

15. لا تتجاوز عدد الصفحات (25) صفحة.

16. تكتب معادلات الرياضيات على وفق برنامج Math Type

17. تعبّر الأفكار المنشورة في المجلة عن آراء كاتبها ولا تعبّر بالضرورة عن وجهة نظر جهة الإصدار ويخضع ترتيب البحوث المنشورة لوجبات فنية.

18. تخضع البحوث لبرنامج الاستلال من الانترنت وكذلك لتقديم سري لبيان صلاحيتها للنشر وتكون الالية كما يأتي:-

أ- يبلغ الباحث بتسليم بحثه خلال مدة أقصاها أسبوعان من تاريخ التسلّم .

ب- يعاد البحث إلى الباحث فوراً في حال عدم مطابقته لشروط اعلاه.

ت- يخطر أصحاب البحوث المقبولة للنشر بموافقة هيئة التحرير على نشرها .

ث- البحوث التي يرى المقومون وجوب إجراء تعديلات أو إضافات عليها قبل نشرها، تعاد إلى أصحابها مع الملاحظات المحددة التي يعملا على إجراء التعديلات بصورة نهائية خلال مدة أقصاها (أربعة أسابيع) من تاريخ إرسال التعديلات.

ج- يبلغ الباحث في حال الإعتذار عن نشر بحثه.

ح- يمنح كل باحث نسخة واحدة من العدد الذي نشر فيه بحثه .

19. يراعى في أسبقيّة النشر :

أ- البحوث المشاركة في المؤتمرات التي تقييمها جهة الإصدار .

ب- تاريخ استلام البحث.

ت- تاريخ قبول البحث للنشر.

ث- أهمية البحث وأصالته.

ج- تنوع اختصاصات البحوث الصادرة في العدد.

20. على الباحثين إجراء التعديلات المطلوبة من قبل الخبراء العلميين واللغويين

21. ملء التعهد الخاص بالمجلة الذي يتضمن حقوق النشر الخاصة بمجلة الباهر العلمية ومراعاة شروط الامانة العلمية في كتابة البحث.

No:

٤٠٢١ / ب ت ٤

Date:

٢٠١٥/٥/١٨

العتبة العباسية المقدسة / مركز العميد للدراسات والبحوث

م / مجلة الباهر

السلام عليكم ورحمة الله وبركاته...

استناداً إلى آلية اعتماد المجلات العلمية الصادرة عن مؤسسات الدولة، وبناءً على توافر شروط اعتماد المجلات العلمية لأغراض الترقية العلمية في "مجلة الباهر" الصادرة عن مركزكم تقرر اعتمادها كمجلة علمية محكمة ومعتمدة للنشر العلمي والترقية العلمية .

... مع التقدير

وزارة التعليم العالي
والبحث العلمي
أ.د. عسان حميد جعفر العبيدي
المدير العام لدائرة البحث والتطوير
٢٠١٥/٥/١٨

Ministry of Higher Education & Scientific Research

نسخة منه إلى //

- مكتب السيد المدير العام / إشارة إلى موافقة سيادته بتاريخ ٢٠١٥/٥/١٧ / للتفصيل بالاطلاع ... مع التقدير .
- قسم الشؤون العلمية/ شعبة التأليف والنشر والترجمة
- الصادرة

بِسْمِ اللَّهِ الرَّحْمَنِ الرَّحِيمِ

كلمة العدد

لقد بهرت مجلة الباهر قرّاءها من ناحيتين الأولى: انتهاؤها البهي إلى الروضة العباسية المقدسة بعد أن استمدّت أريجَ اسمها من عظمة المولى أبي الفضل العباس (عليه السلام)، والثانية : من البحوث العلمية القيمة في مجال تخصصها، وهي تطمح إلى تزويدهم بأرقى البحوث وأجودها مادة في كلّ عدد من أعدادها أو قل أقاربها المتلائمة في سماء العلم ...، وهي حريصة في الوقت ذاته لتسوّع كلّ جديد ، وكلّ ما يثير أذهان المختصين بأفكار علمية متنوعة من شأنها أن تثري مجال التخصص والمتخصصين بها، الامر الذي يعكس ايجاباً على الحركة العلمية داخل الجامعات العراقية وخارجها و يؤدي بالنفع والمنفعة المادية حين تتحول هذه الافكار و الطروحات إلى مادة علمية عمليّة تفيد المجتمع وتسدّ بعضًا من احتياجاته .

وفي هذا العدد المبارك تطالعنا كوكبة جديدة من تلك البحوث التي استهدفت شرائح علمية متعددة بتنوع اختصاصاتها العلمية الطبيعية والهندسية، وتنوعت معها انتهايات الباحثين إلى الجامعات العراقية العريقة فنجد بغداد و كربلاء و بابل ...، قد تضافرت أفكارها لإنشاء العدد الخامس والسادس من المجلة آملين عبره أن يكون توجه الباحثين الأكاديميين متزايداً في رفد المجلة بما جادت أفكارهم من موضوعات جديدة بالقراءة والنشر حتى تزدان الباهر بكل ما هو نافع ومثمر ، وداعين لهم بالسداد والتوفيق خدمة للوطن والعلم ...

وآخر دعوانا أن الحمد لله رب العالمين

أحمد كاظم خضيري
جامعة بابل - كلية العلوم للبنات - قسم فيزياء
الليزر

دراسة تأثير الليزر على بكتيريا(*Enterococcus*) المعزولة من منتجات

الألبان 17

وصال عبد الرحمن ، اقبال جاسم بدر و هناء
كاظم موسى
قسم الكيمياء، كلية العلوم، جامعة البصرة،
العراق

عزل وتشخيص بعض المركبات الفعالة من جمار النخيل
واستخدامها في بعض التطبيقات الطبية 27

هدى محمد كاظم جواد، وفاء صادق محسن
الوزني، زهير حميد عبود
قسم علوم الحياة، كلية العلوم، جامعة كربلاء،
العراق

تشخيص الفطريات والخمائر المعزولة من المرضى المعتلىين مناعيا
بالطرق الكيموحيوية والجزئية 49

غيات حمزة علي
مديرية التربية في محافظة كربلاء المقدسة

العوامل المؤثرة على كلفة بناء الأبنية المدرسية في محافظة
كربلاء المقدسة 63

ليث محمد رضا محمود
قسم الهندسة المدنية، كلية الهندسة، جامعة
كربلاء، العراق

إيجاد علاقة مشتركة بين سرعة الأمواج فوق الصوتية ومقاومة
الانضباط للكتل الخرسانية الخلوية (الثرمستون 87

*ضوء محمد الخطيب * وفاء صادق الوزني
** ياسمين خضير الغانمي
* قسم علوم الحياة، كلية العلوم، جامعة
كربلاء، العراق
** قسم علوم الحياة، كلية التربية للعلوم
الصرفة، جامعة كربلاء، العراق

التحري عن جين *oxa-1* في عزلات جرثومة *Pseudomonas aeruginosa* 97
المعزولة من مرضى الحروق في مدينة كربلاء

نور جواد رضا ابو الحب
قسم الكيمياء، كلية العلوم، جامعة كربلاء،
العراق

تأثير درجة الحامضية pH على الصفات التركيبة والمورفولوجية
لجزيئات ثاني أوكسيد القصدير النانوية وإدتها كمتحسس لبخار
الإيثانول 107

دراسة تأثير الليزر على بكتيريا (Enterococcus) المعزولة من منتجات الألبان

أحمد كاظم خضيري

جامعة بابل - كلية العلوم للبنات - قسم فيزياء الليزر

تاريخ الاستلام: 3 / Aug / 2015

تاريخ قبول النشر: 19 / Jun / 2016

Abstract

In this study, Enterococcus bacteria was isolated from the Iraqi local dairy products then it have been compared with global products from (Saudi Arabia, Jordan, Syria, Iran). An study of absorption spectrum have been achieved to the planted bacteria in the middle nutritious before and after the irradiation by laser, as used several lasers with wavelengths (405, 532, 650)nm and the laser power of irradiation variable (1-20) m Watt and different irradiation times (1-24)min at different doses of radiation. The results showed that the bacteria isolated focused largest amount of Iraqi and Syrian Milk, it turns out that the bacteria isolated positive Gram appeared on the spherical shape under a microscope by (68.8%) of the total isolates, found them almost (79.8%) of the genus (Enterococcus), and have found that higher absorption of isolated bacteria in the extent of wavelengths UV near visible light within the wavelength (235)nm and the absorbance of the bacteria less when irradiation laser, note from the results that the effect of the laser (405)nm his percentage kill of bacteria higher than the laser (532)nm. This has the largest of the laser effect (650)nm under the same conditions, the study showed required to get the proportion of killing (100%) of time is (21) min and at least increase the laser power or radiation dose, and increase energy density by increasing the exposure time enough to damage the inside living cell and kill bacteria. The study has shown that lasers can be used as a tool, rather than the traditional pasteurization sterilization that lose Taste the milk and some of its properties.

Keywords

Enterococcus Bacteria, Isolated Bacteria, Irradiation by Laser, Absorption Spectrum, Radiation Dose.

الخلاصة

تم في هذه الدراسة تشخيص وعزل بكتيريا من جنس *Enterococcus* من منتجات الالبان المحلية العراقية ومقارنتها بالبان منتجة من مصانع عالمية (سعودية ،اردنية ،سورية وإيرانية) بعد زرع البكتيريا في الوسط الغذائي. درس طيف الامتصاص لها قبل وبعد تشعيعها بالليزر ، كما استعملت عدة ليزرات ذات الأطوال الموجية nm (405,532,650) وبقدره أشعاع متغيره mW (1-20) وأزمان تشعيع مختلفة min (1-24) بجرعات إشعاعية مختلفة. بينت النتائج أن البكتيريا المعزلة ترکزت بكمية أكبر بالبان العراقي والسوبرية، كما تبين أن البكتيريا المعزلة موجة الغرام ظهرت على شكل كروي تحت المجهر بنسبة (68.8%) من مجموع العزلات الكلية ، وجد منها تقربيا (79.8%) التابعة لجنس *Enterococcus*، وتبين أن أعلى امتصاص للبكتيريا المعزلة في مدى الأطوال الموجية فوق البنفسجية الفريدة من الضوء المرئي ضمن الطول الموجي nm (235) كما أن الامتصاصية للبكتيريا تقلع عند التشعيع بالليزر، نلاحظ من النتائج أن تأثير الليزر nm (405) له نسبة قتل للبكتيريا أعلى من الليزر nm (532) وهذا له تأثير أكبر من الليزر nm (650) ضمن نفس الظروف، أظهرت الدراسة ان الزمن المطلوب للحصول على نسبة قتل (100%) هو min (21) ويقل بزيادة قدرة الليزر أو الجرعة الاشعاعية ، وان زيادة كثافة الطاقة بزيادة زمن التعرض كافية لإلحاق الضرر داخل الخلية الحية وقتل البكتيريا. أثبتت الدراسة انه يمكن استعمال الليزرات أداة تعقيم بدل البسترة التقليدية التي تفقد الحليب مذاقته وبعض خواصه.

الكلمات المفتاحية

بكتيريا حمض اللبن، عزل البكتيريا، التشعيع بالليزر، طيف الامتصاص، الجرعة الأشعاعية .

إنتاج الأحماض الطيارة التي تسبب الطعم والنكهة [3]

وفي عام 1929 أظهر العالم Van Neil ان البكتيريا هي المسؤولة عن الطعم والنكهة، وبين العالم طيفور، (1988)، ان دور البادئات في إنتاج مركبات النكهة فإنها تعطي القوام المناسب لمنتجات الألبان المتخمرة وترفع القيمة التغذوية والصحية لهذه المنتجات . [4]

تؤثر الظروف الفيزيائية والكيميائية على نمو ونشاط البكتيريا ومنها الحرارة، الضغط ، تركيز الاوكسجين، وتركيز ايون الهيدروجين [5,6] ، ومن هذه الظروف بث وأنبعاث الطاقة خلال الوسط المادي الحاوي على البكتيريا والتي تعرف هذه الطاقة بالتشعيع، حيث يستخدم الليزر بتعقيم الماء والحليل وبعض المواد الغذائية طريقة من طرق التعقيم المعروفة، تحتاج البكتيريا وجود الضوء المرئي لكي تنمو وتنتشر مستعملة الطاقة الضوئية ومحولة إياها إلى طاقة كيميائية عن طريق عملية التمثيل الضوئي، وتتميز هذه البكتيريات بوجود مواد ملونة تشبه الكلوروفيل النباتي تعمل مادة وسيطة في هذه التفاعلات. يكون تأثير الأشعة فوق البنفسجية Ultraviolet و الأشعة السينية X-rays تأثيرا ضارا بالبكتيريات [7] ، عموما فقد أجريت دراسات عديدة ومتشعبة للتحقق من الطرق التي يمكن هذه الإشعاعات أن تقتل بها الخلايا البكتيرية توطئة للتعرف على الطرق التي من شأنها إبقاء التأثير الضار لهذه الإشعاعات وغيرها من الكائنات الأخرى الأكثر رقى بما فيها الإنسان ولا سيما إذا ما علمنا أن درجة التشابه في سلوك وحساسة الخلايا البكتيرية والخلايا الحيوانية للإشعاعات المختلفة قد تسمح بتطبيق النتائج المتحصل عليها عند دراسة التأثيرات على مستوى الخلية الواحدة. ويلاحظ أن الإشعاعات ذات الموجات القصيرة عن الضوء المرئي يكون لها تأثيراً

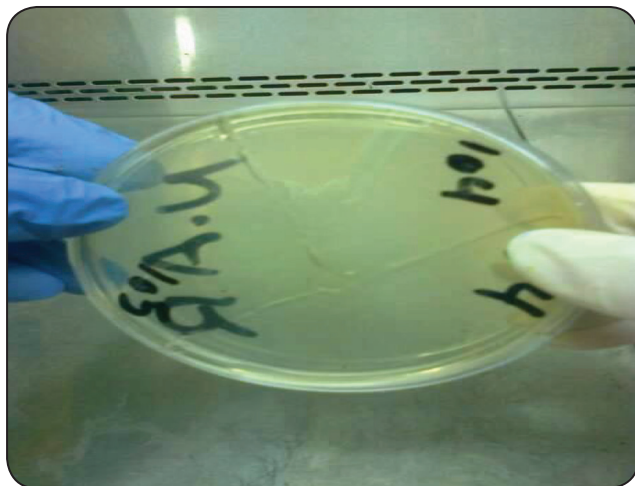
1. المقدمة

بكتيريا حمض اللبن (العصيات اللبنية)، هي كائنات حية دقيقة موجبة الغرام هوائية - لا هوائية اختيارياً غير متحركة وغير متبوغة (كروية) لا تنتج أنزيم الكاتالاز (يعمل هذا الأنزيم على تفكك الماء والأوكسجيني إلى ماء وأوكسجين). ومن الجدير بالذكر أن بكتيريا حمض اللبن تعمل على تخمير السكريات ضمن ظروف لا هوائية [1]. وقد استخدمت في صناعة الغذاء لسنوات عديدة بسبب قدرتها على تحويل السكاكر بها فيها اللاكتوز والكربوهيدرات إلى حمض اللبن. وهذا يعطي بالإضافة للطعم لمنتجات الألبان المخمرة كاللبن الرائب، ولكن بخفض درجة الحموضة pH تقلل من فرص نمو الكائنات المخربة للطعام، ولذلك تعطي إمكانية فائدة صحية عبر منع الالتهابات المعاوية المعوية. يأخذ التنوع الكبير لبكتيريا حمض اللبن أهمية كبيرة نظراً لكونها ذات فائدة كبيرة فهي توجد ضمن الفلور الطبيعية في أماكن مختلفة في البيئة وترى بنسنة أكبر في الحلوب [2] وتعد مسؤولة عن تخمير قد عرف التخمير اللبناني الحامضي الذي تقوم به بكتيريا حمض اللبن منذ فترة طويلة من الزمن واستخدم من أجل حفظ المواد الغذائية بشكل طبيعي، وقد بدأ استخدامها بادئات لإنتاج الحموضة في أثناء تصنيع منتجات الألبان المتخمرة قبل التعرف على البكتيريا المسماة لذلك، حيث كان الحلوب يترك في درجة حرارة الغرفة عدة ساعات أثناءها تتكاثر بكتيريا حمض اللبن الموجودة في الحلوب طبيعياً ومن ثم يستخدم في تصنيع الألبان المتخمرة، واستمر العمل بهذه الطريقة البدائية في إنتاج البادئات حتى أثبتت في عام 1919 بأن البادئ الواجب استخدامه في إنتاج منتجات لبنية ذات طعم ونكهة مرغوب فيها يجب أن يحتوي على نوعين من ذات الموجات القصيرة عن الضوء المرئي يكون لها تأثيراً

ذلك زرعت البكتيريا بطريقة التخيط تحت ظروف ملائمة من ضغط ودرجة حرارة حين تنموتها تحت ظروف مظلمة وحفظها في الثلاجة بعد قياس طيف امتصاصها وتهيئتها للتشعيع.

2.2. تحضير الوسط المغذي

تم وضع g (20) من الوسط المغذي (ماگونکی- اوکساید اکار Agar Mackounky Oxide) في نصف لتر من الماء المقطر (حسب التعليمات الموضوّعة على العلبة من قبل الشركة المصنعة) ثم عقم في الحاضنة على درجة حرارة 200°C وضغط 15 Pa لمدة زمنية 20 min بعدها صب في الأطباق، كما مبين بالشكل (1).



الشكل (1): تحضير الأطباق الحاوية على الوسط المغذي.

ميّاً للكائنات الحية الدقيقة فهي بذلك تستعمل في التعقيم دون أن ترفع من درجة حرارة المادة المعقمة وتعرف لذلك بطريقة التعقيم البارد [8]، ويمكن استعمال هذه الطريقة في تعقيم المواد الحساسة للحرارة المرتفعة مثل بعض أنواع الأدوية. يمكن إنتاج أشعة الليزر بأجزاء معينة من الطيف الكهرومغناطيسي مما يجعلها ذات تأثير حاد على الأحياء الدقيقة لكن يتطلب تأثير الأشعة بصورة مباشرة ويزداد تأثيرها بزيادة الجرعة الإشعاعية كثافة الطاقة لوحدة المساحة وهذا يعتمد على الطول الموجي للليزر المستخدم وقدرة الليزر والفترة الزمنية اللازمة للتشعيع [9].

2. الجزء العملي

يستعمل الليزر في تعقيم الماء وبعض المواد الغذائية كطريقّة من طرائق التعقيم الفيزيائيّة المعروفة مثل استعمال الحرارة والضغط والمجاالت الفوق الصوتية والأشعة فوق البنفسجية وأشعة كاما والبلازما [10]، تم استخلاص بكتيريا من الالبان ومقارنة تأثير الليزرات على فترات زمنية مختلفة حيث استخلصت البكتيريا من الالبان المحليّة وقورنت مع الالبان متوجة من مصانع (سعودي_ ايراني_ اردني_ سوري). بعد عزل وتشخيص البكتيريا شعّت باستخدام الليزر بثلاثة اطوال موجية مختلفة بقدرة متزايدة وفترات زمنية تعرّض مختلفة.

3.2. تسجيل طيف الامتصاص

تم فحص طيف امتصاص البكتيريا المعزلة في الاوساط المغذيّة باستخدام جهاز UV-Visible (Spectrophotometer) والمجهز من قبل شركة CECIL الانكليزية. والذي يعمل ضمن المدى nm (900-190) والميئنة صورته في الشكل (2).

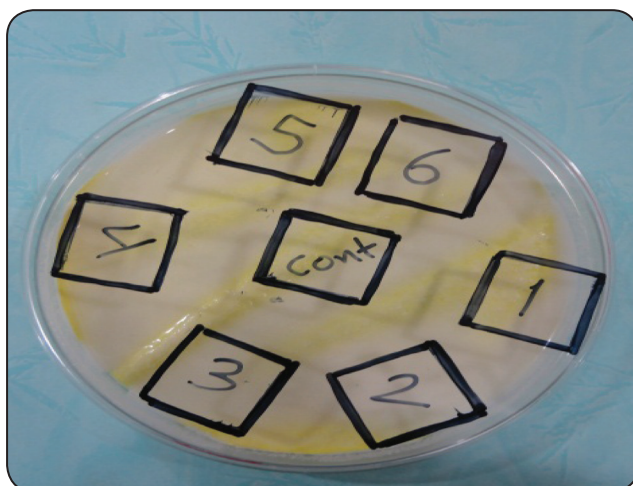
1.2. عزل البكتيريا

بعد أخذ ml (10) من محلول فسولوجي من الالبان من المنتجات المذكورة سابقاً عزلت البكتيريا بمختبر الاحياء المجهرية في كلية العلوم للبنات جامعة بابل، ثم نقلت الى الوسط المغذي بأخذ مسحة من سطح المزرعة البكتيرية بعد

وحضنت بدرجة حرارة 37°C لمدة زمنية (24 ساعة) في الحاضنة تحت ظروف مظلمة لضمان عدم تأثير الضوء على البكتيريا . وبعد نمو وظهور مستعمرات البكتيريا تم حفظها في الثلاجة لحين استعمالها للتشعيع.

5.2. تحضير البكتيريا لغرض التشعيع

وضع ml (4) من محلول الوسط المغذي في كل طبق من الاطباق المعمقة المراد تشعيعها وخلط معاً ml (4) من محلول الذي يحيي البكتيريا المعزولة ورج جيداً لضمان التوزيع المتتجانس وقسمت مناطق مساحة كل منطقة 1 cm^2 (1) لتحديد المنطقة المعرضة لضوء الليزر ليكون جاهز للتشعيع، كما في الشكل (4).



الشكل (4): الاطباق المحضر لغرض التشعيع.

6.2. تشعيع العينات بالليزر

بعد تهيئة العينات عرضت للتشعيع لمدة زمنية مختلفة باستخدام ثلاثة ليزرات، ليزر الحالة الصلبة المضخ بالداليدو بطول موجي nm (405)، كما مبين بالشكل (5).



الشكل (2): جهاز لحساب طيف الامتصاص.

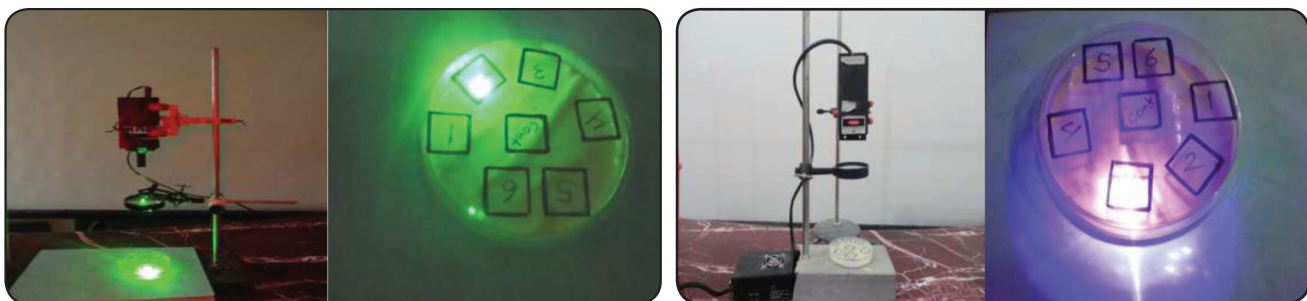
تم وضع ml (3) من البكتيريا المعزولة داخل الوسط المغذي في خلية من الكوارتز لفحص طيف امتصاص العينة. وبعدها تشعع العينة بليزر طوله الموجي nm (405) لفترة زمنية مقدارها min (10) وبعد التشعيع أخذ طيف الامتصاص لنفس العينة، كما في الشكل (3).



شكل (3): تشعيع الوسط المزروع فيه البكتيريا بالليزر

4.2. تحضير العينات

عزلت وشخصت بكتيريا (Enterococcus) من منتجات الالبان في مختبر الاحياء المجهرية ثم نقلت الى الوسط المغذي ماگونكي_اكار تحت ظروف معقمة



شكل (7): تشيع الاطباق الحاوية على المزرعه البكتيرية
باستخدام ليزر بطول موجي nm (650).

شكل (5): تشيع الأطباق الحاوية على المزرعة البكتيرية باستخدام لizer بطول موجي nm (405).

للمقارنة ومعرفة تأثير الطول الموجي عند التشعيع
استخدم ليزر الحالة الصلبة ايضا المضخ بالدایود بطول
موجي nm (532)، كما مبين بالشكل (6).

3. النتائج والمناقشة

بيان نتائج البحث أن البكتيريا المعزولة موجبة الغرام

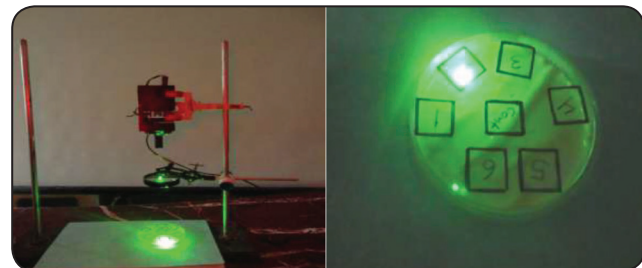
ظهرت على شكل كروي تحت المجهر بنسبة (68.8%) من مجموع العزلات الكلية، وجد منها تقريريا (79.8%) تابعة لجنس (*Enterococcus*) وانقسم هذا الجنس (*E. faecium*) الى نوعين من البكتيريا كان النوع السائد (*E. faecalis*) بنسبة (20.2%)، بنسبة (59.6%) والنوع (*E. faecalis*) بنسبة (13%) جميعها ووجد الجنس (*Lactococcus*) من نوع (*L. lactis*) وبلغت نسبة وجود النوع (6.2%). اما البكتيريا موجبة الغرام من الشكل البيضوي فقد ظهرت بنسبة (29.5%) من مجموع العزلات الكلية، حيث كانت تابعة لجنس (*P. pentosaceus*) جميعها من نوع (*Pediococcus*). وظهر المتبقى من العزلات الكلية بكتيريا بشكل عصوي موجب الغرام بنسبة (1.7%) وكانت تابعة للجنس (*Lb. paracasei*) ومن نوع (*Lactobacillus*)،

تقارب النتائج مع الدراسات السابقة. [1]

عزلت العينات من متجمدات الالبان من مصانع في بلدان

مختلفة (العراق، السعودية، الأردن، سوريا وأيران)

وب الواقع (10) عزلات من كل منتج، حيث تمأخذ حجم



شكل (6): تشيع الاطباق الحاویة على المزرعه البكتيرية
باستخدام ليزر بطول موجي nm (532).

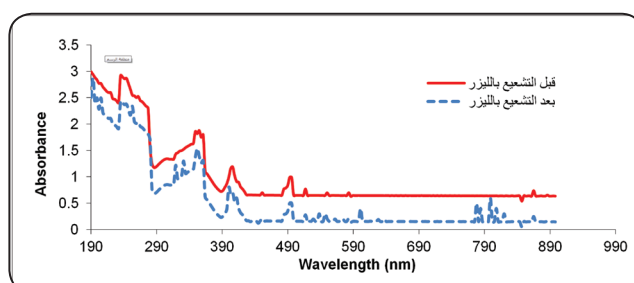
استخدم ليزر الديايد بطول موجي nm (650) متغير القدرة، كما مبين بالشكل (7)، حيث أسقطت الأشعة عمودياً على العينة الحاوية على العزلات البكتيرية، وأستخدمنا عدسة لامة ذات بعد بؤري cm (15) لتركيز أشعة الليزر على العينة.

حساب الجرعة الاشعاعية لكتافة الطاقة البصرية لوحدة المساحة أستخدمت العلاقة [8,10]، المبينة في المعادلة رقم .(1)

$$Fluence = \frac{Pt}{A} \quad \dots \dots \dots \quad (1)$$

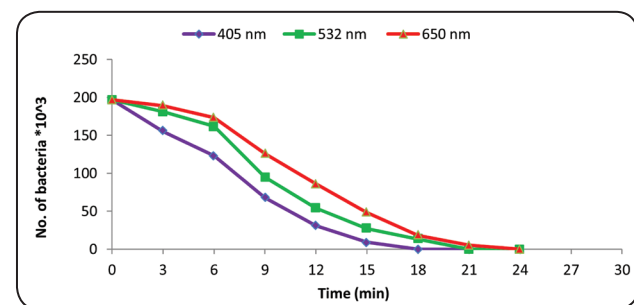
حيث : P تمثل قدرة شعاع الليزر ، t زمن التشعيع ، A مساحة البقعة الليزرية .

ارتفاع درجة الحرارة المترتبة نتيجة امتصاص الماء الاشعة الليزر مما يؤدي الى ترقق الخلايا الحية للبكتيريا، كما مبين بالشكل (9).



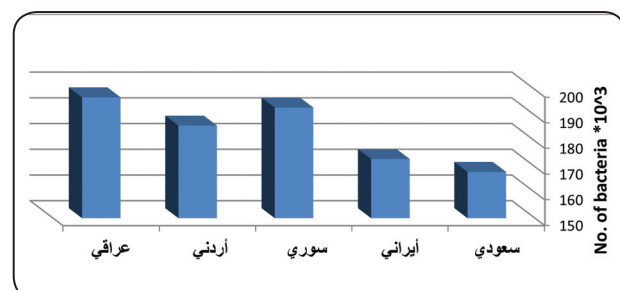
شكل (9): طيف الامتصاص للبكتيريا المعزولة.

أن زيادة الجرعة الاشعاعية أي زيادة زمن التشعيع يؤدي إلى نقصان عدد المستعمرات البكتيرية هذا بدوره يدل ان عدد من المستعمرات البكتيرية قتلت بالتشعيع، حيث تم المقارنة بين أطوال موجية مختارة للليزر المستخدم بعملية التشعيع ، نلاحظ ان الطول الموجي nm (405) له نسبة قتل اكبر من الطول الموجي nm (532) وهذا الطول الموجي له نسبة قتل اكبر من الطول الموجي nm (650) بثبوت قدرة شعاع الليزر mW(10) وسبب هذا ان امتصاص البكتيريا للاشعة المرئية القريبة من الطيف فوق البنفسجي اكبر من باقي الطيف المرئي ، كما مبين في الشكل (10) .



الشكل (10): تأثير زمن التشعيع على عدد المستعمرات البكتيرية بين الشكل (11) علاقة عدد المستعمرات البكتيرية كدالة لقدر شعاع الليزر حيث نلاحظ نقصان عدد البكتيريا

ml (10) من كل عينة تحت نفس الظروف، بينت النتائج أن الالبان العراقية والسويسرية تحوي على اكثربعد من البكتيريا المعزولة ، اما الالبان السعودية تحوي على اقل نسبة، وذلك الاختلاف التغذية الحيوانية وطبيعة البيئة للحيوان، بين الشكل (8) هيكل احصائي لعدد البكتيريا المعزولة من المتجر المحلي ومقارنته بالمتجرات الاجنبية.

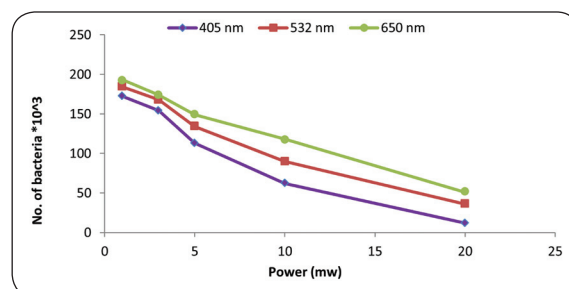


الشكل (8): يمثل عدد المستعمرات البكتيرية للعينات تحت الدراسة.

لمعرفة تأثير اشعة الليزر على البكتيريا تم دراسة طيف امتصاص البكتيريا المعزولة من الالبان كذلك ليتم معرفة نوع الطول الموجي المختار لغرض التشعيع، درس طيف امتصاص البكتيريا المعزولة قبل تشعيعها بالليزر وبعد تشعيعها بلليزر الحالة الصلبة المضخ بالدايود بطول موجة nm (405) وقدرة خرج mW (20) لفترة زمنية مقدارها min (10) ، بينت النتائج ان قمة الامتصاص للبكتيريا في منطقة الاشعة فوق البنفسجية ، وله امتصاصية في الضوء المرئي القريب من الاشعة فوق البنفسجية ، كما نلاحظ ان البكتيريا تمتلك امتصاصية متباينة في الطيف المرئي والاشعة تحت الحمراء القريبة. عند مقارنة طيف الامتصاص للعينة قبل وبعد التشعيع بالليزر لاحظنا نقصان طيف الامتصاص بنسبة ملحوظة مما يدل على أن نسبة من الخلايا الحية تم قتلها عند تشعيعها بالليزر، حيث يعزى قتل البكتيريا بالليزر الى التأثير الحراري والضغط المترتب داخل الخلية الحية نتيجة

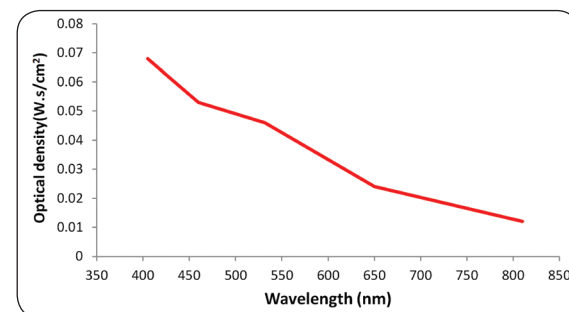
1. وجود أكثر من نوع من البكتيريا في منتجات الالبان المستخدمة في البحث وتركز البحث على الجنس السائد منها (Enterococcus) بصورة أكبر في المنتج المحلي مقارنة بالالبان السعودية والاردنية والسورية والiranية، وهذا يرجع إلى اختلاف التغذية الحيوانية [1].
2. كان الجنس السائد في جميع العزلات (Enterococcus) (E.faecium) من الشكل الكروي موجب الغرام من نوع (59.7%) ترکز بكميه أكبر بالمنتج العراقي والسوسي من باقي المنتجات.
3. للبكتيريا المستخدمة في البحث استخدام الليزرات بأطوال موجية قريبة من المنطقة فوق البنفسجية لها تأثير أكبر من الليزرات ذات الأطوال الموجية الأكبر، وذلك لأمتلاك البكتيريا المعزولة قمم امتصاص الأشعة الكهرومغناطيسية في هذه المنطقة من الطيف.
4. أن تشعير البكتيريا بالليزر يؤدي إلى تناقص الأعداد الحية للبكتيريا مع زيادة الجرعة أو فترة التعرض.
5. امكانية الحصول على نسبة قتل (100%) للبكتيريا بالليزرات المستخدمة ضمن ظروف التجربة.
6. امكانية استغلال اجهزة الليزر في تعقيم الماء ومنتجات الالبان.

بزيادة قدرة شعاع الليزر المسلط، بثبوت زمن التشعير min (5). وهذا مؤشر لزيادة او تسريع قتل البكتيريا، نلاحظ من النتائج أن الطول الموجي nm (405) له نسبة قتل أكبر من بقية الاطوال الموجية، لأن المنطقة البنفسجية من الضوء المرئي اقرب من منطقة الأشعة فوق البنفسجية من الطيف الكهرومغناطيسي التي تزداد عندها امتصاصية البكتيريا المعزولة.



شكل (11): يمثل تناقص عدد المستعمرات البكتيرية بزيادة قدرة شعاع الليزر

يبيّن الشكل (12) كثافة الطاقة البصرية كدالة للطول الموجي لوحدة المساحة المسلط المحسوبة من المعادلة رقم (1) الطاقة للجرعة الاشعاعية (معادلة فلونس) بتشعير مساحة cm^2 (1) من العينة، نلاحظ نقصان الكثافة البصرية للعينة بزيادة الطول الموجي.



شكل (12): الكثافة البصرية كدالة للطول الموجي.

4. الأستنتاجات
من الدراسة الحالية نستنتج مايلي:-

- Fundamentals and Applications" Third Enlarged Edition . Heidelberg, Germany, (1996).
- [10] Prasad N.P, Introduction to Biophotonics John Wiley & Sons, Inc., Publication,(2003).

5. المصادر

- [1] عهد أبو يونس، الكشف عن بكتيريا حمض اللبن المعزولة من بعض منتجات الألبان السورية، مجلة جامعة دمشق للعلوم الزراعية، المجلد (23) العدد (2) الصفحات (317-334)، (2007).
- [2] حسين، بهاء الدين والمصلح، رشيد، الأحياء الدقيقة المجهرية في الأغذية، وزارة التعليم العالي والبحث العلمي، مطبعة دار الكتب للطباعة والنشر، جامعة بغداد، (1990)، 257-260.
- [3] العاني، فائق عزيز ، التكنولوجيا الحيوية، مطبعة دار الكتب للطباعة والنشر ، جامعة الموصل، (1993).
- [4] طيفور، أنطون، تكنولوجيا الألبان منتجات التخمر، منشورات جامعة دمشق، 33-46، (1994).
- [5] الموسوي، جاسم حلو، أستعمال ليزر الديايد ذي القدرة العالية في تعقيم الماء والخليل، مجلة ابحاث البصرة، المجلد (4)، العدد (37)، الصفحات (10-18)، (2011).
- [6] Layla M. Hassan, Effects of diode laser 805 nm on the viability of some types of gram negative and gram positive pathogenic bacteria, Iraqi Journal of Science, Vol.(51) , No.(4), PP. 665 - 669 , (2010).
- [7] Karue, T, Primary and Secondary mechanisms of action of visible to near IR radiation on cells. Journal of Photochemistry and photobiology B: Biology, Vol.(49), No.(1), PP. 1 - 17, (1999).
- [8] Chopra, S. and Chawla, H.M, "Laser in Chemical and Biological Sciences". Wiley Eastern LTD, New Delhi,(1992).
- [9] Markolf, H.N. "Laser- Tissue Interaction.

عزل وتشخيص بعض المركبات الفعالة من جمار النخيل واستخدامها في بعض التطبيقات الطبية

وصال عبد الرحمن ، أقبال جاسم بدر و هناء كاظم موسى

قسم الكيمياء، كلية العلوم، جامعة البصرة، العراق

تاريخ الاستلام: 7 / Sep / 2015

تاريخ قبول النشر: 18 / Mar / 2016

Abstract

The present study include preparation the extract of glucoside, alkaloid flavonoid and palm heart plant oil as compound glucoside has been isolated from the extract glucoside and flavonoid composite isolated from flavonoid extract and two compounds alkaloid extract. These isolated compounds was diagnosed with several techniques including infrared (FTIR) visible under ultraviolet (VIS_UV) and chromatography thin layer technology (TLC) cellular toxicity test was conducted within the In vivo body cellular toxicity using human blood tests showed human blood is not affected by isolated compounds Of palm heart and isolated oil is safe and non-toxic. The studied include biological effectiveness in the use of two types of bacteria is *Staphylococcus aureus* and positive is *Aero monas hydrophila* negative overtones of tincture compounds isolated from palm heart and isolated oil results showed that flavonoid component possessing the highest susceptibility to discourage negative *Aero monas hydrophila* bacteria where inhibition zone of (16) mm bacteria either composed alkaloid for organic layer has 12mm inhibition. Estimated effective compounds isolated from oil palm heart isolated as antioxidants and antioxidant (BHT) showed that flavonoid component possessing the highest effectiveness as antioxidant compared to rest of (BHT) compounds zone.

Keywords

Extract of Glucoside, Extract of alkaloid flavonoid, Extract of Palm Heart

الخلاصة

تناول البحث عمل مستخلص اتكلايكوسيدى، قلويدي، فلافونيدى وزيت من نبات جمار التخيل وعزل مرکب كلايكوسيدى من المستخلص الكلايكوسيدى وعزل مرکب فلافونيدى من المستخلص الفلافونيدى ومرکبان من المستخلص القلويدي. تم تشخيص هذه المركبات المعزولة بعدة تقنيات منها الاشعة تحت الحمراء (FTIR) ومطيافية الاشعة المرئية وتحت البنفسجية (VIS_UV) وتقنية الكروموتوغرافيا الطبقة الرقيقة (TLC) واجري اختبار السمية الخلوية Invivo داخل الجسم بطريقة السمية الخلوية باستخدام دم الإنسان وقد اظهرت الاختبارات عدم تأثر دم الإنسان بالمركبات المعزولة من جمار التخيل والزيت المعزول وبأنها مركبات آمنة وغير سامة. ودرست الفعالية البايولوجية باستعمال نوعين من البكتيريا وهي *Staphylococcus aureus* الموجبة لصبغة *Aeromonas hydrophila* السالبة لصبغة گرام للمركبات المعزولة من جمار التخيل والزيت المعزول وقد اظهرت النتائج ان المكونة الفلافونيدية تمتلك اعلى قابلية على تثبيط البكتيريا السالبة *Aero monas hydrophila* حيث امتلك قطر تثبيط للبكتيريا 16 mm اما المكونة القلويدية للطبقة العضوية فقد امتلكت قطر تثبيط للبكتيريا .(12) mm

قدرت فعالية المركبات المعزولة من جمار التخيل والزيت المعزول كمضادات للاكسدة ومقارنتها مع مضاد الاكسدة (BHT) حيث اظهر بأن المكونة الفلافونيدية تمتلك اعلى فعالية كمضاد اكسدة مقارنة مع (BHT) من بقية المركبات.

الكلمات المفتاحية

مستخلص اتكلايكوسيدى، مستخلص قلويدي، مستخلص فلافونيدى، مستخلص جمار التخيل.

1. المقدمة

ناهيك عن نوع وصنف النخلة الناتجة [4].

فقد ذكر الطب القديم فوائد جمار النخل بقول الرازى عنه بان «الطلع والجمار ينفعان المحرورين ويسكنان ثائرة الدم ويدفع ما تولده هذه في المعدة من النفع». ومن الفوائد الصحية للجمار معالجة الربو، السعال الديكي، نزيف المعدة، وكذلك يعتبر من احسن المراهم لمعالجة الجروح والقرح [5].

كما ان اكثر من (50%) من العقاقير المتعارفة في الوقت الحاضر هي من المنتجات الطبيعية التي لها قدرة السيطرة على خلايا السرطانية وذلك من خلال تأثيرها في آليات الانقسام الخلوي او في مرحلة ما قبل الانقسام مثل تضاعف (DNA) [6] وفي العراق اكتشف عدداً من المستخلصات النباتية التي تمتلك فعالية مضادة للسرطان وتعتمد هذه الفعالية بشكل اساسي على التراكيز المستعملة ومدة التعرض ونوع الخلايا حيث اشار [7] الى ان مستخلصات قشور الليمون تمتلك تأثيراً مثبطاً لنمو الخطوط الخلوية السرطانية وقد يعود هذا التأثير الى احتوائها على الفلافونيدات والتربيتات التي هي من المركبات الفعالة المضادة للأكسدة ، وكذلك الدراسة التي اجرتها [8] على ثمار اليمبرحيث اثبتت انه يمتلك تأثيراً سميأً على الخلايا السرطانية خارج الجسم الحي ، فمثلاً الفلفل الاسود والكبابة استعملما بصورة شائعة في وجبات الطعام والطب الشعبي كونها تضييف نكهة ورائحة للأطعمة اضافة الى كونها مواد حافظة وذات قيمة طبية [9,10] ، يحتوي الفلفل الاسود على مركب Pyrogallol Catecol وهو مركب سام للمicrobates [11] ، حيث ان المستخلص المائي والكحولي للفلفل الاسود ذو فعالية مضادة للمicrobates A.niger وللسرطان [12] . وتعتبر الكبابة مضاد فطري Aspergillus Fumigatus [13] لذا استخدمت الزيوت الطيارة للكبابة في حفظ الاغذية [14] ، كما تحتوي

النباتات الطبية شأنها شأن النباتات الاخرى تؤدي دوراً مهماً في حياة الإنسان فقد ربط الإنسان الاول العلاقة بين النباتات البرية التي تنمو حوله وبين الامراض التي يصاب بها فأستعملها في التداوى والعلاج ضد الامراض عن طريق الصدفة والخطأ والصواب [1].

تحتل النباتات الطبية في الوقت الحاضر مكانة مهمة في الانتاج الزراعي والصناعي و تعد المصدر الرئيس للعقاقير الطبية والمواد الفعالة التي تدخل في تحضير الادوية او تستخدم بوصفها مواد خام لانتاج عدد من المركبات الكيميائية التي تدخل في تصنيع الادوية المهمة [2] . واصبح معلوماً في الوقت الحاضر وبوضوح ان في النباتات مواد اساسية كالكربوهيدرات والبروتينات والاحماض الدهنية و اخرى ثانوية كالفينولات والقلويادات والكلاكوسيدات، غير انه وجد في كثير من الحالات ان المواد الثانوية تؤدي دوراً مهماً في الطب . وذكر ان المواد الفعالة في النباتات تتأثر بعوامل عديدة منها التربة والمناخ وطريقة الجمع والحفظ [3].

نخلة التمر من الاشجار مستديمة الحضرة ذات جذع اسطواني غليظ غير متفرع ترتفع نحو m (30) تتجه اوراق كبيرة مركبة ريشية (السعف) بهية المنظر . نخلة التمر من النباتات ذات الفلقة الواحدة ، احادية الجنس ثنائية المسكن، اي ان هناك نخلة تحمل ازهارا ذكرية وتسمى النخلة الذكر او الفحل ، ونخلة اخرى تحمل ازهارا انثوية وتسمى النخلة الانثى وهي التي تثمر، يتکاثر نخل التمر بطريقتين هما زراعة الفسائل عند اسفل الساق (جذع النخلة) وهي طريقة مضمونة للتکاثر وتكون معروفة الاصل ولصنف النخلة المزروعة ، كذلك يمكن اکثارها عن طريق النوى ولكنها غير مضمونة النتائج حيث ان نسبة النجاح لا تتجاوز (20%)

على مركب O-benzylcubeben الذي له فعالية ثبيطية وقاتلة للفطر Candida Albicans [15].
بخنر Buchnner Funnel وخذ الراشح ووضع في طبق زجاجي (Ptri dish) في درجة حرارة الغرفة ليجف، وقد تم الحصول على مادة لزجة ذات لون قهوائي بلغ وزنها g (17) [17].

2. طرق العمل

3.1.2. تحضير المستخلص الكحولي (70%)
مزج g (5) من مسحوق جمار التخيل مع ml (250) من الكحول الاليلي في دورق مخروطي Round flask سعة ml (500) واجريت له عملية التصعيد العكسي Reflux عند درجة الغليان لمدة اربع ساعات وترك محلول ليبرد بعد ذلك رشح محلول باستعمال اوراق ترشيح what (mann no.32) تحت الضغط المخلخل وخذ الراشح ووضع في طبق زجاجي (ptri dish) ثم ترك مكسوفا في الظل عند درجة حرارة الغرفة فتم الحصول على مادة لزجة القوام ذات لون قهوائي غامق بلغ وزنها g (3.2) [18].

جمعت عينات جمار التخيل من منطقة (المطحية) جنوب محافظة البصرة في شهر تشرين الاول ، وقد جرى التأكد من صنف التمر في معشب قسم البيولوجي كلية العلوم جامعة البصرة، فقد صنف من ضمن تمور الحلاوي. تم قطع فسائل التخيل واستخرج الجمار منه وتم غسله ، ثم تركت العينات لتجف في الظل وبدرجة حرارة الغرفة ضمن محيط جاف للتهوية ، وبعد جفاف العينات طحت طحناً ناعماً بواسطة مطحنة كهربائية، ثم حفظت في حاويات زجاجية ومعتمة ونظيفة بعيداً عن الضوء والحرارة والرطوبة لحين الاستعمال.

1.2. تحضير المستخلصات

1.1.2. عزل الدهون

4.1.2. استخلاص القلويدات
تم اخذ g (25) من مسحوق جمار التخيل منزوع الدهون ومزج مع (10% v/v) حامض الخليك الايثانولي مع التحريك المستمر باستخدام Magnetic Stirrer بدرجة حرارة الغرفة ولمدة (24) ساعة ، بعدها رشح المزيج ثم تم معاملته مع الامونيا المركزة الى ان اصبحت الدالة الحامضية (pH=9) واجريت له عملية الاستخلاص بالكلوروفورم بحجم ml (52) ولثلاث مرات متتالية باستخدام قمع الفصل ، جفف الجزء العضوي المحتوى على الكلوروفورم فتم الحصول على مادة لزجة قهوائية بوزن g (1.05)، اما الطبقة المائية فقد اعطت مادة لزجة قهوائية مائلة للسوداء [19].

وضع g (30) من مسحوق جمار التخيل في وعاء ورقي Soxhlet في جهاز الاستخلاص المستمر (Thumble) (continuous extraction) لمدة (15) ساعة باستعمال ml (250) من مذيب المكسان الاعتيادي ثم ترك ليجف بدرجة حرارة الغرفة ، وقد تم الحصول على سائل دهني ذو لون اصفر باهت بوزن g (1.24) [16].

2.1.2. تحضير المستخلص المائي الحار

مزج g (5) من مسحوق جمار التخيل منزوع الدهون مع ml (250) من الماء المقطر واجريت له عملية التصعيد العكسي Reflex عند درجة حرارة °C (700) لمدة (6) ساعات، وترك محلول ليبرد بعد ذلك رشح محلول بواسطة قمع

في قمع فصل Separating funnel ورج لمدة خمس دقائق بعدها ترك لمدة ساعتين ثم فصل الراشح ذي اللون البني المحمر عن الراسب الأبيض باستعمال ورق الترشيح ووضع الراشح في طبق زجاجي petri dish ليجف في درجة حرارة الغرفة اذ تم الحصول على مادة لزجة ذات لونبني غامق مائل للاحمرار وزنها g (2.4) [21].

3. الكشوفات النوعية الاولية

اخضع الزيت المعزول من مسحوق جمار النخيل والمستخلص الكحولي (v/v 70%) والمستخلصات القلويدية والكلايوكوسيدية والفالفونيدية المزدوجة الدهون الى عدد من الكشوفات الكيميائية للتعرف عن محتواها من العوائل الكيميائية منها : القلويد [19,22]. الصابونين [23,24]. الفلافونيدات [24,25]، التаниنات [23]، البروتينات [26] الكربوهيدرات [27] البيتيدات ومجاميع الأمين الحرة [19] الكلايوكوسيدات [25] المركبات الفينولية [19] ، الكيومارينات [23]، التريينيدات الثلاثية والستروولات [19].

4. عزل وتشخيص المركبات المعزولة

لغرض تحديد عدد مكونات المركبات المعزولة تم اجراء ما يلي :

1.4. كروموتوغرافيا الطبقة الرقيقة

حيث اجريت تقنية الصفائح الرقيقة Thin Layer Chromatography على الزيت المعزول من جمار النخيل والمستخلص الكلايوكوسيدية والفالفونيدية لمسحوق جمار النخيل المزدوج الدهون وعلى التوالي المزج (Chloroform-Methanol-Water) وبنسبة

5.1.2. استخلاص الكلايوكوسيدات

مزج g (50) من مسحوق جمار النخيل مزدوج الدهون مع ml (300) من (v/v 2% حامض الخليل) ثم وضع المزج في حمام مائي بدرجة حرارة $^{\circ}\text{C}$ (60) مع التحريك المستمر ولمدة (8) ساعات بعد ذلك رشح محلول وجرت معاملته مع البيوتانول الاعتيادي المشبع مع NaCl ثم فصل Separating funnel وترك ليجف بدرجة حرارة الغرفة فتم الحصول على مادة صلبة ذات لونبني غامق بوزن g (10.5) [20].

6.1.2. استخلاص الفلافونيدات

مزج g (25) من مسحوق جمار النخيل مزدوج الدهون مع ml (250) من الميثانول (v/v 80%) في دورق مخروطي سعة ml (250) واجريت له عملية التصعيد العكسي Reflux لمدة اربع ساعات ورشح المزج باستخدام ورق الترشيح (wathmann no.32) تحت الضغط المخلخل ، بعد ذلك تم معاملة الراشح مع ml (125) من محلول خلات الرصاص المائي (1%) مع الرج جيدا لمدة خمس دقائق ، وترك محلول لمدة ساعتين لإنتمام الترسيب وفصل الراسب الأبيض المصفى عن الراشح البني المحمر باستخدام ورق الترشيح .

اخذ الراشح ووضع في طبق زجاجي (petri dish) وترك مكشوفا في الظل عند درجة حرارة الغرفة فتم الحصول على مادة لزجة ذات لونبني غامق مائل للاحمرار تم غسلها مرتين مع ml (10) من الماء المقطر وثلاث مرات مع ml (10) من الكحول الميثيلي ، واخيرا غسلت ثلاث مرات مع ml (10) من خلات الايثيل ، بعد عملية الغسل اضيف الى الراسب البني المحمر ml (5) من حامض الهيدروكلوريك بتركيز (2) عياري و ml (25) من الاسيتون ، ووضع المزج



في إيران. (7:8:5) لفصل مكونات المزيج الكلايوكسيدي والمزيج

6.4. طيف NMR (8:7:4) وبنسبة (Chloroform-Methanol-Water)

قدر عدد البروتونات للمركبات المعزولة في الجامعة

الاردنية الهاشمية باستخدام جهاز ذي تردد (500 MHz) وباستعمال مذيب DMSO والمراجع . TMS

5. دراسة الفعالية البايولوجية للمركبات المعزولة ضد

بعض أنواع البكتيريا

استخدم في هذه التجربة نوعان من السلالات الجرثومية

البكتيرية هي :

1- *Staphylococcus aureus* الموجبة لصبغة گرام.

2- *Aero monas hydrophila* گرام

[30]

1.5. تقدير فعالية المركبات المعزولة من جمار التخيل

كمضادات للأكسدة

تم تقدير الفعالية للمركبات المعزولة كمضادات للأكسدة

باستخدام [31] حيث قورنت فعالية المركبات مع فعالية

BHT بالاعتماد على الرسم البياني بين الامتصاصية والزمن

$$AA = \left[1 - \left\{ \frac{A_j - A_t}{A_{j^*} - A_{t^*}} \right\} \right] \times 100$$

عند نفس الطول الموجي

2.5. اختبار السمية الخلوية للمركبات المعزولة من جمار

النخيل داخل الجسم بطريقة السمية الخلوية

تم اختبار السمية الخلوية للمركبات المعزولة وباستخدام

تركيز مختلفة من هذه المركبات (1000 ، 500 ، 250 ، 100 ،

50 ، 10) (ppm) بأسعمال مذيب DMSO وباستخدام

محلول الدم المحضر من مزج ml (1) من دم الإنسان مع

20) من محلول الفسيولوجي Normal saline [32].

لفصل مكونات المزيج الفلافونيدي المزيج (Methanol-) (200:3) وبنسبة (Ammonium hydroxide

لفصل مكونات المزيج (n-hexane)-Acetone)) وبنسبة (6:4) لفصل مكونات زيت جمار التخيل .

2.4. الكشوفات الفيزيائية والكيميائية للمركبات المعزولة

اجريت عدة اختبارات فيزيائية وكميائية للمركبات

المعزولة وهي :

كشف الذائية باستخدام عدد من المذيبات القطبية وغير

القطبية، الصهر بالصوديوم [28]، الكشف عن المجاميع

الفعالة: كشف الاصرة المزدوجة، الكشف عن مجاميع الالدرييد

والكتيون، الكشف عن الحوامض الكربوكسيلية، الكشف عن

الاسترات، الكشف عن الكحول، كشف الحرق [29].

3.4. طيف الأشعة تحت الحمراء

تم تسجيل طيف الأشعة تحت الحمراء Infrared

Spectroscopy بجهاز FTIR للمركبات المعزولة من

جمار التخيل في خلية مصنوعة من قرص NaCl ومن قرص

KBr اعتماداً على طبيعة المادة الناتجة.

4.4. طيف الأشعة المرئية وفوق البنفسجية

تم اذابة g (0.01) من كل المركبات المعزولة وأذيت في ml

(10) من مذيب DMSO، وسجل الطيف في المنطقة المرئية

وفوق البنفسجية عند الاطوال الموجية nm (200-800).

5.4. طيف الكتلة

سجل طيف الكتلة للمركبات المعزولة في جامعة طهران



6. النتائج والمناقشة

ويعد الماء المقطر من المذيبات الجيدة للعديد من المركبات

الطبيعية فضلاً عن رخص ثمنه الذي يجعله مفضلاً على بقية المذيبات.

كما نلاحظ احتواء المستخلص الكلايوكسيدي على نسبة عالية مقدارها (21%) وهذا يعطي فكرة واضحة كون جمار النخيل من النباتات الغنية بالمركبات الكلايوكسيدية، وكذلك على نسبة عالية من المركبات الفلافونيدية حيث كانت النسبة (9.6%) وهي أعلى من المكونة القلويدية للطبقتين المائية (10.04%) والعضوية (4.2%).

1.6. التحاليل النوعية الاولية لمستخلصات جمار النخيل

الكشفات النوعية

تم الكشف عن العوائل الموجودة في معظم المستخلصات المحضررة والجدول (2) بين النتائج احتواء المستخلصين المائي والكحولي (70%) على كل من القلويدات والكلايوكسيدات والفلافونيدات، ما احتوى على التаниنات والفينولات والاحماس الامينية والصابونينات والكربيوهيدرات وعدم احتواه على التريينات والبروتينات، اما المستخلصان الكلايوكسيدي والفالافونيدي فقد احتوى كل منها على الفلافونيدات والكلايوكسيدات ومجاميع الامين الحرة والكربيوهيدرات والفينولات نتيجة اعطائهما كشفاً موجباً مع الكواشف والفينولات نتائج اعطائهما كشفاً موجباً مع الكواشف المستخدمة، اما المستخلص القلويدية فقد احتوى على القلويدات والكربيوهيدرات والفينولات والصابونينات ومجاميع الامين.

اما المكونة الزيتية فقد احتوت على السيترولات وعدم

وجود السكريات والتربيبات وغيرها من المجاميع. لوحظ من نتائج الكشفات النوعية الكيميائية لطبيعة المكونات (42.2%) وقد استخدم الماء المقطر في عملية الاستخلاص،

حسبت النسبة المئوية للمستخلصات الكحولية (70%) (v/v)، المستخلص المائي الحار، مستخلص الفلافونيد

مستخلص القلويدات للطبقة العضوية A1 ومستخلص القلويدات للطبقة المائية A2، مستخلص الكلايوكسيدات G والمكونة الزيتية المعزولة من جمار النخيل Oil والجدول (1) يوضح هذه النتائج.

نلاحظ ان للمستخلص الكحولي (70%) (v/v) لم جمار النخيل يمتلك نسبة مئوية (64%)، حيث يعد استخدام (70%) من الكحول الايثيلي مذيباً جيداً لاستخلاص العديد من المركبات الفعالة (القطبية) من النبات مثل الكلايوكسيدات والقلوييدات والفلافونيدات وهي مركبات ذات قطبية عالية، فضلاً لزيادة العديدة كونه من المذيبات المتوفرة والغير سامة [33].

كما وتضمنت عملية الاستخلاص في الخطوة الاولى التخلص من زيوت جمار النخيل باستعمال جهاز (Soxhlet) ومذيب المكسان الاعتيادي، ويعد هذا المذيب الأكثر استخداماً في عمليات الاستخلاص لكتفأة استخلاصه وسهولة توفره وقلة كلفته إضافة إلى درجة غليانه الواطئة °C (68.7) مما يجعله يتطابق بسهولة و الذائية العالية للزيوت في المكسان الاعتيادي بسبب الالفة بين جزيئات المذاب والمذيب مما يجعله مثالياً لاستخلاص الزيوت النباتية من مختلف المحاصيل والبذور [34,35]. لذا اعطي الزيت المعزول نسبة مقدارها (4.13%) وتعتبر نسبة جيدة كون المكسان الاعتيادي مذيب مناسب لسحب المركبات ومجاميع الامين.

المتوسطة القطبية مثل الستروولات [36].

كما اظهرت نتائج المستخلص المائي الحار نسبة مئوية (42.2%) وقد استخدم الماء المقطر في عملية الاستخلاص،



و اعطى المستخلص القلويدي مكونتين ذات معدل سريان والكحولي (70%) (v/v) يحتويان على الكلايوكوسيدات ($Rf=0.63$ و 0.83) تنتميان الى عائلة القلويديات لكونها اعطت كشفاً موجباً مع دراكندروف. اما الزيت المعزول فقد اعطى سبع مكونات ذات معدل سريان $Rf = (0.05, 0.17, 0.31, 0.62, 0.67, 0.76, 0.91)$ تنتمي الى عائلة الستروولات والتربيتات الثلاثية كونها اعطت كشفاً موجباً مع ليبرمان - بوركارد.

الفعالة الموجودة في نبات جمار النخيل أن المستخلصين المائي والفالفونيدات على هيئة مركبات كلایوكوسیدية (Flavonoid glycoside) و يحتويان على القلويديات، والمستخلصان الكلايوكسيدي والفالفونيدي يحتوي كل منها على السكريات المرتبطة ، اما الزيت المعزول فهو يتمي الى عائلة الستروولات [37].

3.6. تشخيص المركبات المعزولة من نبات جمار النخيل

جرى تشخيص المركبات المعزولة من نبات جمار النخيل بمجموعة من الكواشف الفيزيائية منها الحرق والذائبة، وبعض الكشوفات الكيميائية مثل الصهر بالصوديوم، وقد اوضحت نتائج تلك الكشوفات احتواء المستخلص القلويدي للطبقتين العضوية والمائية على النتروجين فقط .

4.6. كشوفات المجاميع الفعالة

اختبرت المركبات المعزولة بمجموعة من الكواشف لغرض معرفة طبيعة المجاميع الفعالة مثل كشف الآصرة المزدوجة والكشف عن المجاميع الالديهايدية والكيتونية وغيرها من الكشوفات والجدول (4) يبين هذه الكشوفات.

تضمنت عملية التشخيص عدة تقنيات فيزيائية وكيميائية لاستنتاج التركيب الكيميائي لتلك المكونات حيث تم تنقية هذه المكونات بعد فصلها ، وقد امكن تحديد النوع العام للمركبات حيث استنتج بأنها مركبات اروماتية تحتوي على مجموعة OH الفينولية وبأنها مجاميع ليست الديهايدية وانما كيتونية تحتوي على مجاميع الكاربونييل لأنها اعطت كشفاً سالباً مع كاشف تولن ولم تظهر مرآة فضية . وكما تحتوي على مجاميع OH الكحولية وتحتوي على اصرة مزدوجة اما الزيت المعزول فهو مركب الالفاتي يحتوي على مجموعة كحول واواصر مزدوجة.

2.6. كروماتوغرافيا الطبقة الرقيقة

اظهرت نتائج كروماتوغرافيا الطبقة الرقيقة (TLC) لمستخلصات جمار النخيل احتواء كل من المستخلص الكلايوكسيدي والفالفونيدي على مكون واحد، حيث كان المستخلص الكلايوكسيدي يمتلك معدل سريان $(Rf=0.84)$ ، بينما المستخلص الفالفونيدي يمتلك معدل سريان $(Rf=0.88)$ ، اما القلويدي فيمتلك مكونتين معدل سريانها $(Rf=0.63)$ و $(Rf=0.83)$ اما الزيت المعزول فقد اعطى سبع مكونات ذات معدل سريان $Rf=(0.05, 0.17, 0.31, 0.62, 0.67, 0.76, 0.91)$

اظهرت نتائج كرماتوغرافيا الطبقة الرقيقة (TLC) وكما في الجدول (3) احتواء المستخلص الكلايوكسيدي المعزول من جمار النخيل على مكونة واحدة ذات معدل سريان $(Rf=0.84)$ عائدة الى الكلايوكوسيدات الفالفونيدية كونها اعطيها كشفاً موجباً مع كلوريد الحديديك ، والمستخلص الفالفونيدي على مكونة واحدة ذات معدل سريان $(Rf=0.88)$ عائدة الى العائلة الفالفونيدية كونه اعطى كشفاً موجباً كلوريد الحديديك ، وإن هذه المكونة تمتلك مركبات سكرية على شكل كلایوكوسيدات لكونها اعطت كشف موجب مع (40%) (w/v) حامض الكبريتيك، كما

1097.5-1060.9) cm^{-1} تعزى الى مجموعة الفينول

5.6. نتائج تشخيص المركبات المعزولة بواسطة طيف FT-IR الاشعة تحت الحمراء

تم تسجيل طيف الاشعة تحت الحمراء للمركبات المعزولة بمدى من الاطوال الموجية يتراوح بين (500-4000) cm^{-1} كما في الجدول (5) الذي يوضح حزم الامتصاص والمجاميع التركيبية للمركبات المعزول قيست اطيفات تحت الحمراء للمركبات المعزولة باستخدام قرص بروميد البوتاسيوم للمواد الصلبة وقرص كلوريد الصوديوم للمواد اللزجة في المنطقة المحسورة بين (500-4000) cm^{-1} من خلال ملاحظة نتائج التشخيص الطيفي في الجدول (5) طيف الاشعة تحت الحمراء للمركبات المعزولة من نبات جمار النخيل الكلايكوسيد G، الفلافونيد F، وقلويد الطبقة العضوية A1 وقلويد الطبقة المائية A2 حيث لوحظ ظهور حزمة امتصاص عريضة في المدى (2953-3406.3) cm^{-1} تعزى الى تردد الاهتزاز الاتساعي لمجموعة O-H، كما تميزت هذه الاطيفات بظهور امتصاص بحدود (1739-1678) cm^{-1} تعود الى مجاميع C=O الكيتونية وظهور حزم عند المدى (1622.0-1672.3) cm^{-1} تعزى إلى الاهتزاز الانحنائي للأصارة المزدوجة C=C وظهور حزم عند المدى (1223.5-1421.0) cm^{-1} تعزى الى التردد الانحنائي لمجموعة C-H الفاتية تعود لكل من G وقلويد الطبقة العضوية A1 وظهور حزم عند (2929.9-2854.7) cm^{-1} تعزى الى التردد الاتساعي للأصارة C-H الالفاتية العائدة الى A2 كذلك ظهور حزمة تابعة للأصارة الايثيرية C-O-C التي تربط الكلايكوسيد بالسكر عند (1084.0) cm^{-1} الكاربوني والذى يعزى الى الانتقال $\Pi \rightarrow \Pi^*$ العائد ويدل ظهور حزمة امتصاص لأصارة O-C عند المدى

6. نتائج تشخيص المركبات المعزولة بواسطة الاشعة فوق البنفسجية والمرئية

سجلت اطيفات الاشعة فوق البنفسجية والمرئية للمركبات المعزولة المذابة في (DMSO)، لمدى من الاطوال (200-800) nm الموجية كما في الجدول (6).

سجلت اطيفات الاشعة فوق البنفسجية والمرئية للمركبات المعزولة المذابة في DMSO، لمدى من الاطوال (6.3) الموجية (200-800) nm ويلاحظ من الجدول (6.3) ان المركب الكلايكوسيد (G) قد اعطى ثلاث حزم امتصاص الحزمتين الاولى عند طول موجي (292) nm والثانية عند (340) nm (والتي قد تعزى الى الانتقال $\Pi \rightarrow \Pi^*$ والتي تبين طبيعة المركب كونه يحتوي على آواصر مزدوجة غير مشبعة عائدة الى الحلقة الاروماتية ويعود ايضاً الى نظام تعاقب $\text{C}=\text{C}-\text{C}=\text{O}$ ، اما الحزمة الثالثة فقد ظهرت عند طول موجي (402) nm (402) عائدة الى مجموعة تربط الكاربوني والذي يعزى الى الانتقال $\Pi \rightarrow \Pi^*$ العائد الى المزدوج الالكتروني غير المتأثر على ذرة الاوكسجين



العائدة إلى مجموعة الكاربونيل اما المركب الفلافونيدي (F) فقد اظهر حزمتين تعود للانتقال $\pi \rightarrow \pi^*$ الاولى لجاميع الكاربونيل مع الحلقة A والثانية عائدة إلى مجاميع الكاربونيل مع الحلقة B، اما المركب القلويدي للطبقة العضوية (A1) يمتلك ثلث حزم امتصاص اثنان منها عند طول موجي nm 280 و 282 تعزى إلى الأواصر المزدوجة (الحلقة الاروماتية) ويعود ايضاً إلى وجود نظام تعاقب $C=C-C=O$ ، اما الانتقال الآخر فهو من نوع $\pi \rightarrow \pi^*$ ظهر عند حزمة امتصاص nm (298) عائدة للمجاميع المغوضة على الحلقة الاروماتية والتي تمتلك طاقة اوطأ من $\pi \rightarrow \pi^*$ لذلك ظهرت عند طول موجي عالي، اما المركب القلويدي للطبقة المائية (A2) فقد أعطى انتقال من نوع $\pi \rightarrow \pi^*$ عند nm (280) وانتقال عائد لأواصر مزدوجة غير مشبعة عائدة للحلقة الاروماتية وانتقال عند nm (326) للمزدوج الالكتروني غير المتأثر من نوع $n \rightarrow \pi^*$ وهذا ما يتطابق مع ما وجده الباحث [38].

يعود استعمال الإنسان للنباتات الطبية في الوقاية والتداوي والعلاج إلى بداية الحضارات الإنسانية اذ دلت النصوص المسمارية على ان سكان العراق من السومريين والاكديين والبابليين والاشوريين ومنذ الاف السنين قبل الميلاد كانوا قد استعملوا النباتات في علاج الامراض ويمكن ان تعد اقدم دستور للأدوية في العالم [40] ولا زالت النباتات تؤدي دوراً مهماً في العلاج حيث تعتبر المصدر الشائع للعلاج المضاد للجراثيم الذي له اثار جانبية طفيفة مقارنة الى التأثيرات الجانبية والاضرار التي يسببها الاستعمال المتزايد للأدوية الكيميائية المصنعة [41] اذ اشار [42] الى ان النباتات تعد مصدراً جيداً مضاداً للعديد من العوامل المرضية والعديد منها بقية كفرونة في محاربة الامراض الجرثومية الامر الذي ادى الى البحث عن نباتات طبية كبدائل عن استخدام المضادات المصنعة في علاج الاصابات الجرثومية [43].

7.6. نتائج الفعالية البيولوجية للمركبات المعزولة من جمار

النخيل

هناك حاجة ماسة ومستمرة للكشف عن مضادات

ميكروبية جديدة ذات تراكيب كيميائية متنوعة واليات عمل قيمة لأن هناك زيادة في حدوث امراض معدية متكررة وجديدة والسبب الاخر الاهم هو زيادة المقاومة للمضادات الحيوية antibiotics المستعملة بصورة مستمرة، وفي الوقت الحالي لجأ العلماء الى اجراء ابحاث جديدة للنباتات للتغلب على مقاومة الميكروبات للمضادات الحيوية والحصول على اوضحت نتائج الفعالية البيولوجية للمركبات المعزولة الى ان كل من القلويid المعزول من الطبقة العضوية (A1) والفلافونيد (F) بانهما من المركبات الفعالة في تثبيط نمو البكتيريا السالبة لصبغة گرام Aeromonas hydrophila في حين انها لا تحتوي على اي فعالية تثبيطية على مقاومة الميكروبات للمضادات الحيوية والحصول على

العزلات طبيعية لتنقية المناعة ، ان النباتات لها القدرة على العلاجات كمضادات للتأكسد اعتمادا على العلاقة البيانية بين تصنيع مركبات كنواتج ايضية ثانوية تتوارد في الجذور الامتصاصية والزمن كما في الجدولين (8) و (9) ومقارنة فاعليتها مع (BHT) كمضاد للتأكسد ، وبتطبيق العلاقة والاوراق او في الجذور [9,10].

من خلال دراسة تأثير المركبات المعزولة لجمار النخيل الرياضية المبنية سابقا وجد ان المستخلص الفلافونيدي ابدي فعالية عالية كمضاد تأكسد بنسبة (61.5%) ، وتعد المركبات الفلافونيدية مضادات اكسدة قوية تستخدم بشكل واسع لقنص الفصائل الاوكسيجينية الفعالة (ROS).

تمتلك النباتات كالفاكهه كثيراً من المركبات الفعالة حيوياً والتي لها القابلية على اقتناص الجذور الحرة والعمل كمضادات اكسدة طبيعية كالمركبات الفينولية (الخواص الفينولية والفلافونيدات والتаниنات) تجعلها تؤدي دوراً مهمأً في التقليل من مخاطر الاصابة بالعديد من الامراض كالسرطان (Cardiovascular) وامراض القلب (Cancer) وامراض الجهاز العصبي (Neurological Disease) وامراض الجهاز العصبي (Neurological Disease) وغيرها [45] ، ازداد الاهتمام في الآونة الاخيرة بمضادات الاصدة لما لعملية اكسدة الدهون من تأثيرات سلبية على جودة الغذاء فهي السبب الرئيسي في تلف الدهون والزيوت والاغذية الدهنية مما يؤدي الى فقدان قيمتها الغذائية وظهور النكهات غير المرغوب فيها [46].

تحدث الاكسدة الذاتية عند تفاعلاها المباشر مع الاوكسجين

وتعد الاحماض الدهنية قصيرة السلسلة والكحولات

والالديهيدات والكيتونات النواتج النهائية لعملية الاكسدة

الذاتية وهي المسؤولة عن النكهة المترنجة [47]. وهناك

طريقة شائعة ومعروفة للحماية من مخاطر الاكسدة وهي

باستعمال مواد معينة لها القدرة والقابلية على منع او تقليل

او تأخير الاكسدة عرفت بمضادات الاكسدة [48]، وتمثل

مضادات الاكسدة صنفأً من المركبات الكيميائية الواسعة

تم تقدير فعالية كل من المركبات المعزولة والزيت الانتشار في الطبيعة التي تمتلك ميكانيكيات عمل متنوعة ،



6. نتائج اختبار السمية الخلوية للمركيبات المعزولة من جمار النخيل داخل الجسم بطريقة السمية الخلوية

يوضح الجدول (10) نتائج السمية الخلوية

(Cytotoxicity) للمركيبات المعزولة من جمار النخيل، اذ يلاحظ ان المركيبات لم تظهر اي سمية تذكر اتجاه محلول دم الإنسان عند التراكيز المختلفة لذا فهو يعتبر من المركيبات الآمنة.

نشأ استعمال مصطلح السمية الخلوية (Cytotoxicity) كدليل على معرفة التأثير السام الذي تحدثه المادة السامة على المستوى الخلوي، يعد هذا العلم احد فروع علم السمية العام. و هناك العديد من الوسائل والطرائق المعملية التي يمكن من خلالها اجراء عمليات تقييم ضرر المواد السامة خارج جسم الكائن الحي او داخله. ولقد اهتم الكثير من الباحثين بعلم السمية الخلوية والاختبارات المختلفة التي يمكن اتباعها للكشف عن تأثير المواد السامة بهدف التوصل الى فهم كيفية احداث التأثير السام على الخلية بوصفها الوحدة الاساسية في

تركيب جسم الكائن الحي واداء وظائفه.

ان الضرر الخلوي قد يحدث بأكثر من الية في الوقت نفسه تبعاً لطبيعة المادة موضع الاختبار ومدى تعرض الخلية او النسيج او العضو لها. وبناءً على ذلك ، فقد امكن تقسيم العمليات الاساسية المتعلقة بالفعل السام إلى قسمين اساسيين هما: التأثير على التركيب الخلوي والتأثير على الوظيفة الخلوية وقد يؤثر احد هذين التأثيرين على الاخر ، اذ ان حدوث ضرر بأحد التراكيب الخلوية عادة ما يتنهي الى التأثير على الوظيفة الخلوية ومن ثم التأثير على سلامة التركيب الخلوي. ومن جهة اخرى فإن التأثيرات الناتجة عن فعل المادة السامة قد تكون ناتجة عن ارتباط المادة السامة بالجزيئات الحيوية وقد امكن تقسيم ذلك الارتباط إلى قسمين:

ومنها تفاعلاها مع الجنور الحرة في الدهون وتكوين نواتج مستقرة وغير فعالة [49]، ومن هذه المضادات هي مضادات الاكسدة المخلقة مثل

(Butyated hydroxyl Toluene (BHT) و (PG) (Butyated hydroxyl Anisol) Propyl Gallate اذ اثيرت في الآونة الاخيرة العديد من الشكوك حول مدى سلامة هذه المضادات من الناحية الصحية واصبح استعمالها مثيراً للجدل كونها مواد مسرطنة او ذات تأثيرات سمية [50]. لذا اتجه الاهتمام على المصادر الطبيعية الكامنة في النباتات ولاسيما الصالح منها للأكل والتي لا تمتلك تأثيرات سمية وتعد المركبات الفينولية من ابرز مضادات الاكسدة الطبيعية التي تشمل الفلافونيدات والتаниنات والكاروتينات والحوامض الفينولية ، والفينولات مركيبات ارomatic تتحمل مجموعة او اكثر من المجاميع الهيدروكسيلية وتوجد تقربياً في جميع الاجزاء النباتية كالاوراق [51,52].

وتتضمن ميكانيكية القصر لبيتا كاروتين اكسدة حامض اللينوليك وتكوين Linoleic acid hydroperoxide الذي يهاجم جزيئات بيتا كاروتين غير المشبعة وعندما تفقد جزيئات كاروتين او اصواتها المزدوجة بعملية الاكسدة فان المركب يبدأ بفقدان لونه البرتقالي ، وان وجود الفلافونيدات المضادة للأكسدة تتحول الى Flavonoids radical وبذلك فأنها تعيق قصر بيتا كاروتين عن طريق معادلة جذر اللينوليت وبقية الجنور المكونة في النظام ، وتبعاً لذلك فإن الامتصاصية تقل بسرعة في النهاذج الحالية من مضادات الاكسدة بينما في حالة وجود مضادات التأكسد فأنها تبقى اللون والامتصاصية لوقت اطول [53,54,55].

المصادر

المياح، عبدالرضا اكبر علوان، النباتات الطبية والتداوي بالاعشاب، مركز عبادي للدراسات والنشر صناعة، الجمهورية اليمنية (2001).

حسين، فوزي طه قطب، النباتات الطبية زراعتها ومكوناتها . مطبع دار المريخ للنشر، الرياض السعودية(1981).

الراوي، علي، النباتات السامة ، وزارة الزراعة والري في العراق، الطبعة الثانية 185 (1988).

[1] Wikipedia free Encyclopedia، website;
<http://ar.wikipedia.org/w/index.php?Title=%D9%86%D8%AE%D9%84%D9%87%D9%85%D9%8A%D9%85&oldid=14050181> (2014).

[2] ابراهيم، عبد الباسط عودة ابراهيم، التمور واجزاء النخلة الاخرى منظومة صحية وعلاجية متكاملة . الشبكة العراقية لنخلة التمر، (2014).

[3] Mohd, f.;Abd, B.;Maryati, M.;Asmah R.; Steven A.B. and Jeffrey R.F. (2010) . Cytotoxicity and polyphenol diversity in selected parts of *Mangifera pajang* and *Artocarpus odoratissimus* fruits, Mal., J.: Food Sci. Nut. 0034-6659.

[4] عبدالرضا، ولاء، التأثيرات السمية الخلوية للزيت المستخلص على بعض الخطوط السرطانية *Citrus*. Limon من قشور ثمرة الطبيعية (في الزجاج) . رسالة ماجستير، كلية العلوم للبنات، جامعة بغداد (2012) .

[5] يوسف، رباب عبد الرضا، تأثير مستخلصات الخام لثمار البير على نمو الخطوط السرطانية والطبيعية *Cordial myxa L* رسالة ماجستير ، كلية العلوم للبنات ،

❖ ارتباط عكسي (رجعي) Reversible اي قابل للانحلال، ولذا فإن تأثيره غير مميت في الغالب لأنه يكون متمركزاً على الوظيفة الخلوية.

❖ ارتباط غير عكسي Irreversible وتأثيره مميت للخلية في الغالب لأنه يتضمن التركيب الخلوي مسبباً العديد من التغيرات التي لا تتحملها الخلية ، مما يؤدي في النهاية إلى موتها بواسطة الموت الخلوي (النخر الخلوي) Necrosis او بواسطة الموت الخلوي المبرمج [57,56] Apoptosis.

هناك الكثير من التغيرات التي تطرأ على الوظيفة الخلوية نتيجة لتأثير تلك المواد السامة وقد امكن تقسيم تلك التغيرات إلى ثلاثة اقسام هي :

a. تغيرات في نفاذية الغشاء الخلوي وما يترتب عليه من تأثير على انتقال المواد من والى الخلية.

b. تغيرات في النشاطات الأنزيمية في الخلية وما يترتب على ذلك من تغيرات في معدل العمليات التنفسية للخلية ومن ثم في معدل توفر جزيئات الطاقة.

c. تغيرات في معدلات الانقسام الخلوي وتصنيع الاحاض النووي وما يرافق ذلك من تغيرات في طبيعة تصنيع البروتينات، وقد يتطور الى حدوث طفرات [57,58] ، لذا وجب اجراء اختبار السمية لل المادة سواء كانت مركباً كيميائياً (Synthetic) او منتجأً طبيعياً (Natural product) كدواء تمهدى للاختبار الدوائي لمعرفة التأثيرات الضارة او المحتملة على النظام الحيوي للحيوان او الإنسان [59] وهناك عدة اختبارات منها اختبار (In Vivo Celluer) على المستوى الخلوي ، وقد اظهرت نتائج السمية للمستخلصات المعزولة والموضحة في الجدول (10) اتها غير سامة مما يجعل استخدامها مأموناً.

- from Olive(*olea europaea*) leaves". *Pharmazie*. 51:765 -768. (1996).
- [16] Harbone J.B., and Baxter H.H. "Phytochemical Dictionary: A compound from plant", Taylor and Hall, Washington. :237 - 240,(1993).
- [17] Yan- Bo Z., Hui W .. and, Wen-Jain Z., Bo Z., Tao Y., Hao-Fu D. and Wen-Li M."A Fatty Acid Glycoside from a Marine-Derived Fungus Isolated from Mangrove Plant *Scyphiphora hydrophllacea*" *Mar . Drugs*, 10:598 - 603, (2012).
- [18] الزركاني ، علي صنيخ زغير، "عزل وتشخيص السياندين ارابينوسايد من القشرة الخارجية لجذور الجزر العراقي ودراسة بعض تطبيقاتها التحليلية والحياتية " اطروحة ماجستير، كلية العلوم، جامعة البصرة، (1999).
- [19] Liliwirianis N., Musa L.W., Zain W.W., Kassim J.and LKarim S.A.,»Preliminary Studies on Photochemical Screening of Ulam and fruit from Malaysia» *E-Journal of Chemistry*, 8(S1):285- 288, (2011).
- [20] Sawant R. S. and Godhate A. G. "Comparative studies of phytochemical screening of *Carissa carandus Linn.*" *Asian Journal of Plant Science and Research*, 3(1):21 - 25, (2013).
- [21] Lima A.A., Parial R., Das M. and Das A.K., "Photochemical and pharmacological Studies of Ethanolic Extract From The Leaf of Mangrove plant *PHOEIX PALUDOSA*" *Malaysian Journal of pharmaceutical Scienes.*, 8 (2): 59 - 69, (2010).
- [22]Al-Khazraji, S.M." Bio pharmacological study of *Artemisia Herba Alba* " .M.SC. .جامعة بغداد (2012).
- [6]الجبوری، علي عواد والراوي، محمد عبدالله، علم الادوية الطبيعية - جامعة بغداد،(1993).
- [7] الخطابي، محمد العربي . حديقة الازهار في ماهيه العشب والعقار ، دار الغرب الاسلامي للطباعة والنشر ، بيروت - لبنان،(1985) .
- [8] الخطيب ، محمد محي الدين . المراعي الصحراوية في العراق . مطبعة در السلام ، بغداد - العراق ،(1973) .
- [9] الدرويش ، ثانی مصطفى . موجز في علم العاقاقير الطبية ، وزارة الصحة - جمهورية العراق، (1983) .
- [10] الصحاف ، فاضل حسين . تغذية النباتات التطبيقي . دار الكتب للطباعة والنشر، جامعة الموصل، (1989) .
- [11] سنكري، محمد نذير . بيئات ونباتات ومراعي المناطق الجافة وشديدة الجفاف السورية . كلية الزراعة - جامعة حلب، (1978) .
- [12] عيسى، طالب احمد . فسيولوجيا نباتات المحاصيل . وزارة التعليم العالي والبحث العلمي - جامعة بغداد . (1990) .
- [13] Handa, S.S. ; Khanuja, S.P.; Longo,G. and Rakesh,D.D., "Extraction Technologies for Medicinal and Aromatic Plants". International Centre for Science and High Technology, Trieste, Italy, (2008).
- [14] Alnamer, R; Alaoui, K; Bouidida, E; Heajouad, A and Cherrah.Y."Psychostimulants activity of *Rosmarinus officinalis L.*, Methanolic and Aqueous Extrats". *Journal of Medicinal Plants Research* Vol. 6(10), pp.1860 - 1865, (2012).
- [15] Pieroni, A.; Heimler, D . ;Pleters,L.; Vanpoel, B. and Vletinck, A.J." In vitro anticomplementary activity of flavonoids

- Biological membranes “, In kissen, B. and Begleiter, H.(eds.): The biology of Alcoholism, plenum press New York, USA, P.1 -26 , (1971).
- [31]Saxena, D.K.;Sharma, S.K. and Sambi, S.S.”Comparative Extraction of cottonseed oil by n-Hexane and Ethanol”. ARPN Journal Engineering and Applied Sciences, Vol.6,NO.1,pp:84 - 89,(2011).
- [32]Health Canada.. “Screening Assessment for the Challenge of Hexane”. Chemical Abstracts Service Registry Number 110-54-3.pp:9., (2009).
- [33]Zohra S.F., Meriem B., Samira S., Alsayadi M.M.S., “Photochemical Screeing and identification of some Mallow” Scholars Research Library.,4:512 - 516, (2012).
- [34]Alam M.S., “Phytochemical investigation of some plants used in Indian system of medicine”. Jamiamhamdard.edu/thesis abstract, (2002).
- [35]Schieber A., Berardini N., and Carle R. “Identification of Flavonol and Xanthine Glycosides from Mango “Mangifera indica L. Cv.”Tommy Atkins “ Peels by High-Performance Liquid Chromatography-Electrospray Ionization Mass Spectrometry “Financial support provided by fruit- International Fruit Foundation. :1- 6 ,(2003).
- [36]Silverstein R.M., Webster F. X. and Kiemle D. J., “Spectrometric Identification of Organic Compounds”, John Wiley & Sons‘ State university of New York, (2010).
- [37] ابوضاحي ، يوسف محمد واليونس ، مؤيد احمد. دليل تغذية النبات ، دار الكتب للطباعة والنشر ، جامعة الموصل ، (1988) . Thesis, College of Phar., univ. of Baghdad, Iraq, (1991).
- [23]Saadalla, R. H. “Biochemistry practical manual.” Department of Biochemistry, college of Medicine. Basrah, Iraq, (1981).
- [24]Rajendra C.E, Magadum G.S., Nadaf M.A. and Manjula Y.V.,”Phytochemical Screening of the Rhizome of Kaempferia Galanga” International Journal of pharmacognosy and phytochemical Research., 3(3): 61, 63- 2011).
- [25]Williamson, K.L. & Fiser, L. ” Organic experiments”. 5th ed. D.C. Health & Company, Toronto, Canada, 428 - 431,(1983).
- [26]Shriner R.L., Fuson L.R., Curtin D.Y., and Morrill T.C., “The systemic identification of organic compounds” . 4 th ed . John Wiley & Sons, Ins. New York, U.S.A. (2005).
- [27]Gandhi K.P., Anitha S. and Rose M.L., “Antibacterial Activity of two Medicinal plants – Psidium guajava L. and Spinacia oleracea L” Advanced Bioteh., 12:1- 2, (2012).
- [28]Ahmeda, A, Hossain, M.A. and ISMAIL, Z.”Antioxidant properties of the isolated flavonoids from the medicinal plant phllanthus niruri”. School of pharmaceutical Sciences, University Sains Malaysia, Pulau Pinang, Malaysia, (2009).
- [29]Nair, M.G., Mishar, A.R., Muks, M.H., Taf, W.H., Kesller, J.F, Miller, P.P., Meinhart, Zhu, J.D. and Lynm, D.G.”Faerifungin a new broad spectrum antibiotic from Streptomyces griseus var”, Autotrophic us, Natural products, 52 pp.779- 809 ,(1989).
- [30]Kalant, H.”Absorption, Diffusion, Distribution and Elimination of ethanol. Effect on

- [46] Pokorny, J. and Korczak, J. Preparation of natural antioxidant In: Pokorny, J. Yanishlieva, N., Gordon, M, editors. *Antioxidants in food: practical application*. Cambridge England: Wood head publishing Limited. P41 - 311 . (2001).
- [47] Namiki, M.«Antioxidants and ant mutagens in food». *Crit. Rev.* 29:273 - 300, (1990).
- [48] Cai, Y., Z.; Luo, Q.; Sun, M. and Corke, H.«Antioxidant activity and phenolic compounds of 112 traditional Chinese medicinal plants associated with anticancer». *Life Sci.*, 74:2157 - 2184, (2004).
- [49] Wang, J.; Yuon,X.;Sun.B.;Tian, Y. and CAO, Y. Scavenging activity of enzymatic hydro lysates from wheat bran. *Food Technol. Biotechnol.*, 47:39 - 46 ,(2009).
- [50] Barros. a., Ferreira M.; Queiro, B.;I. and Baptista, P.. «Total phenols, ascorbic acid, b-carotene and lycopene in Portuguese wild edible mushrooms and their antioxidant activities». *Food Chemistry* 103, 413 - 419, (2007).
- [51] Ismail, A. and Hong, T.S.» Antioxidant Activity of Selected commercial Seaweeds». Department of Nutrition and Health Sciences, Faculty of Medicine and Health Sciences, University putra Malaysia, Selangor, Malaysia,(2002).
- [52] Miladi,S. and Damak, M. « In Vito Antioxidant Activities of Aloe Vera Leaf Skin Extracts». *Journal of Soc. Chim. Tunisie*:10·101 - 109, (2008).
- [53] Eisenbrand, P.B Zobel, V. Baker, B.M. Blaauboer, B.J. Boobis, A. Carere, Kevekordes, S. Lhuguenot, J.C. Pieters, and R. Kleiner, «Methods of in vitro
- [38] WHO.»Supplementary guide lines for the manufacture of herbal medicinal product». WHO tech. Rep.Ser. Geneva. Annex. 8:109 -113, (1996).
- [39] Samsam, S.H.;Moatar, F.»Natural medicines and plants «. Mashal publications, Tehran.1, 23 - 30 pp, (1991).
- [40] Kokosha, L.;Polesny·Z.;Rada, V.;Nepovim· A.; Vanek, T. «Screening of some Siberian medicinal plants for antimicrobial activity» *J. Ethnopharmacol.*82:51 - 53, (2002).
- [41] Idris S., Ndukwe G.I. and Gimba C.E., «Preliminary Phytochemical Screening and Anti-microbial Activity of Seed Extracts of *Persea Americana* (AVOCADO PEAR)» *Bayero Journal of Pure and Applied Sciences*, 2(1):173 - 176, (2009).
- [42] Carina, L. A.; Ingrid, W. L. B.; Isabelle, C.D.; Tonia V. S. L.; Adeliana, S. O.; Maria, R. A. M.; Edda, L. L. and M AURICIO, P. S. Biological activity of proteins from pulps of tropical fruits, *food Chem.*, 85:107 - 110 ,(2004).
- [43] Cook, N. C. and Samman, C.»Flavonoids-chemistry, metabolism, cardio protective effect and dietary sources». *J.Nutr. Biochem.*, 75:66 - 76, (1996).
- [44] Mau, J. L.; Huang, P. N.; Huang, S. J. and Chen, C.C, «Antioxidant properties of methanolic extracts from two kinds of *Antrodia camphorata* mycelia. *Food Chem.*, 86: 25 - 31, (2004 a).
- [45] Huang, D., Ou, B. and prior R.L., »The Chemistry behind antioxidant capacity assay». Department of chemistry, National University of Singapore, Singapore, (2005).

- [55] Shosevov B, Vincour W.W.and Altman, "Role of plant heat-shock proteins and molecular chaperones in the a biotic stress response" ,Trends Plant Sci,9:pp.244 -252, (2004).
- [56] Manahan S. E., "Toxicological Chemistry and Biochemistry" 3rd. 2002, Lewis publisher.

- toxicology», Food Chem, Toxicol, 40:pp. [54] L.Zm and H.Hs, »As₂O₃ –induced c-Src/ EGFR/ERK signaling is via Sp binding sites to stimulate p21WAF1/CIP1 expression in human epidermoid carcinoma A431 cells. Cell Signal",18(2):pp.244 - 55 ,(2006).

جدول (1): نتائج حساب النسبة المئوية لمستخلصات نبات جمار التخيل

المستخلص	وزن ال جمار gm	وزن المستخلص gm	النسبة المئوية	طبيعة ولون المادة
المستخلص الكحولي	5	3.2	64	لزجة قهوانية
المستخلص المائي الحار	5	2.12	42.2	لزجة قهوانية
(F)	5	2.4	48	لزجة بني غامق
(G)	50	10.5	21	لزجة بني غامق
(A1)	25	1.05	4.2	لزجة قهوانية فاتح
(A2)	25	2.51	10.04	لزجة قهوانية غامق
(Oil)	30	1.24	4.13	اصفر باهت

جدول (2): نتائج الكشوفات النوعية الاولية لمستخلصات نبات جمار التخيل

الكشف عن القلويدات	ماركوس	واكنر	ماير	هيدروكسيد البوتاسيوم الكحولي 5N	الكشف عن الفلافونيدات	خراطة المغسيوم	الكشف عن الفلافونيدات	النهيدرين 1%	الملاحظات يدل على وجود	Oil	A1+A2	F	G	الكحولي	المائي			
القلويات	دراكندروف		الكشف عن القلويدات	هيدروكسيد البوتاسيوم الكحولي 5N	الكشف عن الفلافونيدات		الكشف عن الفلافونيدات		الملاحظات يدل على وجود	-	+	-	-	+	+			
										-	+	-	-	-	+			
										-	+	-	-	-	+			
										-	+	-	-	-	+			
الفلافونيدات	هيدروكسيد البوتاسيوم الكحولي 5N		خراطة المغسيوم	النهيدرين 1%	الكشف عن الفلافونيدات		الكشف عن الفلافونيدات		الملاحظات يدل على وجود	-	-	+	+	+	+			
										-	-	+	+	+	+			
مجاميع الامين الحرة	هيدروكسيد البوتاسيوم الكحولي 5N		النهيدرين 1%		الكشف عن الفلافونيدات		الكشف عن الفلافونيدات		النهيدرين 1%		-	+	+	+	+			



عدم وجود البروتينات	-	-	-	-	-	-	بيوريت
الثانيات	-	-	-	-	+	+	خلات الرصاص 1%
الفينولات	-	+	+	+	+	+	كلوريد الحديديك 1%
الكلارicoside	-	-	+	+	+	+	قبل التحلل
	-	-	+	+	+	+	بعد التحلل بندكت
التربيونيدات الثلاثية	+	-	-	-	-	-	حامض الكبريتيك المركز + كلوروفورم
التربيونات الثلاثية والستروولات	+	-	-	-	-	-	ليبرمان- بوركارد
الكاربوهيدرات	-	-	+	+	+	+	مولش
الصابونينات	-	+	-	-	+	+	كلوريد الزنبقيك 5%

جدول (3): كروماتوغرافيا الطبقة الرقيقة (TLC) لمستخلصات نبات جمار النخيل

المصدر	الملحوظات يدل على وجود	Oil	A1+ A2	F	G	R_f الكشف
Harborne, 1984	نظام المزدوجة تعاقب الاصرة	0.05 0.17 0.31 0.62 0.67 0.76 0.91	0.63 0.83	0.88	0.84	الأشعة فوق البنفسجية UV
Harborne, 1984	مركب عضوي غير مشبع	0.05 0.17 0.31 0.62 0.67 0.76 0.91	0.63 0.83	0.88	0.84	اليود Iodine

&Vigalaksh Vindhran, 2012	التربيبات والستروولات	0.05 0.17 0.31 0.62 0.67 0.76 0.91	-	-	-	-	ليبرمان - بوركارد Libermann-Burchard
&Joseph Dobbins, 1986	السكريات الحرة او المرتبطة	-	-	0.88	0.84	H_2SO_4 40%	
&Fried Sherm, 1986	القلويات	-	0.63 0.83	-	-	Dragendroff	
Harborne, 1993	المركيبات الفينولية	-	0.63 0.83	0.88	0.84	كلوريد الحديد 1%	
Jork, et al., 1994	الاحماض الامينية	-	0.63 0.83	0.88	0.84	Ninhydrin	

جدول (4): يبين الكشوفات الفيزيائية للمكونات المعزولة من نبات جمار التحيل

الملحوظات تدل على وجود	Oil	A2	A1	F		الكشف
او اصر مزدوجة	+	+	+	+	+	الاصرة المزدوجة
مجاميع الالديهيد والكيتون	-	-	-	+	+	عن المجاميع الالديهيدية والكيتونية
عدم تكون مرآة فضية دلالة على وجود الكيتون فقط	-	-	-	-	-	الالديهيد والكيتون بكاشف تولن
عدم وجود مجاميع الاستر	-	-	-	-	-	الاسترات
الحومض الكربوكسيلي	-	+	+	-	-	الحومض الكربوكسيلي
الفينول	-	+	+	+	+	الفينولات
عدم وجود الكحول	+	-	-	-	-	الكحولات
مجاميع الامين	-	+	+	-	-	الامينات
مجاميع الاميدات	-	+	+	-	-	الاميدات
الدخان الاسود و تخلف بعض الكاربون دلالة على وجود مركبات اروماتية اما الايبير فهومركب الالفاتي	دخان ابيض	دخان ابيض	دخان اسود	دخان اسود	دخان اسود	الحرق
المادة	-	-	-	-	130 128	قياس درجة الانصهار
					جميع المكونات تذوب بالماء والدای مثيل سلفوكساید ، اما الزيت فيذوب بالدای مثيل سلفوكساید ، والهكسان الاعتيادي والبنزوليلوم ايثر.	الذائبية

جدول (5): حزم الامتصاص والمجاميع التركيبية للمركبات المعزولة من بذور جمار النخيل

Groups	G	F	A1	A2
OH	3250.1b	b 3406.3	b 2953.0	b 3292.5
C=O	m 1678.1	s 1739.8	1728.0 w	1626.0 m
C=C	m 1622.0	m 1672.3	1635.6 m	—
C-HAlphatic	m 1423.5	m 1421.5	1423.5m	m 2929.9 m 2854.7
C-O	m 1084.0	m 1097.5	m 9.1060	m 1080.0
C-N	-	-	w 1288.5	v 1315.5
AromaticC-H	v 779.0	v 779.0	v 835.2	s 758.0

جدول (6): الانتقالات الكترونية في اطيف الاشعة المرئية وفوق البنفسجية للمركبات المعزولة من بذور جمار النخيل

المركب	λ_{Ma}	نوع الانتقال
G	292	$\text{L} \rightarrow \text{L}^*$
	340	$\text{L} \rightarrow \text{L}^*$
	402	$\text{n} \rightarrow \text{L}^*$
F	284	$\text{L} \rightarrow \text{L}^*$
	330	$\text{L} \rightarrow \text{L}^*$
A1	280	$\text{L} \rightarrow \text{L}^*$
	288	$\text{L} \rightarrow \text{L}^*$
	298	$\text{n} \rightarrow \text{L}^*$
A2	280	$\text{L} \rightarrow \text{L}^*$
	326	$\text{n} \rightarrow \text{L}^*$
Oil	298	$\text{L} \rightarrow \text{L}^*$

جدول (7): نتائج الفعالية البالولوجية للمركبات المعزولة ضد البكتيريا السالبة والمحببة لصبغة گرام

أقطار التثبيط مقاسة بالمليمتر (mm)					اسم البكتيريا
G	F	A1	A2	Oil	
0	16	12	0	0	<i>Aeromonas hydroiila</i>
0	0	0	0	0	<i>Staphylococcus aureus</i>

جدول (8): نتائج فعالية BHT كمضاد للأكسدة (المذيب المستخدم الميثانول)

%AA	*At	*Aj	At	Aj	النموذج
85	0.391	2.850	2.614	3.0	BHT

جدول (9): نتائج فعالية المركبات المعزولة كمضادات للأكسدة
(DMSO مقارنة مع BHT (المذيب المستخدم

%AA	*At	*Aj	At	Aj	النموذج
22	0.435	2.880	45 0.5	2.901	A ₁
61.5	0.435	2.880	1.613	2.992	F
23.4	0.435	2.880	0.994	2.799	A ₂
9	0.435	2.880	0.671	2.884	Oil
20.1	0.435	2.880	29 0.6	2.993	G

جدول (10): السمية الخلوية للمركبات المعزولة من جمار التحيل

التركيز						المركب
10 ppm	50 ppm	100 ppm	250 ppm	500 ppm	1000 ppm	
غير سام	G					
غير سام	F					
غير سام	A ₁					
غير سام	A ₂					
غير سام	Oil					

تشخيص الفطريات وال الخمائر المعزولة من المرضى المعدلين مناعياً بالطرق الكيموحيوية والجزئية

هدى محمد كاظم جواد، وفاء صادق محسن ألوzioni، زهير حميد عبود

قسم علوم الحياة، كلية العلوم، جامعة كربلاء، العراق

تاريخ الاستلام: 11 / Sep / 2015

تاريخ قبول النشر: 11 / Dec / 2016

Abstract

(50) samples were collected from skin infections to Immunodeficiency patients for the period from 01/11/2014 until 01/04/2015 from patients in the city of Hussein Medical and who reviewed the chemotherapy unit , clinic diabetes , The department of artificial kidney and burns unit and the ages ranged from (1-80) years who was both sexes.

The results showed the presence of fungal growth in (20) skin swab as it the diabetic patients more frequency fungal isolates where given 8 swabs as a result of fungal growth positive, followed by the cancer patients, burns and patients with renal failure four isolates for each of them. Where formed yeast *Candida* largest number that percent (50%) and more a repeated in patients with burns ,as well as *Aspergillus*, followed by (40%). And depending on the biochemical and genetic diagnosis that Diagnosed has two types of *Candida* yeasts are the *C.albicans* by seven isolates and *C. parapsilosis* by three isolates only.

Keywords

C. albicans, *Candida*, PCR, *C. parapsilosis*, Immunodeficiency patients

الخلاصة

تم جمع (50)عينة من الامماج الجلدية للمرضى المعتلين مناعياً للمدة من 1/11/2014 ولغاية 1/4/2015 المراجعين لمدينة الحسين الطبية ومن راجعوا ردهة العلاج الكيمياوي وعيادة السكري وقسم الكلية الصناعية وردهة الحروق ، حيثراوحت اعمرهم من (1-80) سنة ومن كلا الجنسين.

اظهرت النتائج الحالية وجود نمو فطري في(20) مسحة جلدية فقط اذ كان مرضي السكري اكثر تردد للعزلات الفطرية حيث اعطت (8) مسحات نتيجة نمو فطري موجب يليها في ذلك مرضي السرطان والحرق ومرضى الفشل الكلوي بأربعة عزلات لكل منهم وشكلت خمائر الميكروبات *Candida* العدد الاكبر من نسبة العزل وبنسبة (50 %) والتي كانت الاكثر تكرار لدى مرضى الحروق تلاها فطر *Aspergillus* بنسبة (40 %) . وبالاعتماد على التشخيص الكيموي والوراثي فقد عزل نوعين من خمائر الميكروبات هما *C.albicans* بواقع سبع عزلات والـ *C. parapsilosis* بواقع ثلات عزلات فقط .

الكلمات المفتاحية

المرضى المعتلين مناعياً، خمائر الميكروبات *C.albicans* ، خمائر الميكروبات *C. parapsilosis*

المناعي (Immunocompromized patients) وتعد

الفطريات بأحدى المشاكل الصحية المرافقة للمرضى المعتلين مناعياً والتي قد تهدد حياة المريض، وتعد الاصابة بداء (Aspergillosis) والرشاشيات (Candidiasis) والبكتيريا (Cryptococcosis) اكثر انتشاراً بين المستعفيات والمستعفيات (Cryptococcosis) اكثر انتشاراً بين المرضى المعتلين مناعياً مقارنة بغيرهم من المرضى [1,4]. وقد زادت حالات الاصابة الفطرية الانتهازية في الآونة الأخيرة نتيجة لقدرة الخبيث والفطريات الأخرى لأحداث الاصابة المتعددة للإنسان من جهة وبالتزامن مع الحالة المناعية للمضيف والعوامل البيئية الأخرى من جهة أخرى.

تعد خصيصة الميكروبات *Candida* من اهم واكثر

الفطريات الانتهازية المرضية التي تسبب الاصابة الجلدية وجهازية لامتلاكها الكثير من عوامل الضراوة تمكّنها من غزو انسجة المضييف، وتعد من الفطريات ثنائية الشكل التي لها القدرة على تكوين خيوط فطرية حقيقية (True hyphae) والخاصية على تكوين خيوط فطرية كاذبة (Pseudo hyphae) [5,6] وتسبب الميكروبات أمراضًا مختلفة ولكنها أمراض حميدة نسبيًا تصيب الغشاء المخاطي أو الجلدي في الإنسان السليم، ولكنها قد تكون مصدراً مهماً للإصابة والوفاة في المرضى الذين يعانون من الاعتلال المناعي بصورة خاصة وتسبب الأنواع العديدة إلى جنس الـ *Candida*، ولا سيما الـ *C. albicans* الذي يعد من أكثر الأنواع عزلاً من المرضى مجموعه من الاصابات تعرف بداء الميكروبات (Candidiasis)، إذ يعد هذا النوع المسبب الرئيسي لهذا المرض كما تعدد الـ *C. albicans* من المرضيات الانتهازية التي تتوارد بصورة طبيعية عند الأشخاص الأصحاء حيث توجد في القناة الهضمية والفم والمهبل والجلد [7,8,9].

ويعرف الاعتلال المناعي بأنه الحالة التي تضعف فيها

1. المقدمة

تعد الاصابة الجلدية الفطرية أقل شيوعاً وتنوعاً من الاصابة الجلدية البكتيرية، ومع ذلك فقد ازدادت كثيراً اثناء السنوات الأخيرة نسبة حدوث الاصابة الجلدية الناجمة عن الاصابة بالفطريات Mycoses [1] وتؤدي الفطريات دوراً مهماً في إحداث الاصابة للإنسان وتسبب إصابات مختلفة تتراوح من الالتهابات الجلدية السطحية إلى غزو الأعضاء والأنسجة الداخلية في جسم المضييف، وان هذه الاصابة عادة ما تحدث نتيجة لانخفاض في دفاعات المضييف الطبيعية أو التعرض إلى النمو الكثيف للفطريات الانتهازية مسببة أمراض مختلفة للمضييف [2].

وتتمثل الفطريات القابلية على إحداث الاصابة الجلدية بسبب قابليتها على النمو في الدرجة الحرارية لجسم الإنسان (37) °م وإنتاج ابوياغ فطرية صغيرة الحجم مما يسهل دخولها والتتصاقها بالخلايا الطلائية لأنسجه المضييف فضلاً عن إنتاجها مواد مساعدة مثل السموم والإنزيمات التي يمكنها أن تغلب على ميكانيكية الدفاع المناعي في جسم المضييف [3].

تبدأ الاصابة الفطرية بشكل مفاجئ وتطور بسرعة وتبقي لدد طويلاً وقد يكون بعضها مهدداً للحياة إذا لم يعالج في المراحل المبكرة من حدوث الاصابة، ويعد السبب الرئيسي في زيادة الاصابة الفطرية في السنوات الأخيرة هو تزايد اعداد المرضى المثبطين مناعياً مثل مرض السرطان (Cancers) والسكري (Diabetes) والفشل الكلوي (Kidney failure) والأيدز (AIDS) وأمراض الامناع الذاتية، فضلاً عن الأشخاص الذين يتلقون أدوية مضعفة أو كابحة للجهاز المناعي مثل مرض نقل الأعضاء (Transplantation) وغيرها من أمراض الاعتلال المناعي أو الامراض المضعفة للجهاز

قدرة جهاز المناعة على مقاومة الأمراض او الدفاع عن الجسم بسبب الوسط اليلوري (Uremic milieu) حيث يحصل الخلل في كلا من المناعة الخلوية والخلطية. ويتضمن الخلل في المناعة الخلوية قلة اعداد الخلايا المقاومة اضافة إلى حدوث خلل في كميات وأنشطة مجموعة الخلايا المقاومة لمضادات التائية، ولذلك تنخفض استجابة الخلايا المقاومة لمضادات الجينات المحفزة ، وضعف عملية البلعمة، اما الخلل الذي يحصل في المناعة الخلطية يعود معظمها إلى ضعف في وظيفة خلايا التائية المساعدة وذلك يؤثر على عملية إنتاج الأجسام المضادة [16]. وظهور الكريات البيض ضعف في النشاط المناعي (Immunodeficiency) وأمراض المناعة الذاتية (Autoimmune) وان المرضى الذين يعانون من امراض الاعلال المناعي غالبا ما يكون الجلد لديهم غير طبيعي ويصاب بعدد من الامراض [10,11] كالشيء الذي يحصل لمرضى السرطان الذين خضعوا للعلاج الكيمياوي والذي يؤدي إلى انخفاض في اعداد الـ WBC وبذلك نلاحظ هبوط في الجهاز المناعي وتغير في العديد من المعاير المناعية لدى المرضى الذين يتبعجون كيماويًا حيث ان خلايا الدم البيض تعتبر من الخطوط الدفاعية الاولى في مكافحة الامراض والالتهابات البكتيرية والفيروسية و ذلك يؤدي بدوره إلى الإصابة بالامراضات الانتهازية [12] وان الخلل في هرمون الانسولين لمرضى السكري المؤدي إلى ارتفاع نسبة السكر في الدم يؤثر على الجهاز المناعي ونشاطاته اذ يتميز مرضى السكري بكونهم اكثر حساسية للاصابات المختلفة وذلك نتيجة لتحولات المناعة الكبيرة التي يعاني منها المصاب بمرض السكري [13,14,15] . ويعاني مرضى الفشل الكلوي في المراحل النهائية من خلل في الجهاز المناعي ، وايضا يحصل انخفاض العدد الكلي للخلايا التائية اثناء الاسبوع الاول وخاصة في حالة الحروق الشديدة، وبذلك تتأثر الوظائف المناعية المعتمدة على الخلايا التائية التي قد تكون مرتبطة بانخفاض انتاج الحركيات الخلوية و سوف ينخفض بعد تعلق بالخلل الذي يحصل في عملية الأيض والتغذية الناتجة

الحروق الشديدة انتاج الكلوبيلين المناعي G Ig استجابة (Needle) إلى شريحة زجاجية نظيفة تم وضع عليها مسبقاً قطرة من صبغة اللاكتوفينول الزرقاء (Lactophenol) ونتيجة لانتشار حالات الاخماج الجلدية الفطرية المرافقة لحالات الاعتلال المناعي لذا هدفت هذه الدراسة إلى بيان علاقة نوع المرض المناعي المسؤول عن حالة الاعتلال المناعي وحدة الخمج الجلدي الفطري وذلك بعزل وتشخيص الفطريات المسببة عن الاخماج الجلدية الظاهرة في المرضى معتلي الجهاز المناعي وذلك بالطرق الكيموحيوية والجزئية.

1.2. الاختبارات الخاصة بتشخيص خميرة *Candida*

1.1.2. فحص تكوين أنبوب الإنبات

formation test

2. طرائق العمل

وضع (0.5) مل من مصل الانسان في أنبوبة اختبار معقمة ولقحت بخميرة *Candida*، ثم حضن العالق بدرجة حرارة (37)° ملمدة (3) ساعات، بعد الحضن تم وضع قطرة من هذا العالق على شريحة زجاجية ووضع فوقها غطاء شريحة وفحصت تحت المجهر بقوة X40 للاحظة تكوين أنبوب الإنبات [22].

• جمع العينات: تم جمع (50) مسحة جلدية من (50) مريض يعانون من حالة الاعتلال المناعي وهم المراجعون لمدينة الحسين الطبية وبالأخص من المراجعين لردهة العلاج الكيميائي وعيادة السكري وقسم الكلية الصناعية وردهة الحروق حيث تراوحت اعمرهم من (1-80) سنة ومن كلا الجنسين، حيث تم جمع المسحات الجلدية وزارعاتها على الاوساط الزرعية الخاصة بالفطريات (وسط سابرويد دكستروز اكار ووسط البطاطا دكستروز اكار المضاف له المضاد البكتيري الـ (Chloramphenicol) وحضرت الاطباق هوائيًّا في الحاضنة لمدة من يومين إلى اربعة اسابيع في درجة حرارة (28)° م. ثم شخصت العزلات الفطرية والخمائر بالاعتماد على الصفات الزرعية للمستعمرات الفطرية النامية من حيث شكل المستعمرة، لونها و قطرها و رائحتها ولزوجتها وارتفاعها عن سطح الوسط وشكل حافة المستعمرة وغيرها من الصفات الأخرى. وأجري الفحص المجهرى للعزلات وذلك بنقل جزء من المستعمرة النامية على الوسط الصلب بواسطة الناقل (Loop) وبالنسبة للخمائر اما باقي الفطريات الخيطية فيكون بالإبرة

2.1.2. النمو على درجة حرارة 45°

Growth at a temperature of 45°

تم هذا الفحص حسب طريقة Pinjon وجماعته (1998) [23].

Urease test

3.1.2. اختبار انزيم اليوريز
تم هذا الفحص حسب طريقة Collins وجماعته (2004) [22].

4.1.2. النمو على وسط الكرومو اكار CHROM agar

زرعت الخمائر على وسط الكرومو اكار [24] وقراءة نتائج الزرع من خلال التغاير اللوني ووفقاً للجدول الآتي:

جدول رقم (2): خطوات تقنية الـ (PCR) الخاصة بالمبنيات

جدول رقم (1): يبين نتائج الزرع للخباير على وسط الكرومواكار من خلال التغير اللوني

عدد الدورات	الزمن	درجة الحرارة	الخطوات	ت
1	4 دقيقة	° م 94	Initial Denaturation	1
30	30 ثانية	° م 94	Denaturation	2
	30 ثانية	° م 55	Annealing	3
	1 دقيقة	° م 72	Extension	4
1	4 دقيقة	° م 72	Final Extension	5
درجة حرارة التبريد				° م 4

اللون	العزلة
اللون الاخضر الفاتح	<i>C.albicans</i>
اللون الازرق المعدني	<i>C.tropicalis</i>
اللون الابيض	<i>C.parapsilosis</i>
اللون الارجوانى او الوردى	<i>C.kruse . C.gabratai</i>

2.2. التخليص باعتماد تفاعل البلمرة التسلسلي

1.2.2. استخلاص وتقنية الـ DNA

استخلص DNA خميرة المبانيات Candidasp وفقاً لتعليمات الشركة bio-basic الكندية.

3.2.2. تقييم نتائج البلمرة بالترحيل الكهربائي- Gel- Electrophoresis

1- وضع (100) مل من الدراي (TBE) في بيكرو واضيف اليه (1.2) غم من مسحوق الاكاروز ثم اضيف إلى المزيج السابق (10) مايكروليتر من صبغة Ethidium bromide (bromide) وبعدها سخن البكر إلى درجة الغليان بحيث تذوب جميع مكوناته وبعد ترک ليبرد إلى درجة حرارة (50-60) ° م.

2- حضرت صفيحة اسناد الاكاروز (Tray) وثبت مشط تكوين الحفر (Comb) على بعد (1) سم من احد طرفي الصفيحة ثم صب هلام الاكاروز في الصفيحة وترك ليتصلب لمدة (30) دقيقة.

3- نقل الهلام المتصلب إلى حوض الترحيل الكهربائي (Electrophoresis tank) وغطي بدرائ (TBE) بارتفاع (3) ملم (حتى ينغمي سطح الهلام) ثم يرفع مشط تكوين الحفر.

4- وبعد انتهاء عملية بلمرة العينات حملت (5) مايكرو ليتر من ناتج البلمرة لكل عينة في حفر هلام الاكاروز الموضوع في حوض الترحيل وترك الحفرة رقم واحد للمعلومة

2.2.2. ظروف البلمرة PCR Condition

استخدمت تقنية PCR (PCR) لتضخيم (DNA) المستخلص من العزلات الفطرية باستخدام البادئ (ITS1) الذي تتبعه (5-TCCGTAGGTGAAACCTGCGG-3) وبطول (19) bp والبادئ (ITS4) الذي تتبعه (5-TCCTCCGCTTATTGATATGC-3) وبطول pb (20). وتم سحب (0.8) ميكروليتر من كل بادئ مع اخذ 1 (مايكروليتر) من (DNA) الخميرة وأضيف إلى خليط التفاعل (Master mix) المجهز من شركة Promega واكملا الحجم إلى (20) مايكروليتر

بماء المقطر، مزجت المواد في انبوبة (PCR) وبعد الانتهاء من جميع الاضافات مزجت جيداً ونقلت إلى جهاز البلمرة (PCR thermal cycler) حيث تم تضبط الجهاز كما في الجدول الآتي:

الجزئية (حملت الحفرة الأولى بـ(7) مللتر) معلمة جزئياً الاعلى بين مرضى السكري بنسبة (40%) وبواقع (8) عزلات مقارنة ببقية حالات الاعلال المناعي ثم كل من مرضي السرطان والحرائق ومرضى الفشل الكلوي(4) عزلات وبنسبة (20%) لكل منهم وأظهرت جلية ان خمائر الميسيات (*Candida*) حققت اعلى نسبة عزل

5- اجريت عملية الترحيل بفولتية مقدارها(100) فولت وبواقع (10) عزلات وبنسبة (50%) و(8) عزلات و لمدة (30) دقيقة لحين وصول الصبغة الزرقاء إلى نهاية من فطر (*Aspergillus*) وبنسبة (40%) وفطر الاهلام ثم ايقاف عملية الترحيل، بعدها تم فحص الاهلام تحت الاشعة فوق البنفسجية بطول موجي (320) نانوميتر و الكاميرا المحمولة على جهاز الطيف الضوئي وصورت خمائر الميسيات هما ال (*C.albicans*) وبواقع سبع عزلات وال (*C. parapsilosis*) وبواقع ثلاث عزلات. حيث تعود ثلاث عزلات ال (*C.albicans*) إلى مرضي الحرائق وعزلتين إلى مرضى السكري وعزلة واحدة لكل من مرضى السرطان والخمائر من المرضي معتلي الجهاز المناعي فقد توزعت العزلات الفطرية ال (*C. parapsilosis*) إلى مرضى الحرائق والسرطان بين المرضى المعتلين مناعياً حيث كانت نسبة الاصابة والفشل الكلوي بعزلة واحدة لكل منهم.

3. النتائج والمناقشة

اظهرت نتائج الدراسة الحالية وكما موضح في الجدول (3) عزل بعض الاجناس الفطرية والخمائر من المرضي معتلي الجهاز المناعي فقد توزعت العزلات الفطرية بين المرضى المعتلين مناعياً حيث كانت نسبة الاصابة والفشل الكلوي بعزلة واحدة لكل منهم.

جدول(3): تردد العزلات الفطرية المعزولة من مرضى الاصحاج الجلدية معتلي الجهاز المناعي.

مجموع الفطريات المعزولة	العزلات الفطرية			مجموع الدراسة من المرضى معتلي الجهاز المناعي
	<i>Penicillium</i>	<i>Aspergillus</i>	<i>Candida</i>	
(20%) 4	-	2	2	مرضى السرطان n=13
(40%) 8	2	4	2	مرضى السكري n= 11
(20%) 4	-	2	2	الفشل الكلوي n=11
(20%) 4	-	-	4	مرضى الحرائق n=15
20	2 (10%)	8 (40%)	10 (50%)	المجموع n=50

Saccharomyces spp (Rhodotorulaspp و Alternaria spp) بنسبة (4.1%) لكل منهم، وأخيراً جنس Cladosporium spp بنسبة (2.1%)، كما وجد أن خميرة *albicans* (C. albicans) تمثل الغالبية العظمى من عزلات هذه الخمائر تلها النوع (C. krusi) و (C. tropicalis) (9.4%) و (C. kefyr) (12.8%) بالإضافة إلى أنواع أخرى. كما أن (C. parapsilosis) لديها قابلية لإنتاج طبقة مخاطية من مواد سكرية خارج خلوية ولديها قدرة للالتصاق وتكوين الأغشية الحيوية (Biofilm) وهذا ما يجعلها أكثر عزلاً من جروح المرضى الذين يخضعون للأدوات في المستشفى من قسطرارات وريدية وجهاز الديلزنة الدموية لمرضى الغسل الكلوي كما يعتبر أحد أنواع التي تتوارد بصورة طبيعية في الجسم ضمن النسبة الطبيعية في الأشخاص الأصحاء على الجلد والأظافر والأغشية المخاطية [26].

اما جنس *Aspergillus* فيعد من الفطريات الانتهائية والتي تؤدي إلى أمراض خطيرة وجهازية في حالات الاعلال المناعي، وقد شكل في الآونة الأخيرة نسبة متزايدة من حالات الإصابات الفطرية في مرض السرطان خصوصاً في حالات (Acute leukemia) حيث وصلت النسبة إلى (20-50%) وكان (*A. fumigatus*) هو أكثر فطر معزول.

1.3. تشخيص العزلات الفطرية fungal isolates

1.1.3. التشخيص المختبري والكيموحيوي and Biochemical laboratory

تم تشخيص الانواع الفطرية المعزولة بشكل اولي اعتماداً على الصفات الزرعية للمستعمرات النامية على الاوساط الزرعية الخاصة بالفطريات مثل شكل ولون المستعمرة وكذلك اعتماداً على عدد من الاختبارات الكيموحيوية. حيث ظهرت مستعمرات خميرة الميوبات *C. albicans* النامية على وسط السابرويد اكار (SDA) بعد (24-48) ساعة من الحضن في درجة (30) ° م° والتي تميز بشكلها الدائري ذات قطر

تقارب نسبة العزل بالنسبة ل الخمائر الميوبات لدراسة Mohammadi وجماعته (2015) [25] المعزولة من اخماج الاظافر حيث عزلت خميرة (C. albicans) بنسبة (21.4%) (41.1%) و خميرة (C. parapsilosis) بنسبة (9.4%) (C. tropicalis) بالإضافة إلى انواع اخرى. كما ان (C. parapsilosis) لديها قابلية لإنتاج طبقة مخاطية من مواد سكرية خارج خلوية ولديها قدرة للالتصاق وتكوين الأغشية الحيوية (Biofilm) وهذا ما يجعلها أكثر عزلاً من جروح المرضى الذين يخضعون للأدوات في المستشفى من قسطرارات وريدية وجهاز الديلزنة الدموية لمرضى الغسل الكلوي كما يعتبر أحد أنواع التي تتوارد بصورة طبيعية في الجسم ضمن النسبة الطبيعية في الأشخاص الأصحاء على الجلد والأظافر والأغشية المخاطية [26].

وفي دراسة اجريت من قبل الشمري (2003) [27] في بغداد على الانواع الفطرية المصاحبة لمرضى السرطان وجد ان خميرة *albicans* (Candida spp) شكلت النسبة العظمى من العزلات وقد بلغت نسبتها (66.7%) تلها الفطر (*Aspergillus*) بنسبة (8.3%) وكما سجل انواع اخرى من الفطريات بحسب مختلفة إذ تمثلت بـ (*Cryptococcus*) (6.25%) (*Geotrichum spp*) و

يتوارح بين (0.5-3) ملم وتكون كريمية اللون ناعمة وملساء ومرتفعة عن سطح الوسط رطبة أو مخاطية ذات حواف محددة، مع رائحة مميزة كما مبين بالشكل (1).

النمو على وسط الكروم اكار (CHROMagar)، ويعتمد هذا الاختبار على التغير اللوني بين انواع الميسيطات ممايسهل عملية التمييز بين الانواع المختلفة حيث انانالية هذا الاختبار تعتمد على احتواء هذا الوسط على مواد اساس مولدة لللون (Chromogenic substrates) والتي تتفاعل مع الانزيمات المختلفة التي تفرزها انواع الميسيطات مما يؤدي إلى انتاج مستعمرات ملونة وبالتالي ممكن تشخيص انواع الميسيطات بالاعتماد على التغير اللوني [30,31,32,33]. وقد اظهرت النتائج بالاعتماد على وسط الكروم اكار اللون الاخضر المميز للنوع (*C.albicans*) بينما ظهر الـ (2) باللون الابيض كما موضح في الشكل (2)



شكل (1): خائط الميسيطات البيضاء (*C.albicans*) النامية على وسط (SDA) وتحت درجة (30) م° وملدة (24-48) ساعة.



شكل (2): الخائط الميسيطات على وسط الكروم اكار العزلات 1 و 2 و 3 (*C.parapsilosis*) والعزلات البقية تعود إلى خميرة (*C.albicans*) نامية تحت درجة (30) م° وملدة (24) ساعة.

وقد استنتج Baradkar وجماعته (2010) [34] إلى ان استخدام هذا الوسط يعد طريقة سهلة وموثوقة لتشخيص *C. parapsilosis* الشائعة للميسيطات وخاصة (*C. glabrata* و *C. albicans*) وبحساسية كافية، ويمكن ان يستخدم هذا الوسط كوسط انتخابي لتشخيص المباشر للانواع السريرية من الميسيطات من خلال التغير اللوني بين انواع الميسيطات المختلفة كما اصبح هذا الوسط بدليلاً لوسط طحين الذرة واختبار تكوين الانبوبة الجرثومية وطرق التشخيص

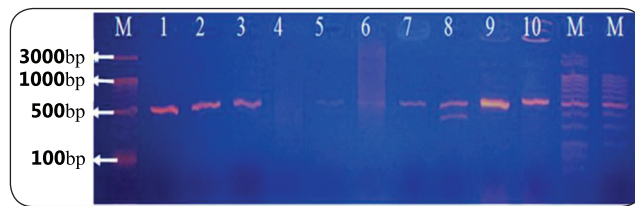
وقد تبين من اجراء اختبار تكوين انبوبة الانبات ان هذه الخميرة القابلية على تكوينه حيث يظهر بشكل بروز خيطي رفيع وطويل من خلايا الخميرة وبدون حواجز او تحصصات . ويعود فحص تكوين أنبوب الإنبات من الفحوصات المهمة والسهلة و التي تستخدم في التشخيص السريع ل الخميرة الميسيطات البيضاء وان قابلية تكوين الانبوبة الجرثومية تعد من احد عوامل الضرورة للميسيطات البيضاء [6].

ان جميع عزلات الميسيطات اعطت نتيجة سالبة لفحص انزيم الاليوريز (Urease test) وذلك لأن جنس الميسيطات ضعيف التحلل لليوريا على عكس انواع جنس (*Cryptococcus*) التي يعتبر محلل قوي لليوريا [29] . وعند اجراء فحص النمو على درجة حرارة (45) م° تبين قدرة عزلات الـ (*C.albicans*) على النمو بدرجة حرارة (45) م° خلال يومين من الحضن مقارنة بالأنواع الأخرى للميسيطات.

ولتأكيد تشخيص الميسيطات المعزولة من الجلد اجري فحص

الكيموحيوية التقليدية مثل تخمي وتمثيل السكريات، وعلى الرغم من ذلك لا يمكن ان يكون بديلا للطرق التقليدية للتشخيص بل مكمل لها، وذلك لكون محدد في تشخيص الانواع الثلاثة *C. albicans* و *C. Tropicalis* و *C. krusei* بدرجة عالية من الدقة مقارنة مع التنوع المأهول للمبيضات التي اخذت تبرز كمسببات مرضية مهمة وخصوصا في مرض الاعلال المناعي [35].

الحصول على سبعة عزلات من *C. albicans* وثلاث عزلات من *C. parapsilosis*.



شكل (3): هلام الاكاروز للأنيط الوراثية للخمائر لنتائج البلمرة ITS1/ITS4 (bp 550-530) باستخدام الزوج البادئ (ITS1/ITS4) لعزلات الخمائر حيث ان العزلات (1 و 2 و 8) تعود لـ *C. parapsilosis* والعزلات البقية تعود لـ *C. albicans* = المعلمة الجزيئية (M) (100 bp) وذلك بفولتية مقدارها (100) فولت.

وجد الباحثين في الآونة الأخيرة ان الفطريات تختلف في أحجام منطقة (ITS) من (DNA) وان اجراء تفاعل البلمرة مع البوادي المخصصة للنوع الفطري يمكن ان تستهدف هذه المنطقة التي تضم S (5.8) و S (28) من (rDNAs) وكذلك S (18) و S (28) من (rDNAs) التي تؤدي إلى تضخيم منطقة (ITS)، وقد اعتبرت هذه الطريقة من الطرق السريع والدقيقة في تشخيص خمائر المبيضات وباقل وقت ممكن. [36]

كما جاءت هذه النتائج مقاربة مع نتائج دراسة (Harmal) وجماعته (2012) [37] حيث استخدم الزوج البادئ ITS (ITS1/ITS4) في تضخيم منطقة الـ *C. glabrata* و *C. albicans* (الأنواع المبيضات) كما جاءت هذه النتائج مقاربة مع نتائج دراسة (Harmal) وجماعته (2012) [37] حيث استخدم الزوج البادئ ITS (ITS1/ITS4) في تضخيم منطقة الـ *C. glabrata* و *C. albicans* (الأنواع المبيضات).

تم تشخيص العفن (*Aspergillus*) اعتمادا على لون المستعمرات وشكلها الخارجي وتركيبة خيوطها سواء كانت مقسمة او غير مقسمة وللأبوااغ دور مهم في تشخيص الفطريات من حيث الشكل واللون والموقع حيث ظهرت مستعمرات جنس (*Aspergillus fumigatus*) النامية على وسط (SDA) مع المضاد الحيوي الكلوروفينيكول بلون اخضر شاحب محاط من الخارج بالأبيض.

3.2.1.3. تشخيص الخمائر باستعمال الطرق الجزيئية

Yeasts diagnosis by using molecular methods

تم اجراء التشخيص الجزيئي لجنس المبيضات بالاعتماد على تفاعل البلمرة المتسلسل لتأكيد التشخيص لعزلات المبيضات حيث اظهرت الدراسة الحالية القابلية العالمية لتقنية تفاعل البلمرة المتسلسل بالاعتماد على البوادي (ITS1,ITS4) لتضخيم منطقة (Internal transcribed spacer) (ITS) التي تحتوي على منطقة (ITS1,ITS4) لعشرة عزلات من خميرة المبيضات و المعزولة من الجلد بدقة وسعة عالية مقارنة مع الطرق التقليدية المتبعه فقد بينت النتائج وجود احجام تراوحت بين (530-550) bp وذلك بالاعتماد على الاختلاف في الاطوال بين مناطق

- epidemiological trends. *Clinical Infectious Diseases* 43: 3-14, (2006).
- [5] Gordana,M.;Bojic,M.;Momir,M.;Svetlana,M.andGolocorbin,K.The importance of genus *Candida* in human samples .114:79-95, (2008).
- [6] Yang,Y.L. Virulence factors of *Candida* species. *J. Microbiol. Immunol. Infect.* Dec.,36(4):223-8, (2003).
- [7] Senna, P.M.; da, S.W.J.andCury, A.A. Denture disinfection bymicrowave energy: Influence of *Candida albicans* biofilm. *Gerodontology* 29: 186-191, (2012).
- [8] Pfaller, M.A. and Diekema, D.J. Epidemiology of invasivecandidiasis: A persistent public health problem. *Clin. Microbiol. Rev.*, 20: 133-163, (2007).
- [9] Calderone, R.A.; Fonz,i W.A. Virulence factors of *Candida albicans*. *Trends Microbiol* 9: 327-335, (2001).
- [10] Buckley, R.H.Primary immunodeficiency diseases due to defects in lymphocytes. *New England Journal of Medicine*.343(18): 1313 – 1324, (2000).
- [11] Braun-Falco, M.andRuzicka, T.Skin manifestations in autoinflammatory syndromes. *J. Dtsch. Dermatol. Ges.*9:232-46, (2011).
- [12] Chessells, J. M.; Bailey, C.; Richards, S. M. Intensification oftreatment and survival in all children with lymphoblastic Leukemia:result of U. K. medical Research council trail UKALLX. *Lancet*;345 : 143-148, (1995).
- [13] Laura, M.; Serkirk, C.and Darlen, (C.*tropicalis* و*C.prapsilosis*) اذ اعطت احجام تراوحت(530، 515، 870، 520) زوج قاعدي على التوالي. تعد هذه الطريقة من الطرق التشخيصية السريعة التي يمكن ان تستعمل في تشخيص اكثر من نوع واحد في وقت واحد وتقلل من الوقت [38]. كما اكدت نتائج دراستنا الحالية الدراسة التي اجرتها (Farasat) وجماعته (39) لأنواع المبيضات بتقنية البلمرة التسلسلي التي تم عزها من المرضى الذين يستخدمون القسطرات والتي استخدمت البواديء (ITS1 و ITS4) لتضخيم (535 bp) حيث كانت احجام النوع (*C.albicans*) و(*C.prapsilosis*) حوالي (520 bp) بالإضافة لأنواع الاخرى التي تم عزها وهي (*C.krusei* بحجم (510 bp) و(*C.glabrata*) بحجم (524 bp) و(*C.tropicalis*) بحجم (870 bp).

المصادر

- [1] Limper,A. H., Knox,K. S.; Sarosi,G. A.; Ampel,N. M.; Bennett,J. E.;Catanzaro, A.; Davies,S. F.; Dismukes‘ W. E.; Hage, C. A.; Marr, K.A.; Mody,C. H.; Perfect, J. R. and Stevens, D. A.AnOfficial American Thoracic Society Statement: Treatment ofFungal Infections in Adult Pulmonary and Critical Care Patients. *Am. J .RespirCrit Care Med.* 183: 96–128, (2011).
- [2] Kauffman, C. A. Fungal infections in older adults. *Clin. Infect. Dis.* 33(4):550-5, (2001).
- [3] Virella, G. Microbiology and infectious diseases. 3rd.Ed. Williams & Wilkins Comp. USA. 343-7, (1997).
- [4] Michael, A. P.; Peter, G. P.AND John, R. W. Invasive fungalpathogens: Current

- [20] Loomis, W.H.; Namiki, S.; Hoyt, D.B. and Junger, W.G. Hyper-tonicity rescues Tcells from suppression by trauma- induced anti-inflammatory mediators. *Am. J. physiol. cell physiol.*, 281:840-848, (2001).
- [21] Baron, E. J. and Finegold, S. M. *Diagnostic Microbiology*. 8th ed The C. V. Mosby company, Baltimore, (1990).
- [22] Collins, C.H.; Lyne, J.M.G. and Falkinham J.O. *Microbiological methods Eighth Edition* .Arnold.London, (2004).
- [23] Pinjon, E. Sullivan, D. Salkin, I. Shanley, D. and Coleman, D. Simple, inexpensive, reliable method for differentiation of *Candida dubliniensis* from *Candida albicans*. *J.Clin. Microbiol.*, 36:2093-95, (1998).
- [24] Horvath, L. L.; Hospelholt, D. R.; Murray, C. K. and Dooley, D. P. Direct isolation of *Candida* spp. From blood culture on the chromogenic medium CHROMagar *Candida*. *J. Clin. Microbiol.*, 41:2629-2632, (2003).
- [25] Mohammadi, R.; Badiee, P.; Badali, H.; Abastabar, M.; Safa , A.H.; Hadipour, M.; Yazdani, H. and Heshmat, F. Use of restriction fragment length polymorphism to identify *Candida* species, related to onychomycosis. *Adv. Biomed. Res.* 4: 95, (2015).
- [26] Asbeck, E.C.V. Clemons, K.V.; Steven, D. A. *Candidaparapsilosis*: a review of its epidemiology, pathogenesis, clinical aspects, typing and antimicrobial susceptibility. *Crit. Rev. Mic.* 35(4):283-309, (2009).
- [27] الشمری, محمد حسين مشرف. دراسة في أنواع الفطريات C. Clinical concept of diseaseprocess. Catherine AlbrightJakson. Publ. USA, (2003).
- [14] Kelly, M.K.; Brown, J.K. & Thony, Y.H. Neutrophil andmonocyte adherence in diabetes mellitus, alkoholic cirrhosis, uraemia and elderly patients. *Int. Arch. Allergy. Appl. Immunol.*, 78: 132-138, (1985).
- [15] Naghibie, M. ; Smith, R.P. ; Baltch, A. L. & Hammer, M.C. The effect of diabetes mellitus on chemotactic andbactericidal activity of human polymorphonuclear leucocytes. *Diabetes Res. Clin. Pract.*, 4: 27-35, (1987).
- [16] Gandhi, B.V.; Bahadur, M.M.; Dodeja, H.; Aggrwal, V.; Thamba, A. and Mali, M. Systemic fungal infections in renal diseases. *J. Postgrad. Med.* Vol 51 Suppl 1:30-36,(2005).
- [17] Sarabandi,A.; Shabestari,R.M;Farshi,A ;Tabibian,S;Dorgalaleh,A;Reykande,S.E; Kia,S.H;Varmaghani,B.andRashidpanah·J. *International Journal of Medical Laboratory* ,2(1):21-24, (2015).
- [18] Noronha, S.A.A. C.; Noronha, S.M.R.; Lanziani, L. E.; Ferreira, L.M. and Gragnani, A. Innate and adaptive immunity gene expression of human keratinocytes cultured of severe burn injury. *Acta Cirúrgica Brasileira*. 29 (3):60-67· (2014).
- [19] Sheridan, R.L. Sepsis in pediatric burn patients predisposition to sepsis . *Pediatric critical care medicine*, 6(3): 5112-5119, (2005).

- clinically important *Candida* species. *H.Clin. microbiol.* 32:1923-1929. (1994).
- [36] Fujita, S.I. ;Senda, Y.; Nakaguchi,S. and Hashimoto, T. Multiplex PCR Using Internal Transcribed Spacer 1 and 2 Regions for Rapid Detection and Identification of Yeast Strains. *J. Clin. Microbiol.*; 39 (10): 3617 – 3622, (2001).
- [37] Harmal, N.S.;Khodavadi, A.;Alsh, M.A.;Jamal, F.;Sekawi, Z.;Peng, N.Kand Chong, P.P.Simplex and triplex polymerase chain reaction (PCR)for identification of three medically important *Candida* species. *African J.of Biolotechnology* 11(65):12895 -12902, (2012).
- [38] Alam, M.Z.; Alam, Q.; Fatani, A. J.; Kamal, M. A.; Abuzenadah,A. M.; Chaudhary, A.G .M and Haque,A.Candida identification: a journey from conventional to molecular methodsin medical mycology. *World J MicrobiolBiotechnol*, 30 (5):1437- 51, (2014).
- [39] Farasat, A. Ghahri, M. Mirhendi, h. and Beiraghi, S. Identificat of *Candida* Species Screened from Catherter Using Patients with PCR-RELP Method. *European J. Exp .Bio*, 2(3):651-656, (2012).
- المصاحبة لمرضى السرطان في بغداد. رسالة ماجستير. كلية العلوم .جامعة بغداد، (2003).
- [28] نايف، إيمان مبدر. تأثير مستخلص العكبر (Propolis) على نمو البكتيريا الموجبة لصبغة غرام المعزولة من الاصابات الجلدية. رسالة ماجستير. كلية العلوم .جامعة بابل، (2011).
- [29] Collee, J.G.; Fraser, A.G.; Mjarmion , B.P. and Simmons, A. Mackie and McCartney paractical medical microbiology .(14th ed.) Chrchill. Livingston . USA.(1996).
- [30] Peng, C.F; Lee, K.M.and Lee, S.H. Characterization of twochromogenic media of *Candida* ID 2 and CHROMagar *Candida* for preliminary identification of yeasts. *J. Biomed Lab. Sci.*, 19(5):63-8, (2007).
- [31] Murray, C.K.; Beckius, M.L.; Green, J.A.; Hospenthal, D.R. Use of chromogenic medium for the isolation of yeasts from clinical specimens. *J. Med. Microbiol.*,54 (4): 981 - 5, (2005).
- [32] Yucesoy, M.; Esen, N.and Yulung, N. Use of chromogenic agar for the identification of *Candida albicans* strains. *Kobe. J .Med. Sci.*, 47 (3):161 - 7, (2001).
- [33] Yucesoy, M.and Marol, S. Performance of CHROMagar *Candida*and BIGGY agar for identification of yeast species. *Annals. Clin .Microbiol Antimicrobiol*, 2(6) :1-8, (2003).
- [34] Baradkar, V.P; Mathur, M.; Kumar, S. Hichrom *candida* agar for identification of *Candida* species. *Indian. J.Pathol. Microbiol*;53:93 - 5, (2010).
- [35] Odds, F.C.andBernaerts, R. CHROMagar *Candida*, a newdifferential isolation medium for presumptive identification of



العوامل المؤثرة على كلفة بناء الأبنية المدرسية في محافظة كربلاء المقدسة

غياث حمزة علي

مديرية التربية في محافظة كربلاء المقدسة

تاريخ الاستلام: 4 / Oct / 2016

تاريخ قبول النشر: 6 / Dec / 2016

Abstract

The purpose of this paper is to discuss the main factors that affect the construction cost of school buildings in Kerbala. A survey of (16) supervising engineers, (11) implementing engineers and (9) contractors was performed. The survey included (33) different factors affecting the construction cost of school buildings in Kerbala and their degree of importance. The severity of those factors was measured by the level of importance and ranked according to the severity index for supervising engineers, implementing engineers and contractors and a combination of all respondents.

There is an agreement (correlation) by each group and the overall ranking by all participants. It was concluded that Incorrect planning previous experience and design quality are the most severe factors with relatively high overall scoring.

The paper provides a holistic approach that considers all factors affecting school buildings in Kerbala and the interplay between them. It will serve as a guide to the focus areas to be considered in policy development aiming at improving conditions in the construction industry school buildings programs.

Keyword

Kerbala, School buildings, Cost, Labor utilization, Construction designs, Construction industry .

الخلاصة

الغرض من هذا البحث هو مناقشة العوامل الرئيسية التي تؤثر على كلفة بناء الأبنية المدرسية في محافظة كربلاء. أجريت الدراسة على عينة تتكون من (16) مهندساً مشرفاً و(11) مهندساً منفذ و(9) مقاولين، كما تضمنت الدراسة (33) عاملًا مختلفاً يؤثر على كلفة بناء الأبنية المدرسية في كربلاء ودرجة أهميتها، وتم قياس خطورة كل عامل بواسطة مستوى أهميتها وترتيبها طبقاً لمؤشر الخطورة لكل من المهندسين المشرفين والمهندسين المنفذين والمقاولين وكذلك لمجموع المشاركين.

ووجد أن هناك توافق (ارتباط) بين تقييم كل مجموعة والتقييم العام الشامل لمجموع المشاركين . وتم التوصل إلى أن التخطيط غير الصحيح والخبرة السابقة وجودة التصميم هي العوامل الأكثر تأثيراً على كلفة بناء الأبنية المدرسية في كربلاء لدرجاتها العامة المرتفعة نسبياً.

البحث يقدم نهجاً شاملًا يأخذ بنظر الاعتبار جميع العوامل التي تؤثر على كلفة بناء الأبنية المدرسية في كربلاء والتفاعل فيما بينها يمكن أن يخدم في توجيه مجالات التركيز للنظر في وضع السياسات التي تهدف إلى تحسين ظروف برنامج إنشاء الأبنية المدرسية في كربلاء.

الكلمات المفتاحية

كربيلا المقدسة، الأبنية المدرسية، الكلفة، استغلال العمل، التصاميم الإنشائية، صناعة البناء



الكبيرة فقط ولم يأخذ بنظر الاعتبار بعض الملامح الخاصة

ببناء الأبنية المدرسية وكذلك فإن طول المدة الزمنية واختلاف مكان البحث جعل العوامل التي تؤثر على كلفة بناء الأبنية المدرسية تتعرض للعديد من التغيرات المهمة نتيجة للتغيرات المهمة التي حدثت أثناء السنين الماضية في صناعة البناء وفي اختلاف السياسات الحكومية والاقتصادية للبلدين. ولذلك يهدف هذا البحث إلى تحديد وترتيب العوامل الرئيسية التي تؤثر حالياً على تكلفة بناء الأبنية المدرسية وهذا يوفر فهم أفضل لهذه العوامل التي يتعين النظر فيها في وضع إستراتيجية للسيطرة على تكلفة البناء التي من شأنها أن تؤدي في نهاية المطاف إلى خفض تكلفة بناء الأبنية المدرسية في كربلاء.

1. المقدمة

الأبنية المدرسية واحدة من الحاجات الأساسية للوجود الإنساني . توفر المدارس ونوعيتها له تأثير كبير على حياة الناس وله تأثير مباشر على التطور الاجتماعي والاقتصادي للأمم . تؤدي الأبنية المدرسية بشكل أفضل إلى نمو واستقرار المجتمع كما يؤدي إلى زيادة التعليم بين المواطنين وهذا بدوره يؤدي إلى تطور البلاد [1]. إن تكاليف بناء المدارس هي أحد أكبر النفقات التي تتحملها الحكومة سواء المحلية أو المركزية في الوقت الحالي وذلك بسبب النقص الحاد في الأبنية المدرسية نتيجة للنمو السكاني وكذلك نتيجة للهجرات المعاقة إلى محافظات كربلاء المقدسة من أماكن مختلفة بسبب الأوضاع الاستثنائية للبلاد. بصورة عامة فقد أصبحت مهمة صعبة للحكومة إضافة إلى القطاع الخاص في البلاد لتوفير الأبنية المدرسية بتكليف ملائمة . تصاعدت تكاليف البناء يستدعي الحاجة لمعالجة قضية هذا التصاعد .

2. الجانب النظري

1.2. الحاجة إلى الأبنية المدرسية

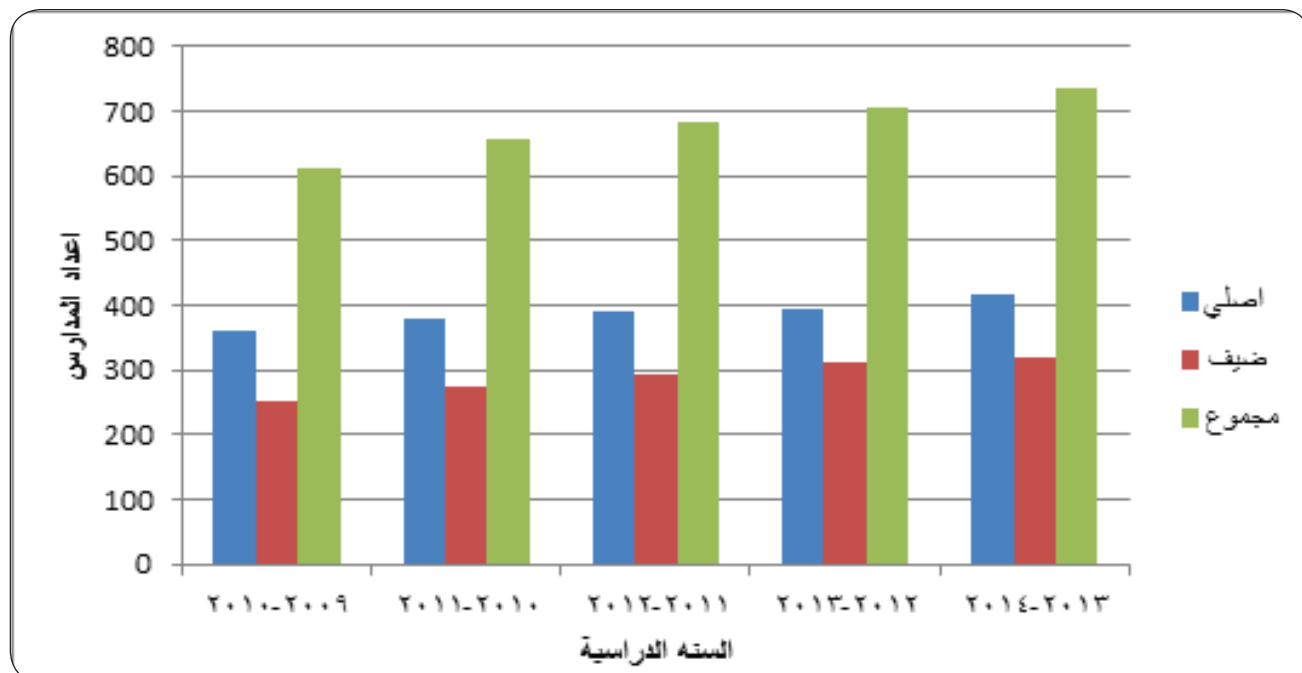
لم يصل التمويل الحكومي والمستوى التنفيذي إلى الحد المطلوب (من الناحية المالية والتنفيذية والمؤسسية) لتصحيح الاختلالات الحاصلة لسد العجز في الأبنية المدرسية أو المستلزمات التربوية مما نجم عنه ازدياد في عجز الأبنية المدرسية وتزايد أعداد المدارس التي تحتاج إلى ترميم أو تلك الآلة للسقوط نتيجة الضغط الناجم عن كثافة الاستخدام بأكثر من وجة دوام في البناء الواحدة حيث بلغت أعداد المدارس التي لا تمتلك بنية خاصة بها والتي تشارك غيرها في البناء والتي تسمى المدرسة الضيف (219) مدرسة للابتدائية و (100) مدرسة للثانوية و (319) مدرسة لجمع المدارس في عموم محافظات كربلاء المقدسة وهو يساوي عدد الأبنية المدرسية التي يتوجب بناؤها في الوقت الحالي لسد النقص المهوول في أعداد الأبنية المدرسية للعام الدراسي (2013-2014) [4]، كما مبين في الجدول رقم (1) والشكل رقم (1) على التوالي.

يساهم عدد من العوامل في ارتفاع تكلفة بناء المدارس في كربلاء بعض هذه العوامل يشمل التغيرات والاتجاهات الديموغرافية الناتجة عن حجم وتكوين المиграة من الخارج وكذلك مدى توفر الأراضي لبناء الأبنية المدرسية بالإضافة إلى تكاليف مواد البناء وتكاليف الأراضي وتكاليف العمل ، وبعض هذه العوامل له علاقة بإجراءات إدارية مثل تقسيم المناطق وإجراءات التنازل للأراضي وموافقات البناء [2].

إن تخفيض كلفة إنشاء الأبنية المدرسية يمكن أن تكون واحدة من التدابير الإستراتيجية الفعالة في وضع إستراتيجية لسد النقص في الأبنية المدرسية وهذا يتطلب تحديد ودراسة أهم العوامل المؤثرة على الكلفة في اتخاذ أي قرار ، وقد اجري بحثاً للتصدي لهذا الموضوع في المملكة العربية السعودية [3] وقد تناول هذا البحث تكلفة البناء بصورة عامة وللمشاريع

جدول رقم (1): أعداد المدارس بالنسبة إلى السنة الدراسية والمرحلة والاستقلالية في محافظة كربلاء [4]

السنة الدراسية	ت	التعليم الابتدائي			التعليم الثانوي			التعليم المهني			الكلي		
		الإجمالي	البنين	البنات	الإجمالي	البنين	البنات	الإجمالي	البنين	البنات	الإجمالي	البنين	البنات
2009-2010	1	613	252	361	9	1	8	171	71	100	433	180	253
2010-2011	2	655	275	380	10	1	9	188	81	107	457	193	264
2011-2012	3	682	293	389	10	1	9	200	92	108	472	200	272
2012-2013	4	705	311	394	10	1	9	210	100	110	485	210	275
2013-2014	5	737	320	417	10	1	9	219	100	119	508	219	289



شكل رقم (1): أعداد المدارس الكلي بالنسبة للسنة الدراسية والاستقلالية في محافظة كربلاء

يتضح مما سبق ان نسبة الأبنية المدرسية ذات الدوام المدرسية في محافظة كربلاء للعام الدراسي (2013-2014). بالاعتماد على المصدر [5] تم حساب نسبة العجز في الثنائي أو الثلاثي هي (43.11%) لابتدائية و(45.66%) للثانوية و(43.42%) لمجموع المدارس (ابتدائية وثانوية) أعداد الأبنية المدرسية حسب المراحل والعام الدراسي كما ومهنية) حيث إن هذه النسبة تمثل نسبة العجز في الأبنية موضح في جدول رقم (2).

جدول رقم (2): نسبة العجز في أعداد الأبنية المدرسية حسب المراحل والعام الدراسي

السنة الدراسية	التعليم الابتدائي	التعليم الثانوي	التعليم المهني	الكلي
2009-2010	41.57	41.52	11.11	41.11
2011-2010	42.23	43.09	10.00	41.98
2012-2011	42.37	46.00	10.00	42.96
2013-2012	43.30	47.62	10.00	44.11
2014-2013	43.11	45.66	10.00	43.42

3.2. إعداد قائمة العوامل

في هذه المراحل من البحث تم وضع قائمة تشمل أهم عوامل (33) التي تؤثر على كلفة بناء الأبنية المدرسية في مراحل إنجاز المشروع المختلفة كما حدتها دراسات مختلفة في صناعة البناء والتشييد والتي تتكون من المراحل الرئيسية الآتية [7]:

1. مرحلة الدراسات

2. مرحلة إعداد التصميمات والمواصفات

3. مرحلة طرح المشروع للمناقصة

4. مرحلة التعاقد

5. مرحلة التنفيذ

6. مرحلة تسليم المشروع

كما إن بعض هذه العوامل يؤثر على كلف الإحالة التي يتحملها صاحب العمل وبعضاً يؤثر على كلفة التنفيذ التي يتحملها المقاول والبعض الآخر يتحمله كل من صاحب العمل والمقاول معاً، الجدول رقم (3) يوضح هذه العوامل ومرحلة التأثير والجهة التي ستتحمل هذا التأثير [3].

يتضح من الجدول أن العجز الكلي الحاصل في أعداد الأبنية المدرسية بلغ في العام الدراسي (2013-2014) حوالي (43.42%) مقارنة بالعام الدراسي (2009-2010) الذي كانت نسبة العجز فيه (41.11%) وهذا يدل على ارتفاع مستمر في نسبة العجز نتيجة للزيادة السكانية المائلة في محافظة كربلاء المقدسة وكذلك فإن قطاع التربية لا يحظى بالتمويل الكافي.

2.2. الأطراف المشاركة في تنمية قطاع التربية في كربلاء

يشارك عدد من الأطراف في تنمية قطاع التربية بشكل عام و بتوفير الأبنية المدرسية بشكل خاص في محافظة كربلاء المقدسة، الحكومة المركزية والحكومة المحلية في كربلاء حيث تم تحشيد الموارد من قبلهما لبناء الأبنية المدرسية في كربلاء، وعموماً فإن توفير التمويل لبناء الأبنية المدرسية في كربلاء يتم من قبل [6] :

1. وزارة التربية / الحكومة المركزية الاتحادية.
2. محافظة كربلاء المقدسة / تنمية الأقاليم.
3. بعض المنظمات الدولية مثل منظمة البنك الدولي.

جدول رقم (3): قائمة بالعوامل المؤثرة ومرحلة تأثيرها والجهة التي تحمل التأثير

العوامل البيئية			
الجهة التي تحمل التأثير	مرحلة التأثير	العامل	ت
القاول	التنفيذ	تأثير الطقس	1
صاحب العمل- المقاول	الدراسة- اعداد التصميمات والمواصفات- التنفيذ	التأثيرات الاجتماعية والثقافية	2
صاحب العمل- المقاول	الدراسة- اعداد التصميمات والمواصفات- التنفيذ	موقع المشروع	3
صاحب العمل- المقاول	طرح المشروع للمناقصة- التعاقد	مستوى المنافسين	4
صاحب العمل- المقاول	الدراسات- إعداد التصميمات والمواصفات- التنفيذ	الاستقرار الاقتصادي	5
القاول	التنفيذ	مستوى التعليم	6
صاحب العمل	الدراسات- اعداد التصميمات والمواصفات- طرح المشروع للمناقصة	السياسات الحكومية	7
القاول	التنفيذ	جنسية العمال	8
العوامل المتعلقة بالتنفيذ			
الجهة التي تحمل التأثير	مرحلة التأثير	العامل	ت
صاحب العمل- المقاول	الدراسات- اعداد التصميمات والمواصفات- التنفيذ	الخطيط غير الصحيح	9
صاحب العمل- المقاول	الدراسات- اعداد التصميمات والمواصفات- التنفيذ	غياب التنسيق	10
صاحب العمل- المقاول	اعداد التصميمات والمواصفات- التنفيذ	جودة التصميم	11
صاحب العمل- المقاول	اعداد التصميمات والمواصفات- التنفيذ- تسليم المشروع	معيار المواد	12
القاول	التنفيذ	سوء الرقابة المالية في الموقع	13
صاحب العمل- المقاول	الدراسات- اعداد التصميمات والمواصفات- طرح المشروع للمناقصة- التعاقد- التنفيذ- تسليم المشروع	الخبرة السابقة	14
صاحب العمل- المقاول	اعداد التصميمات والمواصفات- طرح المشروع للمناقصة- التنفيذ	المنازعات في الموقع	15

العوامل المتعلقة بالعقد

الجهة التي تحمل التأثير	مرحلة التأثير	العامل	ت
صاحب العمل- المقاول	التنفيذ-تسليم المشروع	إدارة العقود	16
صاحب العمل	طرح المشروع للمناقصة-التعاقد-التنفيذ- تسليم المشروع	إجراءات العقد	17
صاحب العمل- المقاول	التنفيذ	الأعمال الإضافية والتغييرات	18
صاحب العمل- المقاول	التنفيذ	تغير التصميم	19
صاحب العمل- المقاول	التنفيذ	مدة العقد	20
صاحب العمل- المقاول	إعداد التصميمات ولوائح التأمينات-التنفيذ	عدم كفاية الأيدي العاملة المتوفرة	21

عوامل تقدير الكلفة

الجهة التي تحمل التأثير	مرحلة التأثير	العامل	ت
صاحب العمل- المقاول	التنفيذ	كلفة المواد	22
صاحب العمل- المقاول	التنفيذ	كلفة اليد العاملة	23
صاحب العمل- المقاول	التنفيذ	كلفة النقل	24
صاحب العمل- المقاول	التنفيذ	كلفة الآليات	25
المقاول	التنفيذ	ارتفاع كلف صيانة الآليات	26
المقاول	التنفيذ	ارتفاع أسعار الفائدة	27
المقاول	التنفيذ	عدم وجود معيار الإنتاجية	28
المقاول	التنفيذ	استغلال موردي السلع	29
صاحب العمل- المقاول	الدراسات- اعداد التصميمات والمواصفات-التنفيذ	عدم وجود بيانات تكلفة البناء	30

عوامل التمويل

الجهة التي تحمل التأثير	مرحلة التأثير	العامل	ت
المقاول	التنفيذ	طريقة التمويل والسنادات والمدفوعات	31
المقاول	التنفيذ	ضغط التضخم	32
صاحب العمل- المقاول	التنفيذ	سعر صرف العملة	33

وقد تم اختيار هذه العوامل لأنها العوامل الأكثر شيوعاً وتؤثراً على كلفة بناء الأبنية المدرسية في كربلاء .
استهدف الاستبيان العناصر الرئيسية الثلاثة التي تشتراك في عملية تشييد الأبنية المدرسية في كربلاء، المهندس المشرف والمهندس المنفذ والمقاول على أن لا تقل خبرة كل مستعين عن خمس سنوات في تنفيذ مشاريع الأبنية المدرسية.

4.2. جمع البيانات

تم في هذا البحث عمل استبيان على عينة حجمها (36) مستعيناً موزعة كالتالي (16) مهندساً مشرفاً و (11) مهندس منفذ و (9) مقاولين من العاملين في قطاع بناء الأبنية المدرسية في كربلاء .
تم الحصول على العوامل التي تؤثر على كلفة بناء الأبنية المدرسية في هذه الدراسة من تحليل الدراسات السابقة في

هذا المجال [3] كما أن قائمة العوامل التي تم تحديدها كانت أساساً المسح الذي تم إجراءه بالإضافة إلى أن كل المشاركين في الاستبيان لديهم الخبرة الفنية والإدارية الالزمة ليكونوا مؤهلين لإجراء هذا المسح في دراستنا الحالية ، كما إن تحليل البيانات وعرض النتائج تم عمله بواسطة برنامج الأكسل .
7.2. مقياس الخطورة

جمع البيانات تم تنفيذه بواسطة توزيع (50) استماراة استبيان قام (36) من الذين استهدفهم الاستبيان بالجواب على الأسئلة التي تضمنتها استماراة الاستبيان بعد أن تم تقديم شرح موجز للأسئلة المطروحة في الاستبيان وطريقة الإجابة والغرض من الاستبيان للتأكد من إن المشاركين في الاستبيان قد فهموا قصد الباحث للوصول إلى معدل استجابة عالٍ .

احتوت استماراة الاستبيان على ثلاثة أجزاء رئيسية الأول عنوان الاستبيان الذي يوضح الغرض من الاستبيان والجزء الثاني احتوى على معلومات عامة عن المستعين تضمن طبيعة العمل والتحصيل الدراسي وسنوات الخبرة أما الجزء الثالث من الاستماراة فتضمن أهم العوامل التي تؤثر على كلفة بناء الأبنية المدرسية في كربلاء بواسطة اختيار أحد الأجوبة المطروحة عن تأثير كل عامل (مؤثر للغاية، مؤثر جداً، مؤثر، مؤثر نوعاً ما، غير مؤثر) لتقييم تأثير تلك العوامل على كلفة بناء الأبنية المدرسية في كربلاء .
تم قياس درجة شدة العوامل التي تؤثر على الكلفة باستخدام مؤشر شدة الخطورة الذي يظهر شدة تأثير كل عامل على الكلفة . وقد تم اخذ الإجابات من المهندسين المشرفين والمنفذين والمقاولين من خلال إجاباتهم المباشرة على استمارات الاستبيان ، إن مستوى شدة العوامل التي تؤثر على الكلفة تم توزيعها من قبل الباحث على خمسة تصنيفات تبعاً لشدة التأثير بواسطة مقياس مكون من خمسة درجات وذلك ابتداءً بتخصيص القيمة خمسة إلى مؤثر للغاية وانتهاءً بواحد لغير مؤثر، وقد كانت القيم المستندة على مستوى الأهمية كالتالي:

5.2. المحددات

غير مؤثر	نوعاً ما مؤثر	مؤثر	مؤثر جداً	مؤثر للغاية	شدة التأثير
1	2	3	4	5	الوزن



3. الحسابات ومناقشه النتائج:

1.3. ترتيب العوامل استنادا إلى إجابات المهندسين المشرفين

الجدول أن إجاباتهم اعتبرت بطريقة أو أخرى أن هناك ثلاثة عوامل تعتبر مؤثرة للغاية وان سبعة عوامل تعتبر مؤثرة جدا كما إن الفرق بين درجة التأثير للعامل الأول والعامل الثالث هي حوالي (5) والفرق بين درجة تأثير العامل الرابع والعامل العاشر هو اقل من (7) وهذا يشير إلى انه طبقا لإجابات المهندسين المشرفين إن جميع العوامل العشرة تقريبا هي حرجة بنفس القدر(جميعها في حدود درجة المؤثرة للغاية ومؤثرة جدا) وتحتاج إلى دراسة. وعلاوة على ذلك فان حوالي ثلثي العوامل تعتبر مؤثرة للغاية أو مؤثرة جدا في تأثيرها على كلفة بناء الأبنية المدرسية في كربلاء وانه ليس هناك عامل يعتبر غير مؤثر على تلك الكلفة طبقا لإجابات المهندسين المشرفين كما موضح في الجدول رقم (4) والجدول رقم (5).

وقد اعتبر عامل التخطيط غير الصحيح عاملًا شديد التأثير للغاية حسب إجابات المهندسين المشرفين كما يظهر من الجدول رقم (4): تكرار إجابات المهندسين المشرفين لكل عامل

العوامل البيئية

العامل	مؤثر للغاية	مؤثر جدا	مؤثر	نوعا ما مؤثر	غير مؤثر	عدد الإجابات	درجة التأثير٪
تأثير الطقس	1	2	5	7	1	16	53.75
التأثيرات الاجتماعية والثقافية	0	0	4	8	4	16	40
موقع المشروع	2	4	9	1	0	16	68.75
مستوى المنافسين	2	3	8	2	1	16	63.75
الاستقرار الاقتصادي	4	5	6	1	0	16	75
مستوى التعليم	2	3	7	3	1	16	62.5
السياسات الحكومية	4	4	6	1	1	16	71.25
جنسية العمال	1	2	6	7	0	16	56.25

العوامل المتعلقة بالتنفيذ								
85	16	0	0	2	8	6	الخطط غير الصحيح	9
77.5	16	0	0	4	10	2	غياب التنسيق	10
73.75	16	0	2	4	7	3	جودة التصميم	11
68.75	16	0	2	6	7	1	معايير المواد	12
62.5	16	0	3	9	3	1	سوء الرقابة المالية في الموقع	13
82.5	16	0	0	2	10	4	الخبرة السابقة	14
56.25	16	2	5	5	2	2	المنازعات في الموقع	15
العوامل المتعلقة بالعقد								
67.5	16	0	3	6	5	2	إدارة العقود	16
56.25	16	0	6	7	3	0	إجراءات العقد	17
60	16	0	5	7	3	1	الأعمال الإضافية والتغييرات	18
77.5	16	0	1	5	5	5	تغيير التصميم	19
80	16	0	0	6	4	6	مدة العقد	20
70	16	0	2	8	2	4	عدم كفاية الأيدي العاملة المتوفرة	21
عوامل تقدير الكلفة								
76.25	16	0	0	7	5	4	كلفة المواد	22
75	16	0	2	4	6	4	كلفة اليد العاملة	23
62.5	16	1	5	3	5	2	كلفة النقل	24
60	16	1	4	5	6	0	كلفة الآليات	25
50	16	2	8	2	4	0	ارتفاع كلف صيانة الآليات	26
51.25	16	3	4	6	3	0	ارتفاع أسعار الفائدة	27
60	16	1	6	3	4	2	عدم وجود معيار إنتاجية	28
58.75	16	0	5	7	4	0	استغلال موردي السلع	29
52.5	16	1	9	3	1	2	عدم وجود بيانات تكلفة البناء	30
عوامل التمويل								
61.25	16	0	5	6	4	1	طرق التمويل والسنادات والمدفوعات	31
60	16	1	3	8	3	1	ضغط التضخم	32
50	16	4	4	5	2	1	سعر صرف العملة	33

جدول رقم (5): ترتيب العوامل حسب إجابات المهندسين المشرفين

الترتيب	العامل	درجة التأثير %
1	التخطيط غير الصحيح	85
2	الخبرة السابقة	82.5
3	مدة العقد	80
4	غياب التنسيق	77.5
4	تغير التصميم	77.5
5	كلفة المواد	76.25
6	الاستقرار الاقتصادي	75
6	كلفة اليد العاملة	75
7	جودة التصميم	73.75
8	السياسات الحكومية	71.25
9	عدم كفاية الأيدي العاملة المتوفرة	70
10	موقع المشروع	68.75
10	معيار المواد	68.75
11	إدارة العقود	67.5
12	مستوى المنافسين	63.75
13	مستوى التعليم	62.5
13	سوء الرقابة المالية في الموقع	62.5
13	كلفة النقل	62.5
14	طريقة التمويل والسدادات والمدفوعات	61.25
15	الأعمال الإضافية والتغييرات	60
15	كلفة الآليات	60
15	عدم وجود معيار الإنتاجية	60
15	ضغط التضخم	60
16	استغلال موردي السلع	58.75
17	جنسية العمال	56.25
17	المنازعات في الموقع	56.25
17	إجراءات العقد	56.25
18	تأثير الطقس	53.75
19	عدم وجود بيانات تكلفة المواد	52.5
20	ارتفاع أسعار الفائدة	51.25
21	ارتفاع كلف صيانة الآليات	50
21	سعر صرف العملة	50
22	التأثيرات الاجتماعية والثقافية	40

2.3. ترتيب العوامل استناداً إلى إجابات المهندسين المنفذين
 المهندسين المنفذين تجاه العوامل اقوى نسبياً من المهندسين المشرفين كما يتضح من الدرجات العالية للعوامل الأولى حسب الترتيب وذلك ناتج عن الوعي النسبي تجاه الكلفة للمهندس المنفذ مقارنة بالمهندس المشرف. وعموماً فانه على التوالي .

دلت إجابات المهندسين المنفذين أن جودة التصميم الذي حصل على درجة (87.27%) هو العامل الأكثر تأثيراً على كلفة بناء الأبنية المدرسية في كربلاء (مؤثر للغاية) وعلاوة على ذلك فان ثلاثة من العوامل الأخرى يمكن اعتبارها مؤثرة للغاية أيضاً وستة عوامل تصنف كمؤثرة جداً حسب إجابات المهندسين المنفذين إضافة إلى ذلك فأن شعور

طبقاً لإجابات المهندسين المنفذين فان عشرة عوامل صفت كمؤثرة للغاية ومؤثرة جداً وان هناك عامل واحد فقط يمكن تصنيفه كنوعاً ما مؤثر مع عدم وجود عامل يمكن اعتباره غير مؤثر على كلفة بناء الأبنية المدرسية في كربلاء حسب إجابات المهندسين المنفذين.

الجدول رقم (6): تكرار إجابات المهندسين المنفذين لكل عامل

العوامل البيئية								
درجة التأثير %	عدد الإجابات	غير مؤثر	نوعاً ما مؤثر	مؤثر	مؤثر جداً	مؤثر للغاية	العامل	ت
49.09	11	2	5	2	1	1	تأثير الطقس	1
38.18	11	5	3	2	1	0	التأثيرات الاجتماعية والثقافية	2
61.81	11	1	2	4	3	1	موقع المشروع	3
56.36	11	1	3	5	1	1	مستوى المنافسين	4
74.55	11	0	0	5	4	2	الاستقرار الاقتصادي	5
54.55	11	2	3	4	0	2	مستوى التعليم	6
65.45	11	1	1	5	2	2	السياسات الحكومية	7
52.73	11	1	3	6	1	0	جنسية العالة	8
العوامل المتعلقة بالتنفيذ								
85.45	11	0	1	1	3	6	الخطيط غير الصحيح	9
76.36	11	1	0	2	5	3	غياب التنسيق	10
87.27	11	0	0	1	5	5	جودة التصميم	11
67.27	11	0	3	3	3	2	معيار المواد	12

60	11	1	4	3	0	3	سوء الرقابة المالية في الموقع	13
80	11	1	0	2	3	5	الخبرة السابقة	14
56.36	11	3	3	0	3	2	المنازعات في الموقع	15
العوامل المتعلقة بالعقد								
67.27	11	0	2	5	2	2	إدارة العقود	16
61.82	11	0	3	4	4	0	إجراءات العقد	17
61.82	11	0	3	5	2	1	الأعمال الإضافية والتغييرات	18
76.36	11	0	0	5	3	3	تغيير التصميم	19
78.18	11	1	0	3	2	5	مدة العقد	20
67.27	11	1	3	2	1	4	عدم كفاية الأيدي العاملة المتوفرة	21
عوامل تقدير الكلفة								
80	11	0	0	4	3	4	كلفة المواد	22
70.91	11	0	3	2	3	3	كلفة اليد العاملة	23
47.27	11	3	4	1	3	0	كلفة النقل	24
50.91	11	2	4	2	3	0	كلفة الآليات	25
49.09	11	4	2	2	2	1	ارتفاع كلف صيانة الآليات	26
50.91	11	2	4	2	3	0	ارتفاع أسعار الفائدة	27
56.36	11	2	3	2	3	1	عدم وجود معيار الإنتاجية	28
63.64	11	1	3	3	1	3	استغلال موردي السلع	29
52.73	11	3	4	0	2	2	عدم وجود بيانات تكلفة البناء	30
عوامل التمويل								
70.91	11	0	2	3	4	2	طرق التمويل والسندات والمدفوعات	31
61.82	11	0	3	5	2	1	ضغط التضخم	32
40	11	4	4	2	1	0	سعر صرف العملة	33

جدول رقم (7): الترتيب حسب إجابات المهندسين المنفذين

الترتيب	العامل	الدرجة %
1	جودة التصميم	87.27
2	الخطيط غير الصحيح	85.45
3	الخبرة السابقة	80
3	كلفة المواد	80
4	مدة العقد	78.18
5	غياب التنسيق	76.36
5	تغير التصميم	76.36
6	الاستقرار الاقتصادي	74.55
7	كلفة اليد العاملة	70.91
7	طريقة التمويل والستاندات والمدفوعات	70.91
8	عيار المواد	67.27
8	إدارة العقود	67.27
8	عدم كفاية الأيدي العاملة المتوفرة	67.27
9	السياسات الحكومية	65.45
10	استغلال موردي السلع	63.64
11	موقع المشروع	61.82
11	إجراءات العقد	61.82
11	الأعمال الإضافية والتغييرات	61.82
11	ضغط التضخم	61.82
12	سوء الرقابة المالية في الموقع	60
13	مستوى المنافسين	56.36
13	المنازعات في الموقع	56.36
13	عدم وجود عيار الإنتاجية	56.36
14	مستوى التعليم	54.55
15	جنسية العمال	52.73
15	عدم وجود بيانات تكلفة البناء	52.73
16	كلفة الآليات	50.91

50.91	ارتفاع أسعار الفائدة	16
49.09	تأثير الطقس	17
49.09	ارتفاع كلف صيانة الآليات	17
47.27	كلفة النقل	18
40	سعر صرف العملة	19
38.18	التأثيرات الاجتماعية والثقافية	20

3.3. ترتيب العوامل استنادا إلى إجابات المقاولين

مؤثرة للغاية أيضا و أربعة عوامل تصنف كمؤثرة جدا إجابات المقاولين وترتيب العوامل استنادا إلى تلك الإجابات حسب إجابات المقاولين . كما أن معظم العوامل يمكن تصنيفها كمؤثرة أو مؤثرة جدا وذلك مشابه لما تم تصنيفه موضحة في الجدول رقم (8) والجدول رقم (9) على التوالي .

حسب إجابات المقاولين أن التخطيط غير الصحيح الذي دلت إجابات المقاولين أن التخطيط غير الصحيح الذي حصل على درجة (93.33%) هو العامل الأكثر تأثيرا على كلفة بناء الأبنية المدرسية في كربلاء (مؤثر للغاية) وعلاوة وجود عامل يمكن تصنيفه على انه غير مؤثر على كلفة بناء الأبنية المدرسية في كربلاء حسب إجابات المقاولين.

الجدول رقم (8): تكرار إجابات المقاولين لكل عامل

العوامل البيئية								
درجة التأثير %	عدد الإجابات	غير مؤثر	نوعا ما مؤثر	مؤثر	مؤثر جدا	مؤثر للغاية	العامل	ت
46.67	9	2	4	1	2	0	تأثير الطقس	1
35.56	9	5	2	1	1	0	التأثيرات الاجتماعية والثقافية	2
68.89	9	0	0	6	2	1	موقع المشروع	3
53.33	9	0	3	6	0	0	مستوى المناسفين	4
68.89	9	0	1	4	3	1	الاستقرار الاقتصادي	5
53.33	9	0	4	4	1	0	مستوى التعليم	6
64.44	9	2	0	2	4	1	السياسات الحكومية	7
55.56	9	1	3	3	1	1	جنسية العمال	8

العوامل المتعلقة بالتنفيذ								
93.33	9	0	0	0	3	6	الخطيط غير الصحيح	9
77.78	9	0	0	3	4	2	غياب التنسيق	10
82.22	9	0	1	1	3	4	جودة التصميم	11
60	9	1	3	2	1	2	معيار المواد	12
48.89	9	1	4	3	1	0	سوء الرقابة المالية في الموقع	13
82.22	9	0	0	2	4	3	الخبرة السابقة	14
44.44	9	4	2	0	3	0	المنازعات في الموقع	15
العوامل المتعلقة بالعقد								
57.78	9	1	3	2	2	1	إدارة العقود	16
57.78	9	0	4	3	1	1	إجراءات العقد	17
57.78	9	0	4	3	1	1	الأعمال الإضافية والتغييرات	18
68.89	9	0	1	4	3	1	تغير التصميم	19
77.78	9	0	0	4	2	3	مدة العقد	20
73.33	9	0	2	3	0	4	عدم كفاية الأيدي العاملة المتوفرة	21
عوامل تقدير الكلفة								
73.33	9	0	0	4	4	1	كلفة المواد	22
57.78	9	0	4	3	1	1	كلفة اليد العاملة	23
46.67	9	3	4	0	0	2	كلفة النقل	24
44.44	9	3	4	0	1	1	كلفة الآليات	25
35.56	9	4	4	0	1	0	ارتفاع كلف صيانة الآليات	26
46.67	9	3	3	1	1	1	ارتفاع أسعار الفائدة	27
48.89	9	2	4	1	1	1	عدم وجود معيار الإنتاجية	28
62.22	9	0	3	3	2	1	استغلال موردي السلع	29
44.44	9	2	4	2	1	0	عدم وجود بيانات تكلفة البناء	30
عوامل التمويل								
62.22	9	0	2	4	3	0	طرق التمويل والسنادات والمدفوعات	31
53.33	9	0	3	6	0	0	ضغط التضخم	32
33.33	9	4	4	1	0	0	سعر صرف العملة	33

جدول رقم (9): الترتيب حسب إجابات المقاولين

الترتيب	العامل	درجة التأثير %
1	الخطيط غير الصحيح	93.33
2	جودة التصميم	82.22
2	الخبرة السابقة	82.22
3	غياب التنسيق	77.78
3	مدة العقد	77.78
4	عدم كفاية الأيدي العاملة المتوفرة	73.33
4	تكلفة المواد	73.33
5	موقع المشروع	68.89
5	الاستقرار الاقتصادي	68.89
5	تغير التصميم	68.89
6	السياسات الحكومية	64.44
7	استغلال موردي السلع	62.22
7	طريقة التمويل والسدادات والمدفوغات	62.22
8	معيار المواد	60
9	إدارة العقود	57.78
9	إجراءات العقد	57.78
9	الأعمال الإضافية والتغييرات	57.78
9	تكلفة الأيدي العاملة	57.78
10	جنسية العمال	55.56
11	مستوى المنافسين	53.33
11	مستوى التعليم	53.33
11	ضغط التضخم	53.33
12	سوء الرقابة المالية في الموقع	48.89
12	عدم وجود معيار الإنتاجية	48.89
13	تأثير الطقس	46.67
13	تكلفة النقل	46.67
13	ارتفاع أسعار الفائدة	46.67
14	المنازعات في الموقع	44.44

44.44	كلفة الآليات	14
44.44	عدم وجود بيانات تكلفة البناء	14
35.56	التأثيرات الاجتماعية والثقافية	15
35.56	ارتفاع كلف صيانة الآليات	15
33.33	سعر صرف العملة	16

4.3. الترتيب المركب للعوامل استناداً إلى جميع الإجابات
 عامل تعتبر مؤثرة للغاية على كلفة إنشاء الأبنية المدرسية وأن (6) من العوامل الأخرى تصنف كمؤثرة جداً حسب إجابات الإجابات مجتمعة وترتيب العوامل استناداً إلى تلك الإجابات موضحة في الجدول رقم (10) والجدول رقم (11) على التوالي .
 الأطراف مجتمعة ولكن هناك (32) من مجموع (33) عامل تم الحصول على الدرجة الإجمالية لكل عامل بواسطة مجموع ضرب الدرجات الفردية للمهندسين المشرفين والمهندسين المتقديرين والقاولين بعدد إجابات كل منهم مقسوماً على عدد الإجابات الكلي
 تعتبر على الأقل مؤثرة على كلفة بناء الأبنية المدرسية كما أنه لا يوجد عامل غير مؤثر. وهذا يدل على إن رأي أهم الأطراف المشاركه في عملية بناء الأبنية المدرسية في كربلاء هو إن جميع العوامل تلعب دوراً مهماً في التأثير على كلفة الأبنية المدرسية وان دلت الدرجات المركبة على أنه فقط (3) من مجموع (33) الشعور العام لهم هو إن هذه العوامل تؤثر بشدة على الكلفة .

الجدول رقم (10): تكرار إجابات الأطراف مجتمعة لكل عامل

العوامل البيئية								
العامل	تأثير للغاية	مؤثر جداً	مؤثر	مؤثر	نوعاً ما مؤثر	غير مؤثر	عدد الإجابات	درجة التأثير٪
تأثير الطقس	2	5	8	16	5	5	36	50.56
التأثيرات الاجتماعية والثقافية	0	2	7	13	14	1	36	38.33
موقع المشروع	4	9	19	3	1	19	36	66.67
مستوى المنافسين	3	4	19	8	2	2	36	58.89
الاستقرار الاقتصادي	7	12	15	2	0	36	73.33	57.78
مستوى التعليم	4	4	15	10	3	2	36	57.78
السياسات الحكومية	7	10	13	2	4	4	36	67.78
جنسية العالة	2	4	15	13	2	2	36	55
العوامل المتعلقة بالتنفيذ								
التخطيط غير الصحيح	18	14	3	1	0	36	87.22	9

77.22	36	1	0	9	19	7	غياب التنسيق	10
80	36	0	3	6	15	12	جودة التصميم	11
66.11	36	1	8	11	11	5	معيار المواد	12
58.33	36	2	11	15	4	4	سوء الرقابة المالية في الموقع	13
81.67	36	1	0	6	17	12	الخبرة السابقة	14
53.33	36	9	10	5	8	4	المنازعات في الموقع	15

العوامل المتعلقة بالعقد

65	36	1	8	13	9	5	إدارة العقود	16
58.33	36	0	13	14	8	1	إجراءات العقد	17
60	36	0	12	15	6	3	الأعمال الإضافية والتغييرات	18
75	36	0	2	14	11	9	تغيير التصميم	19
78.89	36	1	0	13	8	14	مدة العقد	20
70	36	1	7	3	13	12	عدم كفاية الأيدي العاملة المتوفرة	21

عوامل تقدير الكلفة

76.67	36	0	0	15	12	9	كلفة المواد	22
69.44	36	0	9	9	10	8	كلفة اليد العاملة	23
53.89	36	7	13	4	8	4	كلفة النقل	24
52.22	36	8	10	7	10	1	كلفة الآليات	25
46.11	36	10	14	4	7	1	ارتفاع كلف صيانة الآليات	26
50	36	8	11	9	7	1	ارتفاع أسعار الفائدة	27
56.11	36	5	13	6	8	4	عدم وجود معيار الإنتاجية	28
61.11	36	1	11	13	7	4	استغلال موردي السلع	29
50.56	36	6	17	5	4	4	عدم وجود بيانات تكلفة البناء	30

عوامل التمويل

64.44	36	0	9	13	11	3	طرق التمويل والسنادات والمدفوعات	31
58.89	36	1	9	19	5	2	ضغط التضخم	32
42.78	36	12	12	8	3	1	سعر صرف العملة	33

جدول رقم (11): الترتيب استناداً إلى إجابات الأطراف مجتمعة

الترتيب المركب	العامل	درجة التأثير %
1	التخطيط غير الصحيح	87.22
2	الخبرة السابقة	81.67
3	جودة التصميم	80
4	مدة العقد	78.89
5	غياب التنسيق	77.22
6	كلفة المواد	76.66
7	تغيير التصميم	75
8	الاستقرار الاقتصادي	73.33
9	عدم كفاية الأيدي العاملة المتوفرة	70
10	كلفة اليد العاملة	69.44
11	السياسات الحكومية	67.78
12	موقع المشروع	66.67
13	معيار المواد	66.11
14	إدارة العقود	65
15	طريقة التمويل والسنادات والمدفوعات	64.44
16	استغلال موردي السلع	61.11
17	الأعمال الإضافية والتغييرات	60
18	مستوى المنافسين	58.89
18	ضغط التضخم	58.89
19	سوء الرقابة المالية في الموقع	58.33
19	إجراءات العقد	58.33
20	مستوى التعليم	57.78
21	عدم وجود معيار الإنتاجية	56.11
22	جنسية العاملة	55
23	كلفة النقل	53.89
24	المنازعات في الموقع	53.33
25	كلفة الآليات	52.22
26	تأثير الطقس	50.56
26	عدم وجود بيانات تكلفة البناء	50.56



50	ارتفاع أسعار الفائدة	27
46.11	ارتفاع كلف صيانة الآليات	28
42.78	سعر صرف العملة	29
38.33	التأثيرات الاجتماعية والثقافية	30

5.3. العوامل العشرة الأكثر تأثيراً على كلفة بناء الأبنية المدرسية جداً وعامل واحد مؤثر على كلفة بناء الأبنية المدرسية كما أن العوامل الثلاثة الأعلى يمكن اعتبارها حرجية للغاية نسبياً.

بناءً على درجات التأثير المركبة لأعلى عشرة عوامل فإن وبصورة عامة فإن هذه العوامل أعلى الدرجات في تقييم كل ثلاثة من هذه العوامل تعتبر مؤثرة للغاية وستة عوامل مؤثرة طرف على حدة أيضاً. وكما موضح في الجدول رقم (12).

جدول (12): ملخص درجات التأثير لأعلى عشرة عوامل

العامل	ت
الخطيط غير الصحيح	1
الخبرة السابقة	2
جودة التصميم	3
مدة العقد	4
غياب التنسيق	5
كلفة المواد	6
تغير التصميم	7
الاستقرار الاقتصادي	8
عدم كفاية الأيدي العاملة المتوفرة	9
كلفة اليد العاملة	10

6.3. تحليل الارتباط Correlation analysis

من المهم جداً أن نعرف هل إن هناك اتفاق عام بين الارتباط (Pearson's correlation coefficient) والإطراف على العوامل المحددة قبل وضع الاستنتاج المتعلق (r) ومعامل الارتباط (r) يستخدم لإيجاد درجة العلاقة بالعوامل الرئيسية التي تؤثر على كلفة بناء الأبنية المدرسية [8,9]، في هذا البحث فإن الهدف هو هل إن الرأي العام للأطراف مجتمعة يتفق مع في كربلاء . تحليل الارتباط هو وسيلة إحصائية يمكن رأي كل طرف على حدة وعلى وجه التحديد ما إذا كان هناك استخدامها لتحقيق ذلك.

تحليل الارتباط هو وسيلة إحصائية يمكن أن تستخدم اتفاق بين كل من:

1. تقييم المهندسين المشرفين والتقييم الشامل لجميع الأطراف.
2. تقييم المهندسين المنفذين والتقييم الشامل لجميع الأطراف.

2. كلا المتغيرين له توزيع طبيعي تقريبا.
3. الترابط (الحقيقي) بين المتغيرات هو ترابط خطى.
- حساب ارتباط التحليل لعينة إحصائية يمثل قوة وطبيعة الترابطات الخطية وهو فعال لاستكشاف الترابطات بين العديد من المتغيرات ومعامل الارتباط لبيرسون (r) تراوح بين (-1 إلى +1)، (+1) يعني ارتباط مثالي ، (-1) يعني ارتباط عكسي وأخيرا (صفر) يعني عدم وجود ترابط بين متغيرين ، الصيغة التالية تستخدم لتقدير البيانات النموذجية كدليل على وجود علاقة خطية بين متغيرين كميين ، وهو بدون وحدات ويستند على $r = \frac{\sum(x-\bar{x})(y-\bar{y})}{\sqrt{\sum(x-\bar{x})^2 \sum(y-\bar{y})^2}}$ [10,11] الوسط الحسابي للعينات و r معامل الارتباط

1. بيانات المتغيرين تم الحصول عليها بصورة عشوائية (1) وعملية الاختبار غير متحيزه لذلك فان القيمة المتوقعة ل(r) هي ارتباط حقيقي للمتغيرين.

تفسير قيم معاملات الارتباط لبيرسون هو كالتالي [12]:

قيمة المعامل	تفسيره	ترابط سلبي قوي	ترابط ضئيل أو لا ترابط	ترابط ايجابي ضعيف	+0.3 إلى -0.3	+0.7 إلى -0.7	+0.7 إلى 1

وكم يلاحظ من الجدول رقم (13) إن قيم معامل الارتباط الشامل) تدرج تحت فئة علاقة ايجابية قوية. الجدول رقم (13) يوضح طريقة حساب معامل الارتباط (r) للمهندسين المشرفين لبيرسون التي تم الحصول عليها باستخدام المعادلة رقم (1) (للمهندسين المشرفين/ التقييم الشامل) و(للمهندسين المنفذين / التقييم الشامل) وكذلك (للمقاولين / التقييم

جدول رقم (13): حساب معامل الارتباط (r) للمهندسين المشرفين

العامل	x	y	\bar{x}	\bar{y}	$x-\bar{x}$	$y-\bar{y}$	$(x-\bar{x})^2$	$(y-\bar{y})^2$	$(x-\bar{x})(y-\bar{y})$
التخطيط غير الصحيح	85	87.22	77.25	76.94	7.75	10.28	60.0625	105.6784	79.67
الخبرة السابقة	82.5	81.67			5.25	4.73	27.5625	22.3729	24.8325
جودة التصميم	73.75	80			-3.5	3.06	12.25	9.3636	-10.71
مدة العقد	80	78.89				1.95	7.5625	3.8025	5.3625
غياب التنسيق	77.5	77.22				0.28	0.0625	0.0784	0.07
كلفة المواد	76.25	76.67				-0.27	1	0.0729	0.27
تغيير التصميم	77.5	75				-1.94	0.0625	3.7636	-0.485



8.1225	13.0321	5.0625	-3.61	-2.25			73.33	75	الاستقرار الاقتصادي
50.315	48.1636	52.5625	-6.94	-7.25			70	70	عدم كفاية الأيدي العاملة المتوفرة
16.875	56.25	5.0625	-7.5	2.25			69.44	75	كلفة اليد العاملة
174.3225 = Σ	262.578= Σ	$\Sigma=171.25$							

$$r = \frac{174.3225}{\sqrt{171.25 \times 262.578}} = 0.82 \quad \text{بتطبيق المعادلة (1) فان:-}$$

جدول رقم (14): معامل الارتباط (r) لكل طرف

المقاولين	المهندسين المنفذين	المهندسين المشرفين	الأطراف
معامل الارتباط لبيرسون (r)			
0.91	0.87	0.82	

وبعبارة أخرى ، ذلك يعني أن التقييم الشامل لجميع المشاركين في عملية بناء الأبنية المدرسية موافق لكل طرف من الأطراف بناء الأبنية المدرسية يمكن أن يخدم في توجيه مجالات التركيز للنظر في وضع السياسات التي تهدف إلى تحسين ظروف برنامج بناء الأبنية المدرسية في كربلاء. وبعبارة أخرى ، ذلك يعني أن التقييم الشامل لجميع الأطراف كانت مقبولة بشكل عام لكل طرف.

الشعور العام للمهندسين المتنفيذين تجاه العوامل هو أقوى منه لدى المهندسين المشرفين والمقاولين (معدل الدرجات (77.6

4. الاستنتاجات

هناك اتفاق عام في رأي كل طرف من الأطراف المشاركة للمهندسين المتنفيذين و(77.3) للمهندسين المشرفين و(75.6) في عملية بناء الأبنية المدرسية في كربلاء مع الرأي العام للمقاولين) كما يتضح من درجات العوامل العشرة الأولى . العوامل العشرة الأكثر تأثيرا في عملية بناء الأبنية الشامل لجميع الأطراف حول العوامل التي تؤثر على كلفة بناء الأبنية المدرسية في كربلاء.

المعظم العوامل (32 من 33 عامل) التي يعتقد أنها تؤثر غير الصحيح ، الخبرة السابقة ، جودة التصميم ، مدة العقد ، على كلفة بناء الأبنية المدرسية في كربلاء هي على الأقل غياب التنسيق ، كلفة المواد ، تغيير التصميم ، الاستقرار مؤثرة حسب أراء المختصين ، هذا يدل على أهمية تحديد هذه العوامل وال الحاجة إلى بحث منهجي شامل يأخذ بنظر الاعتبار العاملة .

جميع العوامل والتفاعل فيما بينها.



- study", International journal of project Management, V. 21, P.321 – 326, (2003).
- [4] Leblanc, D.C., Statistics: Concept and Applications, Jones & Bartlett Publishers, Boston,MA, (2004).
- [5] Ogunlana, S., Krit, P. and Vithool, J., »Construction delays in a fast growing economy; comparing Thailand with other economies», International Journal of Project Management, V.14, N.1, P. 37 – 45, (1996).
- [6] د.احمد عبد السميم طبيه،"مبادئ الاحصاء" ، دار الحرية، (2008).
- المصادر**
- [1] Duflo, Esther, "Schooling and Labor Market Consequences of School Construction in Indonesia: Evidence from an Unusual Policy Experiment," American Economic Review, September, V. 91, N.4, P. 795–813, (2001).
- [2] لويس فؤاد ،"مشاريع بناء المدارس لماذا التلاؤ والاخفاق" .(2012), www.irag.iop.com
- [3] Y.A Al-Juwairah, "Factors affecting construction cost in Saudi Arabia", MS thesis, King Fahd University of Petroleum and Minerals, Dhahran, (1997).
- [4] ارشد ذياب خلف، "واقع الابنيه المدرسيه في العراق" ، مجلس النواب العراقي دائرة البحوث، (2013).
- [5] وزارة التخطيط الجهاز المركزي للإحصاء، مديرية الإحصاء الاجتماعي والتربوي، احصاءات (2009-2014).
- [6] تقرير وزارة التخطيط ،"المدارس الطينيه بين المشاكل والمعوقات" ، (2012).
- [1] Project Management Institute, A Guide to the Project Management Body of Knowledge (PMBOK® Guide), 3rd edition, and Project Management Institute. <http://www.pmi.org>
- [2] د.مهدي محمد القصاص،"مبادئ الاحصاء والقياس الاجتماعي" ، دار المعرفه الجامعية، (2007).
- [3] Y.Frimpong, J.Oluwoye and L.Crawford, "Causes of Delays and Cost Overruns in Construction of Ground water Projects in Developing Countries; Ghana as a case



إيجاد علاقة مشتركة بين سرعة الأمواج فوق الصوتية ومقاومة الانضغاط للكتل الخرسانية الخلوية (الثرمستون)

ليث محمد رضا محمود

قسم الهندسة المدنية، كلية الهندسة، جامعة كربلاء، العراق

تاريخ الاستلام: 8 / Oct / 2015

تاريخ قبول النشر: 13 / Jan / 2016

Abstract

The cellular concrete blocks (Thermostone) are consider as a one of important construction materials which is used widely as an interior masonry walls and partitions in frame structures, as it has many economic and practice benefits.

The aim of the research is finding correlation between ultrasonic pulse velocity and compressive strength of different types of locally available thermostone. To assess compressive strength of thermostone depending on its ultrasonic pulse velocity, by using direct and indirect methods with distances of (10, 20 and 30)cm. Four correlations were obtained by using linear regression method. According to the test results, ultrasonic pulse velocity cannot be used as a non destructive test to estimate compressive strength of thermostone, as thermostone is a porous material which dispersal the waves.

Key words

Thermostone, compressive strength, ultrasonic pulse velocity, direct method.



الخلاصة

تعتبر الكتل الخرسانية الخلوية (الثرمستون) من اهم المواد الانشائية المستخدمة في انشاء القواطع في الأبنية الميكيله متعددة الطوابق، بسبب المنافع الاقتصادية والعملية التي تمتاز بها هذه الكتل.

يهدف البحث الى إيجاد علاقه مشتركة بين سرعة الأمواج فوق الصوتية ومقاومة الانضغاط للثرمستون يمكن من خلالها حساب مقاومة انضغاط الثرمستون المنفذ موقعيًا بالاعتماد على سرعة الأمواج فوق الصوتية المارة خلاله، وذلك من خلال قياس سرعة الأمواج فوق الصوتية لانواع مختلفة من الثرمستون والمتوفرة محليًا بالطريقة المباشرة، والطريقة غير المباشرة بمسافات مختلفة هي (10، 20 و30) سم وإيجاد اربع معادلات رياضية باستخدام طريقة الاتحدار الخطى البسيط وإيجاد معامل التحديد لكل معادلة. بينت النتائج عدم إمكانية الاعتماد على فحص الأمواج فوق الصوتية كفحص غير اتلافي لغرض تقييم الثرمستون داخل المنشآ حيث لا يمكن استخراج معادلة مشتركة يمكن من خلالها حساب مقاومة انضغاط الثرمستون بالاعتماد على سرعة الأمواج فوق الصوتية المارة خلاله كون الثرمستون مادة مسامية تشتت الموجة المارة خلالها.

الكلمات المفتاحية

الثرمستون، مقاومة الانضغاط، سرعة الأمواج فوق الصوتية، الطريقة المباشرة.



1. المقدمة

2.1. فحص الأمواج فوق الصوتية

ت تكون الأمواج فوق الصوتية من ذبذبات ذات تردد عالي اكثراً من 20 كيلو هيرتز وبذلك تكون فوق مستوى سمع الإنسان ويتراوح تردد هذه الذبذبات ما بين (20-3) ميكا هيرتز وضمن هذه الحدود من التردد تسلك الأمواج الصوتية إلى حد ما سلوك الأمواج الكهرومغناطيسية أو أمواج الضوء عدا أنها لا تتمكن من الانتقال في الفراغ [5].

يعتبر فحص الأمواج فوق الصوتية من الفحوص

اللاتلافية الممكن اجراؤه في الموقع لغرض تقييم جودة الخرسانة ومدى تجانسها وتخمين مقاومتها للانضغاط والشد بصورة غير مباشرة وعلى أساس العلاقات التجريبية، والكشف عن أماكن التشققات أو الفجوات الكبيرة، او متابعة التغيرات التي تحدث فيها بمرور الزمن [6].

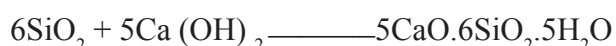
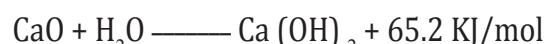
يعتمد مبدأ الفحص على قياس الزمن اللازم لانتقال الموجة خلال مقطع معين ومن معرفة ابعاد المقطع يمكن حساب سرعة الموجة (7)، ولغرض الحصول على درجة عالية من الدقة تفاصيل المسافة باللميترات ويقتاس الزمن بواسطة أجهزة الكترونية متنقلة وإلى حد جزء من مليون من الثانية والتي تعرف تجارياً باسم (Pundit) [5]. لقياس الزمن اللازم لانتقال الموجة توضع المذبذبات (الطرف المرسل للموجة والطرف المستقبل لها) على السطح المفحوص بثلاثة أنواع اعتماداً على

شكله وابعاده وحالته، الأول بشكل متقابل من الجهتين (الطريقة المباشرة) (Direct Transmission)، الثاني بشكل متجاور (الطريقة غير المباشرة) (In-direct Transmission) والثالث يكون موضع أحد المذبذبين على حافة الجزء المراد فحصه والأخر على السطح الأسفل المجاور (الطريقة شبه المباشرة) (Semi-direct) (Transmission)، وكما موضح في الشكل (1) [7].

تعرف الكتل الخرسانية الخلوية على أنها كتل بنائية موادها الأساسية (الاسمنت، الرمل والنورة)، تخلط بحسب مختلفة مع إضافة عامل رغوي كيمياوي لغرض توليد غاز الهيدروجين الذي يكون مسؤولاً عن توليد الهيكل الخلوي (فجوات) عند تحرره (غالباً ما يستخدم مسحوق الالミニوم لهذا الغرض)، يتم بعد ذلك تعریض المتنوج إلى بخار مشبع وضغط عال لاكتمال عملية الانضاج [1].

تم انتاج الترمستون لأول مرة في السويد عام 1924 وأصبح من اهم المواد الانشائية المستخدمة بكثرة في الآونة الأخيرة لانشاء القواطع في الأبنية الهيكلية متعددة الطوابق لما له من مميزات جعلته قادراً على منافسة الأنواع الأخرى من الوحدات البنائية منها عزله الجيد للحرارة والصوت ومقاومته الجيدة للحرائق وخفته وزنه وسرعة العمل به واستهلاكه لكمية اقل من مونة البناء مقارنة بالأنواع الأخرى من الوحدات البنائية وبالتالي تقليل كلفة البناء مقارنة بالبدائل الأخرى [2]. بالإضافة إلى قلة نسبة الاملاح الموجودة فيه وبالتالي انعدام ظاهرة التزher والتي غالباً ما تحدث في الطابوق الطيني بكثرة والتي تؤثر سلباً على المادة الرابطة وطبقات الانهاء [3].

ويمكن تلخيص التفاعلات الكيميائية بين المواد الأولية لانتاج الترمستون بالمعادلات الآتية [4]:



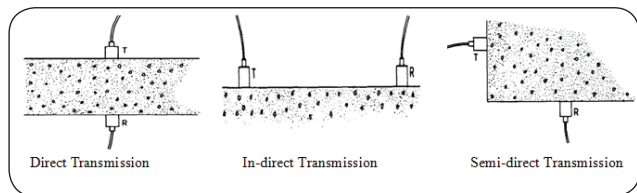
بناءً على ما ذكر في الفقرة (3-1) أعلاه، يمكن استنتاج معادلات تجريبية يمكن من خلالها حساب مقاومة انضغاط مختلف أنواع الخرسانة والمواد الانشائية بالاعتماد على سرعة الأمواج فوق الصوتية المارة خلالها. يهدف البحث إلى استنتاج معادلة تجريبية لحساب مقاومة انضغاط الكتل الخرسانية الخلوية المتوفرة محلياً بالاعتماد على سرعة الأمواج فوق الصوتية المارة خلالها، والذي يعد من أكثر الفحوص غير الالafافية استخداماً في عملية تقييم المنشآت المشيدة.

3. المواد والأجهزة المستخدمة وتحضير العينات

يستخدم فحص الأمواج فوق الصوتية لغرض تقييم خواص الخرسانة الاعتيادية مثل مدى تجانسها وجودتها والكشف عن وجود التشققات فيها وكذلك اختبار مدى تغيير خواصها خلال عمرها الخدمي وتخمين مقاومة انضغاطها [5]، أما في هذا البحث التجاري تم اجراء محاولة مختبرية لمختلف أنواع الترمستون المتوفرة محلياً لبيان مدى إمكانية استخدام فحص الأمواج فوق الصوتية لتخمين مقاومة انضغاطه داخل المنشأ.

3.1. المواد والأجهزة المستخدمة

تم استخدام الترمستون المتوفر محلياً من (5) مناشئ مختلفة بأبعاد (120×240×490) مم لتكوين نموذجاً مكون من ثلاثين وحدة بنائية لاختباره مختبرياً باستخدام جهاز فحص الأمواج فوق الصوتية الموضح في الشكل رقم (2) لإجراء الفحص الالاتافي، وجهاز مقاومة الانضغاط نوع (ELE) الموضح في الشكل (4)، بسعة (2000kN) لإجراء الفحص الالاتافي.



شكل (1): الأوضاع المختلفة للمذبذبات أثناء الفحص

3.1. البحوث السابقة

قام العديد من الباحثين بمحاولات إيجاد علاقات تجريبية تربط بين سرعة الأمواج فوق الصوتية ومحفظ خواص الخرسانة الاعتيادية ومن أهمها مقاومة الانضغاط، الغرض من ذلك هو تقييم خواص المنشآت الخرسانية دون الحاجة إلى الفحوص الالاتافية، حيث قام رؤوف [8] سنة (1986) بإيجاد علاقة بين سرعة الأمواج فوق الصوتية و مقاومة انضغاط المكعبات الخرسانية، كما قام كل من نشأت وسعدون (2005) [9] وكذلك فوزي، سعيد وجاسم سنة (2013) [10] بربط سرعة الأمواج فوق الصوتية و مقاومة انضغاط الخرسانة الاعتيادية بواسطة معادلات تجريبية، وفي سنة (2013) وجد بزيني واحسان [11] علاقة لربط سرعة الأمواج فوق الصوتية و مقاومة انضغاط الخرسانة ذاتية الرص لحساب مقاومتها بالاعتماد على سرعة الأمواج فوق الصوتية.

في سنة (2005) درس كل من رؤوف، محمد و خزعل [12] إمكانية ربط مقاومة انضغاط الطابوق الطيني و سرعة الأمواج فوق الصوتية المارة خلاله، ومن خلال البحث توصل الباحثون إلى معادلة يمكن من خلالها تحديد مقاومة انضغاط الطابوق الطيني بالاعتماد على سرعة الأمواج فوق الصوتية دون الحاجة إلى الفحوص الالاتافية.

2. الهدف من البحث



شكل (2): الجهاز المستخدم لقياس سرعة الأمواج فوق الصوتية

2.3. البرنامج العملي وتحضير العينات

تم تقسيم البرنامج العملي الى قسمين، حيث تم اجراء الفحوص غير الاتلافي اولاً لقياس سرعة انتقال الموجة خلال وحدات الترمستون ومن ثم اجراء الفحوص الاتلافي ثانياً لقياس مقاومة الانضغاط الفعلية لها، وكالاتي:

شكل (3): اجراء فحص الأمواج فوق الصوتية بمسافات مختلفة

2.2.3. فحص مقاومة الانضغاط الاتلافي

تضمن القسم الثاني من البرنامج العملي اجراء الفحص الاتلافي لـ(90) مكعب من الترمستون بابعاد $(10 \times 10 \times 10)$ سم، وذلك باخذ ثلاث مكعبات من كل وحدة من وحدات الترمستون وفحصها بجهاز مقاومة الانضغاط، كما موضح في الشكل (4).



شكل (4): فحص مقاومة الانضغاط لمكعبات الترمستون

تم اجراء الفحص بموجب المواصفة القياسية العراقية رقم (1441) [1] لقياس مقاومة الانضغاط الفعلية لها ومن ثم اخذ معدل النتائج لابعاد علاقات تحريرية تربط مقاومة انضغاط الترمستون وسرعة الأمواج فوق الصوتية المارة خلاله.

1.2.3. فحص الأمواج فوق الصوتية غير الاتلافي

تضمن القسم الأول اجراء فحص الأمواج فوق الصوتية بالطريقة غير المباشرة وبابعاد (10، 20 و30) سم بين المذبذبات وكما موضح في الشكل (3) ومن ثم اجراء الفحص بالطريقة المباشرة، بالاعتماد على المواصفة الامريكية (ASTM-C597) [13]، حيث تم معايرة الجهاز باستخدام عصا المعايرة القياسية الخاصة به وذلك بوضع طبقة خفيفة من مادة الاتصال على نهاية العصا القياسية وضغط المذبذبات عليها ومعايرة الجهاز على زمن قدره (25.4) ميكروثانية وهو زمن انتقال الموجة خلال العصا القياسية.



4. النتائج والمناقشة

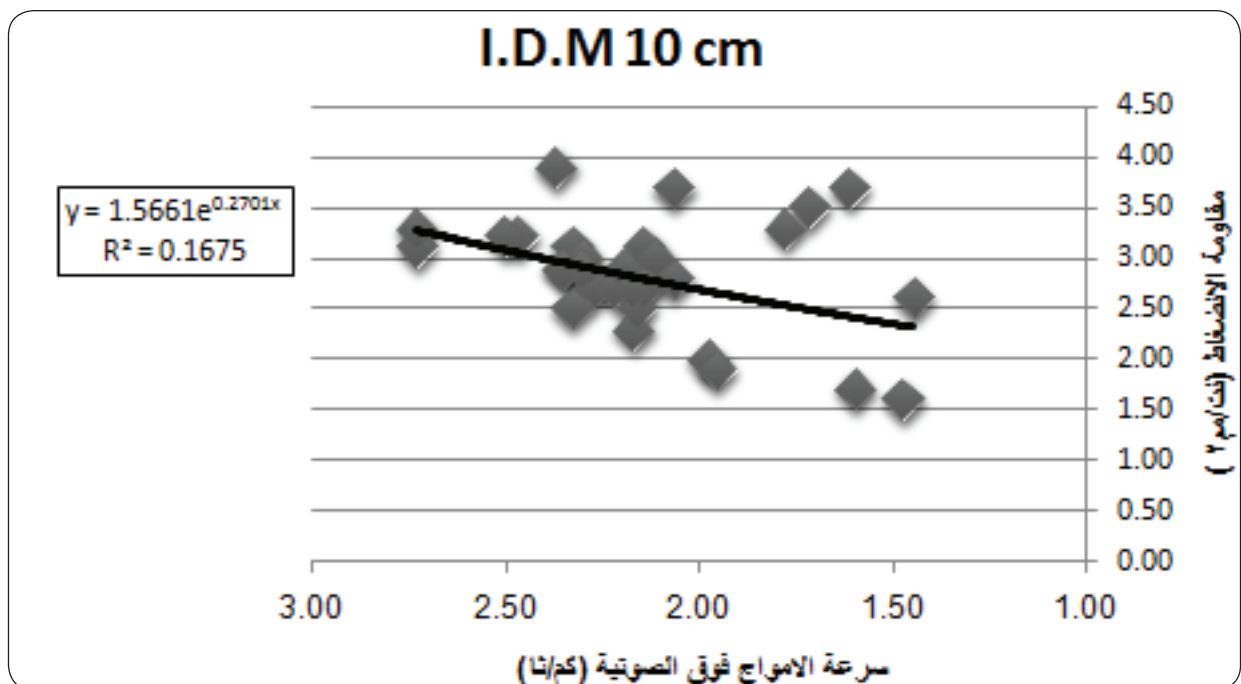
الترمستون داخل المنشأ بالاعتماد على سرعة الأمواج فوق

ان الهدف الأساسي من التجارب المختبرية هو إيجاد الصوتية وبطرق فحص مختلفة. وبين الجدول (1) النتائج علاقات يمكن من خلالها حساب مقاومة انضغاط المستحصلة من الفحوص المختبرية.

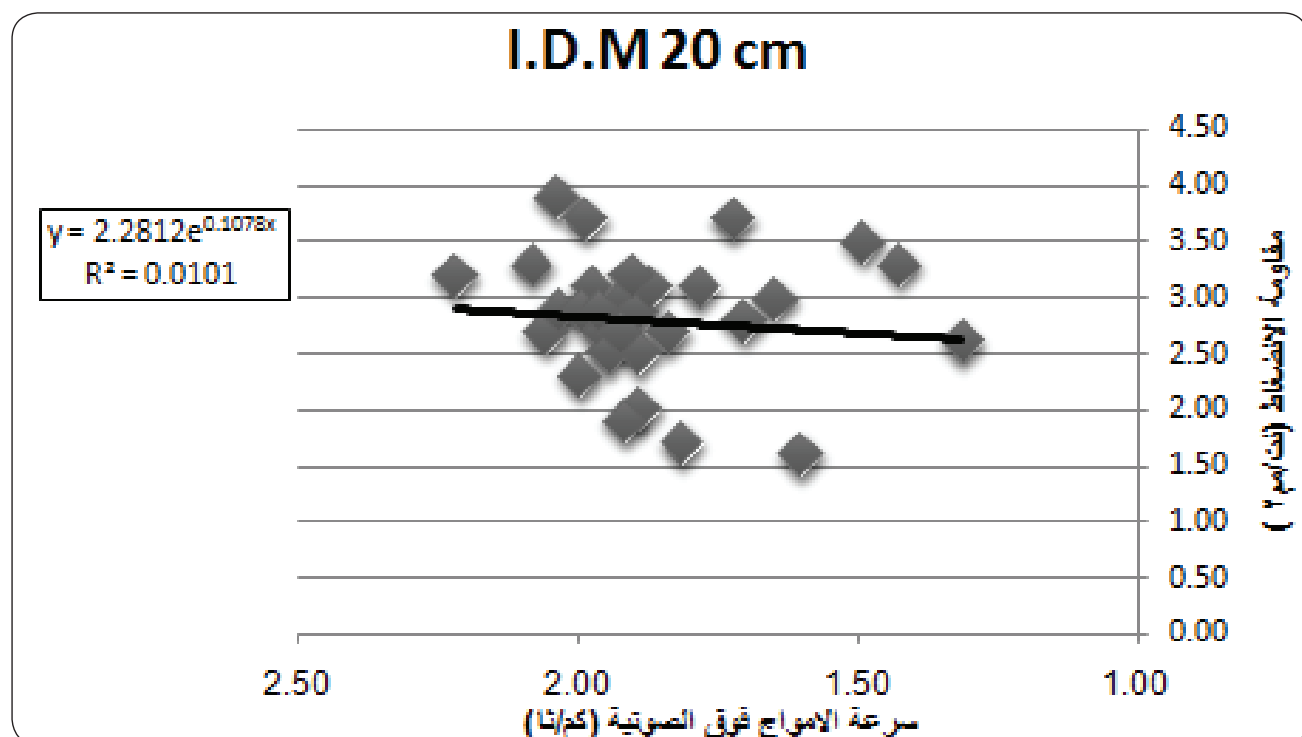
جدول (1): نتائج الفحوص الالتفافية وغير الالتفافية

رقم النموذج	سرعة الأمواج فوق الصوتية غير المباشرة (كم/ثا)	سرعة الأمواج فوق الصوتية بالطريقة غير المباشرة (كم/ثا)			مقاييس الانضغاط (ن/م مم ٢)
		المسافة بين المذبذبات (30 سم)	المسافة بين المذبذبات (20 سم)	المسافة بين المذبذبات (10 سم)	
1	1.471	1.600	1.563	1.866	1.6
2	2.273	1.955	1.702	1.803	2.7
3	2.169	1.998	1.708	1.847	2.3
4	1.976	1.890	1.751	1.816	2.0
5	1.957	1.914	1.699	1.812	1.9
6	1.600	1.815	1.873	1.816	1.7
7	2.469	2.217	1.983	1.889	3.2
8	2.165	1.892	1.724	1.863	2.5
9	2.326	1.976	1.769	1.779	3.1
10	2.217	2.055	1.974	1.987	2.7
11	2.304	1.919	1.740	1.921	3.0
12	2.066	1.986	1.745	1.989	3.7
13	2.353	2.037	1.896	1.958	2.9
14	2.299	1.994	1.728	1.982	2.9
15	2.326	1.947	1.848	1.953	2.5
16	2.188	1.963	1.706	1.976	2.9
17	2.347	1.894	1.963	1.960	2.9
18	2.146	1.869	1.987	1.987	3.1
19	1.779	2.083	1.976	1.992	3.3
20	1.718	1.493	1.648	1.976	3.5
21	1.449	1.316	1.579	1.982	2.6
22	2.066	1.701	1.816	1.948	2.8
23	2.146	1.923	2.134	1.998	2.7
24	2.114	1.645	1.563	1.976	3.0
25	2.500	1.903	1.853	1.995	3.2
26	2.169	1.838	1.657	1.926	2.7
27	2.370	2.035	1.827	1.989	3.9
28	2.732	1.784	1.688	1.988	3.1
29	1.613	1.723	1.751	1.995	3.7
30	2.729	1.426	1.689	1.982	3.3

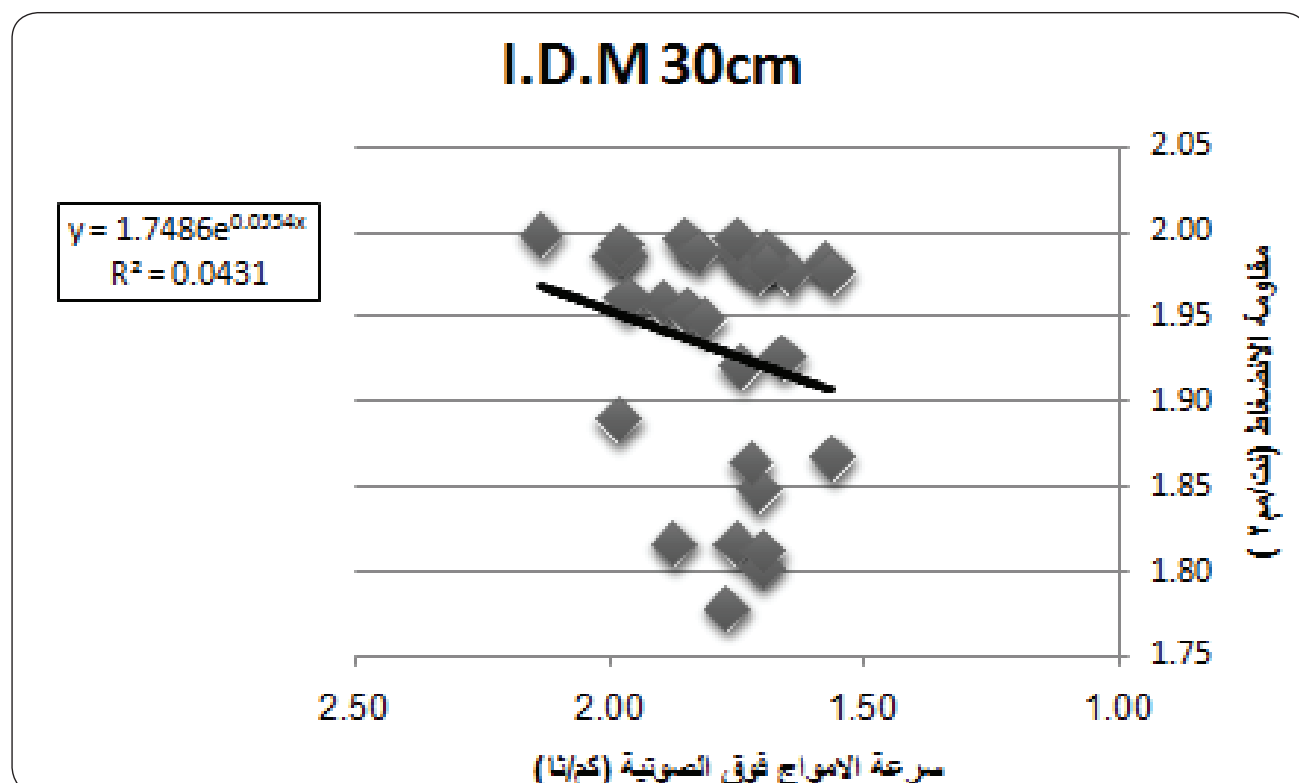
تم رسم النتائج على شكل مخطط انتشار واستخدم طريقة انضغاط الترمستون بالاعتماد على سرعة الأمواج فوق الانحدار الخطى البسيط لاستنتاج معادلات الانحدار الصوتية، وتم استنتاج اربع معادلات تجريبية كما موضح ومنحنيات الانحدار ومعاملات التحديد، لتخمين مقاومة بالاشكال من (5) الى (8) والجدول (2).



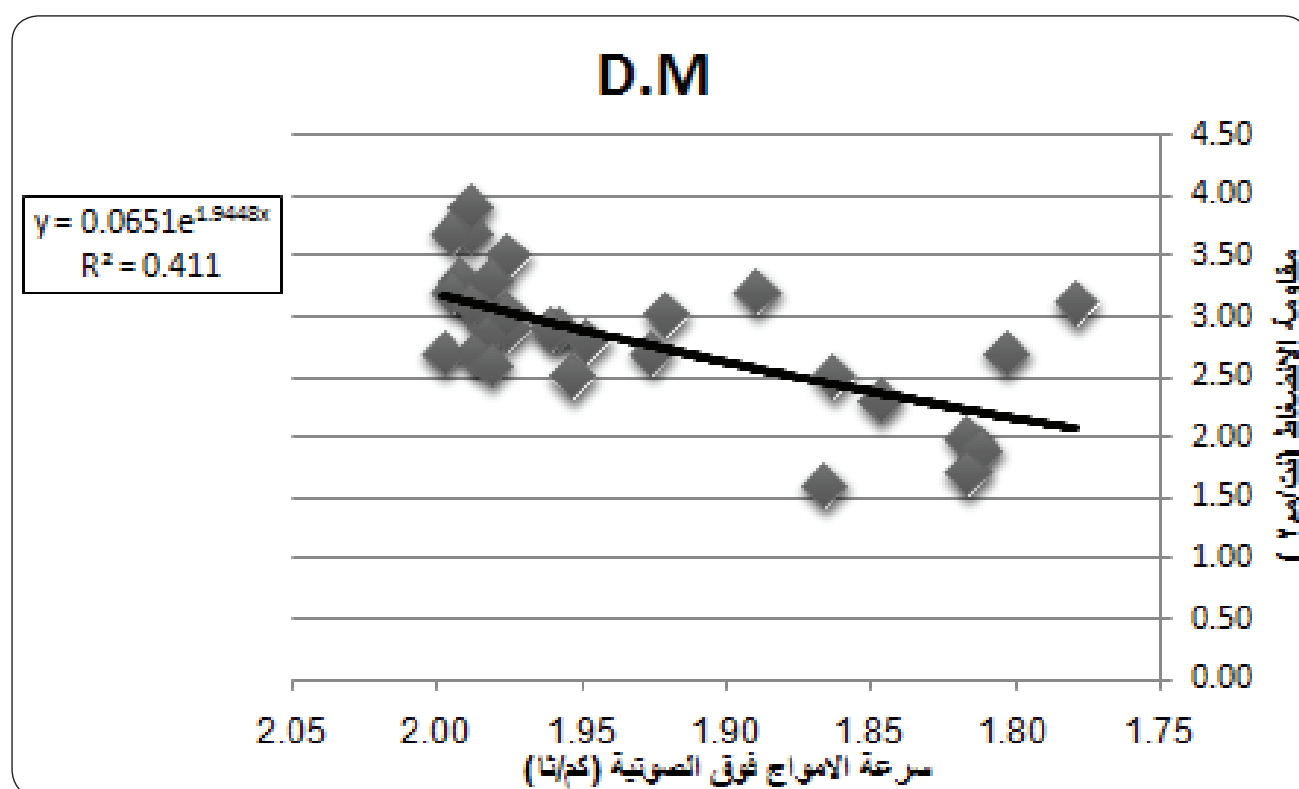
شكل (5): العلاقة بين سرعة الأمواج فوق الصوتية بالطريقة غير المباشرة (مسافة 10 سم) ومقاومة الانضغاط



شكل (6): العلاقة بين سرعة الأمواج فوق الصوتية بالطريقة غير المباشرة (مسافة 20 سم) ومقاومة الانضغاط



شكل (7): العلاقة بين سرعة الأمواج فوق الصوتية بالطريقة غير المباشرة (مسافة 30 سم) ومقاومة الانضغاط



شكل (8): العلاقة بين سرعة الأمواج فوق الصوتية بالطريقة المباشرة ومقاومة الانضغاط

جدول (2): ملخص العلاقات التجريبية المستنيرة من التحليل الاحصائي

المعادلة التجريبية	طريقة الفحص	معامل التحديد R^2
$F_C = 1.5661E^{0.2701V}$	الطريقة غير المباشرة (مسافة 10 سم)	0.1675
$F_C = 2.2812E^{0.1078V}$	الطريقة غير المباشرة (مسافة 20 سم)	0.0101
$F_C = 1.7486E^{0.0554V}$	الطريقة غير المباشرة (مسافة 30 سم)	0.0431
$F_C = 0.0651E^{1.9448V}$	الطريقة المباشرة	0.4110

حيث ان F_C مقاومة الانضغاط للترمستون و V سرعة انتقال الموجة خلال الترمستون. مرات عديدة عندما تصطدم بالاسطح البيئية التي تتكون نتيجة وجود الفراغات فيحدث ما يسمى بالانتشار [8]

و اذا اصطدمت الامواج بسطح يبني بزاوية مائلة فيحدث ان المعادلات المبينة في جدول (1) هي الافضل من ناحية معامل التحديد (R^2) حيث تم ايجاد مختلف انواع المعادلات سواء كانت خطية او اسية او متعددة الحدود ولكن بقيمة معامل تحديد اقل وبالتالي تم اختيار المعادلات المذكورة.

ونتيجة لقلة قيمة معاملات التحديد للمعادلات الرياضية المستنيرة وابعادها عن الـ (1) بشكل واضح باعتباره القيمة الاعلى لقيمة معامل التحديد ومقاييس لمدى إمكانية اعتماد المعادلة الرياضية باقترباب قيمته من الـ [14] ، ان عدم إمكانية استنتاج معادلة رياضية تربط

5. الاستنتاجات والتوصيات

1- تشتمل سرعة الامواج فوق الصوتية عند مرورها خلال الكتل الخرسانية الخلوية سواء استخدمت الطريقة المباشرة او غير المباشرة لغرض اجراء الفحص اللاتلافي.

2- الحصول على قيم مقاومة انضغاط مختلفة بشكل واضح لقيم متقاربة لسرع الامواج فوق الصوتية وبالتالي لا توجد علاقة طردية بين سرعة الامواج فوق الصوتية و مقاومة الانضغاط للكتل الخرسانية الخلوية.

3- بالاعتماد على مسافات الفحص المستخدمة في البحث لا تتمكن من الانتقال بالفراغ [5]، ونظراً لوجود المسامات في الترمستون بشكل كبير فان هذه الامواج تتعكس وتنكسر

- الامارات العربية المتحدة، الشارقة، (1999).
- [6] امام، محمود احمد، "الخرسانة"، مصر، دار الكتب للنشر، (2002).
- [7] British Standards Institution، «Recommendation for Measurement of Velocity of Ultrasonic Pulses in Concrete»، B.S 1881, Part 116, (1983).
- [8] رؤوف. زين العابدين، "تقييم الطريقة المشتركة غير الالتفافية"، مجلة بحوث البناء، المجلد 5، العدد 1، أيار (1986).
- [9] Nashr I.H., A'bour S.H. and Sadoon A.A., «Finding an Unified Relationship between Crushing Strength of Concrete and Non-destructive Tests»، Middle East Nondestructive Testing Conference & Exhibition. Bahrain, Manama. 2730- Nov, (2005).
- [10] Fawzi, N.M., Said' A.I. and Jassim' A.K., «Prediction of Compressive Strength of Reinforced Concrete Structural Elements by Using Combined Non-Destructive Tests»، M.Sc. Thesis, University of Baghdad, (2012).
- [11] Bzeni, D.K.H and Ihsan, M.A., "Estimating Strength of SCC Using Non-Destructive Combined Method", Third International Conference on Sustainable Construction and Technologies, Kyoto, Japan, August, (2013).
- [12] رؤوف. زين العابدين، محمد. حسن جاسم، خر عل. عمار سليم، "تقييم الوحدات البنائية الطابوقية بواسطة الأمواج فوق الصوتية"، مجلة تكريت للعلوم الهندسية، المجلد 12، العدد 3، آب (2005).
- [13] American Concrete Institute، «Test Method for Pulse Velocity through Concrete»، Annual Book of ASTM Standards C 597 – 02, (2002).
- [14] عمارة. نعمة حمد، توفيق. سحر شاكر، "الإحصاء وتطبيقاته الهندسية"، وزارة التعليم العالي والبحث العلمي، الجامعة التكنولوجية، الطبعة الأولى، (1989).
- استنتاج معادلة يمكن من خلالها حساب مقاومة انضغاط الكتل الخرسانية الخلوية.
- 4- يمكن استخدام كتل خرسانية بابعاد اخرى متوفرة محلياً لدراسة تأثير مسافة الفحص على دقة الفحص بالطريقة المباشرة، ومدى امكانية استنباط علاقه تربط مقاومة انضغاطها بسرعة الموجات فوق الصوتية المارة خلالها في حالة تغير مسافة الفحص كدراسة مستقبلية.
- 5- لتقدير الكتل الخرسانية الخلوية داخل المنشآت بصورة دقيقة، يمكن اخذ قطع من الكتل الخرسانية الخلوية لغرض استقطاع مكعبات بأبعاد $(10 \times 10 \times 10)$ سم وفحصها بواسطة جهاز مقاومة الانضغاط لغرض تقييمها شرط دون الاحق الضرر بالمنشأ.

المصادر

- [1] المواصفات العراقية، المواصفة القياسية رقم 1441 "الكتل الخرسانية الخلوية (الثرمستون)"، الجهاز المركزي للتقييس والسيطرة النوعية، (2000).
- [2] International Masonry Institute، «Autoclaved Aerated Concrete Masonry Units»، Resource Information from The International Masonry Institute, February, (2010).
- [3] Narayanan, N, Ramamurthy, K., "Structure and properties of aerated concrete: a review", Cement and Concrete Research, Vol. 22, (2000).
- [4] W.van Boggelen, "Developments and opportunities for AAC with modern production technology". 4th International Conference on Autoclaved Aerated Concrete, London, ISBN 978-04-15383-56-1, (2005).
- [5] السامرائي، مفيد عبد الوهاب ورؤوف، زين العابدين، "الفحوص الالتفافية للخرسانة"، مطبعة اكسبرس،

التحري عن جين .-a و oxa-1 في عزلات جرثومة المعزولة من مرضى الحرائق في **Pseudomonas aeruginosa**

مدينة كربلاء

*ضوء محمد الخطيب * وفاء صادق الوزني ** ياسمين خضير الغانمي

* قسم علوم الحياة، كلية العلوم، جامعة كربلاء، العراق

** قسم علوم الحياة، كلية التربية للعلوم الصرفة، جامعة كربلاء، العراق

تاريخ الاستلام: 1 / Nov / 2015

تاريخ قبول النشر: 11 / Dec / 2016

Abstract

The present study aimed to observation frequency of germ *pseudomonas aeruginosa* among burn patients in the city of Karbala, and the investigation of oxa-10 and per-1 gene in isolated germ *p.aeruginosa* multi-antibiotic-resistant study included the collection of 64 skin swabs of burn patients Recumbent to the Teaching Hospital Hussein in Karbala For the period from 2-2014 to -16 16-8- 2014 indicated the results of diagnostic tests for germ *p.aeruginosa* ownership of (35) isolation to this germ. Results showed sensitivity tests that the (20) isolates of germ *P.aeruginosa* were high resistance to most antibiotics studied reaching resistance percentage for each of the Cefatotaxime (88.6%), Ceftazidime (85.7%) and (85.7%) in Meropenin while reached (77.1%) resistance to the antibiotic Gentamycin. genetically detection owing isolates produced β -lactamases enzymes multiple resistance (per-1 and oxa-10 gene) using the enzyme polymerase chain reaction technique (PCR) where polymerization results showed that the presence of oxa-10 gene percentage (54.1%) and The percentage of the presence of per-1 gene is (31.4%) of the the total isolates. so the emergence of a partial pack size (760) base pairs of the gene oxa-10 and (927) base pairs of the gene per-1.

الخلاصة

هدفت هذه الدراسة الى بيان نسبة تردد جرثومة الزوائف الزنجارية *Pseudomonas aeruginosa* بين مرضى الحروق في مدينة كربلاء، والتحري عن جين oxa-10 و per-1 في عزلت جرثومة *p.aeruginosa* المتعددة المقاومة للمضادات الحيوية شملت الدراسة جمع (64) مسحة جلدية من مرضى الحروق الراقدين في مستشفى الحسين التعليمي في كربلاء للفترة من 2014/2/16 الى 2014/8/16 اشارت نتائج الاختبارات التشخيصية لجرثومة *p.aeruginosa* عائدية (35) عزلة لهذه الجرثومة.

اظهرت نتائج الاختبارات الحساسية ان (20) عزلة من جرثومة *P.aeruginosa* كانت عالية المقاومة لاغلب المضادات الحيوية المدروسة حيث بلغت نسبة مقاومتها للكل من Meropenin (85.7%) Cefatotaxime (88.6%)، Ceftazidime (85.7%) في حين وصلت مقاومتها الى (77.1%) للمضاد الحيوي Gentamycin . تم الكشف وراثيا عن امتلاك العزلات ذات المتجة المقاومة المتعددة لجينات البيتاالاكتميس (جين 1-oxa-10 و per-1) باستخدام تقنية تفاعل انزيم البلمرة المتسلسل (PCR) حيث اظهرت نتائج البلمرة ان تواجد جين oxa-10 بنسبة (51.4%) وكانت نسبة تواجد جين (31.4%) per-1 من مجموع العزلات الكلي وذلك بظهور حزمة ذات حجم جزئي (760) زوجاً قاعدياً لجين 10-oxa و (927) زوجاً قاعدياً لجين 1-per.



الزنجرارية المصنع الوحيد لإنزيمات البيتاالاكتاميز واسعة

PER-1 (Pseudomonas extended resistance, تلك الانزيمات التي تعود الى صنف A حسب تصنيف Ambler والتي لها القدرة على مقاومة العديد من المضادات الحيوية من خلال قدرتها العالية على تحليل السيفالوسبورينات المتمثلة بكل من Penicillins Aztreonom، Cefotaxime، Ceftazidime و Cephamycin و Carbapenem [7,8].

تتطلب البكتيريا مجموعة اخرى من انزيمات البيتاالاكتام التي تعود إلى الصنف D حسب تصنيف Ambler أطلق عليها انزيمات (Oxacillinase OXA ESBL)، وهي شديدة الفعالية ضد المضادات الحيوية الاوكساسيلين (Oxacillin)، والكلوكساسيلين (Cloxacillin)، كما عرفت بامتلاكها قدرًا كبيرًا من التغيرات في تسلسل الحومان الأمينية التي تمكنها من اجتياز الدفاعات المناعية لجسم المريض. تتوارد في جميع البيئات حيث تتوارد في التربة وتفضل سطح البيئات الرطبة ولها القدرة على التكيف مع كافة الظروف ومقاومة العديد من المضادات الحيوية التي تمكنها من البقاء على قيد الحياة [5].

[7]. نظراً لعدم وجود معلومات كافية عن مدى تكرار انزيمات البيتاالاكتاميز واسعة الطيف في عزلات جرثومة Enterobacteriaceae، والتي تمتلك القدرة على مقاومة الجيل الثالث من السيفالوسبورينات وخصوصاً كل من، Aztreonom، Cefotaxime، Ceftazidime و Cephamycin [6].

تعرف الحروق بأنها اي ضرر يصيب الجلد البشري نتيجة الانتقال الكبير للطاقة (الحراريه، الاشعاعيه، الكيمائيه، الكهربائيه) الى جسم الانسان [1]، كما تعتبر الحروق واحدة من أكثر الحالات المرضية اضراراً بالصحة النفسية والبدنية لما تسببه من أثار نفسية قاسية احياناً تتطلب خصوص المريض الى جلسات التأهيل الصحي النفسي بعد الحرق [2]. ان تجنب تلوث الحروق بين المرضى المصابين بالحروق تعتبر المشكلة الاكبر والاكثر خطورة بسبب تعطل حواجز الجلد من جهة Burn unit care (BCU) واعتبار وحدة رعاية الحروق (BCU) موقع وباي للجراثيم بسبب احتواه على احياء مجهرية عالية المقاومة للمضادات الحيوية من جهه اخرى [3].

تعتبر جرثومة *Pseudomonas aeruginosa* مسؤولة عن اعلى نسبة اصابة بين مرضى الحروق لكونها بكتيريا انتهازية ومتعددة التمثيل الغذائي، تمتلك العديد من عوامل الضراوة التي تمكنها من اجتياز الدفاعات المناعية لجسم المريض. تتوارد في جميع البيئات حيث تتوارد في التربة وتفضل سطح البيئات الرطبة ولها القدرة على التكيف مع كافة الظروف ومقاومة العديد من المضادات الحيوية التي تتمكنها من البقاء على قيد الحياة [5].

ان احد الاليات مهمة التي تمتلكها تلك البكتيريا هي انتاجها انزيمات البيتاالاكتاميز حيث ان هذه الانزيمات أصبحت شائعة جداً لقابليتها على الانتقال بسهولة بين الاجناس البكتيرية السالبة لصبغة غرام بواسطة عملية الاقتران (Conjugation)، كما تميز الكثير من الاجناس البكتيرية السالبة لصبغة غرام بامتلاكها انزيمات البيتاالاكتاميز الكروموسومية بصورة طبيعية التي تجعل مقاومة للعديد من المضادات الحيوية [6]، كما تعتبر بكتيريا الزوائف

1. المقدمة



2. المواد وطرائق العمل

1.2. جمع العينات

ملقط معقم بواقع خمسة اقراص للطبق الواحد، ثم حضنت الاطباق عند درجة (37) م° لمدة (18) ساعة. قرئت النتائج بقياس اقطار مناطق التثبيط بالملليمتر ومقارنتها مع الاقطار القياسية لهذه المضادات المحددة (CLSI,2012) [10]. لتحديد العزلات الحساسة والمقاومة حيث تم انتقاء (20) عزلة جرثومية والتي كانت مقاومة لاغلب المضادات الحيوية المستخدمة لاجراء الاختبارات الجزئية.

3.2. تفاعل انزيم البلمرة المتسلسل

تم استخلاص الـ DNA من (20) عزلة جرثومية P. aeruginosa من حسب الطقم المجهز شركة Geneaid (Yan et al. 2006) وباعتماد الغليان حسب طريقة (Yan et al. 2006) واستخدم الـ DNA المشفّر جين oxa-10 و oxa-1. حيث حضر خليط التفاعل Reaction mixture من المواد المدرجة في الجدول (1)

جدول (1): يوضح المواد المستخدمة في تحضير خليط التفاعل

Reaction mixture

الكمية μ	اسم المادة
25	pre mix
4	Primer
5	DNA
11	Disttle water
32.5	Total

. *Pseudomonas aeruginosa*

2.2. الزرع والتشخيص المختبري للعزلات الجرثومية

تم زرع العينات على الاوساط الزرعية) المغذي الصلب وواکار الدم الصلب والماکونکي الصلب ثم حُضنت الأطباق بدرجة (37) م° لمدة (24) ساعة ثم درست صفات المستعمرات النامية على الاوساط الزرعية وصفات الخلايا البكتيرية تحت المجهر الضوئي المركب بعد تصبيغها بصبغة كرام وملاحظة شكل وترتيب ولون الخلايا كما درست الصفات الكيموحيوية الاولية للعزلات النامية اكدت نتائج تلك الفحوصات باستخدام نظام (20) Api و vitak

*فحص الحساسية للمضادات الحيوانية

استخدمت طريقة الانتشار بالاقراص (Kirby, 1969) لاختبار حساسية جميع العزلات الجرثومية تجاه المضادات الحيوانية حيث زرعت انبيب الاختبار الحاوية على وسط المرق المغذي وحضنت عند درجة (37) م° لمدة (2-8) ساعة او لحين ظهور العكرة التي قورنت بانبوبة مكفرلاند القياسية (0.5) نشر خلايا العالق الجرثومي على وسط مولر- هنتون باستخدام ماسحة قطنية بشكل متجانس ثم تثبيت اقراص المضادات على سطح الطبق باستخدام

أدخلت الأنابيب بعناية في جهاز PCR لإجراء التفاعل وباستعمال البرنامج المناسب في التضاعف. وان ظروف التفاعل الخاصة بالبرايمر OXA-10 والبرايمر PER-1 التي تم توضيحها في الجدول (2) و(3) على التوالي.

جدول (2): يوضح ظروف التفاعل الخاصة بالبرايمر OXA-10

عدد الدورات	الوقت	درجة الحرارة (°C)	نوع الخطوة
31	5 min	94	initial denaturation
31	45 sec	94	Denaturation
31	45 sec	58	Annelaling
31	30 sec	72	Extension
31	7 min	72	Final extension
1		4	Hold

جدول (3): يوضح ظروف التفاعل الخاصة بالبرايمر PER-1

عدد الدورات	الوقت	درجة الحرارة (°C)	نوع الخطوة
31	5 min	94	initial denaturation
31	45sec	94	Denaturation
31	45 sec	45	Annealing
31	30 sec	72	Extension
31	7 min	72	Final extension
1		4	Hold

4. النتائج والمناقشة

له أعلى والتي بلغت (60%) مائلة في ذلك كل من المضاد الحيوي Amikacin (54.3) وكل من المضاد الحيوي Gentamycin و Ciprofloxacin حيث بلغت نسبة الحساسية لهم (51.4%) و(22.86%) على التوالي.

أظهرت نتائج الدراسة الحالية انه من (64) مسحة جلدية عزلة عائدية لجرثومة *P. aeruginosa* وبعد اجراء كافة الفحوصات الباليو كيميائية والتأكيدية لتلك العزلات تم اجراء فحص الحساسية لها تجاه (7) انواع من المضادات الحيوية الشائعة الاستعمال في مستشفى محافظة كربلاء.

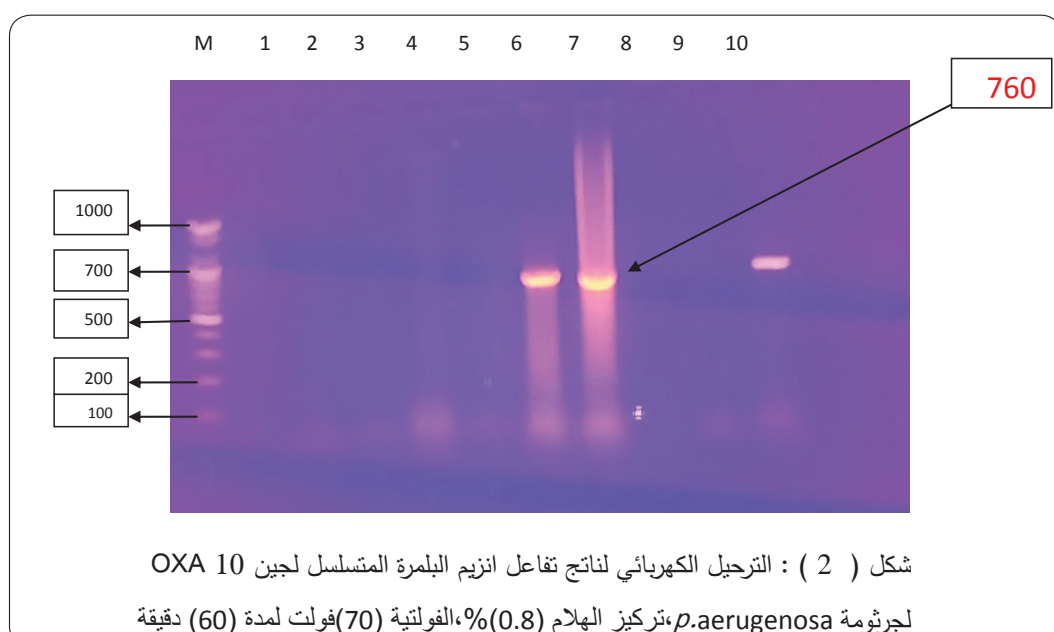
جاءت نتائج الدراسة الحالية مقاربة لما حصل عليه **Nisani** [11] وبلال [12] والذين توصلوا الى ان نسب المقاومة لمضاد سيفوتاكسيم كانت (86.5%) وسيفتازيديم حيث ظهر جلياً وكما مبين في الجدول (4) ان اغلب العزلات كانت مقاومة لاغلب المضادات الحيوية المستخدمة من المضادات ومنها مضادات β -lactam تزداد بزيادة إستهلاك هذه المضادات، وإن أحد أسباب هذه المقاومة يعود إلى إنتاج البكتيريا لعدد كبير من إنزيمات β -lactamase المحطمة لهذه المضادات نتيجة التعرض المستمر لفترات طويلة لتلك المضادات [13].

جدول (4): مقاومة بكتيريا الزوائف للمضادات الحيوية الشائعة الاستخدام لعلاج الحروق

المضاد الحيوي	حساسة (S)	النسبة %	مقاومة (R)	النسبة %
Imppenin	21	60	14	40
Ciprofloxacin	18	51.4	17	48.6
Meropenin	5	14.3	30	85.71
Amikacin	19	54.3	16	45.71
Cefatotaxime	4	11.4	31	88.6
Ceftazidime	5	14.3	30	85.7
Gentamycin	27	77.14	8	22.86
Oxacillin	10	28.6	25	71.4

نسبة تواجد الجين الاول (85%) من بين جميع العزلات اما

تعتبر مشكلة مقاومة *P.aeruginosa* للمضادات الجين 1-PER-1 فقد تواجد بنسبة (55%) من العزلات وكما موضح في الجدول (5). بينت العديد من الدراسات وجود المجموعة الجينية المنتجة لمضادات البيتا لاكتاميز في العزلات المستشفى الحسين التعليمي في كربلاء حيث اظهرت نتائج الدراسة الحالية ان عزلات تلك البكتيريا مقاومة لاغلب المضادات الحيوية شائعة الاستعمال وخصوصاً مضادات البيتا لاكتام. درست قابلية (20) (عزلة) كانت مقاومة في ايران وجد ان نسبة تواجد 1-PER و 10-OXA وصلت إلى (49.3 %) و (74.6%) على التوالي [14]. أما في دراسة أجريت في تركيا لوحظ إن نسبة جين 1-PER في دراسة أجريت في تركيا لوحظ إن نسبة جين 1-OXA-10 هي (11.23%) في العزلات البكتيرية والجين 10-OXA-10 بنسبة (17%) في تلك العزلات، في حين بينت في دراسة أخرى ارتفاع في نسب جين 1-PER و 10-OXA لتعمل بواسطة تفاعل انزيم البلمرة المتسلسل (Polymerase) باعتماد البوادئ الخاصة لكل من تلك الانزيمات حيث اظهرت ناتج تضخيم (chain reaction amplification) (760) زوج قاعدي للجين المسؤول عن حجم الجزيئي (760) زوج قاعدي للجين المسؤول عن انتزيم 10-OXA كما الموضح في الشكل (1) بينما كانت نتائج تضخيم جين المسؤول عن انتزيم 1-PER ظهرت في حزمة ذات حجم جزيئي (927) زوج قاعدي حيث كانت (فولت) لمدة 60 (دقيقة)



شكل (2) : التر Higgins الكهربائي لنتائج تفاعل انزيم البلمرة المتسلسل لجين 10 OXA، تركيز الهلام (0.8)، الفولتية (70) فولت لمدة (60) دقيقة لجرثوم *p.aerugenosa*

جدول (5): النسب المئوية لإنزيمات البيتا لاكتاميز واسعة الطيف في جرثومة *P. aeruginosa*

أنواع إنزيمات البيتا لاكتاميز		عدد العزلات	درجات الحرق
<i>bla</i> _{per-1}	<i>bla</i> _{oxa-10}		
1(%20)	3 (%60)	5	حرق البسيط
3(%50)	6(%100)	6	حرق المتوسط
(%77.8)7	8(%88.9)	9	حرق الشديد
10 (%55)	17 (%85)	20	المجموع

- M, Mayhall CG. Outbreak of vancomycin-resistant enterococci in a burn unit. *Infect Control Hosp Epidemiol*, 21 : 575-82, (2000).
- [5] Shaan L. Gellatly & Robert E.W. Hancock, *pseudomonas aeruginosa*: New insight into pathogenesis and host defences, (2013).
- [6] Livermore, D. M. and Woodford, N., "The blactamase threat in Enterobacteriaceae, *Pseudomonas* and *Acinetobacter*." *Trends Microbiol* 14: 413 - 420, (2006).
- [7] Naas T, Poirel L, Nordmann P. Minor extended-spectrum b-lactamases. *Clin Microbiol Infect*, 14:42-52, (2008).
- [8] Aktas Z, Poirel L, Salcioglu M, Ozcan PE, Midilli K, Bal C, et al. PER-1- and OXA-10-like b-lactamases in ceftazidime- resistant *Pseudomonas aeruginosa* isolates from intensive care unit patients in Istanbul, Turkey. *Clin Microbiol Infect*, 11:193-8, (2005).
- [9] Pai, H.; Wonkim, J.; Kim, J.; lee, J.; CHOE, K. W. and Gotoh, N. Carbapenem Resistance Mechanisms in *Pseudomonas aeruginosa* Clinical Isolates. *Antimicrobial Agents and Chemotherapy*. 45: 480 – 484, (2001).
- [10] CLSI (2012a). Performance Standards for Antimicrobial Disk Susceptibility Tests;

5. الاستنتاجات

كانت جميع عزلات جرثومه *Ps. aeruginosa* المعزوله من الحروق مقاومه لاغلب المضادات الحيويه شائعه الاستعمال في المستشفى الشئ الذي يشكل تحديا عالجيا كبيرا بالإضافة الى قدره تلك العزلات على انتاج انزيمات البيتا لاكتاميز واسعة الطيف التي تعرف عليها من خلال الكشف عن امتلاك تلك العزلات لكل من جين PER-1 و OXA-10 باستخدام تفاعل انزيم البلمرة PCR.

المصادر

- [1] Arena, G.; Cordova, S.; Gavin, A.; Palamara, P. and Rimajova, M. Injuryin Western Australia: A review of best practice, stakeholder activity, legislation, and recommendations. Perth: The University of Western Australia, (2002).
- [2] Shriner, G. Resident orientation manual, University of Texas, Medical Branch Blocker Burn Unit, (2000).
- [3] Roberts SA, Findlay R, Lang SD. Investigation of an outbreakof multi-drug resistant *Acinetobacter baumannii* in an intensive care burns unit. *J Hosp Infect*; 48 : 228- 32 , (2001).
- [4] Falk PS, Winnike J, Woodmansee C, Desai

Approved Standard—Eleventh Edition . 32
 (1).Clinical Laboratory standards institute
 .Wayne.PA, USA

[11] **Nisani** A. L. S. Isolation and Identification of *Pseudomonas aeruginosa* and determination of some Virulence Factors using specific Genetic Markers. College science.Tikrit university, (2011).

[12] **بلال ، اهام جواد كاظم.** التحرى عن إنزيمات البيتا لاكتاميز في العزلات السريرية في بكتيريا الزوائف الزنجارية في مدينة النجف . رسالة ماجستير. كلية التربية للبنات . جامعة الكوفة، (2010) .

[13] **Van Delden**, C. and Iglewski, B.H. Cell to cell signalling and *Pseudomonas aeruginosa* infections. Emerging Infectious Disease, 4(4): 1- 14, (1998) .

[14] Mirsalehian, A. Feizabadi, M. Nakhjavani, F.A. Jabalameli, F. Goli, H.& Kalantari, N. Detection of VEB-1, OXA-10 and PER-1 genotypes in extended-spectrum beta-lactamase-producing *Pseudomonas aeruginosa* strains isolated from burn patients. *Burns*.36: 70 - 4, (2010).

[15] Vahaboglu, H.Ozturk, R.Aygun, G. et.al. Wide-spread detection of PER-1 type extended-spectrum b-lactamases among nosocomial *Acinetobacter* and *Pseudomonas aeruginosa* isolates in Turkey: a nationwide multicenter study. *Antimicrob Agents Chemother* . 41: 2265 - 9, (1997)

[16] Shahcheraghi, F. Nikbin, V.S. Feizabadi, M.M. revalence of ESBLs genes among multidrug-resistant isolates of *Pseudomonas aeruginosa* isolated from patients in Tehran. *Microb Drug Resist* ;15:37-9, (2009).

تأثير درجة الحامضية pH على الصفات التركيبة و المورفولوجية لجسيمات ثانوي أوكسيد القصدير النانوية وإداتها كمحسس لبخار الإيثانول

نور جواد رضا ابو الحب

قسم الكيمياء، كلية العلوم، جامعة كربلاء، العراق

تاريخ الاستلام: 4 / Nov / 2015

تاريخ قبول النشر: 13 / Jan / 2016

Abstract

Tin dioxide (SnO_2) nano particles were successfully prepared by modified liquid phase deposition (LPD) and controlled by modulating the (pH) value. The structural and morphological properties of the particles were characterized by X-ray diffraction (XRD) and field emission scanning electron microscope (FE-SEM). (XRD) patterns show that all the prepared samples have high purity. (FE-SEM) micrographs show that the obtained materials are nano-size materials. It was found that the size and distribution of the particles depends on the (pH) value of the reaction media where the particle distribution improves with (pH) value increasing. The growth mechanism of (SnO_2) nano particles depended on the influence of the reactants was explained in this study. Moreover, studies on the performance of (SnO_2) nanoparticles as sensing material have shown high sensitivity toward (200) ppm of ethanol vapor up to (123%) at (400)°C.

Keywords

liquid phase deposition, Tin dioxide, gas sensor, ethanol vapor.



الخلاصة

تم تحضير جزيئات ثانوي أوكسيد القصدير (SnO_2) بطريقة ترسيب الحالة السائلة المعدلة (LPD) والسيطرة على حجمها بواسطة التحكم بحمضية الوسط. درست الخواص التركيبية والmorphولوجية للجسيمات عن طريق دراسة حيود الأشعة السينية (XRD) والمجهر الإلكتروني الماسح (FE-SEM). تظهر دراسات نمط حيود الأشعة السينية إن جميع العينات ذات درجة مقاومة عالية. تبين نتائج (FE-SEM) أن المواد التي تم الحصول عليها هي مواد نانوية الحجم. ان حجم وتوزيع الجسيمات يعتمد على حامضية الوسط حيث يتحسن توزيع الجسيمات بازدياد قيمة الرقم الميدروجيني (pH). استنتجت ميكانيكية تشكل جسيمات (SnO_2) النانوية على أساس فاعلية المواد الداخلة في التفاعل. علاوة على ذلك، فقد اجريت دراسات عن اداء جسيمات (SnO_2) المحضرة مختبريا للتحسس بوجود بخار الإيثانول وقد ابديت حساسية عالية تصل الى (123%) بدرجة حرارة 400°C .

الكلمات المفتاحية

طريقة ترسيب الحالة السائلة، ثانوي اوكسيد القصدير، متحسس الغاز، بخار الايثانول.

في الطور. وبصورة خاصة فان التلدين يجعل مهمة الحصول على اوكسيد القصدير صعبة بسبب درجه انصهار القصدير المنخفضة. في هذا البحث تم تحضير ثاني اوكسيد القصدير النانوية بطريقة الترسيب في الحالة السائلة (LPD) حيث تميز هذه الطريقة بالعديد من المزايا منها إجراءات التجربة بسيطة وهي غير مكلفة ولا تحتاج الى اجهزة معقدة، وكذلك انخفاض درجة حرارة التحضير بالإضافة لذلك فان إعداد اغشية ثاني اوكسيد القصدير الرقيقة باستخدام هذه الطريقة لا تحتاج الى تلدين. علاوة على ذلك فان من السهيات البارزة الاخرى لهذه العملية هو امكانية توظيف العوامل الكيميائية المساعدة للحصول على المورفولوجي المطلوب.

2. طريقة التحضير

لتحضير ثاني اوكسيد القصدير يتم التحكم بدرجة الحامضية التجريبية (pH) وكما سيوضح لاحقاً. تم تثبيت التركيز و زمن التفاعل و درجة حرارة المحيط على حد سواء لجميع العينات من أجل تحسين التركيب وللحصول على معلومات واضحة عن تشكيل ثاني اوكسيد القصدير. لتحضير (SnO_2) جهزت المواد الكيميائية المستخدمة من شركة سيكما للمواد الكيميائية بقاوة عالية (99.9%) بحيث استخدمت دون أي عمليات تنقية أخرى. قمت عملية التحضير على النحو التالي: اولاً تم تحضير محلول المائي لكل من المواد المستخدمة في التفاعل بمساعدة الحمام المائي للموجات فوق الصوتية (ultrasonic bath) وذلك لإذابة المواد كلية في الماء. يستخدم ml (10) من الماء المنزوع الأيونات (DI water) لتحضير محلول المائي لكلوريد القصدير المائي ($\text{SnC}_{14}\cdot 5\text{H}_2\text{O}$) بتركيز M (0.05). كذلك تم حل Trisodium citrate (0.05M) في ml (10) من الماء منزوع الأيونات

1. المقدمة
إهتم الباحثون بأكاسيد المعادن وذلك لكونها ذات مواصفات مميزة تؤهلها لتكون مواد متعددة الاستخدامات كدخولها في صناعة الخلايا الشمسية [1]، و استخدامها كأجزاء كهربائية شفافة [2]، وفي شاشات الكريستال السائل (LCD)، وبطاريات الليثيوم القابلة للشحن [3]، وكمحفزات ضوئية [4]، وفي تنقية المياه، وفي البصريات اللاخطية وأجهزة الاستشعار بالغازات [5] وغيرها. يعزى ذلك إلى انخفاض تكلفة التصنيع و سهولة الترسيب على انواع متعددة من الركائز. من بين أكاسيد المعادن يبرز ثاني اوكسيد القصدير (SnO_2) وهو من أكثر المواد المستخدمة في أجهزة الاستشعار بالغازات بسبب تركيبه البسيط، استقراره البيئي [6]، وكونه عديم الانحلالية بالماء، وان توصيليته الكهربائية ناجحة عن وجود عيوب بلورية نقطية مما يسهل التحكم بهذه الخاصية عن طريق التحكم بمستوى التشويب أو التشكيل. كذلك يتميز (SnO_2) بأنه من اشباه الموصلات نوع N وبفجوة طاقة مباشرة مقدارها eV (3.6). علاوة على ذلك فإنه يتمتع بخصائص مميزة أخرى منها الكهربائية، الضوئية، والمغناطيسية فضلاً عن انه مادة ذات ثباتية كيميائية و ميكانيكية عالية [7]. حديثاً تم توجيه المزيد من الاهتمام لتحضير مادة (SnO_2) بحجم النانو وبمساحة سطحية كبيرة وهو أمر ضروري لتحسين الأداء.

هناك العديد من الطرق الكيميائية لتحضير أكاسيد المعادن بمساحة سطحية كبيرة. من بين هذه الطرق طريقة الصول-جل (sol-gel) والتي تميز بالعديد من المزايا ولكن عملية تجميع اكاسيد المعادن المحضرة بهذه الطريقة صعبه لكونها تحتاج الى التلدين بعد التحضير لتحسين الاستقرار ونقاء المواد المحضرة [8]. بصورة عامة فان المعالجات الحرارية تؤدي إلى زيادة في متوسط حجم الحبيبات، وعدم تجانس انتشار وتوزيع الحبيبات، والتغيرات

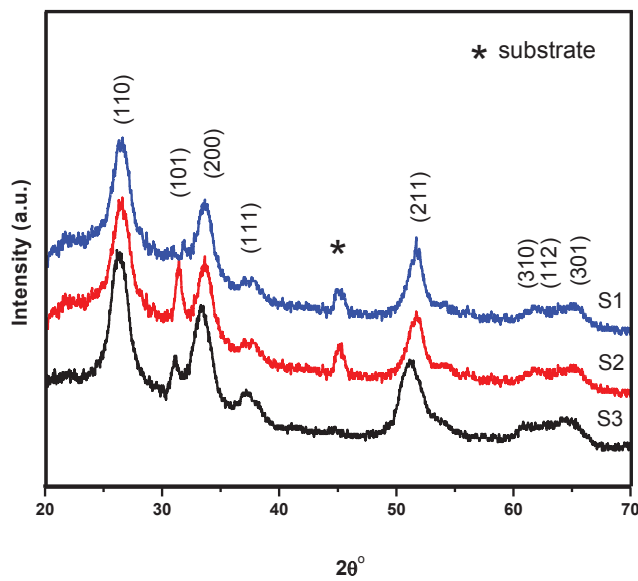
$$S(\%) = \frac{R_a - R_g}{R_g} \times 100\% \quad \dots \dots \dots \quad (1)$$

حيث S الحساسية ، R_a مقاومة المتحسس في الهواء الجاف و R_g مقاومته في بخار الايثانول.

لدراسة جودة وسرعة استجابة العينات للغاز يمر بخار الايثانول بتركيز معين ppm (200) في غرفة الاختبار لمدة 30 min ثم يمر الهواء الجاف النقي للمدة نفسها وتكرر العملية ثلاث مرات. ويع算ب وقت الاستجابة والاستعادة (response and recovery time) على اساس انه الوقت الذي يستغرقه المتحسس لتحقيق (90%) من التغير الكلي لمقاومته عند دخول الغاز وعند خروجه.

3. النتائج والمناقشة

تم تحضير ثاني اوكسيد القصدير و دراسة اعتداد حجم وتوزيع الاجسام النانوية على درجة الحامضية التجريبية (pH). يُظهر نمط (XRD) المبين في الشكل (1)



الشكل (1): أنماط حيود الأشعة السينية من العينات S_1 ، S_2 ، S_3 .
ان جميع العينات المحضره هي ثاني اوكسيد القصدير النقى SnO_2 . يوضح الشكل أيضاً أقصى شدة عند الزاوية

للحصول على تركيز M (0.05). يضاف محلول المائي من $Na_3C_6H_5O_7$ Trisodium citrate بشكل نقاط وتقاس حامضية الوسط حتى يتم الحصول على الحامضية المطلوبة. حضرت ثلاثة عينات الأولى (S_1) ضمن وسط حامضي $pH=5$ والعينة (S_2) ، $pH=8$ اما العينة S_3 حضرت ضمن وسط قاعدي $pH=11$. تليه إضافة M (0.1) من بورهيدريد الصوديوم $NaBH_4$ إلى محلول السابق ثم خلطت الماء مع التحريك المغناطيسي القوي magnetic stirrer . ترك العينات في المحاليل بدرجة حرارة الغرفة لمدة (3) ساعات. وبعدها تزال وتغسل بالماء المنزوع الايونات وتجفف.

تم اختبار التركيب البلوري لثاني اوكسيد القصدير باستخدام تقنية حيود الأشعة السينية . (XRD) استخدم في هذا العمل جهاز Bruker D8 Discover باستخدام إشعاع النحاس ($\lambda = 1.5406 \text{ \AA}$) . وقد تم التحقيق في الأشكال المورفولوجية لعينات ثاني اوكسيد القصدير باستخدام المجهر الإلكتروني الماسح (FESEM) (SUPRA 55VP) أجريت جميع القياسات في درجة حرارة الغرفة .

تم قياس خصائص التحسس بالغاز بثبوت الضغط . اولاً سُخنت جميع العينات بدرجة حرارة 230°C قبل التشغيل لمدة (30) دقيقة . درست مقاومة المتحسسات للحصول على معلومات عن درجة حرارة التشغيل ، الحساسية و زمن الاستجابة . كررت جميع القياسات عدة مرات لضمان صحة النتائج . لإيجاد درجة حرارة التشغيل يمرر بخار الايثانول بتركيز ثابت على (200) ppm و تغير درجة الحرارة من 230°C إلى 500°C بفواصل حراري 10°C . ثم تقاس مقاومة المتحسس عند درجات الحرارة المتغيرة بوجود بخار الايثانول مرة و أخرى بوجود الهواء النقي الجاف . تم اعتداد المعادلة التالية لحساب حساسية المتحسس

قمم براك والتي تدل على تحسن تبلور المادة. على انه الاتجاه المفضل لهذا المستوى (The preferred orientation). كذلك تظهر في الشكل (1) عند مقارنة نتائج أطيف الأشعة السينية لجميع العينات ان هناك قمم قد انخفضت وتلاشت تدريجياً مثل القمة المشار اليها بالرمز (*). عند الزاوية (45°) والتي تنسب الى الركيزة وقد ظهرت بسبب عدم تغطية الركيزة ببادرة العينة بالكامل حيث تعود هذه القمة الى Si (220). في حين ان قمم اخرى ارتفعت مثل القمتين (26.5 و 33.5 = 2θ). بازدياد الرقم المهدروجيني اذ ان انخفاض درجة حامضية الوسط ساعده على ارتفاع قمم الحيود . من الجدول (1) أدناه:

جدول (1): يبين نتائج الاشعة السينية حيث يتضمن قيم زوايا الانعكاس والمسافات البينية بين السطوح العاكسة ومعاملات ميلر والحجم البلوري للعينات S1,S2,S3

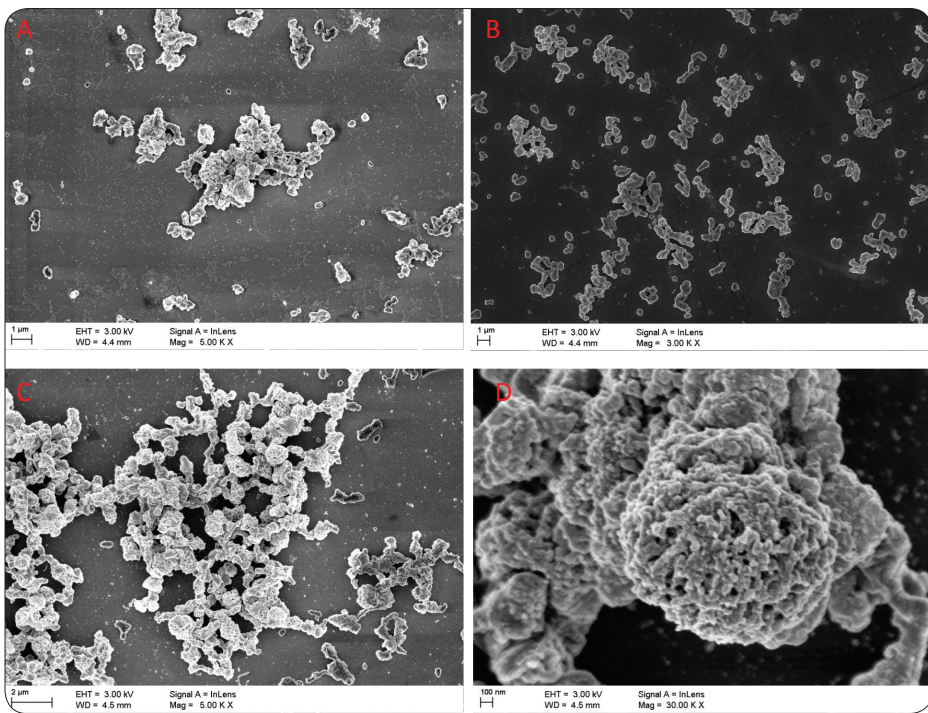
Sample	2θ _{exp}	d _{exp.}	.d _{stan}	(hkl)	Crystallite size (nm)
S1	26.47	3.36	3.35	110	6.6
S2	26.45	3.37	3.35	110	5.8
S3	26.34	3.39	3.35	110	4.5

نجد ان الحجم البلوري (Crystal Size) قد انكمش يتناسب مع قانون براك حيث (d) عكسياً مع (θ) يتناسب مع قانون براك حيث يتناسب (d) عكسياً مع (θ) وكما في المعادلة التالية:

$$S(\%) = \frac{R_a - R_g}{R_g} \times 100\% \quad \dots \dots \dots \quad (2)$$

بعضها نلاحظ ان المسافات البينية المقاسة عملياً (d_{exp}) للعينتين S1 و S2 مقاربة للقيم النظرية (d_{stan}) ، في حين ان العينه S3 ذات مسافات بينية أكبر مما هو عليه في القيم النظرية ويمكن ان تعزى هذه الزيادة الى وجود إجهاد شد على البلورة مما ادى لحصول توتر (stress) وهذا ما يفسر انحراف القمم باتجاه تناقص (2θ) وخاصة القمم الموجودة عند قيم (2θ) العالية.

وكمثال على ذلك القمة ذات معاملات ميلر (211) حيث انحرفت من (2θ= 51.2) الى (2θ= 51.7) . وهذا



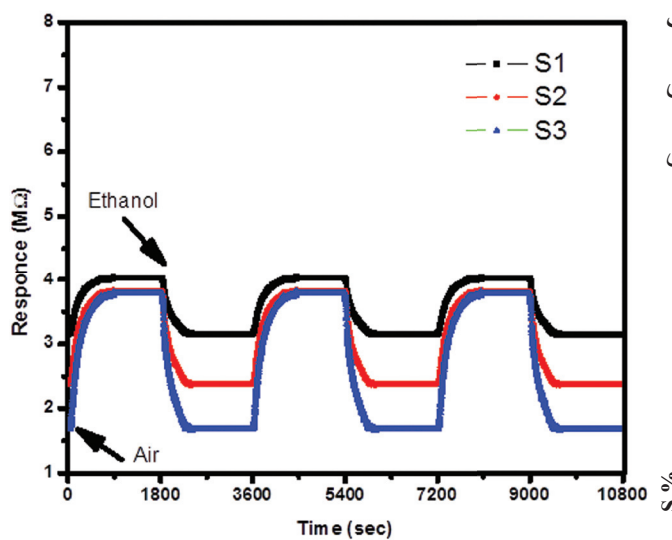
الشكل (2): صور FE-SEM لعينات SnO_2 , (A), S1 (B), S2 (C), S3 (D). تكبير عالي الدقة للعينة S3.

ان العينات ذات شكل (nano-coral). لقد وجد محلول $\text{Na}_3\text{C}_6\text{H}_5\text{O}_7$ Trisodium citrate المائي يطلق أيون الهيدروكسيد فتتم عملية التحكم بالحامضية حيث يضاف للتفاعل حتى يتم الحصول على الحامضية المطلوبة. نتيجة تغير الحامضية فان سرعة التفاعل تتغير حيث ان سرعة تفكك مادة NaBH_4 في الماء تعتمد على درجة حامضية الوسط حيث يكون التفاعل سريعا اذا كان الوسط حامضياً ويكون بطيء اذا كان قاعدياً. عندما يتفكك NaBH_4 في الماء ليطلق الهيدروجين الذي بدوره يخترز الاوكسجين الموجود. تعتمد مدة التفاعل على عدة عوامل منها درجة الحامضية و درجة الحرارة فمثلا التحلل الكامل لمادة NaBH_4 في الميثanol يمكن أن يستغرق ما يقارب (90) دقيقة في 20°C . ورغم ان زمن مكوث العينة في المحلول قد ثبت الا ان التفاعل قد يتوقف ذاتياً بعد مدة وحسب العوامل سالفة الذكر. لذا فان التفاعل في حالة العينة S1 يكون سريعا نظراً لكون الوسط

انه يمكن التحكم بحجم جسيمات ثاني أوكسيد القصدير النانوية ولوحظت العلاقة بين قيمة الرقم الهيدروجيني وحجم الجسيمات. يتضح من هذه الصور ان توزيع العينة التي تم الحصول عليها بارقام هيدروجينية منخفضة (وسط حامضي) يكون شحيحاً وغير متجانس الشكل (2A)، في حين ان الجزيئات التي تشكلت عندما اصبحت قيمة الرقم الهيدروجيني للمحلول أعلى من (7) اي انه اصبح وسطاً قاعدياً كانت اكثر تجانساً. يمكن أن نرى أن حجم الجسيمات قد تناقص مع زيادة قيمة الرقم الهيدروجيني. وهكذا، يمكن التحكم بحجم الجسيمات بتعديل قيمة الرقم الهيدروجيني للمحلول. يمكن تفسير ذلك من خلال معرفة ميكانيكية النمو، حيث إن أحد المواد المستخدمة في التفاعل تعمل على السيطرة على حامضية الوسط والآخر يتحكم بسرعة التفاعل. ان



إلى الحد الأقصى ومن ثم الإنخفاض مع الإستمرار بزيادة درجة حرارة التشغيل. أعلى حساسية تبديها العينة S1 مقدارها (29 %) عند درجة حرارة 450°C أما العينة S2 فكانت أعلى حساسية لها (59%) بدرجة حرارة 430°C في حين العينة S3 بلغت حساسيتها القصوى (123%) بدرجة حرارة تشغيل مقدارها 400°C . من هذه النتائج يتبيّن أن العينة S3 تتميز بأفضل أداء وأعلى حساسية وأقل درجة حرارة تشغيل. يمكن أن يعزى ذلك للتركيب المتجانس والسامية العالية لهذه العينة. ان تغير استجابة العينات عند مرور الهواء ثم مرور 200 ppm من بخار الايثانول إلى غرفة الاختبارات خلال الزمن يوضح في الشكل (4).



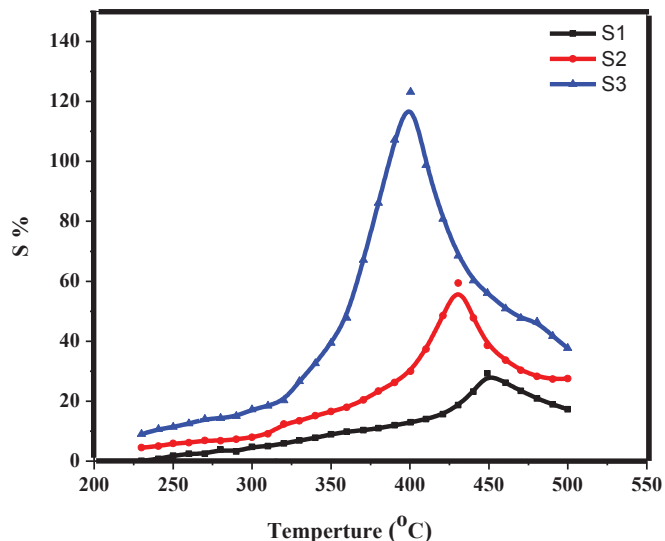
الشكل (4): تغيير مقاومة العينات S1,S2,S3 بدلالة وحدة الزمن في الهواء عند مرور 200 ppm من بخار الايثانول

نلاحظ أن جميع العينات ذات استقرارية عالية حيث

تزداد مقاومة العينات بوجود الهواء وتنخفض بمرور بخار الايثانول. جميع النتائج أدرجت في الجدول (2).

حامضي وهذا كانت العينة ذات تركيب أقل نقاوة وتوزيع منخفض كما هو واضح من نتائج طيف الأشعة السينية شكل (1) وصور المجهر الإلكتروني شكل (2). في حين عند ارتفاع قيمة الرقم الهيدروجيني ولكون التفاعل بطيء فيكون الوقت كافي لتنمو العينة بشكل منتظم وتصبح أكثر تجانساً وبالتالي فإن كل جسيمة ستنمو بشكل متجانس وتحتاج موقعاً على الركيزة كما في الشكل (2). بازدياد انتظام الترتيب الذري الداخلي فإن الأشعة السينية المستطرارة من المستويات البلورية تتدخل تداخل بناء مما يؤدي إلى ارتفاع قمم براك للعينة S3 وكما هو واضح في الشكل (1).

ان درجة حرارة التشغيل هي سمة أساسية لأجهزة التحسس بالغاز والتي لها تأثير كبير على استجابة جهاز التحسس. يبيّن الشكل (3) منحنيات استجابة العينات للتغير (ppm) 200 من بخار الايثانول ضمن مدى حراري من درجة حرارة 230°C إلى 500°C مع فاصل حراري بمقدار 10°C .



الشكل (3): حساسية ثاني أوكسيد القصدير (العينات S1,S2,S3) لبخار الايثانول بدلالة درجة حرارة التشغيل عند التركيز 200 ppm . تبدي جميع العينات زيادة في الحساسية بإزدياد درجة الحرارة والوصول

جدول (2): يوضح درجة حرارة التشغيل والحساسية وزمن الاستجابة للعينات S1, S2, S3

Sample	Operating Temperature ° (C)	%S	Response Time (min)	Recovery Time (min)
S1	450	29	4.2	7.1
S2	430	59	7.2	5.7
S3	400	123	6.4	5.9

5. المصادر

- [1] J. You, C. C. Chen, L. Dou, S. Murase, H. S. Duan, S. A. Hawks, T. Xu, H. J. Son, L. Yu, and G. Li, *Advanced Materials* 24,5267 (2012).
- [2] K. Banger, Y. Yamashita, K. Mori, R. Peterson, T. Leedham, J. Rickard, and H. Sirringhaus, *Nature materials* 10.45 (2011)
- [3] H. B. Wu, J. S. Chen, H. H. Hng, and X. W. D. Lou, *Nanoscale* 4, 2526 (2012).
- [4] R. D. Smith, M. S. Prévot, R. D. Fagan, Z. Zhang, P. A. Sedach, M. K. J. Siu, S. Trudel, and C. P. Berlinguette, *Science* 340,60 (2013).
- [5] X. Lai, J. Li, B. A .Korgel, Z. Dong, Z. Li, F. Su, J. Du, and D. Wang, *Angewandte Chemie* 123, 2790 (2011).
- [6] Y. Shimizu, in *Encyclopedia of Applied Electrochemistry*, Springer, (2014), p. (1974).
- [7] X. Xia, S. Li, X. Wang, J. Liu, Q. Wei, and X. Zhang, *Journal of Materials Science* 48, 3378 (2013).
- [8] C. J. Brinker and G. W. Scherer, *Sol-gel science: the physics and chemistry of sol-gel processing*, Academic press, (2013).
- [9] Y. Chen, L. Nie, X. Xue, Y. Wang, and T. Wang, *Applied physics letters* 88, 83105 (2006).
- [10] Z. Ying, Q. Wan, Z. Song, and S. Feng, *Nanotechnology* 15, 1682 (2004).

بالمقارنة مع الدراسات السابقة فان نتائج هذا البحث تعد واعدة حيث حصل احد الباحثين على اعلى حساسية مقدارها (50%) عند مرور 200 ppm من بخار الايثانول على عينات (SnO₂ nanorods) بدرجة حرارة تشغيل 300°C [9]. وفي بحث اخر تناول دراسة إداء (SnO₂ nanowhiskers) كمتحسس لغاز الايثانول بدرجة حرارة 300°C (300) حيث تم الحصول على أعلى حساسية مقدارها (23%) عند مرور الغاز بتركيز 50 ppm [10].

4. الاستنتاج

تم تحضير SnO₂ بإستخدام طريقة ترسيب الحالة السائلة (LPD)، ودراسة تأثير حامضية الوسط على خصائصه التركيبية مثل التشكل، والتوزيع، وبالتالي أثر ذلك على الأداء كمتحسس لبخار الايثانول. لقد بينت النتائج ان توزيع وإنشار الجسيمات يتحسن بإزدياد الرقم الهيدروجيني. وجد أن أعلى حساسية هي (123%) حصل عليها باستخدام العينة المحضرة في وسط قاعدي (pH=11). بالمقارنة مع باقي العينات المحضرة في أوساط ذات قيمة هيدروجينية أقل فان هذه العينة تعمل بدرجة حرارة تشغيل واطئة. تعزى جودة اداء هذه العينة إلى المسامية العالية للعينة بالإضافة إلى المساحة السطحية الكبيرة باعتبارها عاملأً أساسياً لتعزيز الأداء.

جامعة

AL
AHIR

References

- [1] N. A. Dawood, N. M .Ali "Na-Open Sets and Na-Regularity in Topological Spaces", International J.of Advanced Scientific and Technical Research, 5 (3), pp.87- 96, (2015) .
- [2] J. Dontchev, "Contra-Continuous Functions and Strongly S-Closed Spaces", Internet. J. Math.Sci., 19(2), pp.303-310, (1996).
- [3] S. Jafari and T.Noiri, "Contra- α -Continuous Mappings Between Topological Spaces", Iranian .Int. J. Sci., 2,pp. 153-167, (2001).
- [4] S.Jafari and T.Noiri, "On Contra-Pre-continuous Mappings", Bull. Malaysian Math. Soc., 25, pp.115-128, (2002).
- [5] M. Caldas and S.Jafari, "Some Properties of Contra- β -Continuous Functions", Mem .Fac. Sci. Koch. Univ., 22, pp.19-28, (2001).
- [6] J .Dontchev ",survey on preopen sets ", Japan ,August , pp.1-8, (1998).
- [7] E.Ekici, "On Contra- πg -Continuous Functions", Chaos, Solutions and Fractals, 35, pp.71-81, (2008).
- [8] A .A. Nasef, "Some Properties of Contra- γ - Continuous Functions", Chaos, Solution and Fractals, 24, pp.471-477, (2005).
- [9] M.S.Noorani , "Some Properties of Contra-b- Continuous and Almost Contra-b-Continuous ", European 2(2), pp. 213-220,(2009).
- [10] O. Njastad,"On Some Classes of Nearly Open Sets", Pacific J. Math., 15(3), pp.961- 970, (1965) .
- [11] N.M. Ali "On Some Types of Weakly Open Sets", M.Sc. Thesis University of Baghdad, (2004).
- [12] M. Stone, "Applications of Theory of Boolean Rings to the General Topology", Trans .Amer. Math. Soc., 41, pp. 375-481, (1937).
- [13] N. V. Valrico , "H-Closed Topological Spaces", Amer .Math .Soc .Trans. 78 (2) pp.103-118, (1968).
- [14] A .S .Mash hour, I.A. Hasanein, S .N .El- Deep, "d-Continuous and α -Open Mappings", Acta -Math .Hung, 41, pp.213-218, (1983).
- [15] T. Noiri , "Strong Form of Continuity in Topological Spaces", Rend.Circ.Math. Palermo, pp.107-113,(1986).
- [16] T. Noiri, "On Almost Strongly θ -Continuous Functions", Indian J. Pure Appl. Math. , pp.1-8, (1984).
- [17] R. Stump, "The Algebra of Bounded Continuous Functions into aNonarchimedean Field", Pacific J. Math., 50 , pp.169-185, (1974).
- [18] J.Dontchev," Survey On Preopen Sets", The Proceedings of the Yatsushiro Topological conference,pp.1-18,(1998).
- [19] Willard S., "General Topology", Addison Wesley,



Proof : Obvious.

4.5. Corollary

Let $f: A \rightarrow \prod X_\lambda$ be a contra N_α -continuous, where $\prod X_\lambda$ is the family of topological spaces $\{X_\lambda : \lambda \in I\}$, then $f_\lambda : A \rightarrow X_\lambda$ is also contra- N_α -continuous for each $\lambda \in I$.

Proof: Let $f_\lambda = \rho_\lambda \circ f$, where ρ_λ is a projection mapping, also it is continuous for all $\lambda \in I$, thus by (Th.(4.4)(1)) f_λ is contra- N_α -continuous, for each $\lambda \in I$.

4.6. Theorem

Let $f: X \rightarrow Y$ be a mapping and $g: X \rightarrow X \times Y$ be the graph of f defined by $g(x) = (x, f(x))$, for every $x \in X$. If g is contra- N_α -continuous, then f is contra- N_α -continuous.

Proof: It is similar to the proof of the Theorem (3.14) and hence omitted.

4.7. Theorem

Let $f: X \rightarrow Y$, $g: X \rightarrow Y$ be contra- N_α -continuous mappings, where Y is Ultra- T_2 space.

Let $A = \{(a, b) : a, b \in X \text{ such that } f(a) = g(b)\}$, then A is N_α -closed set.

Proof: We shall prove $\overset{\circ}{A}$ is N_α -open set, let $(a, b) \notin A$, thus $(a, b) \in \overset{\circ}{A}$, this means that $f(a) \neq g(b)$ in Y , since Y is Ultra- T_2 spaces, thus there exist clopen sets G_1, G_2 such that $f(a) \in G_1$ and $g(b) \in G_2$ and $G_1 \cap G_2 = \emptyset$, since f, g are contra- N_α -continuous mappings, then $f^{-1}(G_1), g^{-1}(G_2)$ are N_α -clopen sets, hence by (Th.2.7) $f^{-1}(G_1) \times g^{-1}(G_2)$ is N_α -clopen set in $X \times X$, also $(a, b) \in f^{-1}(G_1) \times g^{-1}(G_2) \subseteq X \times X / A$, it follows A is N_α -closed set in $X \times X$.

Now, we shall give some applications about contra N_α -continuous mappings.

4.8. Theorem

Let $f: X_1 \rightarrow X_2$ be a bijective contra- N_α -continuous mapping, where, X is locally indiscrete, N_α^{**} -regular space. Then the inverse image of T_2 -space under f is also T_2 -space.

Proof : Let $x_1 \neq x_2$ in X_1 , since f is injective, then $f(x_1) \neq f(x_2)$ in X_2 , thus there exist G_1, G_2 open sets contain $f(x_1), f(x_2)$ in X_2 resp. , and $G_1 \cap G_2 = \emptyset$, thus $f^{-1}(G_1), f^{-1}(G_2)$ are N_α -closed sets in X_1 (since f is contra- N_α -continuous), since X_1 is N_α^{**} -regular space , then $f^{-1}(G_1), f^{-1}(G_2)$ are closed sets (see proposition (2.16)), since X_1 is locally indiscrete , then $f^{-1}(G_1), f^{-1}(G_2)$ are open sets and contain x_1, x_2 resp. ,also, $f^{-1}(G_1) \cap f^{-1}(G_2) = \emptyset = f^{-1}(G_1 \cap G_2)$ thus X_1 is T_2 -space.

4.9. Theorem

Let $f: X \rightarrow Y$ be an open bijective, contra N_α continuous ,where X is N_α^{**} - regular locally indiscrete space . If X is regular space , then Y is, also, regular-space .

Proof : Let $y \notin F$ where F is closed in Y since f is bijective , then there exists x such that $f(x) = y$,and $x = f^{-1}(y) \notin f^{-1}(F)$ also, $f^{-1}(F)$ is N_α -open ,so it is an open(see proposition2.16 since X is locally indiscrete space ,then $f^{-1}(F)$ is closed ,since X is regular space , then there exist W_1, W_2 open disjoint sets such that $x \in W_1$ and $f^{-1}(F) \subseteq W_2$, and $W_1 \cap W_2 = \emptyset$, thus $y = f(x) \in f(W_1)$, $f^{-1}(F) = F \subseteq f(W_2)$, where $f(W_1), f(W_2)$ are open sets (since f is an open mapping), also $f(W_1) \cap f(W_2) = f(W_1 \cap W_2) = f(\emptyset) = \emptyset$. Thus Y is regular space .

(3) If g is N_{α}^{**} -continuous, then f is N_{α}^{**} -continuous.

Proof ; We shall choose (2) and the proof of other statements by the same way. Let B be N_{α} -open set in Y , since X is N_{α} -open set in every topological space by (Remark (2.5)) then by (Theorem (2.7)) $X \times B$ is N_{α} -open set in $X \times Y$, thus $g^{-1}(X \times B)$ is N_{α} -open set in X . But $g^{-1}(X \times B) = f^{-1}(B)$. Thus f is N_{α}^* -continuous.

3.15. Proposition

Let (X_1, τ_1) , (X_2, τ_2) and (X_3, τ_3) be topological spaces and $f: X_1 \rightarrow X_2$, $g: X_2 \rightarrow X_3$ be mappings, then;

(1) If f is N_{α}^* -continuous, g is N_{α} -continuous, then $g \circ f$ is N_{α} -continuous.

(2) If f is N_{α}^* -continuous, g is N_{α}^* -continuous, then $g \circ f$ is N_{α}^* -continuous.

(3) If f is N_{α}^{**} -continuous and g is N_{α}^* -continuous, then $g \circ f$ is N_{α}^{**} -continuous.

(4) If f is N_{α}^{**} -continuous and g is N_{α} -continuous, then $g \circ f$ is continuous.

(5) If f is N_{α} -continuous and g is N_{α}^{**} -continuous, then $g \circ f$ is N_{α}^* -continuous.

(6) If f is N_{α} -continuous and g is continuous, then $g \circ f$ is N_{α} -continuous.

Proof; Obvious.

4. Contra N_{α} -Continuity

In this section, the concept of N_{α} -open set will be used to define new class of N_{α} -continuity called contra- N_{α} -continuous mapping. Some theorems will be proved.

4.1. Definition

Let $f: X_1 \rightarrow X_2$ be a mapping, then f is called contra- N_{α} -continuous if for every an open set A in X_2 , then $f^{-1}(A)$ is N_{α} -closed set in X_1 .

4.2. Theorem

Let $f: X_1 \rightarrow X_2$ be a mapping, The statements are equivalent:

(a) f is contra- N_{α} -continuous.

(b) $f^{-1}(A)$ is N_{α} -open set in X_1 , for every closed set A in X_2 .

Proof: Obvious.

4.3. Theorem

Let (X_1, τ_1) , (X_2, τ_2) be topological spaces, and $f: X_1 \rightarrow X_2$ be contra- N_{α} -continuous, then:

(i) $f|_{A_1}, f|_{A_2}$ are also, contra- N_{α} -continuous, such that $X_1 = A_1 \cup A_2$, where A_1, A_2 are disjoint clopen sets in X_1 .

(ii) $f|_{A \cup A} \rightarrow X_2$ is also, contra- N_{α} -continuous, such that A is N_{α} -open set in X_1 .

(iii) $f_A: f^{-1}(A) \rightarrow A$ is also, contra- N_{α} -continuous, where A is closed set in X_2 .

Proof: We shall choose (iii). Let B be closed set in A , since A is closed in X_2 thus B is closed in X_2 , since, $f: X_1 \rightarrow X_2$ is contra- N_{α} -continuous then $f^{-1}(B)$ is N_{α} -open set in X_1 , since $f^{-1}(B) \subseteq f^{-1}(A) \subseteq X_1$ thus, by(proposition(2.11(1))), we get $f^{-1}(B)$ is N_{α} -open set in $f^{-1}(A)$.

The proof of others it follows by using proposition (2.11).

4.4. Theorem

Let $f: X_1 \rightarrow X_2$, $g: X_2 \rightarrow X_3$ be mappings. Then:

(1) If f is contra- N_{α} -continuous and g is continuous, then $g \circ f$ is contra- N_{α} -continuous.

(2) If f is N_{α}^* -continuous and g is contra- N_{α} -continuous, then $g \circ f$ is contra- N_{α} -continuous.



continuous, then, $f^{-1}(B_2)$ is N_α -open in X_1 , also we have $f^{-1}(B_2) \cap F$ is N_α -open set in X_1 (see(2.8(2))), so it is N_α -open set in F (see proposition_{(2.11)(1)}). But, $(f/F(B_2))^{-1} = f^{-1}(B_2) \cap F$, thus the proof is complete.

3.11. Proposition

Let $(X_1, \tau_1), (X_2, \tau_2)$ be two topological spaces, and $f: (X_1, \tau_1) \rightarrow (X_2, \tau_2)$ be a mapping, where A_1 and A_2 be subsets in X_1 , such that $X_1 = A_1 \cup A_2$, then:

- (1) f is N_α (N_α^* -continuous), such that $f|_{A_1}, f|_{A_2}$ are N_α (N_α^* -continuous) mappings, where A_1 and A_2 are disjoint clopen subsets in X_1 .
- (2) f is N_α^{**} -continuous such that $f|_{A_1}, f|_{A_2}$ are N_α^{**} -continuous mappings, where A_1 and A_2 are disjoint open subsets in X_1 .

proof : we shall prove only the state of N_α continuous. Suppose B is an open set in X_2 , thus, $f^{-1}(B) = (f|_{A_1})^{-1}(B) \cup (f|_{A_2})^{-1}(B)$, but $f|_{A_1}, f|_{A_2}$ are N_α -continuous this implies, $(f|_{A_1})^{-1}(B), (f|_{A_2})^{-1}(B)$ are N_α -open subsets in A_1, A_2 resp., since A_1 and A_2 are clopen sets in X_1 then by (proposition (2.11)(2)) we get, $(f|_{A_1})^{-1}(B), (f|_{A_2})^{-1}(B)$ are N_α -open sets in X_1 , also $(f|_A)^{-1}(B) \cup (f|_{A_2})^{-1}(B)$ is N_α -open set in X_1 this, implies $f^{-1}(B)$ is N_α -open set in X_1 .

3.12. Proposition

Let $(X_1, \tau_1), (X_2, \tau_2)$ be topological spaces, let $f: X_1 \rightarrow X_2$, and $f_A: f^{-1}(A) \rightarrow A$ which defined by, $f_A(x) = f(x)$ be mappings. We have the following:

- (1) If f is N_α -continuous, then f_A is also, N_α -continuous, where A is an open set in X_2
- (2) If f is N_α^* (N_α^{**} -continuous), then f_A is also,

N_α^* (N_α^{**} continuous), where A is clopen set in X_2 .

Proof: We choose(1) (2)

,and the other case is similarly. Suppose B is open set in A , since A is open in X_2 , then B is open in X_2 , since f is N_α -continuous thus $f^{-1}(B)$ is N_α -open set in X_1 , since $f^{-1}(B) \subseteq f^{-1}(A) \subseteq X_1$, then by (proposition(2.11(1))), we get $f^{-1}(B)$ is N_α -open set in $f^{-1}(A)$.

The proof of (2) by using proposition(2.11(2)).

3.13. Proposition

Let $(X_1, \tau_1), (X_2, \tau_2)$ and (X_3, τ_3) be topological spaces and $f: (X_1, \tau_1) \rightarrow (X_2, \tau_2)$ be a mapping then :

- (i) If $f: X_1 \rightarrow X_2$ is N_α -continuous and $X_2 \subseteq X_3$, then $f: X_1 \rightarrow X_3$ is also N_α -continuous.

- (ii) If $f: X_1 \rightarrow X_2$ is N_α^* (N_α^{**} -continuous), and $X_2 \subseteq X_3$, then $f: X_1 \rightarrow X_3$ is also N_α^* (N_α^{**} -continuous).

Proof: we shall prove only one case, choose(2). Let A be N_α -open set in X_3 , thus A is N_α -open set in X_2 , see (proposition(2.11)(1)), thus, $f^{-1}(A)$ is N_α -open (open) set in X_1 resp. (since $f: X_1 \rightarrow X_2$ is N_α^* (N_α^{**} -continuous)).

3.14. Theorem

If $f: X \rightarrow Y$ is a mapping and $g: X \rightarrow X \times Y$ is the graph mapping of f defined by $g(x) = (x, f(x))$ for every $x \in X$. Then

- (1) If g is N_α -continuous, then f is N_α -continuous.
- (2) If g is N_α^* -continuous, then f is N_α^* -continuous.

types of continuity mapping such as: perfectly continuous, θ -continuous, and regular closed continuous.

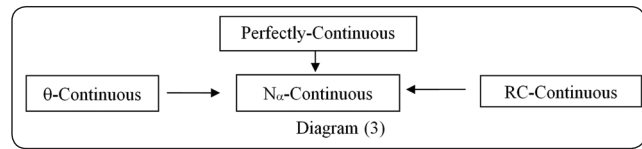


Diagram (3)

The perfectly continuous (θ -continuous-regular closed continuous resp.) is N_α -continuous.

Proof; Follows by Remarks (2.6) , Definition (2.1).

3.7. Remark

In proposition (3.6), we observe that its converse need not be true in general. See the following examples:

3.8. Examples

(1) Let (X, τ_1) , (X, τ_2) be topological spaces, where $X = \{1,2,3,4\}$, $\tau_1 = \{X, \{3\}, \{1,4\}, \{1,3,4\}, \emptyset\}$, $\tau_2 = \{X, \{1\}, \emptyset\}$, and $f : X \rightarrow X$ such that $f(1) = f(2) = f(4) = 1$, $f(3) = 3$.

Thus f is N_α -continuous but it is neither perfectly continuous nor θ -continuous ,since $A = \{1\}$ is an open set but $f^{-1}(A) = \{1,2,4\}$ is neither clopen set nor θ -open set.

(2) Let (X, τ_1) , (X, τ_2) be topological spaces, where, $X_1 = \{1,2,3,4,5\}$, $X_2 = \{1,2,3,4\}$ $\tau_1 = \{X_1, \{1\}, \{2,3\}, \{1,2,3\}, \emptyset\}$, $\tau_2 = \{X_2, \{2\}, \emptyset\}$.

Define $f : X_1 \rightarrow X_2$ such that $f(1) = f(2) = f(4) = f(5) = 2$ and $f(3) = 4$. Thus f is N_α -continuous which is not regular closed-continuous mapping ,since $A = \{2\}$ is an open set but $f^{-1}(A) = \{1,2,4,5\}$ which is not regular-closed set.

Now we have the following Diagram:

3.9. Definition

Let (X_1, τ_1) , (X_2, τ_2) be topological spaces, and $f : X_1 \rightarrow X_2$ be a mapping, then f is called

- (1) N_α^* -continuous if $f^{-1}(A)$ is N_α -open set in X_1 for every N_α -open set A in X_2 .
- (2) N_α^{**} -continuous if $f^{-1}(A)$ is open set in X_1 ,for every N_α -open set in X_2

The concepts of N_α^* -continuous and N_α^{**} -continuous are independent .We have the following diagram.

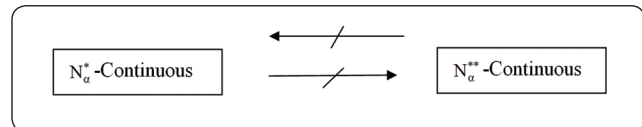


Diagram (4)

3.10. Proposition

Let (X_1, τ_1) , (X_2, τ_2) be topological spaces, and F be a subset of X_1 . Let $f : X_1 \rightarrow X_2$ be a mapping , then:

- (1) If the mapping $f : X_1 \rightarrow X_2$ is N_α (N_α^* -continuous resp.), then $f|_F : F \rightarrow X_2$ is also, N_α (N_α^* -continuous resp.), where F is N_α -open set in X_1
- (2) If the mapping $f : X_1 \rightarrow X_2$ is N_α^{**} continuous, then $f|_F : F \rightarrow X_2$ is also,

N_α^{**} - continuous, where F is an open set in X_1 .

Proof: We shall prove only when the mapping f is N_α -continuous, and the other cases by the same way .Suppose B_2 is an open set in X_2 , since f is N_α -



2.17. Definition [17]

Let (X, τ) be a topological space. Then X is called Ultra-T2 space if for each pair of distinct points x and y , there exist clopen sets A and B containing x and y resp. such that $A \cap B = \emptyset$

2.18. Definition [18]

Let (X, τ) be a topological space. Then X is called locally indiscrete if every open set of X is closed.

3. Some Types of N_α -Continuity

In this section, the concept of N_α -open set will be used to define some new types of N_α -continuity such as; N_α -continuous, N_α^* -continuous and N_α^{**} -continuous. Moreover we shall study the relationships with other some types of continuity mappings.

3.1. Definition

Let $(X_1, \tau_1), (X_2, \tau_2)$ be topological spaces, such that $f : X_1 \rightarrow X_2$ any mapping. Then f is N_α -continuous if for each an open set A in X_2 , then $f^{-1}(A)$ is N_α -open set in X_1 .

3.2. Remark

There is no relation between the continuous and N_α -continuous mappings, we shall explain this in Example (3.3).

3.3. Example

Let (X, τ_1) be a topological space, where $X = \{1, 2, 3, 4\}$, $\tau_1 = \{X, \{2\}, \{1, 4\}, \{1, 2, 4\}, \emptyset\}$, $\tau_2 = \{X, \{1\}, \{1, 2, 3\}, \emptyset\}$ and $f : (X, \tau_1) \rightarrow (X, \tau_2)$ is a mapping such that $f(1) = f(2) = f(4) = 1, f(3) = 3$.

Thus f is continuous which is not N_α -continuous, since $A = \{1\}$ is an open set, but $f^{-1}(A) = \{1, 2, 4\}$ which is not is N_α -open set

3.4. Remark

There is no relation between the α -continuous and N_α -continuous mapping. See previous example (3.3) where f is α -continuous which is not N_α -continuous.

Now the following Example explains the N_α -continuous mapping neither continuous nor α -continuous mapping in general.

3.5. Example

Let $(X, \tau_1), (X, \tau_2)$ be topological spaces, where $X = \{1, 2, 3, 4\}$, $\tau_1 = \{\emptyset, \{3\}, \{1, 4\}, \{1, 3, 4\}, X\}$, $\tau_2 = \{\emptyset, \{1\}, X\}$. Define $f : (X, \tau_1) \rightarrow (X, \tau_2)$ such that $f(1) = f(2) = f(4) = 1, f(3) = 3$.

See the following Diagram

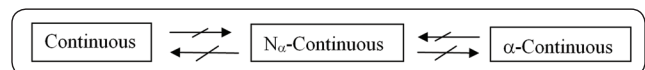


Diagram (1)

We have previously shown that there is no relationship among the concepts of continuous, α -continuous and N_α -continuous. But if we impose some conditions, then we obtain the following Diagram.

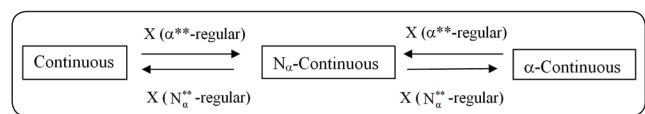


Diagram (2)

The following remark explains the relation of the concept of N_α -continuous with other



2.8. Proposition [1]

Let (X, τ) be a topological space. Then

- (1) The finite union of N_α -open sets is N_α -open set.
- (2) The finite intersection of N_α -open sets is N_α -open set.
- (3) The finite union of N_α -closed sets is N_α -closed set.
- (4) The finite intersection of N_α -closed sets is N_α -closed set.

2.9. Definition [1]

Let (X, τ) be a topological space, $A \subseteq X$. The N_α -closure of A is defined as the intersection of all N_α -closed sets in X containing A , and is denoted by $N_\alpha \text{ cl}(A)$.

2.10. Lemma [1]

If (X, τ) is a topological space, where $A \subseteq B \subseteq X$, then

- (1) $N_\alpha \text{ cl}(A) \subseteq N_\alpha \text{ cl}(B)$.
- (2) If A is N_α -closed set, then $A = N_\alpha \text{ cl}(A)$.
- (3) $x \in N_\alpha \text{ cl}(A)$ if and only if $U_x \cap A \neq \emptyset$ for any N_α -open set U containing x .

2.11. Proposition [1]

Let (Y, τ_Y) be a subspace of a topological (X, τ) such that $A \subseteq Y \subseteq X$. Then

- (1) If $A \in N_\alpha O(X)$, then $A \in N_\alpha O(Y)$.
- (2) If $A \in N_\alpha(Y)$ then $A \in N_\alpha(X)$, where Y is clopen set in X .

2.12. Definition [11]

Let (X, τ) be a topological space. Then X is called α^{**} -regular space if for every $x \in X$, and

every α -closed set F such that $x \notin F$ there exist two open sets A and B such that $x \in A$, $F \subseteq B$ and $A \cap B = \emptyset$

2.13. Definition [1]

Let (X, τ) be a topological space. Then X is called N_α^{**} -regular space if for every $x \in X$, and every N_α -closed set F such that $x \notin F$ there exist two open sets A and B such that $x \in A$, $F \subseteq B$ and $A \cap B = \emptyset$

2.14. Proposition [11], [1]

Let (X, τ) be a topological space. Then :

- (1) X is α^{**} -regular space iff every α -open set A contains x , there exists an open set B contains x such that $x \in B \subseteq \text{cl } B \subseteq A$.

(2) X is N_α^{**} -regular space if and only if every N_α -open set A contains x , there exists an open set B contains x such that $x \in B \subseteq \text{cl } B \subseteq A$.

2.15. Proposition [1]

Let (X, τ) be α^{**} -regular space. Then

- (i) Any α -open set (N_α -closed) is N_α -open set (N_α -closed).
- (ii) Any an open set(closed) is N_α -open set (N_α -closed).

2.16. Proposition [1]

Let (X, τ) be N_α^{**} -regular space. Then

- (i) Any N_α -open (N_α -closed) set is an open(closed) set.
- (ii) Any N_α -open (N_α -closed) set is an α -open (α -closed) set.



1. Introduction

The concept of N_α -open set was first studied in 2015 by N. A. Dawood, N. M. Ali ,see [1] by using these sets we study some class of continuity mappings which are N_α -(N_α^* , N_α^{**}) continuous mappings and investigated some of their properties. The notion of contra-continuity was first investigated by Dontchev in 1996, [2]. Subsequently, Jafari and Noiri [3,4] exhibited contra- α -continuous, and contra-pre-continuous mapping. A good number of researchers have also initiated different types of contra continuous mappings, some of which are found in the papers [5-9]. Here, in this paper also, attempt has been made to employ the notion of N_α -open sets to study some variation of contra continuous mappings called contra- N_α -continuous mappings.

In this paper all spaces X and Y are topological spaces, also the closure (interior resp.) of a subset A of X is denoted by $\text{cl}(A)$ ($\text{int}(A)$ resp).

2. Some Basic Concepts

Here, we shall give some basic concepts which we need in our work.

2.1. Definition [10]

Let (X, τ) be a topological space, a subset A of X is called α -open if $A \subseteq \text{int cl int } (A)$. The complement is called α -closed.

From the above definition it is easy to check that, every open is α -open, [11].

2.2. Definition [12], [13]

Let (X, τ) be a topological space, a subset A of X is called :

- (1) regular-open if $A = \text{int cl}(A)$
- (2) θ -open if for each $x \in A$, there exists open set B such that $x \in B \subseteq \text{cl } B \subseteq A$.

2.3. Definition [14], [15], [16], [6]

A mapping $f: X \longrightarrow Y$ is called α -continuous (perfectly continuous, strongly θ - continuous, regular closed continuous), if every an open set A in Y, then $f^{-1}(A)$ is α -open (clopen, θ -open, regular closed resp.)in X.

2.4. Definition [1]

Let (X, τ) be a topological space, a subset A of X is called " N_α -open" set if there exists a non-empty α -open set B such that $\text{cl } B \subseteq A$.

The family of all N_α -open sets is denoted by $N_\alpha O(X)$, and its complement is called N_α -closed and denoted by $N_\alpha C(X)$.

2.5. Remark [1]

In every topological space the set X is N_α -open set.

2.6. Remarks [1]

- (1) The concepts of open and N_α -open sets are independent.
- (2) The concepts of α -open and N_α -open sets are independent.
- (3) The concepts of closed and N_α -open sets are independent.
- (4) Every clopen set is N_α -open set.
- (5) Every θ -open set is N_α -open set.
- (6) Every closed α -open set is N_α -open set.

2.7.Theorem [1]

Let $(X_1, \tau_1), (X_2, \tau_2)$ be topological spaces. Then A_1 and A_2 are N_α -open(N_α -closed) sets in X_1 and X_2 resp. if and only if $A_1 \times A_2$ is N_α -open(N_α -closed) set in $X_1 \times X_2$.



N_α -Continuous And Contra- N_α -Continuous Mappings

Nadia M. Ali Al- Tabatabai

Baghdad/Al-Kirk/3, Directorate General of Education, Ministry of Education, Iraq

Received Date: 2 / Nov / 2015

Accepted Date: 14 / Jan / 2016

الخلاصة

في هذا البحث قدمنا أنواع جديدة من التطبيقات المستمرة من النمط $N\alpha$ باستخدام المجموعات المفتوحة من النمط $N\alpha$ في الفضاءات التوبولوجية مثل التطبيقات المستمرة من نمط $N\alpha$ ، N_α^* ، N_α^{**} وكذلك درسنا بعض خصائص هذه الأنواع علاوة على ذلك درسنا بعض أصناف التطبيقات العكسية المستمرة التي تسمى التطبيقات العكسية المستمرة من نمط $N\alpha$ وبيننا العلاقات بين هذه الأنواع.

الكلمات المفتاحية

المجموعة المفتوحة- α ، المجموعة المفتوحة- N_α ، الفضاءات التوبولوجية- N_α .

Abstract

In this paper, we introduce new types of N_α -continuous mappings by using N_α -open sets in topological spaces, such as N_α -(N_α^* , N_α^{**}) continuous mappings , also we study some properties of these types. Moreover, we study some classes of contra-continuous mappings called contra N_α -continuous and show relationships between these types.

Keywords

α -open set, N_α -open set, N_α -regular space.



- [software/dataplot/refman1/ch2/histogram.pdf?q=histogram](http://www.software/dataplot/refman1/ch2/histogram.pdf?q=histogram), March 10, (1997).
- [4] Qingzhang CHEN, Fan YANG, Yuzheng CHEN, Ruohong HUAN, Xiaomei TANG, "Particle Filter for Target Tracking Using Accumulation Histogram and Particle Position Adjustment", Journal of Computational Information Systems 9:1(2013)127–135 Available at <http://www.Jofcis.com>, (2013).
- [5] Alfred L. Wicks, Chair, Alexander Leonessa, A. Lynn Abbott; 'Features Identification and Tracking for an Autonomous Ground Vehicle'; April 30, Blacksburg, Virginia, (2013).
- [6] Dr. Israa Hadi, Mustafa Sabah, "An Enhanced Video Tracking Technique Based on Nature Inspired Algorithm", International Journal of Digital Content Technology and its Applications (IJDCTA), 8, No. 3, June (2014).
- [7] Bharti, Tejinder Thind, "Background Subtraction Techniques-Review", International Journal of Innovative Technology and Exploring Engineering (IJITEE) ISSN: 2278-3075, 2, Issue-3, February (2013).
- [8] R. Manikandan, R. Ramakrishnan, 'Human Object Detection and Tracking using Background Subtraction for Sports Applications', International Journal of Advanced Research in Computer and Communication Engineering, 2, Issue 10, October, (2013).
- [9] K. Onoguchi, "Moving object detection using a cross correlation between a short accumulated histogram and a long accumulated histogram," in Proc. 18th Int. Conf. Pattern Recognition., Hong Kong, China, Aug. 20–24, 4, pp. 896–899, (2006).
- [10] Qiang, Z.P., and Liu, H.: "Application of local accumulation histogram in color image retrieval", Computer & Digital Engineering, 34, (6), pp.123–125, (2006).
- [11] Liu, Z.W., and Zhang, Y.J.: 'Comparison and analysis of ten methods of image retrieval algorithm based on color feature', Signal Processing, 16, (1), pp.79–84, (2000).
- [12] www.ics.uci.edu/~dramanan/teaching/cs117.../bg.pdf.
- [13] Emilio Maggio, Andrea Cavallaro, 'VIDEO TRACKING Theory and Practice', A John Wiley and Sons, Ltd., Publication, (2011).
- [14] Massimo Piccardi, 'Background subtraction techniques', University of Technology, Sydney (UTS), April, (2004).
- [15] Rafael C. Gonzalez Richard E. Woods, 'Digital Image Processing', third addition, PEARSON Prentice Hall, (2008).
- [16] Luis Otavio Alvares, Vania Bogorny, 'A Clustering-Based Approach for Discovering Interesting Places in trajectories', Porto Alegre, December (2008).
- [17] Scott E Umbaugh Ph.D., 'Computer Vision and Image Processing', November, (1997).

Table (1): Comparison among build improve accumulation algorithm to various films.

Attribute No. example \	Camera type	Speed object	Number build background	Accuracy	Frame size	Complexity scene
1	Static	Slow	Less	High	360×640	High
2	Moving	Fast	More	Low	576×720	High
3	Static	Medium	Less	Medium	120×160	Low

Table (2): Comparison among detection object algorithm to group of attributes.

Detection Object Attributes \	Sobel Filter	Canny Filter	Accumulate Histogram	Mean Accumulate Histogram
(Speed (run time)	Medium	Low	Fast	Very Fast
Effective Points	Medium depend on (Threshold)	Low (Outer Frame)	High depend on built) (background model	nearest High depend on built) (background model
Science Variation	Poor	Medium	Strong	Strong
Accuracy	Medium	Less Medium only Shape of ob- (ject	Very high	High
Shape	Medium	Very High	High	High

10. Conclusion

From Table (1) listed in paragraph (experimental result), it is clear that the proposed way to improve the accumulate histogram is characterized by a high speed in implementation and high precision in determining the effective points of moving object. Also, it is robust to the changes may occur on the scene (such as, illumination). Also, it is leading to better accuracy in determining the outdoor framework of the moving object.

11. References

- [1] Quming Zhou and J.K. Aggarwal; 'Tracking and Classifying Moving Objects from Video', Computer and Vision Research Center Department of Electrical and Computer Engineering the University of Texas at Austin Austin, TX 78712, USA zhou@ece.utexas.edu aggarwaljk@mail.utexas.edu.
- [2] <http://en.wikipedia.org/wiki/Histogram>.
- [3] Dataplot, Reference Manual, 2-111, <http://www.itl.nist.gov/div898/>



Fig. (5): Image background after run mean accumulate histogram.

In example two an illustration in Fig. (6) consists of time (50) sec and (1262) frames of 720'576 (pixels) with rate of (25.4) (frame/sec) with moving camera and fast moving object.

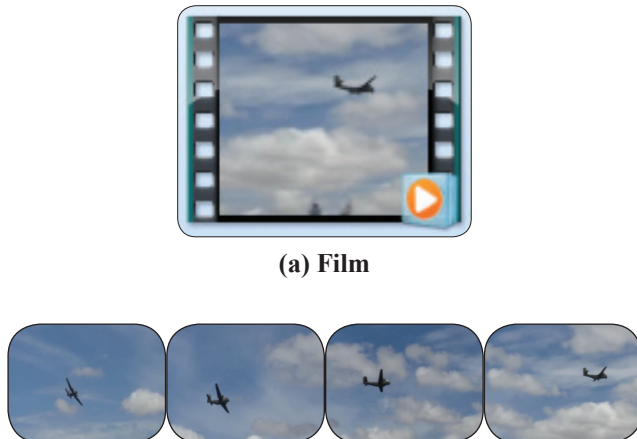


Fig. (6): Illustrates samples of frames (720'576) which obtained from the process of converting the movie film into sequence of frames.

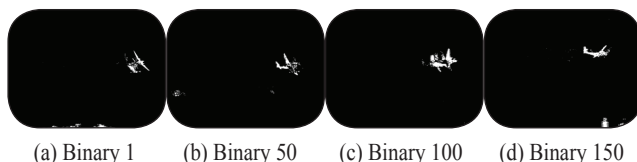


Fig. (7): The Images of Frame after Applying Segmentation and Tracking.



Fig. (8): Background Build with each step by 50 frames.

In example three an illustration in Fig. (9) consists of time (16) second and (324) frames of (160×120) pixels with rate of (20.25) frame/sec with static camera and slow moving object.



Fig. (9): Illustrates samples of frames (160 ×120) which obtained from the process of converting the movie film into sequence of frames.

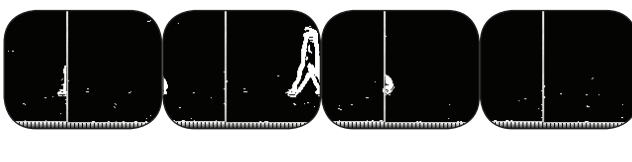


Fig. (10): The Images of Frame after Applying Segmentation and Tracking.

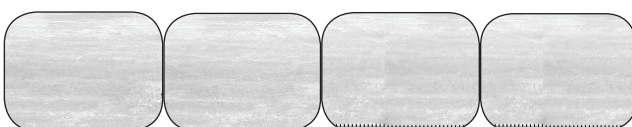


Fig. (11): Background Build with each step by 50 frames.



Describing in paragraph 6 and using Euclidean distance metric among frames to find the trajectory for any object.

8. Algorithm to Detection of Object Trajectory

8.1. Main Algorithm to build system

Step 1: Input video and convert to sequence of frames.

Step 2: Build background model by accumulation histogram algorithm.

Step 3: Use Subtraction model to isolate background about foreground.

Step 4: Isolation or segment of each object from another object using region growing.

Step 5: By equations (6,7) to find the area and center of any object, then use Euclidean distance metric that represented by equation(8)among frames to find the trajectory for any object.

8.2. Algorithm to build background model

Algorithms of Build background is consists of six steps:

a. Enter period of re-build background:

It is represented one back-ground model which is dealing with number of fixed sequence frames.

b. Divide each frame to block (N'M): Each frame is divided into to a small block (N'M), N is a row and M is a column.

c. Determine Mean of Block: Find mean to each block (N'M)in order to improve accumulation histogram that leads to reduce consume time.

d. For freqeucy of mean for period frames: determine the repetition of block mean for the same location of sequence frames.

e. Find max frequent for each block:

maximum or most frequent block mean in the same location for all frames and this represents best block to construct background model.

f. Reconstruct background: After testing all blocks and find best or most blocks which depend on value mean after that we use all best blocks to construct background model.

9. Experimental result

To test the performance and efficiency of process, we have executed the module with several data sequential. In example one, the video sequence used as an illustration in Fig. (2) consists of time (50) second and (1270) frames of (640×360) pixels with rate of (25.4) (frame/sec) with static camera.



Fig.(2): The film is taking from website avenue dataset [18].



Fig. (3): Illustrates samples of frames (640 ×360) which obtained from the process of converting the movie film into sequence of frames.



Fig. (4): The Images of Frame after Applying Segmentation and Tracking.



B. Blocks of Accumulation Histogram

In this research, we improve the idea modeling of accumulated histogram by the mean or rate for a certain area or dividing images to blocks ($U \times V$) and calculate the mean value of their blocks and rounded to nearest whole number, then calculating the number of repeat this block for a certain number of images(frames) to approve is this part of the block or fixed rear part of the moving target, its improve accumulation histogram is shown in equations 9, 10, 11 below:

$$Mean(C, D) = \frac{1}{N \times M} \sum_{I=0}^{N-1} \sum_{J=0}^{M-1} Block(I, J) \dots \dots \dots (9)$$

I, J: dimensional of small blocks.

M, N: dimensional of blocks.

C, D: dimensional total numbers of mean value for each block.

After the mean of block is determined for a certain set of images (i.e., for specific period of time of the film) then most frequent mean values is calculated; it represents the mean value of the background belong to that block. After assigning the most frequent mean for all frames, then the background model is established.

The updating processes are continually applied to the established background model for a certain number of images, and repeated again after each period of time; this period is pre- defined, and its value should depend on the nature of the application and the relevant effects.

$$Frequent\ of\ Mean = \sum_{I=First}^{Last} round(Mean(C, D)) \dots \dots \dots (10)$$

$$\text{Background Image Model} = \text{Max Frequent of repeat Blocks.} \dots \dots \dots (11)$$

We are applying above equations on the

example (Frame 4'4) below:

Frame 1	Frame 2	Frame 3	Frame 4
8 7 3 2	5 6 3 2	6 5 6 4	5 5 4 4
6 5 2 1	8 7 2 1	3 7 3 3	4 6 2 2
3 1 5 2	2 2 4 3	3 2 3 4	5 5 2 2
4 4 5 4	5 3 4 5	5 4 7 2	5 5 2 2
Mean 1	Mean 2	Mean 3	Mean 4

$$2=4/(2+3+1+2)$$

$$7=4/(7+8+5+6)$$

$$4=4/(2+5+4+5)$$

$$3=4/(1+3+4+4)$$

7	2
3	4

7	2
3	4

5	4
4	4

5	3
5	2

Max of frequent

7	2
3	4

Output: Background Image Model

5	6	3	2
8	7	2	1
3	1	5	2
4	4	5	4

Example 1: It is represented (4 Frames of size (4'4)) to produce Background image model.

III. Subtraction

Explain in paragraph 4 and used to isolated background about foreground and it is applied to find the motion target from the background.

IV. Segmentation Algorithm

Discuss in paragraph 5 and used region growing to isolation or segmentation to each object about another objects.

V. Trajectory of Object Detection

gray level texture, intensity, intensity, etc.[15].

The best issues in the growing of region are:

- Selection: represents initial seeds.
 - Growing: represents the pixels and depends on certain properties of the frame.
 - Similarity: refer to the minimum difference in the gray level observed between two spatially adjacent pixels.
 - The minimum area threshold is connected with minimum region size in pixels.

6. Trajectory of Object Detection

The conception of trajectory is rooted in the evolving location of some target traveling in some space through a given time interval. Thus, a trajectory is by meaning a spatio-temporal concept.

Continuous trajectory: It is a tuple (x, y, t) where t is the time and (x, y) are the spatial coordinates associated.

Trajectory is a list $\{(t_0, x_0, y_0), (t_1, x_1, y_1), (t_2, x_2, y_2), \dots, (t_N, x_N, y_N)\}$, with $t_i, x_i, y_i \in \mathbb{R}$ for $i = 0, 1, 2, \dots, N$ and $t_0 < t_1 < t_2 < \dots < t_N$, where t_0 is the instantaneous when the target begins the travel and t_N is the instant when the travel ends [16].

Area of a n target: The area of a binary target is computed by

Where $T[i,j]$ represents the target pixels (binary 1).

- Location of object: The position of the target is usually specified by the center of mass and is computed as [17].

$$X_C = \frac{\sum_i \sum_j [iT(i,j)]}{4} \quad Y_C = \frac{\sum_i \sum_j [jT(i,j)]}{4} \quad \dots \dots \dots \quad (7)$$

After applying the method of region growing to identify moving objects in each frame, then the area of each moving object is determined, also its position is calculated using equations (6,7).

The object is determined by using Euclidean distance metric that represented by equation (8); which determines the closest distance between the centers of the same moving object identifies in the two consecutive frames, then the trajectory of the moving object is identified over all film frames.

$$Distance = \sqrt{(X_1 - X_2)^2 + (Y_1 - Y_2)^2} \quad \dots \dots \dots (8)$$

X_1, Y_1 : Center of object in last frame.

X_2, Y_2 : Center of same object in current frame.

7. Proposed Method

Proposed method consists of five major modules:

- i) Input video
 - ii) Background Model
 - iii) Subtraction
 - iv) Segmentation
 - v) Trajectory

Fig. (1) shows the proposed method steps

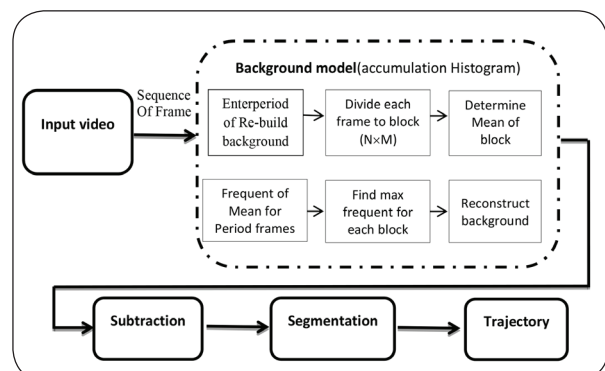


Fig.(1): Block diagram of Proposed Method

I. Input Video: Convert video to Sequence of frames.

II. Background model: We can divide constructing background model to two parts as shown below:

A. General Accumulation Histogram

It is explained in paragraph 3.



frame A is recognized, its accumulation histogram is displayed as follows:

Where $\lambda_{zi} = \sum_{j=1}^i h_{zi}$ (4)
 i, j are all integers.

λ_{zi} : The summation of all values of λ_{zi} from 1 to I

While Euclidean distance is utilized as likeness measurement, accumulate histogram has the benefit over public color histogram that it makes two points with large distance less likeness in the coordinates than that with small distance [11].

4. Subtraction

The approach of background subtraction is applied to find the motion target from the background. This approach is sensitive to changing unimportant movement and illumination of the background [12].

To find the foreground targets from the background as the absolute of difference between the current frame and an image of the scene's static background we applied equation below [13]:

Fame_I = current incoming video frame.

Background_I = Reference image.

Th = Thresholding.

The background model can be divided in to two types of background model:

A. Static background: the background-based target detectors work mostly with static cameras [14].

B. Dynamic background: one of the background

scene is dynamic and contain motion objects in outside environment.

The background subtraction is further classified into non-parametric and parametric background subtraction [14]. The quality of a background subtraction method correlates with three significant steps: modeling, thresholding and data validation.

- Background modeling: it is the backbone of the Background Subtraction process. The model of background defines the kind of model selected to signify the background.
 - Thresholding: it is a process that removes an unwanted range of pixels in the scene with respect to certain threshold values.
 - Data validation: it is involved with the collection of methods to decrease the misclassification of pixels.

5. Segmentation Algorithm

They contain partitioning a frame into meaningful and a set of homogeneous regions, such that the pixels in each partitioned region possess an identical set of attributes or properties. These groups of properties of the frame may contain contrast, gray levels, textural, or spectral values properties. The end result of segmentation is a number of regular regions, each having a single label. An image (frame) is thus distinct by a set of regions that are linked and non-overlapping.

Region growing is assigned to the process that collects pixels or sub-regions into larger regions. Beginning with a set of seed points,

the growth of regions starts from these points by including to each seed point those neighboring pixels that have likeness attributes such as color,

procedure involves approximation a function such that the total squares of differences between the actual and approximation function.

Qingzhang CHEN et al. [4] this represents an enhanced particle filter target tracking algorithm instituted on particle position adjustment and accumulation histogram. The particle filter applies accumulation histogram to explain the object motion characteristics instead of the common histogram. The accumulation histogram part reflecting the link between distance in axes color and the likeness of the color distributions, separates colors more accurately.

Bharti, TejinderThind [7] this represents the chief algorithms used to detect the foreground target with its demerits and merits. The background subtraction classified into non-parametric and parametric background subtraction. The model of background can be divided into dynamic or static. The model of dynamic background is one in which the background of scene may contain motion targets in outside environment, block and pixel-based are two main types of approached are for the background Subtraction. The non-parametric statistical Modeling of pixel process is used to build a statistical representation of the background scene.

R. Manikandan, R. Ramakrishnan, [8]a new algorithm to identify players depended on the background subtraction. The updating of background model is established. The algorithm of dynamic optimization threshold is used to get a more complete behaviour of tracking and motion player. In a video stream, studied the motion player and tracking and its velocity is detected. The centroid of target is calculated to use in the analyses of the location of the motion person body.

K. Onoguchi, [9] in the weather, the visibility changes quickly in the short time and the intensity of every pixel changes hard for each frame. To solve these problems, the proposed algorithm splits an input image into grid regions, computes a cross correlation between two histograms whose accumulated number of images are various. The short accumulated histogram, created from accumulating a few number of images, changes rapidly whenever motion targets go into the region.

3. General Accumulation Histogram

One of the most essential color features is color histogram, which indicates the occurring possibility of many colors in the frame (image). In common color histogram, the value of color is the abscissa, and the color occurring frequency in the frame (image) is the ordinate. Let the function $\text{Sum}(A, z_i)$ stand for to the number of pixels of feature information z_i in the image A , and N indicates the aggregate number of pixels in the frame (image) A . Then, the common color histogram of the frame A is presented as equation 1:

Accumulation histogram is utilized to characterize the object motion features instead of the public histogram. The histogram of accumulation reflecting the link between distance in axes-color and the likeness of color distributions, separates colors closely and more accurately [10].

Where $h_{zi} = \frac{\text{Sum}(A, zi)}{N}$, (2)
 i, N are all integers.

Assuming the public color histogram of several feature data $H(A) = (h_{z1}, h_{z2}, \dots, h_{zi}, \dots, h_{zn})$ of



1. Introduction

Computer vision is a branch that studies ways for getting, processing, analyzing, realizing images and, in common, high-dimensional information from its nature so that it can produce symbolic and digital mathematical information.

- For several ages, video monitoring has been developed fast in various application contexts, for like cars, buses, boat, the old, ill persons and shopping.

- In my point of view, the aims of a video monitoring system are as follows:

- Detection of a limited target such as: (person or vehicles).
- Extraction information of statistic for example: (Average no. of vehicles or people).
- Detection of limited events (accident, unmoved vehicles, .. etc.).

Broad set of techniques are used in video based behavior understanding and the fast progress in this area.

The ability of tracking and classifying the many of targets is a challenging and a significant task within a computer vision [1].

A histogram is a graphical representation of the distribution for numerical data [2]. Histogram is a technique of graphical information analysis for briefing the organizational data of a variable. The response variable can be classified into equivalent limited intervals (bins). We can compute the response variable for each bin by number of occurrences. The contents of histogram are [3]:

Axis of vertical = frequencies or proportion frequencies;

Axis of horizontal = the response variable (the middle-point for each interval).

The accumulative histogram can better

describe the object moving characteristics in comparison with case of using the histogram. The accumulative histogram can reflect the link between distance in axis of color and the likeness of color distributions; and its use offers better opportunities for distinguishing colors more accurately [4].

In this paper, a model for the static background of the image is build using a collection of successive frames of the analyzed video. The established background model can be illustrated in the moving targets using a subtraction method. An idea of using accumulative histogram is improved by using the mean of each area of the frame, then using the frequency of occurrence of the mean of blocks assess the mean of the background existing in that block.

The segmentation of foreground is the operation of splitting a scene into two kinds: foreground and background. The foreground contents are any targets that are motion or are expected to motion, like: animals, persons and vehicles. The background contains any targets that belong to the static environment, like: trees, roads, traffic signs, buildings, ... etc. [5].

2. Related Work

In this part some research related to the proposed method has been briefed below:

Israa Hadi and Mustafa Sabah [6], this represents the new approach to deal with the trajectory by using function of curve fitting and extract best features (intersection point, slope) to convert the trajectory points into approximation function.

The function of curve fitting will be an essential element of any interface of mathematical. The



Abstract

There are a lot of challenges facing the process of tracking moving targets, particularly when using fixed or moving cameras, so there is a need to find appropriate solutions to solve the kind of problems. The process of tracking moving objects becomes easier when the background is fixed (i.e., static) in order to distinguish the moving objects from the static parts by different operations.

In this research, we attempt to utilize a technique for building a background template for this scene, and this model replaces when time changes are caused by weather adversity or dynamic illumination.

We use the accumulative histogram for each block of the video frames to compute the background value of that block. Hence, the most probable mean of the block will be adopted as the background mean value, and this value can be subtracted for the values of pixels which belong to that block. The mean values of all corresponding blocks which lay in the taken successive block are used to get the most redundant mean which is adopted as the background value of that block.

For the purpose of identifying the moving objects and separating it from other objects as well as the background we apply the method of region grown. Some features like (the center of any object) are extracted, and they are used to fix the trajectory of the identified object by tracking the changes in position coordinated from frame set to other set by using Euclidean distance metric.

Keywords

Accumulate histogram, Accumulative histogram Background model, video Tracking, Trajectory.



A Method for Background Establishment Using Accumulate Histogram for Detection of Object Trajectory for Video Tracking Applications

Israa Hadi and Adil Abbas Majeed
College of Information Technology, University of Babylon, Iraq.

Received Date: 1 / Oct / 2015
Accepted Date: 27 / Mar / 2016

الخلاصة

هناك الكثير من التحديات التي تواجه عملية تعقب الأهداف المتحركة، خاصة عند استخدام الكاميرات الثابتة أو المتحركة، لذلك فإن هناك حاجة لإيجاد حلول مناسبة لحل هذا النوع من هذه المشاكل. إن عملية تتبع الأجسام المتحركة تصبح أسهل عندما تكون الخلفية ثابتة (أي ساكنة) من أجل التمييز بين الأجسام المتحركة من الأجزاء الثابتة بواسطة عمليات مختلفة.

في هذا البحث، نحاول الاستفادة من تقنية لبناء قالب خلفية لمشاهد معين، وهذا النموذج يستبدل عندما يتغير الوقت الذي سببه شدة احوال الطقس أو تغيرات الإضاءة.

تم استخدام الرسم البياني التراكمي لكل كتلة من إطارات الفيديو لحساب قيمة خلفية تلك الكتلة. وبالتالي، المتوسط الأكثر احتمالاً للكتلة سيعتمد كخلفية للقيمة المتوسطة، وهذه القيمة يمكن أن تطرح من قيم البكسلات المتممة إلى تلك الكتلة. يتم استخدام القيم الوسطية التي تم حسابها لجميع الكتل (البلاوك) في الصور الفيديوية المتعاقبة للحصول على أكثر قيم متوسطة مكررة لكل بلاوك تم تحديده في الصور لتكوين الخلفية التي سيتم استخدامها.

لغرض تحديد الأجسام المتحركة، وفصلها عن غيرها من الأجسام أو الثوابت في خلفية المشهد نطبق طريقة تنامي المنطقة "مثل طريقة فصل الأهداف المتحركة عن الثابتة".

بعض الميزات مثل (مركز أي كائن) تم استخراجها، واستخدمت لتحديد مسار الكائن التي تم تحديدها من خلال تتبع التغيرات في مركز حرقة الجسم من صورة إلى أخرى باستخدام قانون المسافة الإقليدية.

الكلمات المفتاحية

الرسم البياني التراكمي، نموذج الرسم البياني التراكمي للخلفية، التتبع الفيديوي، المسار المنحنى.



- of Methylene Blue Over MgO/MWCNT/TiO₂ Photocatalyst. *Korean Journal of Materials Research*, 20:345-50, (2010).
- [5] Lakshmi G.C., Ananda S., Somashekhar R., Ranganathaiah C. Synthesis of ZnO/MgO Nanocomposites by Electrochemical Method for Photocatalytic Degradation Kinetics of Eosin Yellow Dye. *International Journal of Nano-Science and Nanotechnology*, 3:47-63, (2012).
- [6] Belitskus D. Reaction of aluminum with sodium hydroxide solution as a source of hydrogen. *Journal of The Electrochemical Society*, 117:1097-9, (1970).
- [7] Kirszensztejn P., Szymkowiak A., Marciak P., Martyla A., Przekop R. Texture of Al₂O₃-SnO₂ binary oxides system obtained via sol-gel chemistry. *Applied Catalysis A: General*, 245:159-66, (2003).

the existence of hydrogen production increased with photocatalysts compared to that without photocatalysts. The variation of the volume with increasing time at constant voltages (12) V was shown in Fig. (7).

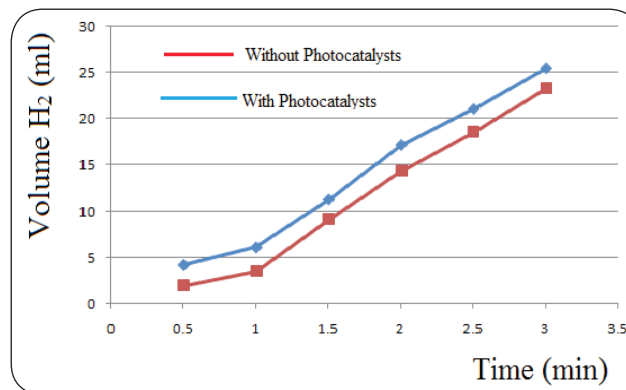


Fig. (7): The relationship between volume and time

It is clear from this Fig. that the volume of the hydrogen production is directly proportional with time. It can be observed that the gas production increases sharply with time. Never the less, the production of hydrogen increased strongly by the presence of photocatalysts compared with the increment without photocatalysts. This may due to the addition of photocatalysts speeds up the interaction process. It is obvious from Fig. (8) that there is a positive relationship between current and volume of the hydrogen production.

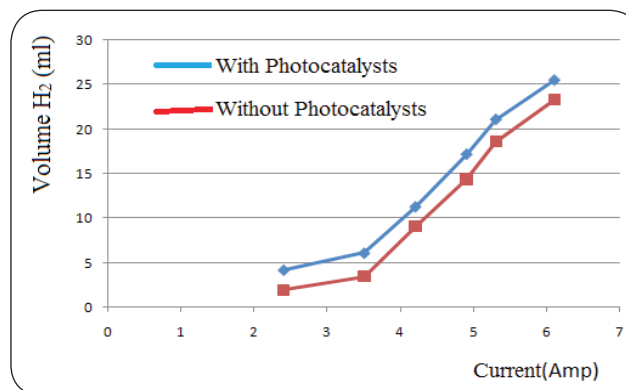


Fig. (8): The relationship between volume and current

Adding the photocatalyst to the interaction in the electrolytic cell resulted in saving energy by increasing the production of chemical reactions. As well as it speeded up the formation due to the large surface area. This allows more number of photons that hit the catalyst and large adsorption capacity will result. Furthermore it reduced pollution by reducing the byproducts of the interactions.

Conclusion

It was found out that the increment in the volume of gas with photocatalysts is more efficient. It can be observed that the gas production increases sharply with time as well as with current. Most of the photocatalysts used to produce hydrogen are heterogeneous catalysts.

Reference

- [1] Mazloomi K., Sulaiman N.B., Moayedi H. Electrical efficiency of electrolytic hydrogen production. International Journal of Electrochemical Science, 7:3314-26, (2012).
- [2] Sathish M, Viswanath R. Effect of CdS particle size on the photo generation of hydrogen.
- [3] Colmenares J.C., Luque R., Campelo J.M., Colmenares F., Karpiński Z., Romero A.A. Nanostructured photocatalysts and their applications in the photocatalytic transformation of lignocellulosic biomass: an overview. Materials, 2:2228-58, (2009).
- [4] Chen M-L, Zhang F-J, Oh W-C. Promoting Effect of MgO in the Photodegradation

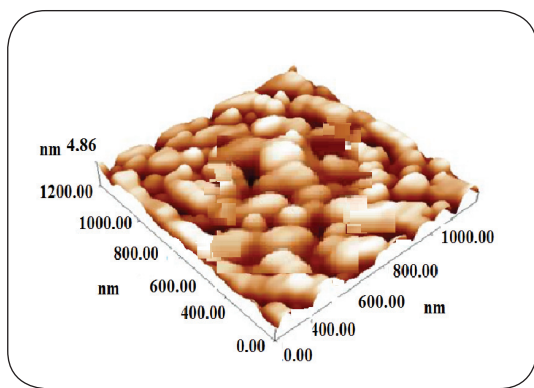


Fig. (5): Atomic force microscope of MgO nanoparticles.

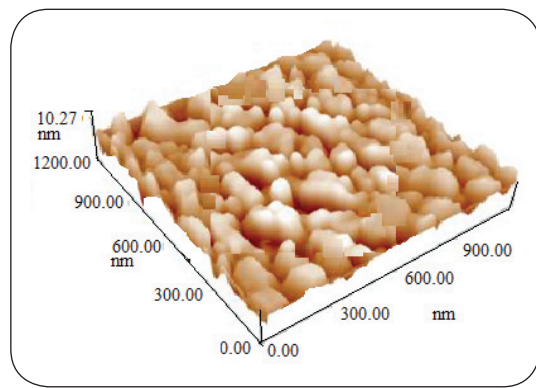


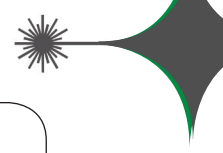
Fig. (6): Atomic force microscope of SnO₂/Al₂O₃ electrode.

In addition AFM image of SnO₂/Al₂O₃ was shown in Fig. (6). The image demonstrates more homogeneity and smaller size compared to MgO image.

To study the photocatalyst activity, the hydrogen production was investigated with and without MgO nanoparticles as photocatalysts. As shown in Table (1).

Table (1): Determination of HHO Electrolysis cell characteristic

Volume H ₂ (ml)		Time (min)	Voltage (Volts)	Current (Amp)	Electrical Power (P)	Resistance (R)
Without Photo- catalysts	With Photocata- lysts					
2	4.2	0.5	12	2.4	28.8	5
3.5	6.1	1	12	3.5	42	3.42
9.1	11.3	1.5	12	4.2	50.4	2.86
14.4	17.2	2	12	4.9	58.8	2.45
18.6	21.1	2.5	12	5.3	63.6	2.26
23.3	26.5	3	12	6.1	73.2	1.97



a serial form P-N-P-N-P-N, where (p) represent positive electrode and (N) for negative electrode. different amount of currents were applied and then the volume of produced hydrogen at each current was measured.

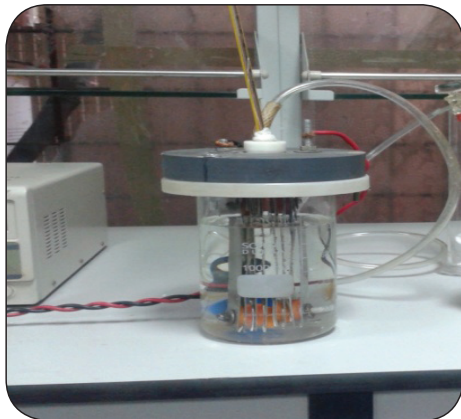


Fig. (2) Setup of hydrogen production.

The purity and structure of electrodes and photocatalyst were examined by X-ray diffraction. X-ray diffraction device (XRD-6000 Shimadzu Japan) was used in this study. The system use (Cu K α radiation line of wavelength of (1.54) Å in 2 θ range from (10° - 90°).

Surface topology was deliberated by Atomic Force Microscopy (AFM).

Results and Discussion

Fig. (3) shows the X-ray diffraction patterns of the (MgO) nanoparticles. XRD peaks were found at 2 θ values of (33.5°), (57°) and (64°), referring to diffraction from (111), (110) and (002) planes.

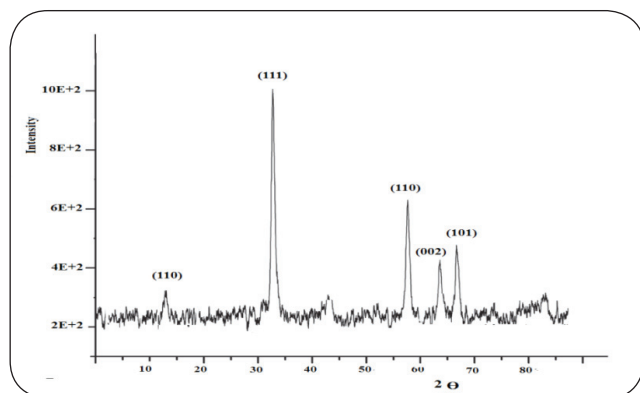


Fig. (3): X-ray diffraction pattern of MgO nanoparticles.

The X-ray diffraction pattern of the SnO₂/Al₂O₃ films was shown in Fig. (4). The peaks of (29.1°), (49°) and (52°), were corresponding to diffraction from (101), (002) and (110) planes.

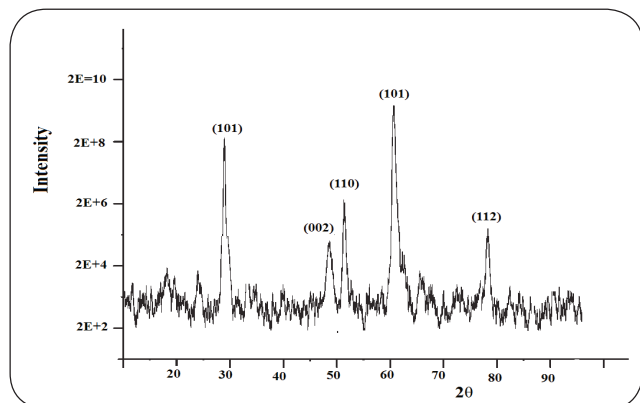


Fig. (4): X-ray diffraction pattern of nano SnO₂/Al₂O₃ electrod.

The AFM image was shown in Fig. (5). The result shows that MgO is homogenous and the distribution of granules is uniform.



Introduction

Hydrogen has been used in many fields such as military, industry and trading [1]. It becomes the promising fuel for future applications; therefore hydrogen production methods have drawn significant interest nowadays. Investigations on electrolytic hydrogen production have been precisely done for more than century. Among the available methods, photo-catalytic splitting of water into hydrogen and oxygen has economic benefits. yet, the semiconductor mediated water splitting has been studied by many researchers [2]. Nanomaterials have received high attention at the last few years due to their small size and large surface area [3]. The coating of MgO on TiO₂ resulted in threefold increase the catalytic activity of TiO₂ for the degradation of cationic surfactants [4]. The crystal structure, shape and size of ZnO/MgO nanoparticles were studied by Chaitanya Lakshmi [5]. The reaction of aluminum (Al) with aqueous alkaline solutions to generate hydrogen was described early [6]. As well as the texture of Al₂O₃-SnO₂ binary oxides system obtained via sol-gel chemistry was studied by Kirszensztein [7].

The aim of this research is to design HHO Electrolysis and to prepare (MgO) as nano Photocatalyst and study its effect on the hydrogen production.

Experiment

MgO photocatalyst was prepared by dissolving Mg (CH₃COO)₂ · 2H₂O in ethanol. Then NaOH solution was titrated into the above solution under ultrasound. After it being sonicated about (20) min, transparent solution could be achieved. All organic substances were removed by reduced

distillation. Then it was dried at (50) °C for about (1.5) h under vacuum condition. Finally, MgO nano-particles with different sizes could be obtained by calcination as shown in fig. (1).



Fig.(1):Nano MgO substance preparation.

In this study, aluminum is used as substrate. For SnO₂ deposition, the aluminum wafers were chemically etched in dilute hydrofluoric acid to remove native oxides. Subsequently, after oxide removing, the substrates were located in vacuum chamber to fabricate the SnO₂/Al₂O₃ heterojunction. Crystalline SnO₂ films were deposited on cleaned aluminum substrates using, (8) ns, Nd:YAG laser at (532) nm. The laser beam was focused on high purity SnO₂ target using (4) cm positive lens. The substrates were placed at (5) cm distance from SnO₂ target. The chamber was kept at vacuum pressure of (10⁻³) mbar. The SnO₂ target was ablated from (10 to 80) pulses (5–20) min to get thin films.

HHO Electrolysis cell was successfully designed and manufactured for this study. Fig. (2) shows the cell which constructs of glass Pyrex cylinder. It contains two holes one for entering the thermometer and the other for exiting the gas. As well as the cell includes a quartz lens to enter the optical beam. The electrodes SnO₂/Al₂O₃ on



Preparation and Study the Effect of MgO Nano Photocatalyst for HHO Electrolysis cell Application to produce hydrogen

Haleemah J. Mohammed and Kassim M. Sahan ,
Renewable Energies Directorate, Ministry of Science and Technology, Iraq.

Received Date: 23 / Aug / 2015

Accepted Date: 19 / Feb / 2016

الخلاصة

تم تحضير الحفاز الضوئي النانوئي (MgO) من المواد الأولية لها . يشير تحليل نتائج حيود الأشعة السينية (XRD) إن الغشاء المحضر ذو تركيب متعدد البلورات، وهي متوافقة مع الجداول القياسية. وقد تم دراسة طبوغرافية سطح المادة باستخدام مجهر القوة الذرية (AFM)، اذ أظهرت النتائج بان المادة ذات بنية نانومترية. قمنا بتصميم خلية التحليل الكهربائي (HHO) من زجاج بايركس ، تم تحضير الأقطاب النانوية من SnO_2/Al_2O_3 ، ودراسة تأثير إضافة الحفاز الضوئي على حجم إنتاج الغاز، وتاثير تغير التيار على الحجم بمرور الزمن.

الكلمات المفتاحية

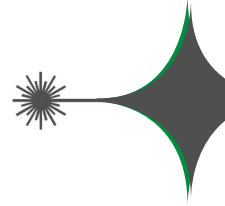
الخلية التحليل الكهربائي HHO ; الحفاز الضوئي النانوي ; الأقطاب النانوية من SnO_2/Al_2O_3

Abstract

MgO nano photocatalyst is successfully synthesized from its raw materials. The X-ray diffraction analysis indicates that the prepared films are polycrystalline structure, which is compatible with standard tables. The morphology of (MgO) nanoparticles, is examined by using the atomic force microscope (AFM). It shows that it is constructed from nanostructure materials. HHO electrolysis cell of glass Pyrex has been designed for this study. SnO_2/Al_2O_3 electrodes is prepared as well. The effect of adding nano photocatalyst on the volume of gas production was studied. In addition, the effects of current and time on the volume are investigated.

Keywords

HHO electrolysis cell; Nano photocatalyst; SnO_2/Al_2O_3 nano electrodes.

**Table (1): Simulation Factors**

Factor	Value
Cell radius	2000m
Number of channels in cell	20
Users speed	m/s [0-20]
Soft handoff area	15%
Duration of simulation	h 6
Number of simulation runs	25
Holding time	s 180

Table (2): Umbrella cell factors

Factor	value
Cell radius	6000m
Number of channels in micro cell	16
Critical speed	m/s 16

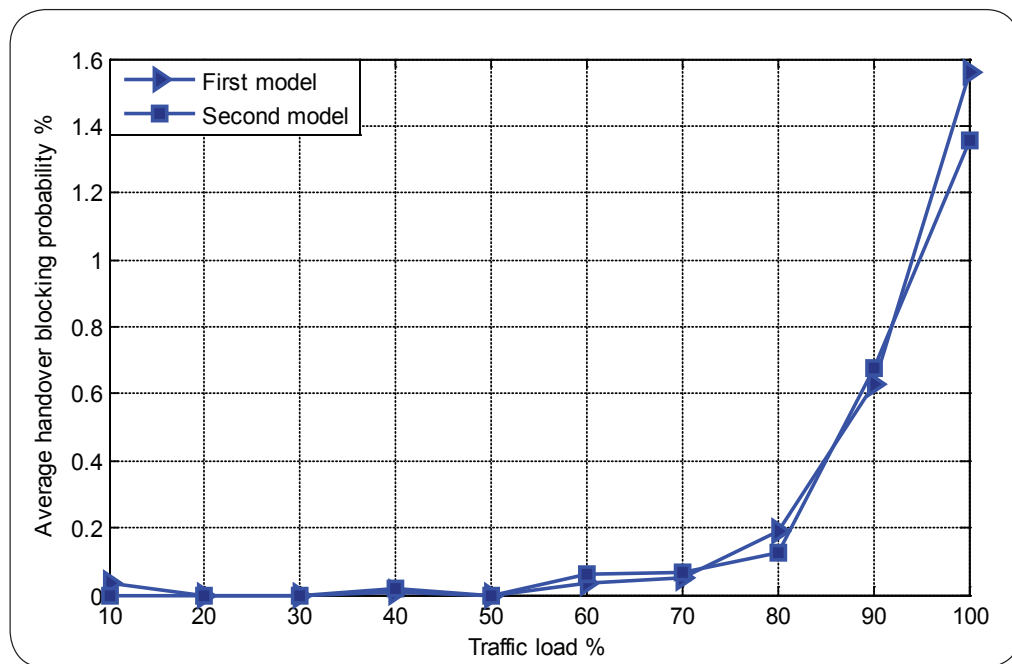


Fig. (9) : Average percentage blocking probability with traffic load.

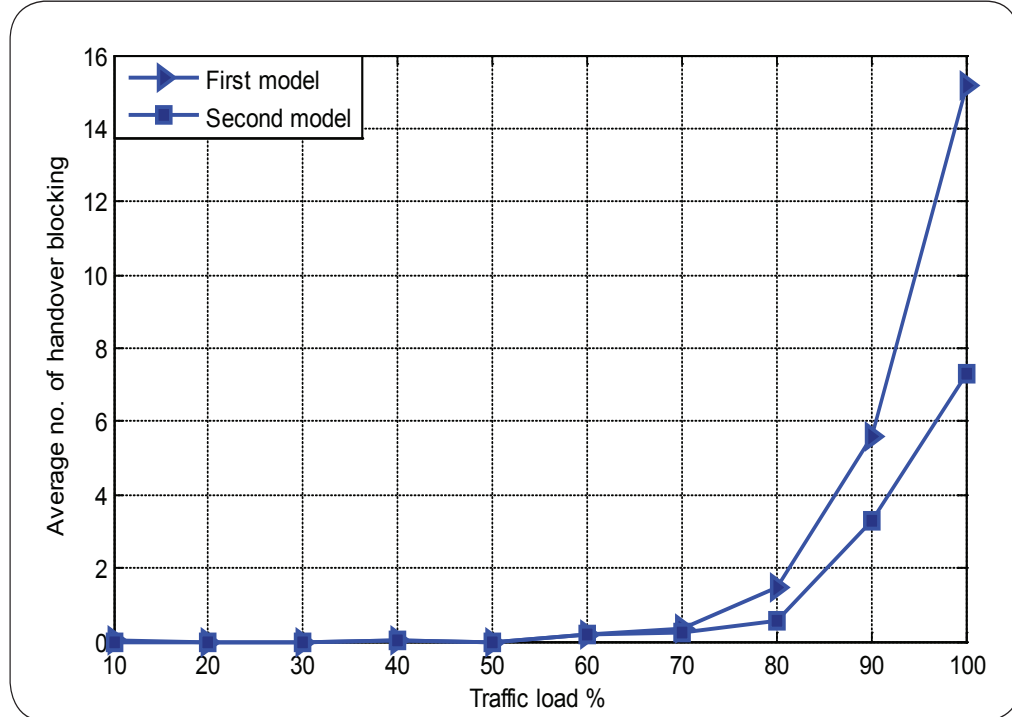


Fig. (10): Average number of blocked handover with traffic load.

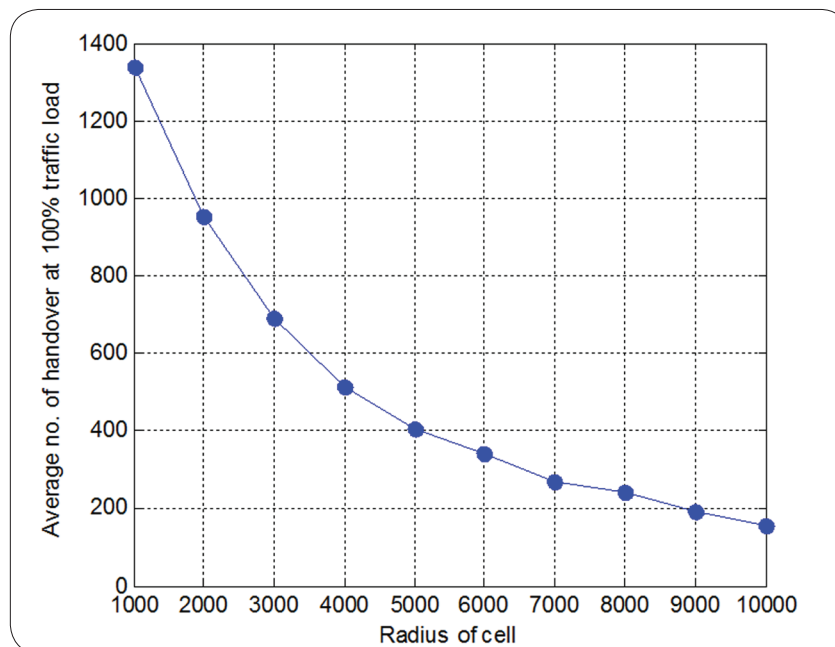


Fig. (7): average number of handovers with radius of cell at 100% traffic load.

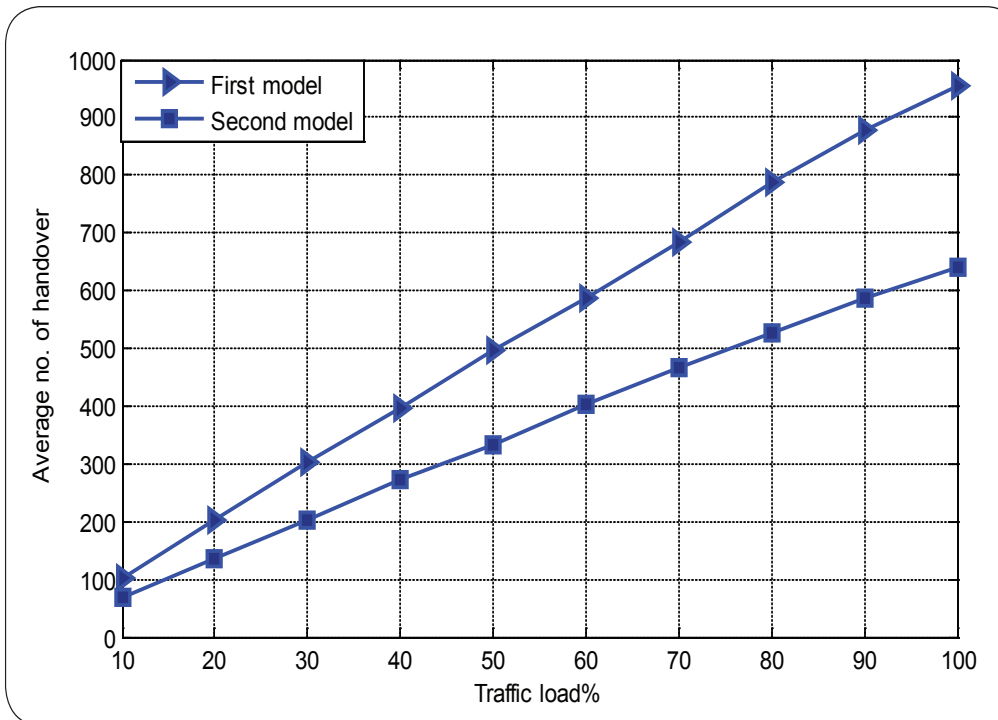


Fig. (8) : Average number of handover with traffic load.

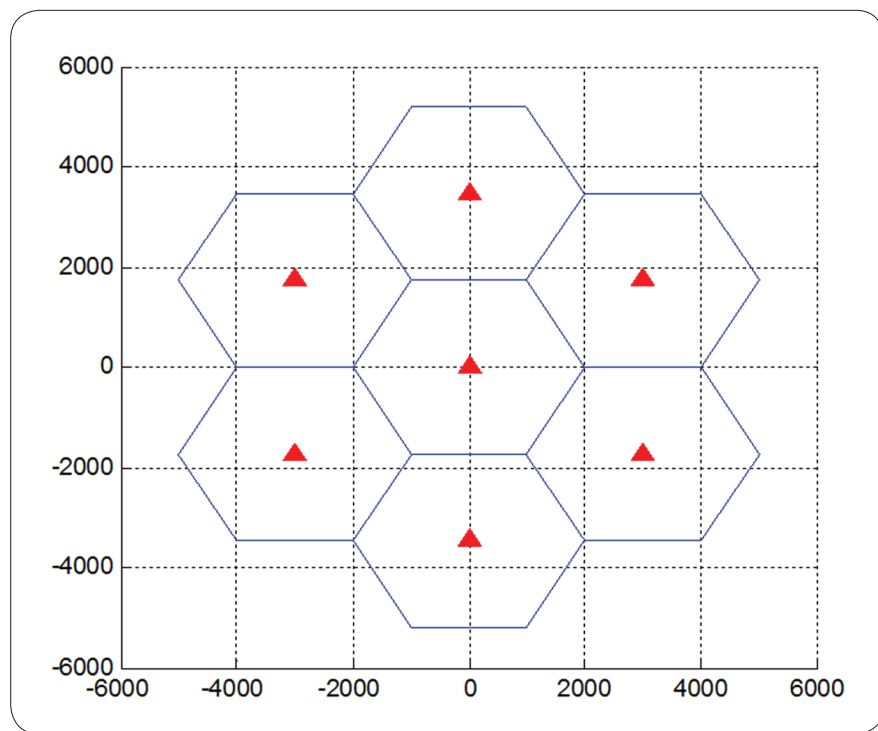
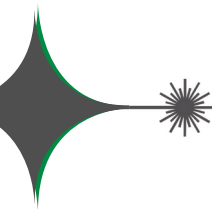


Fig. (5): first model cells.

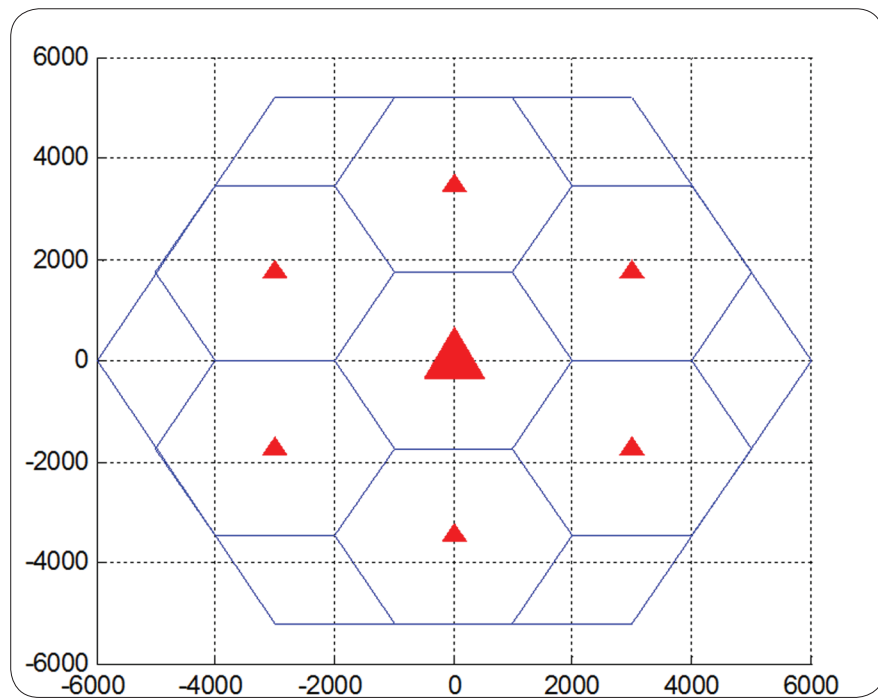


Fig. (6): second model cells.

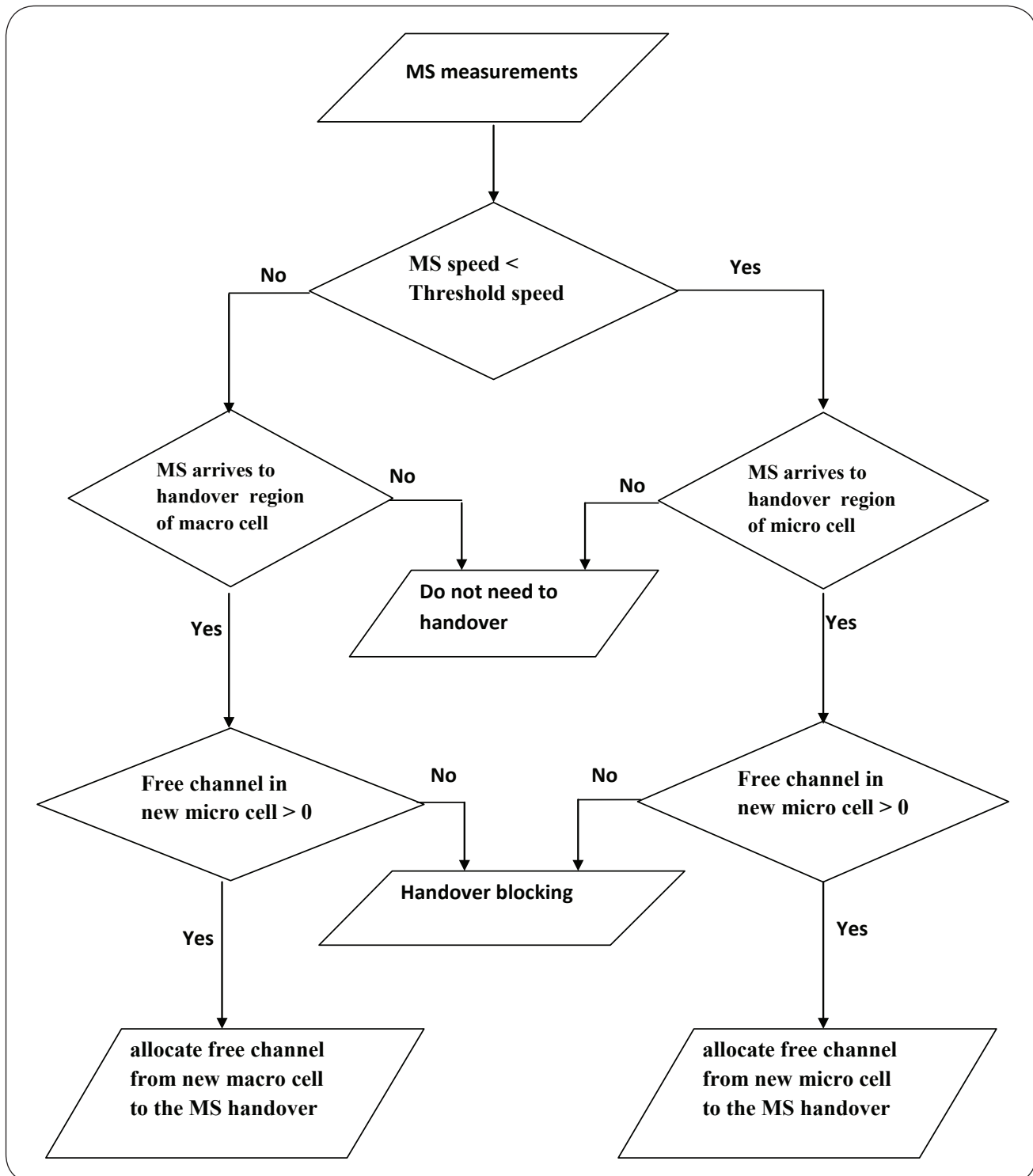


Fig. (4): Flow chart of handover in umbrella cell.

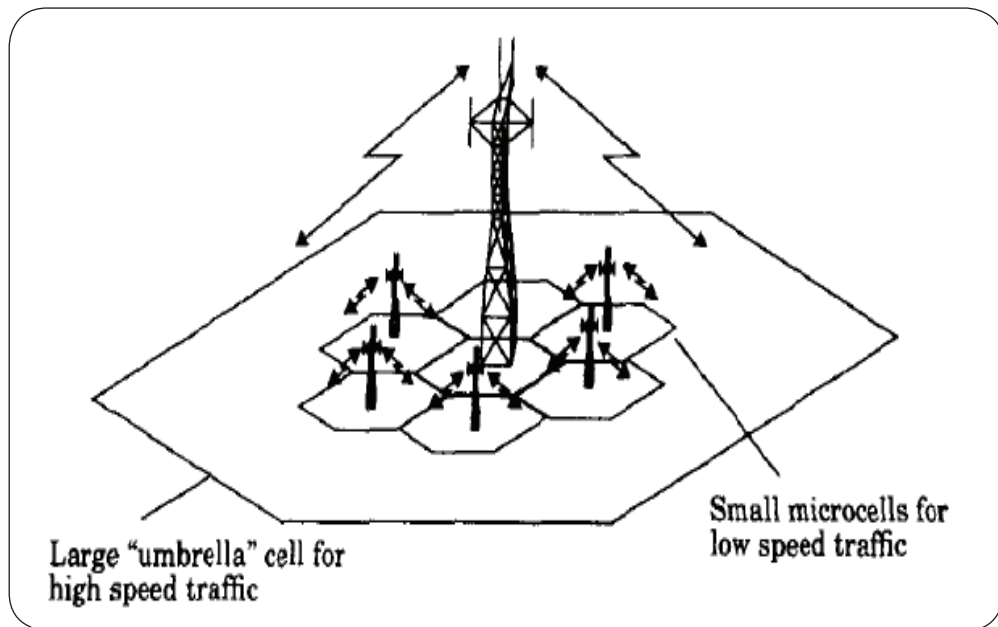


Fig. (2): Umbrella cell [13].

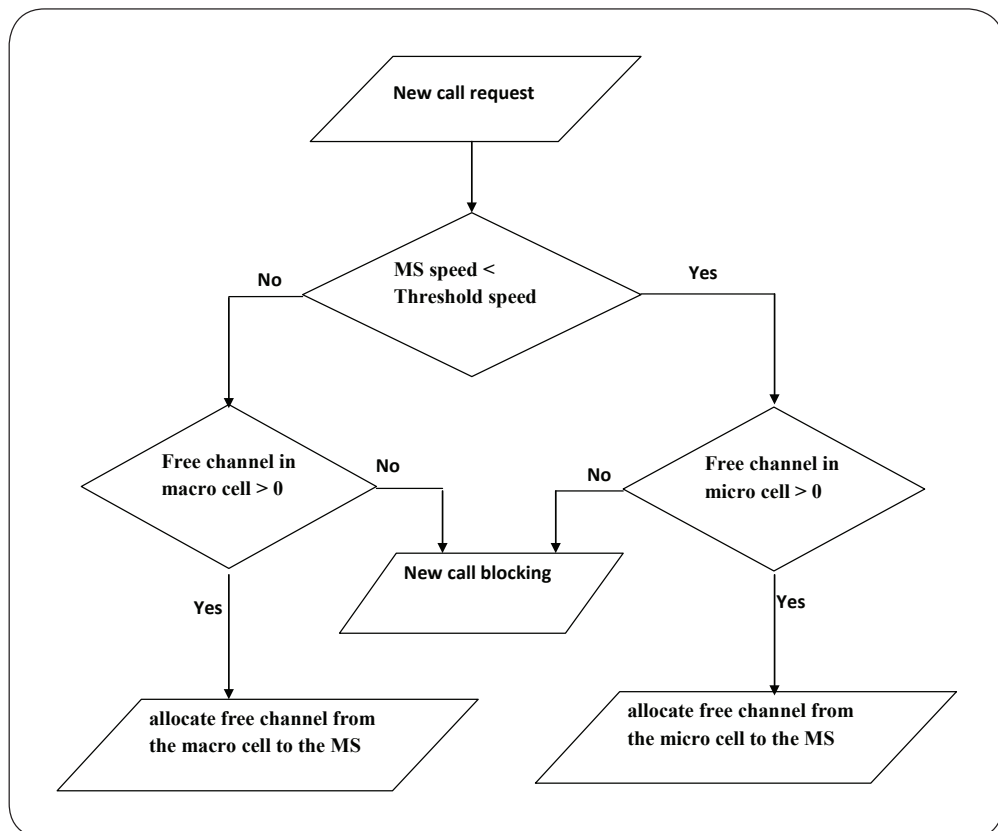


Fig. (3): Flow chart of new call in umbrella cell.

- December (1998).
- [7] Hsiao-Hwa C., 'The Next Generation CDMA Technologies', John Wiley & Sons Ltd, (2007).
- [8] B. O. Omijeh, M.I.Udoh , «Performance Analysis of the WCDMA End-To-End Physical Layer» , International Journal of Engineering and Technology, **5** No. 12, December, (2015) .
- [9] Haider Albonda, Sufian Yousef, «Soft Handover in 3G/4G Networks Using Multiple Sector Antennas», International Journal of Engineering and Technology, **5** No. 1, January, (2015) .
- [10] S.A.Mawjoud&S.H.Fasola, "Performance Evaluation of Soft Handover in WCDMA System" Al-Rafidain Engineering, **19** No.6, December (2011).
- [11] Z. Ye, L. K. Law, S. V. Krishnamurthy, Z. Xu, S.Dhirakaosal, S. K., Tripathi and M. Molle, «Predictive Channel Reservation for Handoff Prioritization in Wireless Cellular Networks», Computer networks, **51**, Issue 3, pp. 798-822 , Feb. (2007).
- [12] Nagia Hussian Mohammed Hussian, Amin Babiker A/Nabi Mustafa, Comparison between Soft Handover and Hard Handover in UMTS» , International Journal of Science and Research (IJSR), **4** Issue 5, May (2015).
- [13] T.S.Rappaport,«Wireless Communication Principles & Practice», Prentice Hall PTR, second edition,(2002).
- [14] Sunil Kumar Nandal, Yogesh Chaba, «Umbrella Cell Approach Based Coverage in Ubiquitous Computing Environment», International Journal of Advanced Research in Computer Science and Software Engineering, **4**, Issue 1, January (2014) .

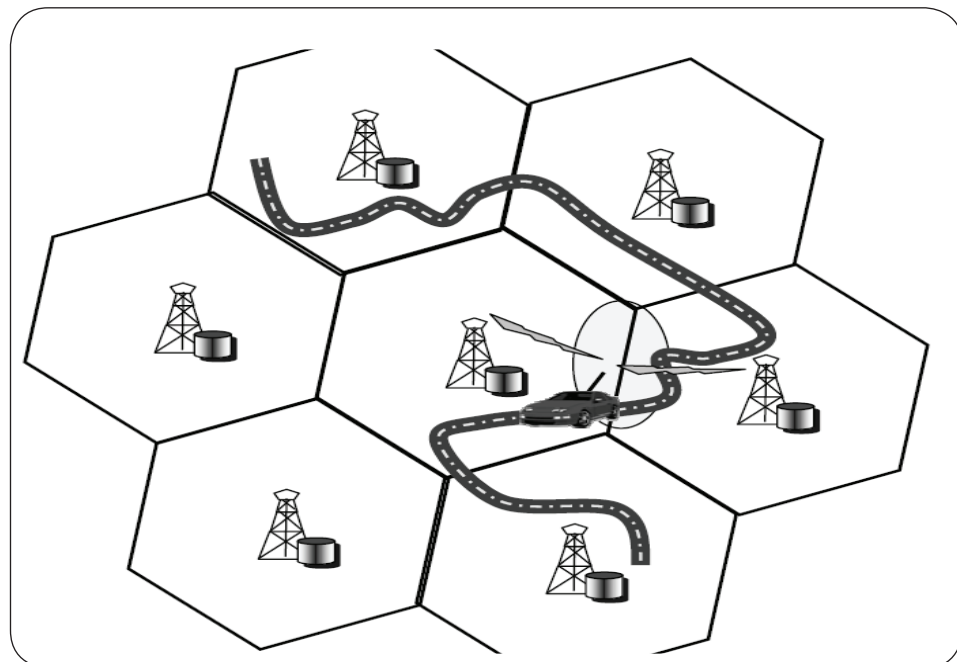


Fig. (1): High speed user [2].



to become almost (1.559%) when the traffic load of (100%). Second curve shows the result of the second model for the handover blocking probability increased with the increase of traffic load as well but they are less than the first model, reaching approximately 1.358% when traffic load of (100%).

Comparing Fig. (10), which represents the relationship between the average number of blocked handovers and traffic load, shows the improvement in the handover process in the second model. The number of blocked handovers is small for the two models at low traffic loads, but for high traffic load, the number of blocked handovers will be increased. For example 90% of traffic load produces (6) blocked handovers for first model, and (3) for the second model. With load of (100%), there are more than (15) blocked handovers for first model and less than (8) blocked handovers for the second model. This result means that when the umbrella cell technique is used, the improvement in reducing the number of blocked handover is approximately (50%) of the number of blocked handover in the first model which does not use the umbrella cell.

4. Conclusions

Comparing the first model (without using the umbrella cell) that contains micro cells only with the second model (without using the umbrella cell) which contains in addition the umbrella cell, results show an improvement in the handover process in terms of reducing the number of handovers by approximately (33%). The probability of handover blocking is reduced from (1.559%) to (1.358%) for the same traffic load. The difference between the two values is

small, but the difference is that the number of handovers in the second model is less than of that in the first model. Therefore, the number of blocked handovers is reduced by (50%) in the second model.

References

- [1] Amer T.A., "Handoff-Handover Technique Improved the Mobility in Cellular Phone Communications", Canadian Journal on Electrical and Electronics Engineering 4, No. 2, April (2013).
- [2] Jingao W., "Performance Analysis of Hybrid Reservation Handoff Scheme for Integrated Wireless Mobile Network", Msc Thesis, University of Cincinnati, (2001).
- [3] Xiaomin M., Yonghuan C., Yun L., and Kishor S., "Modeling and Performance Analysis for Soft Handoff Schemes in CDMA Cellular Systems" IEEE Transactions on Vehicular Technology, 55, No. 2, March (2006).
- [4] Sami A. Mawjoud ,Farhad E. Mahmood, Sana S. M. Tahir, "Investigation of Macrocell / Microcell Channels Selection In Multitier Cellular Networks" ,Al-Rafidain Engineering, 18 No.5 October (2010).
- [5] Cheng-Gang L., Zhen-Hong J., Xi-Zhong Q., Lei S. and Li Chen, " Improvement in the Priority Handoff Scheme for Multi-Service Wireless Mobile Networks", Journal of networks, 9, No. 1, Jan. (2014).
- [6] N. D .Tripathi, N.J. H .Reed and H. F. VanLandingham, «Handoff in Cellular Systems», IEEE Personal Communications,

$$\text{Traffic load} = \frac{\lambda H}{C} \quad \dots \dots \dots \quad (2)$$

where:

λ : the number of incoming calls to a cell at one hour.

H: time rate for calls.

C: The number of channels in the cell.

During the simulation (the duration is 6 hours), the location of each mobile station is tracked periodically every one second, with the assumption that the location measurement is located by GPS system. Users speed can be evaluated by taking more than one reading of the location, then by dividing distance over time. the user's speed can be known then ,that is whether it is equal to one or more than the critical speed.

The handover request is presented after the arrival of MS to soft handover area, which is defined as the ratio of the handover area to the total area of the cell [10]. If there is a free channel, the handover process will be succeeded, if not, the request will be blocked.

To increase the accuracy of the simulation results, the average of (25) implementations for each model are simulated. Table (1) and Table (2) illustrate the factors used in the simulation.

3. Results and discussion

The models are applied for different values of traffic load, then evaluating the average number of handovers, the percentage of handover blocking probability, and the average number of blocked handovers for the purpose of comparison between the two models, and to find out the improvement in the handover process for the second model (which uses the umbrella cell).

Fig. (7) shows the relationship between the

number of handovers with the radius of the cell when the load is (100%). Increasing the radius of the cell, will reduce the number of handovers, due to the fact that high speed users may leave more than one small cell during one call, therefore more than one handover is needed. While large cells require fewer handovers during one call or may be without need to handover. For this feature umbrella cell is used with a radius relatively large compared to the rest of the cells in the system.

Fig. (8) illustrate the relationship between the average number of handovers and traffic load for first and second models respectively. This Fig. show that the number of handovers increased directly proportional to the load change, but it will be less in the second model. In the first model, the number of handovers starts from (102) handovers at traffic load of (10%) to (955) handovers when the traffic load is 100%, caused by the increase user numbers in overload traffic. The second model shows a large decrease in the number of handovers observed in comparison with the first model. With traffic load of 10%, the number of handover is (69), and nearly (641) handovers when traffic load is 100%, the number of handovers is reduced by approximately (33%) from the first model. Handovers decrease for the second model is resulting from the high speed users who are served by the large umbrella cell, therefore a fewer numbers of handovers are needed.

Fig. (9) illustrates the relationship between the average percentage of the handover blocking probability and the traffic load for the two models. First curve represents the result of the first model, shows that when the traffic load increases , the handover blocking probability will increase, starting from very low values and then rising



the base station.

(3) The number of channels is limited in the system.

On the other hand, small cells that serve well a geographical area have many advantages, such as [6]:

- (1) Low transmission power.
- (2) High capacity.
- (3) Maintain battery period of life and the power of MS.

The main disadvantage of small cells, is producing a large number of handovers, which affect the system capacity because a single user may be using more than one channel at the handover moment, especially users with high speed as illustrated in Fig.(1).

For the above, the umbrella cell method is developed, which is a hybrid system composed by small cells inside one large cell. Large cell is called an umbrella cell as described in Fig.(2), where is allocated a number of channels to the base station of umbrella cell [13].

The most important feature of this method is to reduce the handovers to the user with a high speed. User's handover is controlled by changing the call to the umbrella cell, resulting in decreasing the number of handovers. A user that passes many small cells, may not come out of the umbrella cell borders during the communication [14]. The high transmitted power in the umbrella cell is a disadvantage, but on the other hand, there are a number of advantages, including:

- (1) Increasing the number of available channels.
- (2) Good service for users (call continues

without cutting).

(3) Maintaining age of mobile battery of low speed users.

In the umbrella cell technique, the BS at any cell uses the process in flow charts as shown in Figs. (3) and (4) to handle the two types of requests (new call and handover).

2.2. Simulation

MATLAB software (version 7.10) is used as the simulation program to represent a WCDMA cellular system in two models. The first model is a system without using the umbrella cell as illustrated in Fig. (5). The second system shown in Fig. (6) uses the umbrella cell. Macro cell radius is (6000)m while micro cell radius is (2000)m.

Users distributed uniformly in both models, were direction and speed of each user are generated, and the direction is updated periodically. Each cell in the first model is allocated 20 channels, while in the second model, each micro cell gives (4) channels for the umbrella cell (macro) while the remaining (16) channels is allocated to each micro cell. Thus, the number of channels in the umbrella cell will be as in the following equation:

$$C_{Umb} = 4N \quad \dots \dots \dots \quad (1)$$

where:

C_{Umb} : is the number of umbrella cell channels.
N: is the number of micro cells covered by umbrella cell.

Call time follows an exponential distribution with holding time (180) sec. The number of calls during the simulation period depends on the traffic load, which could be calculated from the following equation [11]:

1. Introduction

Handover or handoff can be defined in mobile telecommunications, as the process of transferring an ongoing call or data session from one channel (Frequency, time slot, code) connected to the core network (base station, BS) to another channel [1,2].

Youghuanetal. in [3] have studied the features of cellular engineering in Code Division Multiple Access (CDMA) system with soft handover process and distinguished the control area of the cell from the cell coverage area. They built a Markov chain model for continuous time in a (CDMA) system with queue for the soft handover process. The numerical results showed the effectiveness of the proposed Markov chain models.

Sami et al. in [4], propose a way to select the macro / micro channels in the cellular system using the time to stay in overlap area of the micro cells and study the change of the number of channels in micro cells in the macro cell with a blocking probability for different speed of Mobile Station (MS).

Cheng et al. in [5], have studied a new strategy for the handover to improve mobile network performance by reducing the handover blocking probability using delay new call requests technique for a period of time. They used the channels in the handover process and chose the best time period, in order not to affect the blocking probability of new calls.

The increase in the demand for mobile communications has led to make small cells in hotspot (crowed) area more popular than large cells to it is the increase the number of channels per unit area, that leads to an increase in the

number of users (increasing capacity). This causes an increase the probability of a handover process, especially for users with high-speed so a new challenge arises due to the development of handover process technology to ensure that no failure in communication (handover blocking) while the user moves from cell to other. Umbrella cell technology is one of these new technologies [6].

2. Theoretical Fundamentals

Direct Sequence Code Division Multiple Access (DS-CDMA), with information signals spreaded on wideband of (5MHz), is called Wideband Code Division Multiple Access (WCDMA). The adoption of the third generation (3G) systems for (WCDMA) technology is to transfer information with high speed and greater flexibility in the provision of multiple services for one user [7,8].

The 3G cellular system uses micro cells in crowded areas to increase capacity in addition to soft handover (called make-before-break)[8]. It means that the user will get more than one channel in the handover area. After leaving the handover area takes the channel of the cell in which it entered [9 -12].

2.1.Umbrella Cell

A large cell which is used to cover the geographical area, leads to reducing the number of handovers. In contrast, this large cell has a number of disadvantages such as [6]:

- (1) Requiring high transmit power.
- (2) Reducing the battery life because it sends a high signal power when they are far away from



ABSTRACT

The capacity is an important requirement in the development of cellular systems. There are many methods to increase cellular system capacity such as using small cells (micro cell) in hotspot areas. This method increases the number of handovers for high speed users, which causes an increasing of the number of blocked handovers. It is possible to decrease the number of handovers by using umbrella cell technique. This technique uses large cell (macro cell) to serve high speed users and small cells to serve low speed users. In this paper, two models are simulated by using MATLAB program, with and without umbrella cell in Wide band Code Division Multiple Access (WCDMA) system. The results of this work show an improvement of the handover process by large reduction of the number of handovers, and decreasing the probability of blocked handovers in the case of umbrella cell technique compared to the other technique.

Key words

Macro Cell, Micro Cell, Soft Handover, Umbrella Cell, WCDMA.



Improving Handover Process In WCDMA System Using Umbrella Cell Technique

Lujain S. Abdulla

Electrical Engineering Department, Engineering College, Tikrit University, Iraq

Received Date: 16 / Jun / 2015

Accepted Date: 19 / Feb / 2016

الخلاصة

تعد السعة من أهم المتطلبات في النظام الخلوي والتي من أجلها يتم تطوير الأنظمة الخلوية . ولزيادة السعة في النظام الخلوي توجد أكثر من طريقة ومن ضمنها استخدام الخلايا الصغيرة (الخلايا المايكرو) في المناطق المزدحمة لكن هذه الطريقة تسبب مشكلة زيادة عدد المناقلات بالنسبة للمستخدمين ذوي السرعة العالية وبالتالي زيادة عدد المناقلات المصددة. من الممكن التقليل من عدد المناقلات باستخدام تقنية الخلية المظلية والتي هي عبارة عن خلية كبيرة (خلية مايكرو) تقوم بخدمة المستخدمين ذوي السرع العالية بالإضافة إلى الخلايا الصغيرة التي تخدم المستخدمين ذوي السرع البطيئة . في هذا البحث تم محاكاة نموذجين ، الأول دون استخدام الخلية المظلية والثاني بوجودها في نظام تعدد الوصول بتقسيم الشفرة عريض الحزمة باستخدام برمجيات (MATLAB) ومن خلال النتائج التي تم التوصل إليها بين أن استخدام تقنية الخلية المظلية يحسن عملية المناقلة بشكل ملحوظ من ناحية تقليل عدد المناقلات وتقليل احتمالية صدتها وتقليل عدد المناقلات المصددة بشكل كبير .

الكلمات المفتاحية

الخلايا المايكرو ، الخلايا المايكرو ، المناقلة المرنة ، الخلية المظلية ، نظام تعدد الوصول بتقسيم الشفرة عريضة الحزمة .



the two vertices $v_{n+1,-(n-1)}$ and $v_{n,(n-1)}$ (as an example, see Fig. (3.3) ; the set of big bold vertices is the dominating set for this slide of the graph with minimum cardinality).

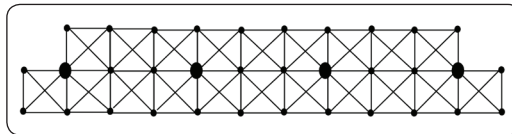


Fig (3.3):Dominating the three bottom rows of $T_{K_4}^6$.

The second slide which contains three rows r_{n-2} , r_{n-3} , and r_{n-4} is different from the first slide, since in the first slide there are two rows having the same length, but from the second slide to above the length of any row is less than from the previous row by two vertices.

In the same manner in slide one, we choose the $\lceil \frac{2n-6}{3} \rceil$ vertices from row r_{n-3} such that we choose the vertices $v_{(n-3),-(n-5)}$ and $v_{(n-3),(n-5)}$ to be added to the dominating set. We choose the other vertices between them such that there are at most two vertices between any two successive vertices in the dominating set. These vertices do not dominate to the vertices $v_{(n-2),-(n-3)}$ and $v_{(n-2),(n-3)}$, so we must add them to the dominating set. Therefore, in this slide we need $\lceil \frac{2n-6}{3} \rceil + 2$ vertices to dominate it. By continuing in same manner with other slides until reaching to the last slide (top slide). Thus, there are three cases that depend on the number of rows in last slide as follows.

a) If it contains three rows, then we choose the vertices $v_{3,-1}$, $v_{3,1}$, and $v_{1,0}^+$ to dominate the last slide. Thus, $\gamma(K) = 3 + \sum_{w=0}^{\lceil \frac{n-3}{3} \rceil} \left(\lceil \frac{2n-6w}{3} \rceil + 2w \right)$

b) If it contains two rows, then we choose the vertices $s_{2,0^-}$ and $s_{2,0^+}$, to dominate the last slide.

Thus, $\gamma(K) = 2 + \sum_{w=0}^{\lceil \frac{n-3}{3} \rceil} \left(\lceil \frac{2n-6w}{3} \rceil + 2w \right)$

c) If it contains one row, then we choose the vertex $v_{1,0^-}$ to dominate the last slide. Thus,

$$\gamma(K) = 1 + \sum_{w=0}^{\lceil \frac{n-3}{3} \rceil} \left(\lceil \frac{2n-6w}{3} \rceil + 2w \right).$$

3.2. Remark

In $T_{K_4}^n$ graph

- i) $\gamma(T_{K_4}^n) < \chi(T_{K_4}^n)$ if and only if $n \leq 2$.
- ii) $\chi(T_{K_4}^n) < \gamma(T_{K_4}^n) < \beta(T_{K_4}^n)$; $\forall n > 2$.

References

- [1] C. Berge, Theory of Graphs and its Applications, Methuen, London, 1962.
- [2] R.L. Brooks, On Coloring the Nodes of a Network, Proc. Camb. Philos. Soc. 37, 194–197, (1941).
- [3] Y. Caro., New Results on The Independence Number, Technical report, Tel-Haviv University, (1979).
- [4] F. Harary, Graph Theory, Addison-Wesley, Reading Mass (1969).
- [5] A. A. Omran and E.A. EL-Seidy, Independence and Inverse Domination in Complete z-Ary Tree and Jahangir Graphs, accepted in ArsCombinatoria journal, 2015.
- [6] T. W. Haynes, S. T. Hedetniemi and P. J. Slater, Fundamentals of Domination in Graphs, Marcel Dekker, Inc., New York (1998).



$$\text{iii) } \gamma(T_{K_4}^n) = \begin{cases} 3 + \sum_{w=0}^{\lfloor \frac{n-3}{3} \rfloor} \left(\left\lfloor \frac{2n-6w}{3} \right\rfloor + 2w \right), & \text{if } n \equiv 2 \pmod{3} \\ 2 + \sum_{w=0}^{\lfloor \frac{n-3}{3} \rfloor} \left(\left\lfloor \frac{2n-6w}{3} \right\rfloor + 2w \right), & \text{if } n \equiv 1 \pmod{3} \\ 1 + \sum_{w=0}^{\lfloor \frac{n-3}{3} \rfloor} \left(\left\lfloor \frac{2n-6w}{3} \right\rfloor + 2w \right), & \text{if } n \equiv 0 \pmod{3} \end{cases}$$

Proof.

i) Since G has an induced complete subgraph of order 4, then we need at least four colors (say 1,2,3,4), so $\chi(T_{K_4}^n) \geq 4$. Since each induced subgraph (K_4) has a shared two vertices (colored 1,2) with the adjacent induced subgraph (K_4) , then we can color the other vertices by the remained colors (3,4) so if we colored the vertices in one induced subgraph (K_4) by colors (1,2,3,4) clockwise, then we must color the adjacent induced subgraph (K_4) counter clockwise. In the same manner, we color the remained vertices in whole graph. In this way of coloring we guarantee there are no adjacent vertices having the same color. Thus, $\chi(T_{K_4}^n) = 4$.

ii) We choose the vertices from the bottom two rows r_{n+1} and r_n , since r_{n+1} has the greatest number of vertices which is $2n$. The maximum number of vertices which can be chosen in this row such that no vertex is adjacent to other one, is n and these vertices are dominating to all vertices in row r_n . Thus, in this case we cannot choose any vertex from row r_n . Again, the maximum number of vertices can be chosen from the row r_{n-1} which contains $2n-2$ vertices is $n-1$ vertices. We can choose these vertices as follows, at first we choose the terminal vertices in this row $v_{n-1,(n-3)}$ and $v_{n-1,(n-3)}$ and starting with vertex $v_{n-1,(n-3)}$, choose the vertices in the same row such that between any successive two vertices there is only one left vertex. Accordingly, we have seen that these vertices cannot dominate vertex $v_{n-2,(n-2)}$, therefore choose this vertex to add to an independent set. In the same manner to the

second chosen, we can choose $n-3$ from the row r_{n-3} which contains $2n-6$ vertices and one vertex from the row r_{n-4} , and so on..., (as an example, see Fig. 3.2).

There are two cases that depend on n as follows.

a) If n is odd then

$$\beta(K) = n + \sum_{k=0}^{\lfloor \frac{n-3}{2} \rfloor} (1 + (n - (2k + 1))).$$

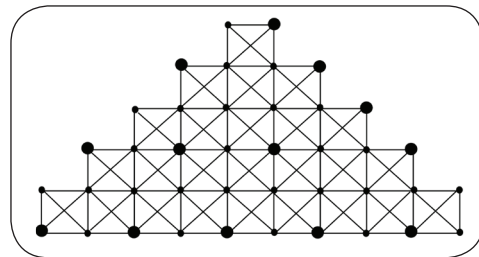


Fig 3.2 :Independence for $T_{K_4}^n$.

b) If n is even, then the last value of summation applies in row r_{-1} , so we choose only one vertex and cannot add a vertex in row above. Thus,

$$\beta(K) = n - 1 + \sum_{k=0}^{\lfloor \frac{n-3}{2} \rfloor} (1 + (n - (2k + 1))).$$

iii) To explain the idea of this proof, we take the three bottom rows. We can dominate these rows by choosing a number of vertices in row r_n . We apply the same idea for the following three rows. In any row, the maximum number of vertices can be dominated by one vertex which is three, by choosing this vertex in the middle of each three successive vertices. The row r_n contains $2n$, so we need at least $\lceil \frac{2n}{3} \rceil$ vertices to dominate this row. To dominate all the vertices of rows r_{n+1} , r_n and r_{n-1} by $\lceil \frac{2n}{3} \rceil$ vertices, we choose these vertices from the row r_n . In this chosen, we must choose the two vertices: $v_{(n),(n-2)}$ and $v_{(n),(n-2)}$, to assure dominating



G. In $G-e$, the vertex v becomes isolated, so we need to add it to the set D such that D becomes the dominating set. Thus, we get the result.

i,iii) In the same manner, $G-e$ has a new isolated vertex, so $\beta(G-e) \geq \beta(G)$ and $\chi(G-e) \leq \chi(G)$.

Proposition 2.10.

If G of order n has k isolated vertices, then

- i) $\beta(G), \gamma(G) \geq k + 1$.
- ii) $\chi(G) \leq n-k$.

Proof.

i) Since there are k isolated vertices then all these vertices belong to our dominating sets and to our independent sets. Let M be a set of k isolated vertices and assuming that $G[V-M]$ is a complete induced subgraph of G , therefore

$\beta(G[V-M]), \gamma(G[V-M])=1$, then $\beta(G), \gamma(G)=k+1$.

Otherwise,

$\beta(G[V-M]), \gamma(G[V-M])>1$, then $\beta(G), \gamma(G)>k+1$.

Thus, we get the result.

ii) In the same manner in (i) suppose that $G[V-M]$ is a complete induced subgraph of G , then $\chi(G) = n-k$, we need $n-k$ different colors, since we can color all isolated vertices by one color from $n-k$ different colors. Thus, we get the result.

3 K_4 -isosceles triangular graph.

In this section, we will define a new graph named K_4 -isosceles triangular graph is a result of augmenting n^2 of a complete graph of order 4(K_4), such that every two adjacent K_4 have one side in common, and the whole graph is an isosceles triangle with $(2i-1)$ of K_4 graphs per row, where $i=1,2,\dots,n$. We denoted this graph by $T_{K_4}^n$.

To represent the vertices of the graph $T_{K_4}^n$ in

matrix form, let r_i denote the i^{th} row measured from top to down, where $i = 1, 2, \dots, n+1$. The first row r_1 which contains two vertices, the second row r_2 which contains four vertices, and so on..., so in general the i^{th} row contains $2i$ vertices, except for the last row (r_{n+1}) which contains $2n$ vertices. Let c_j denote the j^{th} column which is numbered from the middle (the middle column has the greatest height of columns and contains two columns), where

$j = 0^{\pm}, \pm 1, \pm 2, \dots, \pm(i-1)$, $i = 1, 2, \dots, n$. Evidently, the middle columns c_0^{\pm} contain

$n+1$ vertices, and hence each of the two columns c_1 and c_{-1} which lies to the right of c_0^+ and to the left of c_0^- , respectively, contains n vertices. In general the j^{th} column contains $n - |j| + 1$ vertices. We denote the vertex of i^{th} row and j^{th} column by $v_{i,j}$, $i = 1, 2, \dots, n$ and $j = 0^{\pm}, \pm 1, \pm 2, \dots, \pm(i-1)$. The number of vertices in this graph is $n(n+3)$. Fig. 3.1 shows $T_{K_4}^5$.

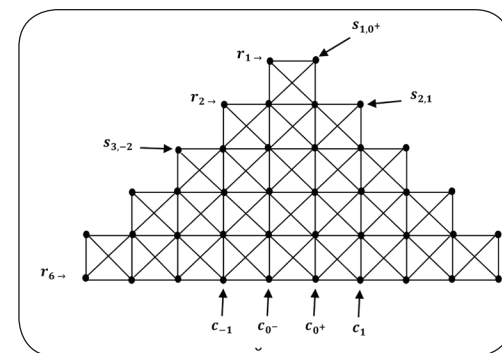


Fig 3.1: $T_{K_4}^5$.

Theorem 3.1.

Let G be an isosceles triangular graph $T_{K_4}^n$, then

- i) $\chi(T_{K_4}^n) = 4$.

$$\text{ii) } \beta(T_{K_4}^n) = \begin{cases} n + \sum_{k=0}^{\left[\frac{n-3}{2}\right]} (1 + (n - (2k+1))), & \text{if } n \text{ is odd} \\ n - 1 + \sum_{k=0}^{\left[\frac{n-3}{2}\right]} (1 + (n - (2k+1))), & \text{if } n \text{ is even} \end{cases}$$



kmakea partition of the set of vertices V since $V = \bigcup M_i$ and $M_i \cap M_j = \emptyset \forall i \neq j$. So, this graph is k -colorable by assigning one color to each class $M_i, i=1,2,\dots,k$, thus $\chi(G) \leq |M|$. The graph G cannot be $(k-1)$ -colorable, since in this case we obtain two sets from the set M having the same color and this is impossible. Therefore, $\chi(G) = k$.

Remark 2.6.

Let G be any graph of order n , then

i) If $\chi(G) = 1$, then G is null graph. Thus, $\beta(G) = n = \gamma(G)$

ii) If G is connected and $\chi(G) = 2$, then G is a bipartite graph with two sets of vertices V_1 and V_2 , $|V_1| = m$ and $|V_2| = n$. Then, $\gamma(G) \geq 2$ and $\beta(G) = \max\{m, n\}$.

iii) If $\chi(G) = n$, then G is complete graph. Thus, $\beta(G) = 1 = \gamma(G)$.

Proposition 2.7.

If G is a graph and H is an induced subgraph of G , then

- i) $\chi(G) \geq \chi(H)$ [5].
- ii) $\beta(G) \geq \beta(H)$.
- iii) There is no relation between $\gamma(G)$ and $\gamma(H)$.

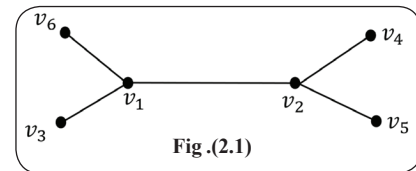
Proof.

ii) Since every edge in H is a member in E (the set of edges in G), so the independent vertices in H are less than or equal to those in G . Thus, $\beta(G) \geq \beta(H)$.

iii) There is no relation between $\gamma(G)$ and $\gamma(H)$. To illustrate this we take the following example.

Example 2.8.

Let G be a graph shown in Fig .(2.1)



Now, it is obvious that $\gamma(G) = 2$

Let H_1 be an induced subgraph of vertices $\{v_3, v_4, v_5, v_6\}$, then $4 = \gamma(H_1) > \gamma(G)$.

Let H_2 be an induced subgraph of vertices $\{v_1, v_2\}$, then $1 = \gamma(H_2) < \gamma(G)$.

Let H_3 be an induced subgraph of vertices $\{v_1, v_2, v_3, v_4, v_5\}$, then $2 = \gamma(H_3) = \gamma(G)$.

Proposition 2.9.

Let G be any graph, then

- i) $\gamma(G-e) \geq \gamma(G)$.
- ii) $\beta(G-e) \geq \beta(G)$.
- iii) $\chi(G-e) \leq \chi(G)$.

Proof.

i) Suppose G has a dominating set with the smallest cardinality D that mean that

$\gamma(G) = |D|$. If we delete any edge e from G , then we obtain a new graph $G-e$, so there are three cases as follows.

a) $\gamma(G-e) < \gamma(G)$, which is impossible.

b) $\gamma(G-e) = \gamma(G)$ this case may occur where deleting an edge do not influence the dominating set to all vertices. For example when e join two vertices which do not belong to the dominating set.

c) $\gamma(G-e) > \gamma(G)$, again this case may occur, for example, let $e=uv$ where v is a pendant vertex in G , such that u is dominates the vertex v in a graph



chromatic, domination, and independence numbers with special restrictions are determined as follows.

Theorem 2.1.

Let G be a connected graph of order n and contain an induced complete subgraph of order $\lceil \frac{n}{2} \rceil$, then $\gamma(G) \leq \chi(G)$.

Proof.

By hypothesis G contains an induced complete subgraph of order $\lceil \frac{n}{2} \rceil$, so we need at least $\lceil \frac{n}{2} \rceil$ colors to guarantee that every two adjacent vertices have different colors therefore, $\chi(G) \geq \lceil \frac{n}{2} \rceil$. We know that every vertex in the induced complete subgraph dominates to all vertices in this subgraph, so we can dominate $\lceil \frac{n}{2} \rceil$ (order of induced subgraph) by only one vertex. Every vertex v does which does not belong to the induced complete subgraph must be adjacent to at least one vertex since G is connected graph. Therefore, there are two cases:

Case 1. If v is adjacent to a vertex u in the induced complete subgraph then u dominates to at least $\lceil \frac{n}{2} \rceil + 1$ vertices, thus $\gamma(G) \leq \lceil \frac{n}{2} \rceil + 1$.

Case 2. If v is adjacent to a vertex which does not belong to the induced complete subgraph then w is dominated by v , thus $\gamma(G) \leq \lceil \frac{n}{2} \rceil$. Therefore, in both cases, $\gamma(G) \leq \lceil \frac{n}{2} \rceil \leq \chi(G)$.

Proposition 2.2.

Let G be a connected graph of order n and contain an induced complete subgraph of order $\lceil \frac{n}{2} \rceil$ and $G-K_{\lceil \frac{n}{2} \rceil}$ is a non-null graph, then $\beta(G) \leq \chi(G)$.

Proof.

In the same manner in Theorem 2.1, we obtain

$\chi(G) \geq \lceil \frac{n}{2} \rceil$. $G-K_{\lceil \frac{n}{2} \rceil}$ is a non-null graph, so there is at least one edge in $G-K_{\lceil \frac{n}{2} \rceil}$. Thus, the maximum number of independent vertices in $G-K_{\lceil \frac{n}{2} \rceil}$ is $\lceil \frac{n}{2} \rceil - 1$, then $\beta(G) \leq \lceil \frac{n}{2} \rceil$.

Therefore, $\beta(G) \leq \chi(G)$.

Corollary 2.3.

Let G be a connected graph of order n and contains an induced complete subgraph of order $\lceil \frac{n}{2} \rceil$ and $G-K_{\lceil \frac{n}{2} \rceil}$ is non-null graph, then $\gamma(G) \leq \beta(G) \leq \chi(G)$.

Proposition 2.4.

In a cycle graph of order n ; $n \geq 3$
 $\chi(G) = \beta(G) = \gamma(G)$, if and only if either $n=4$ or $n=7$.

Proof.

Let $\chi(G) = \beta(G) = \gamma(G)$, by Theorem 1.4 $\beta(G) = \gamma(G) = \lceil \frac{n}{2} \rceil$, for any cycle graph of order n . Therefore, there are two cases that depend on n as follows.

Case 1: If n is odd, then $\chi(G) = 3$ by [5], so $\lceil \frac{n}{2} \rceil = 3$ implies $n=7$.

Case 2: If n is even, then $\chi(G) = 2$ by [5], so $\lceil \frac{n}{2} \rceil = 2$ implies $n=4$.

Thus, we get the result.

Conversely, the assertion is clear.

Theorem 2.5.

If G is a graph, then $\chi(G) = |M|$ where $M = \{M_i; M_i$ is an independent set with largest cardinal in $\{G - \bigcup_{j=1}^{i-1} M_j\}\}$.

Proof.

Suppose that $|M|=k$, it is clear that $M_i, i=1, 2, \dots$,



1 Introduction

For a vertex $v \in V(G)$, the open neighborhood $N(v)$ is the set of all vertices adjacent to v , and the closed neighborhood of v is $N[v] = N(v) \cup \{v\}$.

Degree of a vertex v of any graph G is defined as the number of edges incident on v . It is denoted by $\deg(v)$ or $d(v)$ that means $d(v) = |N(v)|$. A vertex of degree 0 is an isolated vertex. The minimum and maximum degrees of vertices in G denoted by $\delta(G)$ and $\Delta(G)$, respectively. A null graph is defined as a graph without any edges. $G-e$ is the graph obtained from a graph G by deleting the edge e of a graph G . A graph is called complete of order n (K_n) if each vertex is of degree $n-1$. A subgraph H of a graph G is said to be induced (or full) if, for any pair of vertices x and y of H , xy is an edge of H if and only if xy is an edge of G . If H is an induced subgraph of G with S is a set of its vertices then H is said to be induced by S and denoted by $G[S]$. An independent set or stable set is a set of vertices in a graph G , where no two of which are adjacent. An independence number denoted by $\beta(G)$ of a graph G is the cardinality of a maximum independent set of G . A set $D \subseteq V(G)$ is a dominating set in G if $N(v) \cap D \neq \emptyset$; for every vertex $v \in V(G) - D$. The domination number of G , denoted by $\gamma(G)$, is the minimum cardinality over all dominating sets in G .

Various types of domination of a graph G have been defined and studied by several authors and more than 75 models of domination are listed in the Appendix of Haynes [6].

A vertex-coloring of G is an assignment of colors to all its vertices such that all pairs of

adjacent vertices are assigned different colors. The chromatic number $\chi(G)$ is the smallest number of colors necessary for coloring G .

In [5] A.A.Omran and E.A. El-seidy found some relations between domination numbers and the independence number in some graphs. There are many restrictions to find the relations between chromatic and domination numbers with the largest degree in a graph and also the independence number with the degree of each vertex. The following theorems illustrate this relation with special restrictions.

Theorem 1.1, [1].

For any graph G , $\chi(G) \leq \Delta(G) + 1$ with equality if and only if either $\Delta(G) \neq 2$ and G has a subgraph $K_{(\Delta(G)+1)}$ as a connected component or $\Delta(G) = 2$ and G has a cycle C_{2k+1} as a connected component.

Theorem 1.2, [1].

For any graph G with $|G|=n$
 $\left\lceil \frac{n}{1+\Delta(G)} \right\rceil \leq \gamma(G) \leq n - \Delta(G)$.

Theorem 1.3, [3].

For any graph G ,
 $\beta(G) \geq \sum_{u \in V} \frac{1}{d(u)+1}$.

Theorem 1.4, [6].

For a cycle graph of order n ; $n \geq 3$
 $\beta(G) = \gamma(G) = \left\lceil \frac{n}{2} \right\rceil$.

2 Main results

In this section, the new relations between



Some Properties of Chromatic, Domination, and Independence Numbers of a Graph

Manal Najy Al-harere* and Ahmed Abd Ali Imran**

*Department of Applied Science, Technological University, Iraq.

**Department of Mathematics, College of Education for Pure Science, University of Babylon, Iraq

Received Date: 9/Jul/2015

Accepted Date: 11/Dec/2015

Abstract

Consider $G(E, V)$ be a finite, undirected and simple connected graph. This paper includes study of some properties that illustrate the relations between three numbers in a graph which are chromatic, domination, and independence with special restrictions. Finally, we compute these parameters in a new graph namely K_4 -isosceles triangular graph.

Keywords

Chromatic number, Domination number, Independence number, and -isosceles triangular graph

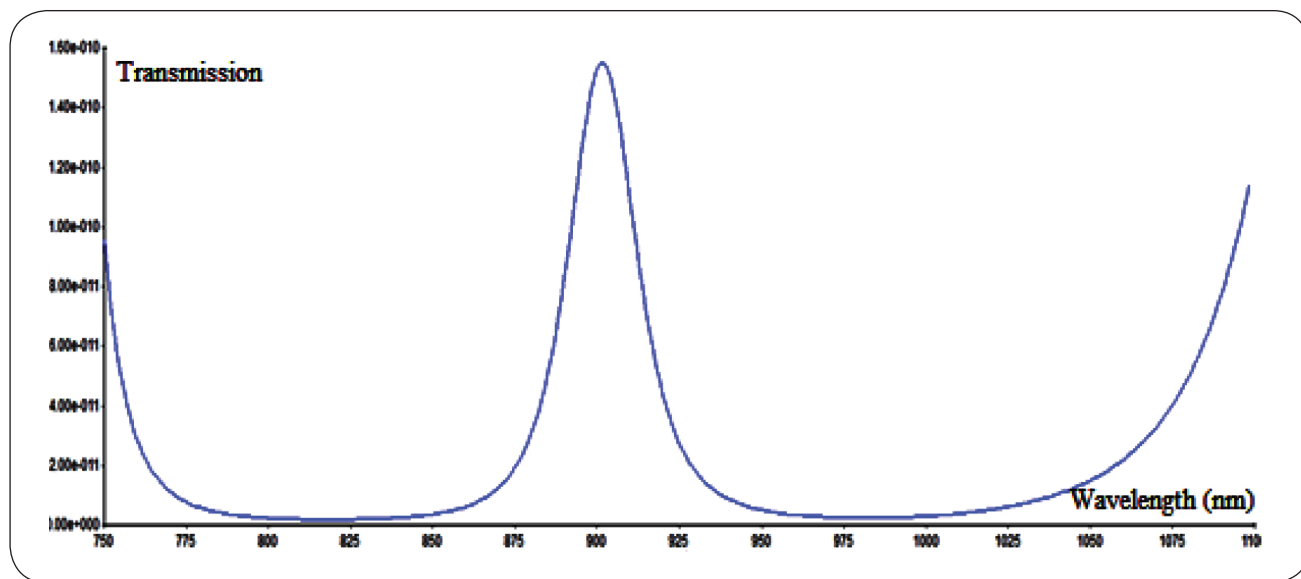


Fig. (3): Transmittance vs. wavelength for 2nd design (InGaAs/SiO₂/InGaAs) band-pass filter is used for as high/low/high index ($n_H = 3.68$ and $n_L = 1.46$), with wavelength range from (750-1100) nm and the design wavelength (900) nm.

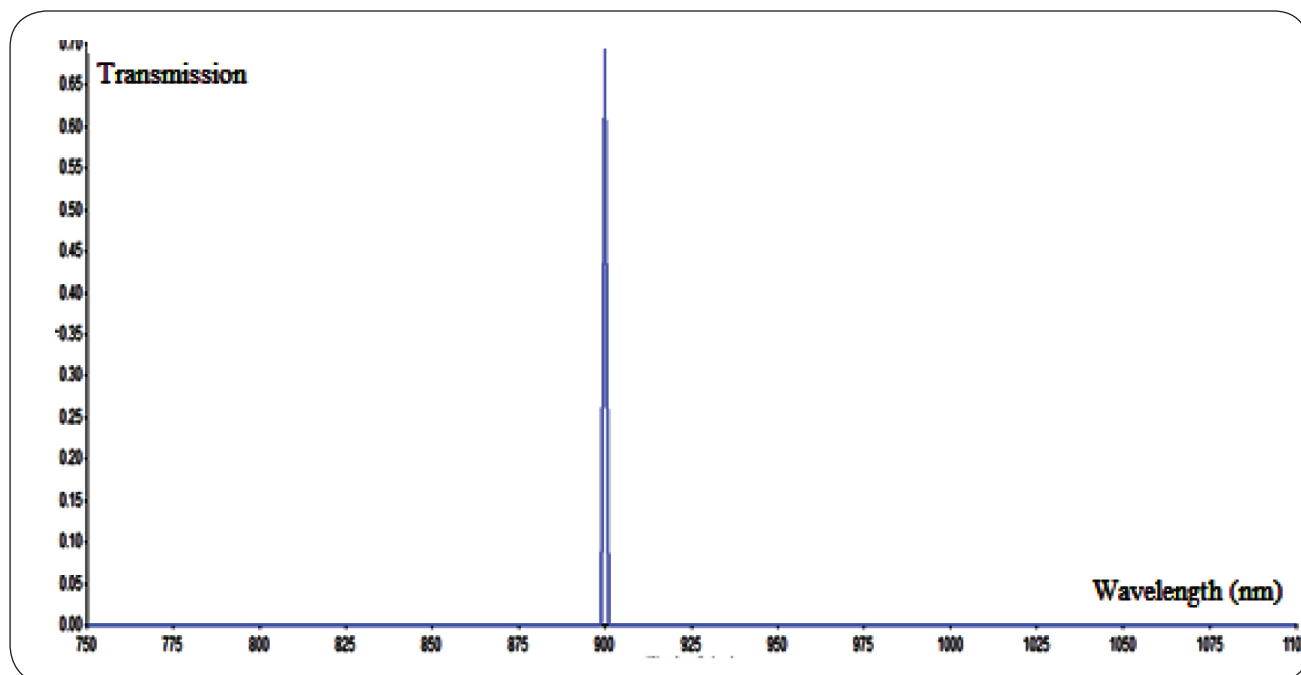


Fig. (4): Transmittance vs. wavelength for 3rd design (GaAs/SiO₂) band-pass filter is used for as high/low/high index ($n_H = 3.59$ and $n_L = 1.46$), with wavelength range from (750-1100) nm and the design wavelength (900) nm.

Conclusion

This research studied the theory of design and analysis of the band-pass filter. We conclude the fact that:

1. The refractive index and thickness of the membrane in multi-layered coating applications is very important to get a narrow laser pulse width.
2. Choosing the refractive index means choosing a coating material, which must be compatible with the base material that is through evaporation.
3. The effects of layers thickness and the refractive index on the transmission characteristics curve versus wavelength for each dielectric thin film multilayer's designs.

References

- [1] Lee. Cheng-Chung, C. Sheng-Hui, H. Jin-Cherng, and K. Chien-Cheng, «Fabrication of dense wavelength division multiplexing filters with large useful area», Optics and Photonics, Vol. 6286, (August 13-17, 2006).
- [2] Band Bass Filters: <https://www.knightoptical.com/stock/optical-components/uvvisnir-optics/filters/band-pass-filters/>.
- [3] Chronological and Biographical Reference Peter O. K. Krehl, History of Shock Waves Explosions and Impact, (2009).
- [4] H. A. Macleod, «Chapter-7 Band-pass filters», Third Edition, Series in Optics and Optoelectronics, Taylor & Francis, (2001).
- [5] V. K. H. Ghasemi, M. Orvatinia, A. Ebrahimi, «Design of Tunable Multiple- Cavity Filter for Optical FiberCommunication», ACSIJ: www.acsij.org, Vol. 2, Issue 3, No. 4, pp. 48 -53 , (2013).

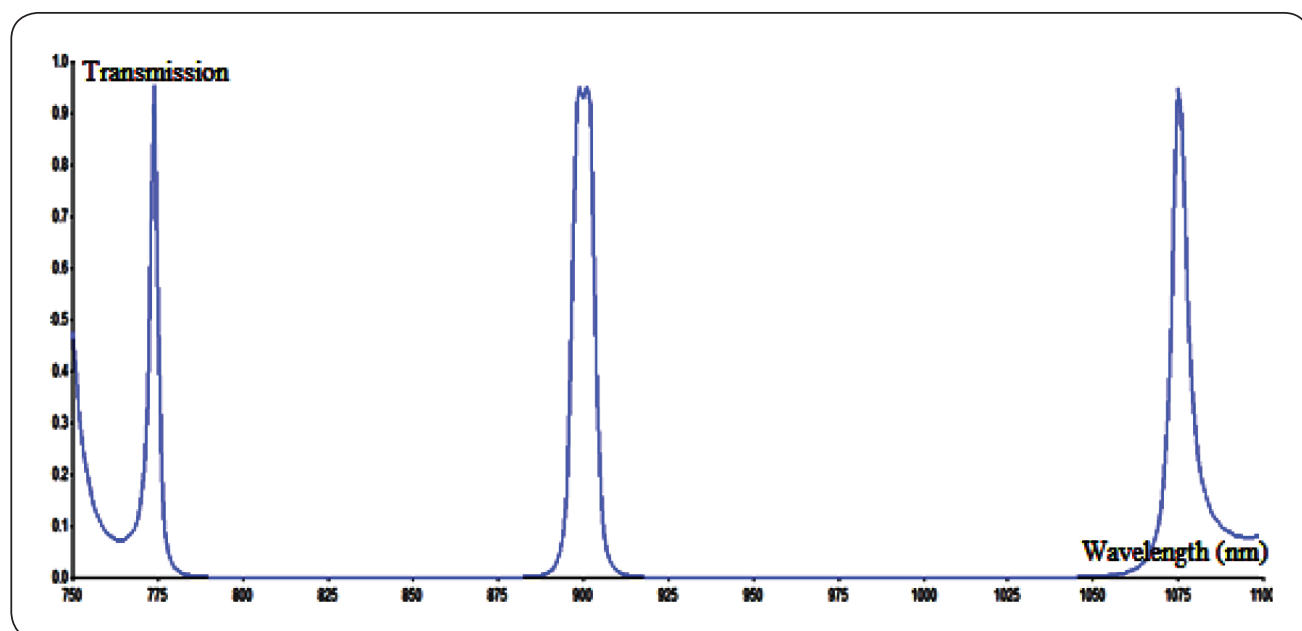


Fig. (2): Transmittance vs. wavelength for 1st design (TiO₂/SiO₂/TiO₂) band-pass filter is used for as high/low index ($n_H = 2.230$) and ($n_L = 1.460$), with wavelength range from (750-1100) nm and the design wavelength (900) nm.

While, Table (2) and Table (3) show the constructions parameters for the 2nd design In GaAs/SiO₂/InGaAs ($n_H=3.68$ and $n_L=1.46$) and 3rd design GaAs/SiO₂/GaAs ($n_H=3.59$ and $n_L=1.46$) respectively.

Table (2): Layer structure of 2nd design narrow band-pass filter.

No.	Materials	Thicknesses (nm)	No.	Materials	Thicknesses (nm)
1	InGaAs	61.034	17	InGaAs	61.034
2	SiO ₂	153.156	18	SiO ₂	153.156
3	InGaAs	61.034	19	InGaAs	61.034
4	SiO ₂	153.156	20	SiO ₂	153.156
5	InGaAs	61.034	21	InGaAs	61.034
6	SiO ₂	153.156	22	SiO ₂	153.156
7	InGaAs	61.034	23	InGaAs	61.034
8	SiO ₂	612.625	24	SiO ₂	612.625
9	InGaAs	61.034	25	InGaAs	61.034
10	SiO ₂	153.156	26	SiO ₂	153.156
11	InGaAs	61.034	27	InGaAs	61.034
12	SiO ₂	153.156	28	SiO ₂	153.156
13	InGaAs	61.034	29	InGaAs	61.034
14	SiO ₂	153.156	30	SiO ₂	153.156
15	InGaAs	61.034	31	InGaAs	61.034
16	SiO ₂	153.156			

Table (3): Layer structure of 3rd design narrow band-pass filter.

No.	Materials	Thicknesses (nm)	No.	Materials	Thicknesses (nm)
1	GaAs	62.608	17	GaAs	62.608
2	SiO ₂	153.156	18	SiO ₂	153.156
3	GaAs	62.608	19	GaAs	62.608
4	SiO ₂	153.156	20	SiO ₂	153.156
5	GaAs	62.608	21	GaAs	62.608
6	SiO ₂	153.156	22	SiO ₂	153.156
7	GaAs	62.608	23	GaAs	62.608
8	SiO ₂	612.625	24	SiO ₂	612.625
9	GaAs	62.608	25	GaAs	62.608
10	SiO ₂	153.156	26	SiO ₂	153.156
11	GaAs	62.608	27	GaAs	62.608
12	SiO ₂	153.156	28	SiO ₂	153.156
13	GaAs	62.608	29	GaAs	62.608
14	SiO ₂	153.156	30	SiO ₂	153.156
15	GaAs	62.608	31	GaAs	62.608
16	SiO ₂	153.156			

Characteristic of the transmission curve for the 1st, 2nd and 3rd design are shown in Fig. (2), Fig. (3) and Fig. (4).

The refractive indices of 1st, 2nd and 3rd design

are varied, so the desired optical profile of the assembly is obtained. The layers are replaced with stacks of high and low index materials.

$$= \frac{T_s(T_s + \Delta)}{\left(1 - R_s \left[1 - \frac{1}{2} \left(\frac{\Delta}{R_s}\right) + \dots\right]\right)^2} \dots (8)$$

Where: $R_a = R_b - \Delta = R_s - \Delta$,
 $T_a = T_b + \Delta = T_s + \Delta$, $\Delta < R_s$ and $R_s + T_s = 1$.

So, when the reflectance of the two surfaces are unequal, the maximum transmittance of the filter will decrease:

$$\approx \frac{T_s^2}{(1 - R_s)^2} \frac{1 + \frac{\Delta}{T_s}}{\left[1 + \frac{1}{2} \left(\frac{\Delta}{T_s}\right)\right]^2} \approx (1 + \frac{\Delta}{T_s})(1 - \frac{\Delta}{T_s}) \approx 1 - (\frac{\Delta}{T_s})^2 < 1 \dots (9)$$

Simulation Result and Discussion

In general, the narrow band-pass filters consists of two parts:

1. The actual design of the narrow band-pass characteristic (transition from low to high transmittance band, a high transmittance band, and the transition from high to low transmittance).
2. This type of blocking filters which provide a rejection in wavelength regions, where due

to their periodic nature, the narrow band-pass designs have high transmittance zones.

Transmission curve of these types of filters consists of a very sharp peak at the design wavelength. For most applications, the shape was undesirable. Instead, there is a more rectangular shape required with the high transmission zone extending over a range of wavelengths. A narrow band-pass filter has high transmittance in the narrow wavelength region (λ_1 to λ_2) and high rejection (low transmittance high reflectance) in all other wavelength regions ($\lambda > \lambda_2$ and $\lambda < \lambda_1$). And the structure of the most common multi-cavity band-pass filters (narrow band-pass filters) is a filter made up of all the dielectric and consisting of a quarter-wave optical thick layers for the mirrors and a half wave optical thick, or multiple half wave optical thick layers of spacers [5].

In this work we will limit ourselves to the narrow band-passes actual design. Table (1) shows layers thickness as a function of layers materials for 1st design $\text{TiO}_2/\text{SiO}_2$ as high/low/high index ($n_H = 2.230$ and $n_L = 1.460$).

Table (1): Layer structure of 1st design narrow band pass filter.

No.	Materials	Thicknesses (nm)	No.	Materials	Thicknesses (nm)
1	TiO_2	100.597	17	TiO_2	100.597
2	SiO_2	153.156	18	SiO_2	153.156
3	TiO_2	100.597	19	TiO_2	100.597
4	SiO_2	153.156	20	SiO_2	153.156
5	TiO_2	100.597	21	TiO_2	100.597
6	SiO_2	153.156	22	SiO_2	153.156
7	TiO_2	100.597	23	TiO_2	100.597
8	SiO_2	612.625	24	SiO_2	612.625
9	TiO_2	100.597	25	TiO_2	100.597
10	SiO_2	153.156	26	SiO_2	153.156
11	TiO_2	100.597	27	TiO_2	100.597
12	SiO_2	153.156	28	SiO_2	153.156
13	TiO_2	100.597	29	TiO_2	100.597
14	SiO_2	153.156	30	SiO_2	153.156
15	TiO_2	100.597	31	TiO_2	100.597
16	SiO_2	153.156			



$$\text{Where [2]: } T_{\max} = \frac{T_a T_b}{[1 - (R_a R_b)^{1/2}]^2}$$

$$F = \frac{4(R_a R_b)^{1/2}}{[1 - (R_a R_b)^{1/2}]^2} \quad , \quad \delta = \frac{2\pi}{\lambda} n_s d_s \cos \theta$$

Equation (1) propounds some information from Fabry-Perot interferometer.

Band pass Filters Mathematical Analyses

Perut device is a representation of the simpler design of the narrow band pass filter, it can take the form of the following equation |reflector |spacer |reflector|. And alternating layers as high/low index stack will be high reflectance at the design wavelength. There has been a form of Fig.(1). The maxima transmission happened when it is at the central wavelength . The relationship is as follows:

$$\phi = \frac{2\pi}{\lambda_p} n_s d_s \cos \theta - \frac{\phi_a + \phi_b}{2} = m\pi, \quad \dots(2)$$

$$m = 0, \pm 1, \pm 2, \pm 3, \dots$$

So, the central wavelengths are given by [1]:

$$\frac{1}{\lambda_p} = \frac{1}{2n_s d_s \cos \theta} \left(m + \frac{\phi_a + \phi_b}{2\pi} \right) \quad \dots(3)$$

If $\phi_a = \phi_b = 0$, meaning that the central wavelength of the filter is only dependent on the optical thickness of the spacer layer and the angle of incident. When changing the angle of incident, the central wavelength of the filter will therefore be shifted to the short wave side of the central wavelength [4].If the bands be sufficiently narrow, with F being sufficiently large enough, so near a peak we can replace [4]:

$$\sin^2 \left(\frac{1}{2} (\phi_a + \phi_b) - \delta \right) \text{ by: } (\Delta\delta)^2 \quad \dots(4)$$

We can calculate half width by noting that at the half-peak transmission points [4]:

$$\frac{1}{2} = \frac{1}{1 + F \sin^2 \left(\frac{1}{2} (\phi_a + \phi_b) - \delta \right)} \approx \frac{1}{1 + F(\Delta\delta)^2} \quad \dots(5)$$

So, we get the half width of the pass band

$$2\Delta\delta = \frac{2}{\sqrt{F}} \quad \text{or:}$$

$$\Delta\lambda_h = \frac{2\Delta\delta}{m\pi} \lambda_p = \frac{2}{m\pi\sqrt{F}} \lambda_p \quad \dots(6)$$

if case the reflecting surfaces are symmetric, we have $R_a = R_b = R_s$

$$\text{So, } \Delta\lambda_h = \frac{(1 - R_s)}{m\pi\sqrt{R_s}} \lambda_p$$

From the above equation, we can reduce the half width of the pass band, and we can use high order of m (increase the thickness of the spacer) or increase the reflectance of the reflecting surfaces. If the reflectances and transmittances of the two surfaces are equal, and let them be R_s and T_s , then the maximum transmittance can be written as: $T_{\max} = \frac{T_s^2}{[1 - R_s]^2}$. When absorption is neglected in the reflecting coating, the maximum transmittance should be equal to 1. However, if the absorption $A = 1 - T_s - R_s$, the maximum transmittance should be written as follows:

$$T_{\max} = \frac{T_s^2}{[1 - R_s]^2} = \frac{T_s^2}{[1 - (1 - T_s - A)]^2} = \frac{1}{\left(1 + \frac{A}{T_s}\right)^2} \quad \dots(7)$$

Therefore, the absorption will decrease the maximum transmittance of the filter. Besides, if the reflectances and transmittances of the two surfaces are unequal and the absorptions are negligible, the maximum transmittance of the filter can be written as follows:

$$T_{\max} = \frac{T_a T_b}{[1 - (R_a R_b)^{1/2}]^2} = \frac{T^2 (T_s + \Delta)}{[1 - (R_s (R_s - \Delta))^{1/2}]^2}$$

1. Introduction

Optical elements consist of surfaces which have the ability to control and adjust the light passing through it. Optical devices associated with the performance of these surfaces run effectively on reflection and absorption of light according to the desired application and percentages calculated in practice and light to determine the percentage of cases of reflection, absorption and transmission depending on the coating layers and the type of material used.

Depending on the Fabry Perot principle, we can discuss the basic design of the can at an arrow package of optical interference. This type of interference belongs to the category known as the standards of the multiple beams overlap, because there is a very large amount of radiations which are participating in the interference [1]. This scientific device Fabry and A. Perot in 1899 was designed to study the phenomenon of interference between multiple beams of light. Our high quality interference band passen filters passing narrow bandwidth light and reflecting every other light. In principle interference filters can be designed and manufactured to almost any specification of centre wavelength and band pass [2].

The standard ranges of stock filter are available from the range (214-2000) nm in many bandwidths from narrow 3nm FIN type up to (65-100) nm FIW type to meet various requirements [2]. The difference between the two lies in the fact that the design of Fabry Pero thus a flat surface that reflects search part. So multiple light rays are responsible for creating the observed interference patterns [3]. The device was shown in Fig. 1. Interior faces reflect an increase (95%), both of which reflected waves then falling multiple

reflections and parallel, so that, the mirror can be controlled to change the distance between them.

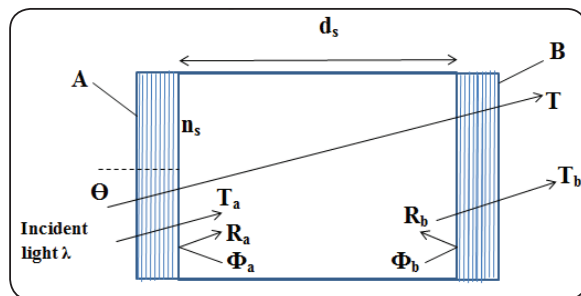


Fig. (1): Structure of a Fabry-Perot interferometer [2].

Fig. (1) shows the scheme Fabry Peru over lapin the form of graph. Fabry Peru design consists of two plates act as mirrors (A,B) of parallel reflective surfaces separated by (ds). Low transmission for all wavelengths except a series of very narrow bands transmission [4], in which the half of the central wavelengths are equal to integer number times of the spacer's optical thickness [4].

Where:

n_s : the refractive index of the material,

d_s : the physical thickness of the spacer,

Θ : the incident angle of the collimated light,

λ : the wavelength of the collimated light,

ϕ_a and ϕ_b : are the phase change of the light on the reflecting surface and .

T_a and T_b : are the transmittances of the reflecting surface and , and

R_a and R_b : are the reflectance of the reflecting surface and .

The amplitude reflection and transmission coefficients are defined as shown below. Basic theory of the multiple-beam interferometers shows that the transmittance of the plane wave is given by [1]:

$$T = T_{\max} \cdot \left[\frac{1}{1 + F \sin^2 \left(\frac{1}{2} (\phi_a + \phi_b) - \delta \right)} \right] \dots (1)$$



Abstract

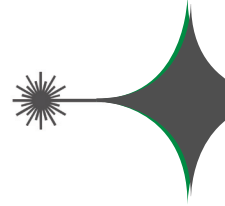
Both thickness and refractive index of a multi-layered membrane have a great effect on getting a narrow pulse width. So choosing the coating material should be regarded with accuracy of refractive index. The thickness of multilayer of coating has an important effect on type of multilayered coating material and at the end has a great role on cost control.

In this paper we will get analysis and design of different kinds of filters named band-pass filter, by choosing materials for different coating to have less possible narrow pulse width. The 1st design is $\text{TiO}_2/\text{SiO}_2$, 2nd design In GaAs/SiO_2 and 3rd design is GaAs/SiO_2 , each of these designs consists of a number of layers (31) are presented respectively. These designs consist of two materials high/low index with wavelength range from (750-1100) nm and the design wavelength is (900) nm.

From this study we get the effect of thickness and refractive index by having the transmission characteristics curve versus wavelength for any type of dielectrics thin film of multilayered membrane. At the end we get optimal design for a narrow laser pulse width.

Keywords

Band-pass filter, $\text{TiO}_2/\text{SiO}_2$, InGaAs/SiO_2 , GaAs/SiO_2 , Narrow laser pulse width



Effects of Thin Film Multi Layers Thickness and Refractive Index on Narrowband Filters Transmission's

Elham Jasim Mohammad

Department of Physics, College of Sciences, Al-Mustansiriyah University, Iraq

Received Date: 1/Jul/2015

Accepted Date: 17/Apr/2016

الملاصقة

في هذا البحث، قمنا بدراسة تصميمية وتحليلية نظرية لنوع من المرشحات المسماة بمرشحات تقرير الحزم. أن اختيار المواد وأختلاف عدد طبقات التصاميم الغرض منه هو الحصول على عرض نبضة ضيق أقل ما يمكن. التصميم الاول TiO_2/SiO_2 ، التصميم الثاني $inGaAs/SiO_2$ والتصميم الثالث $GaAs/SiO_2$ كلاً من هذه التصاميم تتكون من (31) طبقة وتم عرضها على التوالي. وتكون هذه التصاميم من اثنين من المواد ذات معاملات الانكسار عالي/ واطئ ضمن نطاق الطيف الموجي (750-1100) نانومتر، والمطابق التصميم (900) نانومتر.

تظهر التتائج تأثير سمك الطبقات ومعامل الانكسار على منحنى النفوذية والطول الموجي لجميع تصاميم متعدد الطبقات العازلة. ومن خلال التتائج التي حصلنا عليها عرضنا أفضل تصميم لهذا النوع من المشحثات للحصول على نسبات الليزر الضيقة.

الكلمات المفتاحية

مرشحات تغذية الحزم، $\text{TiO}_2/\text{SiO}_2$ ، GaAs/SiO_2 ، نصاف اللبز، الضيقة

Let $\|g\|_q = c(q)$, and by Theorem 3.2 we get:

$$\|\tilde{\Delta}B_t B_t f\|_p - \varepsilon \leq \frac{c(q)}{t} \|g\|_q \cdot \frac{c(p)}{\tau} \|f\|_p$$

$$\leq \frac{c^2(q) c(p)}{t\tau} \|f\|_p.$$

ε is arbitrary, implies our result for $r = 1$
Repeating the above we get

$$\|\tilde{\Delta}^r B_{\tau_1} \dots B_{\tau_{2r}} f\|_p \leq \frac{c_r(p)}{\tau_1 \dots \tau_{2r}} \|f\|_p, \quad p < 1 \blacksquare$$

3.3. Corollary

For $f \in L_p(U^{d-1})$, $p < 1$, and $B_t(f, x)$ given by (1.1), we have

$$\|\tilde{\Delta}B_t^m(f, x)\|_p \leq \frac{c(p)}{t^2} \|f(x)\|_p$$

3.4. Theorem

For $f \in L_p(U^{d-1})$, $p < 1$, and $B_t(f, x)$, $K(f, \tilde{\Delta}, t^2)$ are given by (1.1), (1.4) we have, for some M independent of f , p or t

$$K(f, \tilde{\Delta}, t^2)_p \approx \|f - B_t f\|_p + \|f - B_{t/M} f\|_p$$

Proof :

We note that we need to show only that

$$K(f, \tilde{\Delta}, t^2)_p \approx \|f - B_t f\|_p + \|f - B_{t/M} f\|_p$$

We use Lemma 2.2 to write

$$\begin{aligned} \|B_{t/M} B_t^4 f - B_t^4 f - \alpha(t) \tilde{\Delta} B_t^4 f\|_p &\leq c(p) \frac{t^4}{M^4} \|\tilde{\Delta}^2 B_t^4 f\|_p \\ &\leq c(p) \frac{t^4}{M^4} \|\tilde{\Delta} B_t^2 f \tilde{\Delta} B_t^2 f\|_p \\ &\leq c(p) \frac{t^4}{M^4} \cdot \frac{c(p)}{t^2} \|\tilde{\Delta} B_t^2 f\|_p \\ &\leq c(p) \frac{t^2}{M^4} \|\tilde{\Delta} B_t^2 f\|_p \end{aligned}$$

By Lemma 2.3

$$\begin{aligned} \|B_{t/M} B_t^4 f - B_t^4 f - \alpha(t) \tilde{\Delta} B_t^4 f\|_p \\ \leq c(p) \frac{t^2}{M^4} \|\tilde{\Delta} B_t^4 f\|_p + c(p) \frac{t^2}{M^4} \|\tilde{\Delta} B_t^2(f - B_t^2 f)\|_p \end{aligned}$$

$$\leq c(p) \frac{t^2}{M^4} \|\tilde{\Delta} B_t^4 f\|_p + c(p) \frac{2}{M^4} \|f - B_t^2 f\|_p$$

Choosing M independent of f and t to have

$$c(p) \frac{t^2}{M^4} \|\tilde{\Delta} B_t^4 f\|_p \leq \frac{1}{2} \alpha\left(\frac{t}{M}\right) \|\tilde{\Delta} B_t^4 f\|_p$$

Then we get :

$$K(f, \tilde{\Delta}, t^2)_p \leq c(p) \|f - B_t f\|_p + \|f - B_{t/M} f\|_p \blacksquare$$

References

- [1] W.Chen and Z. Ditzian, Best approximation and K- functionals, Acta, Hungar .75 , No.3, 165-208, (1997).
- [2] E. Bhaya, On the constrained and un constrained approximation Ph . D. Thesis , Baghdad University , Iraq, (2003).
- [3] Z. Ditzian and K. Runovskii , Averages and K- functional related to the Laplacian , J.Approx. Theory , 7, 113-139, (1999).
- [4] V .H .Hristov and K. G. Ivanov , Realization of K- functionals on subsets and constrained approximation , math. Balkanica (N . s .) 4, 236-257, (1990).
- [5] Z.Ditzian and K.Runovskii , Averages and K- functional related to the Laplacian , Recived May , 13, 128-131, (1997).

$$\begin{aligned}
&= \left| \frac{1}{\varphi(t)} \int_{\Omega} \left[f(v + x \cos t + \xi \sqrt{(1 - |v|^2) - \cos^2 t}) \alpha(t, v) \right. \right. \\
&\quad \left. \left. - f(x + x \cos t - \xi \sqrt{(1 - |v|^2) - \cos^2 t}) \beta(t, v) \right] dv \right| \\
&\leq \frac{2}{\varphi(t)} \left\{ \int_{\Omega} \left| f(v + x \cos t + \xi \sqrt{(1 - |v|^2) - \cos^2 t}) \right| dv \right. \\
&\quad \left. + \int_{\Omega} \left| f(v + x \cos t + \xi \sqrt{(1 - |v|^2) - \cos^2 t}) \right| dv \right\}
\end{aligned}$$

Since $\int_{U^{d-1}} f(x) dx \leq [\text{measure of } U^{d-1}] [\max_{x \in U^{d-1}} f(x)]$.

$$\text{Then} : \left| \frac{\partial}{\partial \xi} B_t(f, x) \right| \leq \frac{2\psi(t)}{\varphi(t)} S_t(|f|, x)$$

$$|grad_{tan} B_t(f, x)| = \max_{\xi \perp x} \left| \frac{\partial}{\partial \xi} B_t(f, x) \right|.$$

Then we get, for $p < 1$ and $f \in L_p^1(U^{d-1})$, that

$$\begin{aligned}
\|grad_{tan} B_t(f, x)\|_p &= \int_{U^{d-1}} (|grad_{tan} B_t(f, x)|^p dx)^{1/p} \\
&= \int_{U^{d-1}} \left(\max_{\xi \perp x} \frac{\partial}{\partial \xi} B_t(f, x) \right)^p dx^{1/p} \\
&\leq \int_{U^{d-1}} \left(\left| \frac{2\psi(t)}{\varphi(t)} S_t(|f|, x) \right|^p dx \right)^{1/p} \\
&\leq \frac{2\psi(t)}{\varphi(t)} \|S_t(|f|, x)\|_p
\end{aligned}$$

since $\frac{2\psi(t)}{\varphi(t)} \leq \frac{c(p)}{t}$, then:

$$\begin{aligned}
\|grad_{tan} B_t(f, x)\|_p &\leq \frac{c(p)}{t} \left\| \frac{1}{\psi(t)} \int_{x, y = cost} f(x) d\gamma(x) \right\|_p \\
&\leq \frac{c(p)}{t} \|f\|_p \blacksquare
\end{aligned}$$

3.2. Theorem

For $f \in L_p(U^{d-1})$, $p < 1$. Then

$$\|\tilde{\Delta}^r B_{\tau_1} \dots B_{\tau_{2r}} f\|_p \leq \frac{c_r(p)}{\tau_1 \dots \tau_{2r}} \|f\|_p.$$

Proof :

$$\text{Since } \|\tilde{\Delta} B_t B_{\tau} f\|_p - \varepsilon \leq \|\tilde{\Delta} B_t B_{\tau} f\|_0 - \varepsilon, \quad \theta \geq 1$$

We choose g as in Remark 2.5, then we get :

$$\|\tilde{\Delta} B_t B_{\tau} f\|_p - \varepsilon \leq \|grad_{tan} B_t g\|_{\theta} \cdot \|grad_{tan} B_{\tau} f\|_p$$

$$\begin{aligned}
&\text{If } \theta \geq 1, \text{ and } \frac{1}{\theta} + \frac{1}{\theta} = 1 \\
&\|grad_{tan} B_t g\|_{\theta} = \left(\int_{U^{d-1}} |grad_{tan} B_t g|^{\theta} dx \right)^{1/\theta} \\
&= \left(\int_{U^{d-1}} |grad_{tan} B_t g|^{\frac{\theta+1-\frac{1}{\theta}}{\theta}} dx \right)^{\frac{1}{\theta}} \\
&\leq \left(\int_{U^{d-1}} |grad_{tan} B_t g|^{\frac{\theta-1}{\theta}} |grad_{tan} B_t g|^{\frac{1}{\theta}} dx \right)^{\frac{1}{\theta}} \\
&= \left(\int_{U^{d-1}} |grad_{tan} B_t g|^{\frac{\theta-1}{\theta}} |grad_{tan} B_t g|^{\frac{1}{\theta}} dx \right)^{\frac{1}{\theta}}
\end{aligned}$$

Assume that $\frac{1}{\theta} = q$, so $\theta = \frac{1}{q}$, and $q < 1$, then

$$\begin{aligned}
\|grad_{tan} B_t g\|_{\theta} &\leq \left(\int_{U^{d-1}} |grad_{tan} B_t g|^{\frac{1}{q}-q} |grad_{tan} B_t g|^q dx \right)^{q-\frac{1}{q}} \\
&= \left(\int_{U^{d-1}} |grad_{tan} B_t g|^{\frac{1}{q}-q+q} dx \right)^{q-\frac{1}{q}+\frac{1}{q}} \\
&= \left(\int_{U^{d-1}} |grad_{tan} B_t g|^{\frac{1}{q} \times q^2} dx \right)^{q \times \frac{1}{q^2}} \\
&= \left(\int_{U^{d-1}} |grad_{tan} B_t g|^q dx \right)^{\frac{1}{q}} \\
&= \|grad_{tan} B_t g\|_q, \quad q < 1 \quad(3.1)
\end{aligned}$$

And

$$\begin{aligned}
\|grad_{tan} B_{\tau} f\|_{\theta} &= \left(\int_{U^{d-1}} |grad_{tan} B_{\tau} f|^{\theta} dx \right)^{\frac{1}{\theta}} = \left(\int_{U^{d-1}} |grad_{tan} B_{\tau} f|^{\theta+\frac{1}{\theta}-\frac{1}{\theta}} dx \right)^{\frac{1}{\theta+\theta-\theta}} \\
&\leq \left(\int_{U^{d-1}} |grad_{tan} B_{\tau} f|^{\theta-\frac{1}{\theta}} |grad_{tan} B_{\tau} f|^{\frac{1}{\theta}} dx \right)^{\frac{1}{\theta-\theta}} \left(\int_{U^{d-1}} |grad_{tan} B_{\tau} f|^{\theta-\frac{1}{\theta}} |grad_{tan} B_{\tau} f|^{\frac{1}{\theta}} dx \right)^{\theta}
\end{aligned}$$

Assume that $\frac{1}{\theta} = p$ so $\theta = \frac{1}{p}$ and $p < 1$, then

$$\begin{aligned}
\|grad_{tan} B_{\tau} f\|_{\theta} &= \left(\int_{U^{d-1}} |grad_{tan} B_{\tau} f|^{\frac{1}{p}-p} |grad_{tan} B_{\tau} f|^p dx \right)^{\frac{1}{p-\frac{1}{p}}} \left(\int_{U^{d-1}} |grad_{tan} B_{\tau} f|^{\frac{1}{p}-p} |grad_{tan} B_{\tau} f|^p dx \right)^{\frac{1}{p}} \\
&= \left(\int_{U^{d-1}} |grad_{tan} B_{\tau} f|^{\frac{1}{p}-p+p} dx \right)^{\frac{p-1}{p}} \\
&= \left(\int_{U^{d-1}} |grad_{tan} B_{\tau} f|^{\frac{1}{p} \times p^2} dx \right)^{p^{\frac{1}{p^2}}} \\
&= \left(\int_{U^{d-1}} |grad_{tan} B_{\tau} f|^p dx \right)^{\frac{1}{p}} \\
&= \|grad_{tan} B_{\tau} f\|_p, \quad p < 1 \quad(3.2)
\end{aligned}$$

From (3.1) and (3.2), we get:

$$\|\tilde{\Delta} B_t B_{\tau} f\|_p - \varepsilon \leq \|grad_{tan} B_t g\|_q \cdot \|grad_{tan} B_{\tau} f\|_p, \quad \text{where: } p < 1, q < 1 \text{ and } p + q = 1$$

where ; $0 < At^2 \leq \alpha(t) \leq Bt^2$

Proof :

We can use Lemma 2.1

and write $B_t(g, x) - g(x) =$

$$\begin{aligned} & \frac{1}{\varphi(t)} \int_0^t \sin^{d-2} \theta \int_0^\theta \sin^{2-d} \rho \varphi(\rho) B_\rho(\tilde{\Delta}g, x) d\rho d\theta \\ &= \frac{1}{\varphi(t)} \int_0^t \sin^{d-2} \theta \int_0^\theta \sin^{2-d} \rho \varphi(\rho) (B_\rho(\tilde{\Delta}g, x) + \tilde{\Delta}g - \tilde{\Delta}g) d\rho d\theta \\ &= \tilde{\Delta}g \left(\frac{1}{\varphi(t)} \int_0^t \sin^{d-2} \theta \int_0^\theta \sin^{2-d} \rho \varphi(\rho) d\rho d\theta \right) + \\ & \quad \frac{1}{\varphi(t)} \int_0^t \sin^{d-2} \theta \int_0^\theta \sin^{2-d} \rho \varphi(\rho) (B_\rho(\tilde{\Delta}g, x) - \tilde{\Delta}g) d\rho d\theta \\ &= \alpha(t) \tilde{\Delta}g(x) + ct^2 (B_t(\tilde{\Delta}g, x) - \tilde{\Delta}g(x)) \end{aligned}$$

$$B_t(g, x) - g(x) - \alpha(t) \tilde{\Delta}g(x) = ct^2 (B_t(\tilde{\Delta}g, x) - \tilde{\Delta}g(x))$$

$$\begin{aligned} \|B_t(g, x) - g(x) - \alpha(t) \tilde{\Delta}g(x)\|_p &\leq ct^2 \|B_t(\tilde{\Delta}g, x) - \tilde{\Delta}g(x)\|_p \\ &\leq ct^2 \|\tilde{\Delta}B_t(g, x) - \tilde{\Delta}g(x)\|_p \\ &\leq ct^2 \|\tilde{\Delta}(B_t(g, x) - g(x))\|_p \\ &\leq ct^2 \left\| \tilde{\Delta} \left(\frac{1}{\varphi(t)} \int_0^t \sin^{d-2} \theta \int_0^\theta \sin^{2-d} \rho \varphi(\rho) B_\rho(\tilde{\Delta}g, x) d\rho d\theta \right) \right\|_p \\ &\leq ct^2 \left\| \frac{1}{\varphi(t)} \int_0^t \sin^{d-2} \theta \int_0^\theta \sin^{2-d} \rho \varphi(\rho) \tilde{\Delta}B_\rho(\tilde{\Delta}g, x) d\rho d\theta \right\|_p \\ &\leq ct^2 \left\| \frac{1}{\varphi(t)} \int_0^t \sin^{d-2} \theta \int_0^\theta \sin^{2-d} \rho \varphi(\rho) B_\rho(\tilde{\Delta}^2g, x) d\rho d\theta \right\|_p \\ &\leq ct^2 \|\tilde{\Delta}(B_t(g, x) - g(x))\|_p \\ &\leq ct^2 \|\tilde{\Delta}(B_t(g, x) - g(x))\|_p \blacksquare \end{aligned}$$

2.3. Lemma

For $f \in L_p(U^{d-1})$, $p < 1$, and $B_t(f, x)$ given by (1.1), $\tilde{\Delta}$ is the Laplace – Beltrami , then we get

$$\begin{aligned} \|\tilde{\Delta}B_t^2 f(x)\|_p &= \|\tilde{\Delta}B_t^2 f(x) + \tilde{\Delta}B_t^4 f(x) - \tilde{\Delta}B_t^4 f(x)\|_p \\ &\leq \|\tilde{\Delta}B_t^4 f(x)\|_p + \|\tilde{\Delta}B_t^2 f(x) - \tilde{\Delta}B_t^4 f(x)\|_p \\ &\leq \|\tilde{\Delta}B_t^4 f(x)\|_p + \|\tilde{\Delta}B_t^2 (f(x) - \tilde{\Delta}B_t^2 f(x))\|_p. \end{aligned}$$

2.4. Lemma [1]

If ξx , $B_t(f, x)$ is given by

$$B_t(f, x) = \frac{1}{\varphi(t)} \int_{\Omega} \int_{-\kappa}^{\kappa} f(v + (x \cos \theta + \xi \sin \theta) \sqrt{1 - |v|^2}) d\theta dv$$

where;

$$\varphi(t) = \frac{2\pi^{(d-1)/2}}{\Gamma(\frac{d-1}{2})} \int_0^t \sin^{d-2} u du$$

$$\Omega = B_{x, \xi} \text{ sint} = \{v : v \cdot x = 0, v \cdot \xi = 0, |v| \leq \text{ sint}\},$$

$$\kappa = \arccos (cost / \sqrt{1 - |v|^2})$$

$$\frac{\partial}{\partial \xi} B_t(f, x) = \frac{1}{\varphi(t)} \int_{\Omega} \left[\begin{aligned} & f(v + x \cos \theta + \xi \sqrt{1 - |v|^2 - \cos^2 \theta}) \alpha(t, v) - \\ & f(v + x \cos \theta - \xi \sqrt{1 - |v|^2 - \cos^2 \theta}) \beta(t, v) \end{aligned} \right] dv,$$

where $\alpha(t, v)$ and $\beta(t, v)$ are close to 1 and are bounded by 1

2.5. Remark [4]

For $f \in L_\theta(U^{d-1})$, $1 \leq \theta \leq \infty$, there exists $g \in L_\theta(U^{d-1})$, $1 \leq \theta' \leq \infty$ such that for $\frac{1}{\theta} + \frac{1}{\theta'} = 1$, We have :

$$\begin{aligned} \|\tilde{\Delta}B_t B_{\tau} f\|_\theta - \varepsilon &\leq |\langle g, \tilde{\Delta}B_t B_{\tau} f \rangle| \\ &\leq |\langle g, B_t \tilde{\Delta}B_{\tau} f \rangle| \\ &\leq |\langle B_t g, \tilde{\Delta}B_{\tau} f \rangle| \\ &\leq |\langle \text{grad}_{\tan} B_t g, \text{grad}_{\tan} B_{\tau} f \rangle| \end{aligned}$$

$$\text{Then : } \|\tilde{\Delta}B_t B_{\tau} f\|_\theta - \varepsilon \leq \|\text{grad}_{\tan} B_t g\|_\theta \cdot \|\text{grad}_{\tan} B_{\tau} f\|_\theta$$

3. The Main Results

In this section we shall introduce our main results.

3.1. Theorem

If f in $L_p(U^{d-1})$, $p < 1$, then $\text{grad}_{\tan} B_t f$ is in $L_p(U^{d-1})$ and

$$\|\text{grad}_{\tan} B_t f\|_{L_p} \leq \frac{c(p)\psi(t)}{\varphi(t)} \|f\|_{L_p} \leq \frac{c(p)}{t} \|f\|_{L_p}.$$

Proof :

By Lemma 2.4 we get

$$\left| \frac{\partial}{\partial \xi} B_t(f, x) \right|$$



1. Introduction

For R^d , the unit sphere U^{d-1} is given by $U^{d-1} = \{x = (x_1, \dots, x_d) : |x| = (x_1^2 + \dots + x_d^2)^{1/2} = 1\}$. Let $L_p(U^{d-1})$, $p < 1$ be the space of all mappings $U^{d-1} \rightarrow R$, with $\|f\|_{L_p(U^{d-1})} = \|f\|_p := \left(\int_{U^{d-1}} |f|^p\right)^{1/p} < \infty$.

And

$$L_p^n := \{f: f \in L_p, f, \dots, f^{(n)} \in L_p(U^{d-1})\}, \quad p < 1.$$

For a function $f \in L_p(U^{d-1})$, $d \geq 3$, the average on the cap of the sphere is given by [1]

$$B_t(f, y) = \frac{1}{\varphi(t)} \int_{\ell} f(x) d\sigma(x), \quad t > 0 \quad \dots \dots (1.1)$$

where; $\ell = \{y: |y| = 1, \text{cost} \leq x \cdot y \leq 1, x, y \in U^{d-1}\}$ and $x \cdot y$ is the inner product defined on R^d . $d\sigma(x)$ is the measure on the sphere

$$\varphi(t) = \frac{2\pi^{(d-1)/2}}{\Gamma(\frac{d-1}{2})} \int_0^t \sin^{d-2} u \, du$$

For a function $f(x)$ ($x \in U^{d-1}$) which is integrable on U^{d-1} , the average on the cap $S_t(f, y)$ is given by [1]

$$S_t(f, y) = \frac{1}{\varphi(t)} \int_{x \cdot y = \text{cost}} f(x) d\gamma(x), \quad t > 0, \quad x, y \in U^{d-1} \quad \dots \dots (1.2)$$

where $d\gamma(x)$ is the measure ($d-2$ dimensional) of x on $x \cdot y = \text{cost}$,

$$\Psi(t) = \frac{2\pi^{(d-1)/2}}{\Gamma(\frac{d-1}{2})} \sin^{d-2} t.$$

The Laplace – Beltrami operator on $x \in U^{d-1}$ is given by

$$\tilde{\Delta}f(x) = \Delta f(x) / (|x|) \quad \dots \dots (1.3)$$

where;

$$\Delta f(x) = \frac{\partial^2}{\partial x_1^2} f(x) + \dots + \frac{\partial^2}{\partial x_d^2} f(x)$$

If $f \in L_p(U^{d-1})$, $p < 1$, the K-functional can be defined as

$$K_r(f, \tilde{\Delta}, t^{2r})_p^p = \inf (\|f - g\|_p^p + t^{2r} \|\tilde{\Delta}^r g\|_p^p; \tilde{\Delta}^r g \in L_p(U^{d-1})) \quad \dots \dots (1.4)$$

$$K(f, \tilde{\Delta}, t^2)_p^p \equiv K_1(f, \tilde{\Delta}, t^2)_p^p$$

Using the definition of $B_t(f, x)$, $B_t(f, x)$ is bounded operator. In fact

$$\|B_t(f, x)\|_{L_p(U^{d-1})} = \|B_t(f, x)\|_p = \left\| \frac{1}{\varphi(t)} \int_{\ell} f(x) d\sigma(x) \right\|_p$$

$$\leq c(p) \|f\|_p \quad \dots \dots (1.5)$$

If $\tilde{\Delta}$ is the Laplace – Beltrami, for $f \in L_p^2(U^{d-1})$, we get $\tilde{\Delta}B_t(f, x) = \Delta B_t(f(x) / |x|)$

$$\begin{aligned} &= \frac{\partial^2}{\partial x_1^2} \left(B_t(f(x_1)) / |x| + \dots + \frac{\partial^2}{\partial x_d^2} B_t(f(x_d)) / |x| \right) \\ &= \frac{\partial^2}{\partial x^2} \left(\frac{1}{\varphi(t)} \int_{\ell} f(x_1) d\sigma(x_1) / |x| + \dots + \frac{\partial^2}{\partial x_d^2} \left(\frac{1}{\varphi(t)} \int_{\ell} f(x_d) d\sigma(x_d) / |x| \right) \right) \\ &= \left(\frac{1}{\varphi(t)} \int_{\ell} \frac{\partial^2}{\partial x_1^2} f(x_1) d\sigma(x_1) / |x| + \dots + \left(\frac{1}{\varphi(t)} \int_{\ell} \frac{\partial^2}{\partial x_d^2} f(x_d) d\sigma(x_d) / |x| \right) \right) \\ &= B_t(\Delta f(x) / |x|) \\ &= B_t(\tilde{\Delta}f, x). \end{aligned}$$

Then :

$$\tilde{\Delta}B_t(f, x) = B_t(\tilde{\Delta}f, x) \quad \dots \dots (1.6)$$

2. Auxiliary Results

In this section, let us introduce the results that we need in our work.

2.1. Lemma [3]

Suppose $f(x) \in L_p^2(U^{d-1})$, $p < 1$, and $B_t(f, x)$, $S_t(f, x)$, $\tilde{\Delta}f(x)$ are given by (1.1), (1.2), (1.3). Then for $x \in U^{d-1}$ and $0 < t < \frac{\pi}{2}$, we have :

$$\begin{aligned} B_t(f, x) - f(x) &= \frac{1}{\varphi(t)} \int_0^t \sin^{d-2} \theta \int_0^{\pi} \sin^{2-d} \rho \varphi(\rho) B_\rho(\tilde{\Delta}f, x) d\rho d\theta \\ &= \frac{1}{\varphi(t)} \int_0^t \sin^{d-2} \theta \left\{ \int_0^{\pi} \sin^{2-d} \rho \int_{\ell} \tilde{\Delta}f(y) d\sigma(y) d\rho \right\} d\theta. \end{aligned}$$

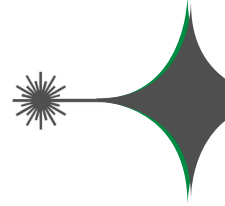
And

$$\begin{aligned} S_t(f, x) - f(x) &= \frac{1}{\varphi(t)} \sin^{d-2} t \int_0^t \sin^{2-d} \theta d\theta \int_{\ell} \tilde{\Delta}f(y) d\sigma(y) \\ &= \frac{1}{\varphi(t)} \int_0^t \sin^{2-d} \theta \varphi(\theta) B_\theta(\tilde{\Delta}f, x) d\theta. \end{aligned}$$

2.2. Lemma

For $f \in L_p^4(U^{d-1})$, $p < 1$, and $B_t(g, x)$, $\tilde{\Delta}g(x)$ are given by (1.1), (1.3). Then we have :

$$\|B_t g(x) - g(x) - \alpha(t) \tilde{\Delta}g(x)\|_p \leq c(p) t^4 \|\tilde{\Delta}g(x)\|_p.$$



Strong Converse Inequality

Eman S. Bhaya and Hind A. Shakir

Mathematics Department, College of Education for Pure Sciences, University of Babylon, Iraq

Received Date: 16 / May / 2015

Accepted Date: 19 / Feb / 2016

الخلاصة

قدمنا في هذا البحث مؤثرات للدوال في الفضائيات L_p عندما $P < 1$ والمعروفة على كرة الوحدة بعدها استخدمنا تلك المؤثرات لبرهان مبرهن عكسية لمبرهنة مباشرة قدمناها مسبقا بدلالة الدالي K .

الكلمات المفتاحية

مؤثرات الدوال ، البرهنة العكسية الاقوى ، الدالي K

Abstract

In this paper we introduce operators for functions from L_p for $P < 1$, defined on unit sphere and then we use them to prove strong converse inequality for direct theorem that we introduce in terms of K -functional.

Keywords

Operators for functions, strong converse inequality, K -functional

Eman S. Bhaya and Hind A. Shakir Mathematics Department, College of Education for Pure Sciences, University of Babylon, Iraq	Strong Converse Inequality	13
Elham Jasim Mohammad Department of Physics, College of Sciences, Al-Mustansiriyah University, Iraq	Effects of Thin Film Multi Layers Thickness and Refractive Index on Narrowband Filters Transmission's	19
Manal Najy Al-harere* and Ahmed Abd Ali Imran** *Department of Applied Science, Technological University, Iraq. **Department of Mathematics, College of Education for Pure Science, University of Babylon, Iraq	Some Properties of Chromatic, Domination, and Independence Numbers of a Graph	27
Lujain S. Abdulla Electrical Engineering Department, Engineering College, Tikrit University, Iraq	Improving Handover Process In WCDMA System Using Umbrella Cell Technique	35
Haleemah J. Mohammed and Kassim M. Sahan , Renewable Energies Directorate, Ministry of Science and Technology, Iraq.	Preparation and Study the Effect of MgO Nano Photocatalyst for HHO Electrolysis cell Application to produce hydrogen	49
Israa Hadi and Adil Abbas Majeed College of Information Technology, University of Babylon, Iraq.	A Method for Background Establishment Using Accumulate Histogram for Detection of Object Trajectory for Video Tracking Applications	55
Nadia M. Ali Al- Tabatabai Baghdad/Al-Kirk/3, Directorate General of Education, Ministry of Education, Iraq	α-Continuous And Contra-α-Continuous Mappings	67

**In the Name of Allah
Most Compassionate, Most Merciful**

Edition Word

Not for nothing does Al-Bahir set the readership infatuated: first it pertains to the holy Al-' Abbas shrine as its title emanates from the grandeur of the guardian Abual-Fadhl Al-' Abbas (peace be upon him), second it cuddles the most meritorious studies in their specific major and inspires to grant them the most sublime and elegant studies in an edition, say, brilliant moons in the science horizon. However, that it exerts itself to embrace the latest product and whatever stimulates the mind of the specialists runs in line with the scientific wave in the Iraqi universities and abroad and gains momentum and benefit as these thoughts and theses are brought into raw materials serving and meeting the requirements of the society .

In the current blessed edition do we reconnoiter certain constellation of such studies pinpointing panoramic scientific fields as there are scientific, natural and engineering. Consequently the researchers come ramified from different Iraqi universities; Baghdad, Karbala and Babylon, all summon their thoughts to give light to the Fifth and Sixth edition in the hope that they continue in showing their mind, innovative studies, to the journal worth reading and being published as to elevate Al-Bahir to whatsoever comes of benefit and fruition, we do pray for them to Allah to have all sapience and success at the service of the country and science.

The last we do pray is to thank Him, the Evolver of the universe.

■ Consultation and Editaril

18. All the articles are subject to :

- a- The researcher is notified that his paper is received within 14 days in maximum.
- b- The article is to be sent to the researcher as soon as it does not meet the requirement of the publication conditions.
- c- The researcher is notified that his article is accepted.
- d- The articles need certain modification , as the reviewers state, are sent to the researchers to respond in a span of a month from the date of dispatch.
- e- The researcher is to be notified in case the article is rejected.
- f- The researcher is to be granted an edition containing his article.

19. Priorities are given in concordance to :

- a. The articles participated in the conferences held by the publication institute.
- b. The date of receiving.
- c. The date of acceptance.
- d. The importance and originality of the article.
- e. The diversity of the fields the articles maintain in the meant edition.

20. The researchers should appeal to the modifications the language and scientific reviewers find in the articles.

21. The researcher should fill the promise paper having the publication rights of the Scientific Al-Bahir Journal and adhering to integrity conditions in writing a research study.

Publication Conditions

Publication Conditions

Inasmuch as Al-`Bahir- effulgent- Abualfadhal Al-`Abbas cradles his adherents from all humankind, verily Al-Bahir journal does all the original scientific research under the conditions below:

1. Publishing the original scientific research in the various scientific sciences keeping pace with the scientific research procedures and the global common standards; they should be written either in Arabic or English .
2. The research should not be published before under any means .
3. The research should adhere the academic commonalties; the first page maintains the title, researcher name /names, address, mobile number under condition that the name, or a hint , should never be mentioned in the context and keywords should be written in Arabic and English as there is an abstract in Arabic and English.
4. The Research studies should be delivered to us either via Journal website <http://albahir.alkafeel.net> , after filling the two standard format the first with the name of the researcher and the second without in Word .
5. The page layout should be (2)cm .
6. The font should be of (16 bold),Time New Roman, subtitles of (14 bold) and also the context.
7. The space should be single, indentation should not be, as 0 before, 0 after and no spacing, as 0 before, 0 after.
8. There should be no decoration and the English numeral should proceed to the last text.
9. Any number should be between two brackets and then measurement unit, for instance: (12) cm .
10. All sources and references should be mentioned at the end of the article and categorized in conformity with Modern Language Association (MLA) , for instance :

Name of Author/ Authors, Journal Name Volume Number (Year) pages from - to.

Similarly done in the Arabic article withy a proviso that superscript should be employed.

11. There should be a caption under a diagram in 10 dark , Arabic and English; for instance:

Title or explanation; number of the Fig.

Similarly done with tables.

12. Diagrams , photos and statics should be in colour with high resolution without scanning.
13. The marginal notes, when necessary, should be mentioned at the end of the article before the references.
14. Wherever there is the word “ figure” should be abbreviated as Fig. and table should be Table.
15. The pages never exceed 25 pages.
16. The Formulae should be written in Math Type.
17. All the ideas and thoughts reveal the mindset of the researcher not the journal and the article stratification takes technical standards.

Prof. Dr. Fu-Kwun Wang

Department of Industrial Management, National Taiwan University of Science and Technology , Taiwan.

Prof. Min-Shiang Hwang

Department of Computer Science and Information Engineering, Asia University, Taiwan, Taiwan.

Prof. Dr. Ling Bing Kong

School of Materials Science and Engineering, Nanyang Technological University Singapore Singapore.

Prof. Dr. Qualid Hamdaoui

Department of Process Engineering, Faculty of Engineering, Badji Mokhtar-Annaba University, P.O. Box 12, 23000 Annaba, Algeria, Algeria.

Prof. Dr. Abdelkader azarrouk

Mohammed First University, Faculty of Sciences, Department of Chemistry, Morocco.

Asst. Prof. Haider Ghazi Al-Jabbery Al-Moosawi

College of Education for Human Science, University of Babylon, Iraq.

Prof. Dr. Khalil El-Hami

Laboratory of Nano-sciences and Modeling, University of Hassan 1st, Morocco, Morocco.

Assist. Prof. Dr. Abdurahim Abduraxmonovich Okhunov

Department of Science in Engineering, Faculty of in Engineering, International Islamic University of Malaysia, Uzbekistan.

Dr. Selvakumar Manickam

National Advanced IPv6 Centre, University Sains Malaysia, Malaysia.

Dr. M.V. Reddy

1Department of Materials Science & Engineering

02 Department of Physics, National University of Singapore, Singapore.

Copy Editor (Arabic)

Asst. Prof. Dr. Ameen Abeed Al-Duleimi

College of Education, University of Babylon

Copy Editor (English)

Asst. Prof. Haider Ghazi Al-Jabbery Al-Moosawi

College of Education for Human Science, University of Babylon

Web Site Management

Mohamed Jasim Shaalan

Hasanen Sabah Al-Aegeely

Administrative and Financial

'Aqeel 'Abid Al-Hussein Al-Yassri

Web Site Management

Samr Falah Al-Safi

Graphic Designer

Hussein Ali Shemran

Prof. Dr. Luc Avérous

BioTeam/ECPM-ICPEES, UMR CNRS 7515, Université de Strasbourg, 25 rue Becquerel, 67087, Strasbourg Cedex 2, France, France.

Dr. Ibtisam Abbas Nasir Al-Ali

College of Science, University of Kerbala, Iraq.

Prof. Dr. Hongqing Hu

Huazhong Agricultural University, China.

Prof. Dr. Stefano Bonacci

University of Siena, Department of Environmental Sciences, Italy.

Prof. Dr. Pierre Basmaji

Scientific Director of Innovatecs, and Institute of Science and technology, Director-Brazil, Brazil.

Asst. Prof. Dr. Basil Abeid Mahdi Abid Al-Sada

College of Engineering, University of Babylon, Iraq.

Prof. Dr. Michael Koutsilieris

Experimental Physiology Laboratory, Medical School, National & Kapodistrian University of Athens. Greece.

Prof. Dr. Gopal Shankar Singh

Institute of Environment & Sustainable Development, Banaras Hindu University, Dist-Varanasi-221 005, UP, India, India.

Prof. Dr. MUTLU ÖZCAN

Dental Materials Unit (University of Zurich, Dental School, Zurich, Switzerland), Switzerland.

Prof. Dr. Devdutt Chaturvedi

Department of Applied Chemistry, Amity School of Applied Sciences, Amity University Uttar Pradesh, India.

Prof. Dr. Rafat A. Siddiqui

Food and Nutrition Science Laboratory, Agriculture Research Station, Virginia State University, USA.

Prof. Dr. Carlotta Granchi

Department of Pharmacy, Via Bonanno 33, 56126 Pisa, Italy.

Prof. Dr. Piotr Kulczycki

Technical Sciences; Polish Academy of Sciences, Systems Research Institute, Poland.

Prof. Dr. Jan Awrejcewicz

The Lodz University of Technology, Department of Automation, Biomechanics and Mechatronics, Poland, Poland.

Editor - in - Chief

Seid. Leith Al-Moosawi

Managing Editor

Asst. Prof .Dr. Nawras Mohammed Shaheed Al-Dahan, College of Science, University of Karbala

Edition Secretary

Radhwan Abid Al-Hadi Al-Salami

Executive Edition Secretary

Asst. Lec. Hayder Hussein Al-Aaraji

Edition Board

Prof. Dr. Zhenmin Chen

Department of Mathematics and Statistics, Florida International University, Miami, USA.

Prof. Dr. Iftikhar Mohanned Talib Al-Shar'a

College of Education for Pure Science, University of Babylon, Iraq.

Prof. Dr. Adrian Nicolae BRANGA

Department of Mathematics and Informatics, Lucian Blaga University of Sibiu, Romania.

Prof. Dr. Akbar Nikkhah

Department of Animal Sciences, University of Zanjan, Zanjan 313-45195Iran, Iran.

Prof. Dr. Khalil EL-HAMI

Material Sciences towards nanotechnology University of Hassan 1st, Faculty of Khouribga, Morocco, Morocco.

Prof. Dr. Wen-Xiu Ma

Department of Mathematics at University of South Florida, USA.

Prof. Dr. Wasam Sameer Abid Ali Baheia

College of Information Technology, University of Babylon, Iraq.

Prof. Dr. Mohammad Reza Allazadeh

Department of Design, Manufacture and Engineering Management, Advanced Forming Research Centre, University of Strathclyde, UK.

Prof. Dr. Norsuzailina Mohamed Sutan

Department of Civil Engineering, Faculty of Engineering, University Malaysia Sarawak, Malaysia.

Assist. Prof. Dr. Hayder Hmeed Al-Hmedawi

College of Science, University of Kerbala, Iraq.

Prof. Ravindra Pogaku

Chemical and Bioprocess Engineering, Technical Director of Oil and Gas Engineering, Head of Energy Research Unit, Faculty of Engineering, University Malaysia Sabah (UMS), Malaysia.

General Supervision

Seid. Ahmed Al-Safi

Consultation Board

Prof. Dr. Riyadh Tariq Al-Ameedi

College of Education for Human Science, University of Babylon, Iraq

Prof. Dr. Kareema M. Ziadan

College of Science, University of Basrah, Iraq

Prof. Dr. Ahmed Mahamood Abid Al-Lateef

College of Science, University of Karbala, Iraq

Prof. Dr. Ghasan Hameed Abid Al-Majeed

College of Engineering, University of Baghdad, Iraq

Prof. Dr. Iman Sameer Abid Ali Baheia

College of Education for Pure Science, University of Babylon, Iraq

Prof. Dr. Fadhil Asma`ael Sharad Al-Taai

College of Science, University of Karbala, Iraq

Prof. Dr. Shamal Hadi

University of Aukland, USA

Prof. Dr. Sarhan Jafat Salman

College of Education, University of Al-Qadesiya, Iraq



**Secretariat General
of Al-Abbas
Holy Shrine**



**Al-Ameed Interna-
tional center
for Research and Studies**

Print ISSN: 5721 – 2312

Online ISSN: 0083 – 2313

Consignment Number in the Housebook and Iraqi
Documents: 1996, 2014
Iraq - Holy Karbala

Tel: +964 032 310059

Mobile: +964 760 235 5555

<http://albahir.alkafeel.net>

Email: albahir@alkafeel.net

Republic of Iraq
Shiite Endowment Diwan



Quarterly Refereed Journal
for Natural and Engineering Sciences

Issued by
Al-`Abbas Holy Shrine
International Al-`Ameed Centre for Research and
Studies

Licensed by
Ministry of Higher Education
and Scientific Research

Second Year, Third Volume, Issue 5 and 6
Ramadhan 1437, June 2016